

DE LA RECHERCHE À L'INDUSTRIE



Vendredi 5/07 11h (IJCLAB)
Lundi 8/07 12h (CEA IRFU)
Visite Labo 14h (CEA IRFU)
Mercredi 10/07 11h (IAS)



Mesurer l'infiniment petit et observer l'infiniment grand

XII^e édition des **Rencontres d'été de physique**
de L'INFINIMENT GRAND à l'infiniment petit

1^{er}-11 juillet
2024

Orsay
Palaiseau
Paris
Saclay

Rencontres

Promotion Enrico Fermi et David Hilbert

Niveau L3 (ou équivalent)

de L'INFINIMENT
GRAND
à L'INFINIMENT
petit

- Visites de labos, conférences, débats, observation du ciel
- Comprendre l'infiniment petit
- les noyaux et leurs interactions
- Des particules aux étoiles jusqu'au cosmos
- Measuring the infinitely small
- Observe the infinitely large
- Applications médicales
- Maitriser l'énergie
- Les détecteurs spatiaux et ondes d'oscillateurs
- Intelligence Artificielle

indico.in2p3.fr/event/rencontres-physique-infinis

Maxence Vandenbroucke
07/2024

université
PARIS-SACLAY

Cours 1 : Généralités

- Introduction de la théorie à la pratique
- Qu'est-ce qu'une expérience de physique?
- Que veut-on observer à propos d'une particule?
- Architecture générale d'une expérience en physique subatomique

Cours 2 : Les détecteurs dans le détails

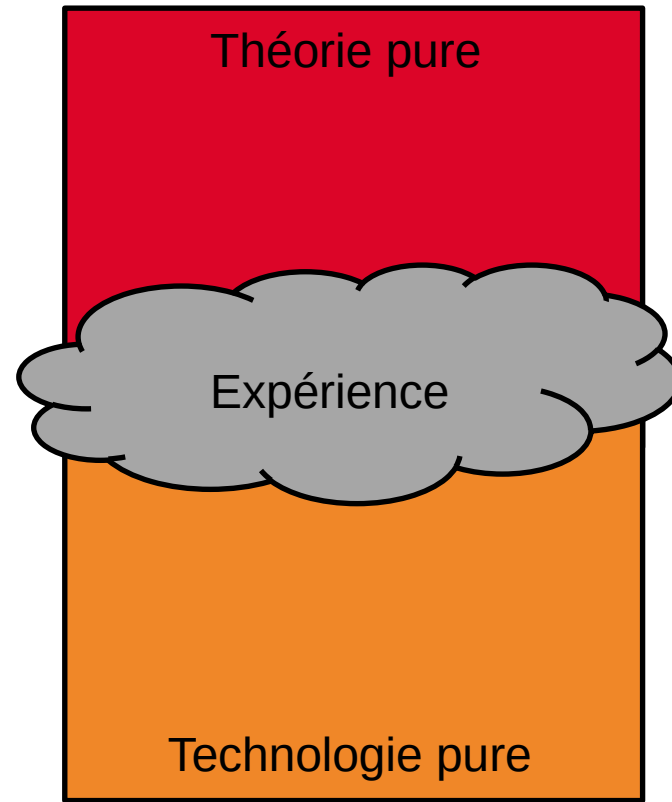
- Interaction particule-matière
- Les Détecteurs à ionisations
- L'exemple des détecteurs gazeux
- Experiences de Physique des Particules

Cours 3 : Exemples d'expériences

Cours 1 : Généralités

- Introduction de la théorie à la pratique
- Qu'est-ce qu'une expérience de physique?
- Que veut-on observer à propos d'une particule?
- Architecture générale d'une expérience en physique subatomique



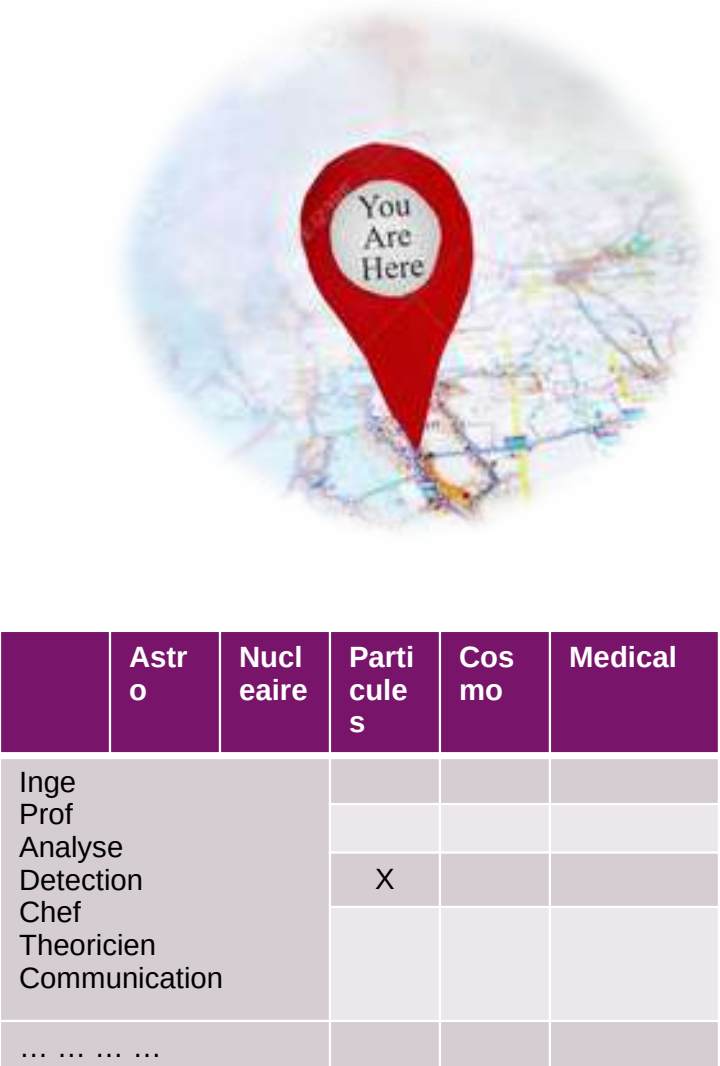


- Théorie
 - Construction des Modèles
 - Prédiction avec des Modèles
 - Simulation de l'expérience
-
- Design d'expérience
 - Choix du dispositif expérimental
 - Electronique/acquisition
 - Reconstruction des évènements
 - Comparaison avec la simulation/calcul
 - Papier, Communication



Le physicien complet est à la fois proche des interrogations fondamentales, mais aussi des avancés technologiques pour trouver un espace de découverte potentielle

Chercheur



Un choix matriciel !

+10 ans

Postdoc

+8 ans*

Doctorat

+ 5 ans

Master 2

Master

Master 1

stages

+ 3 ans

Licence 3

Licence

Licence 2

Licence 1

S 1
S 2

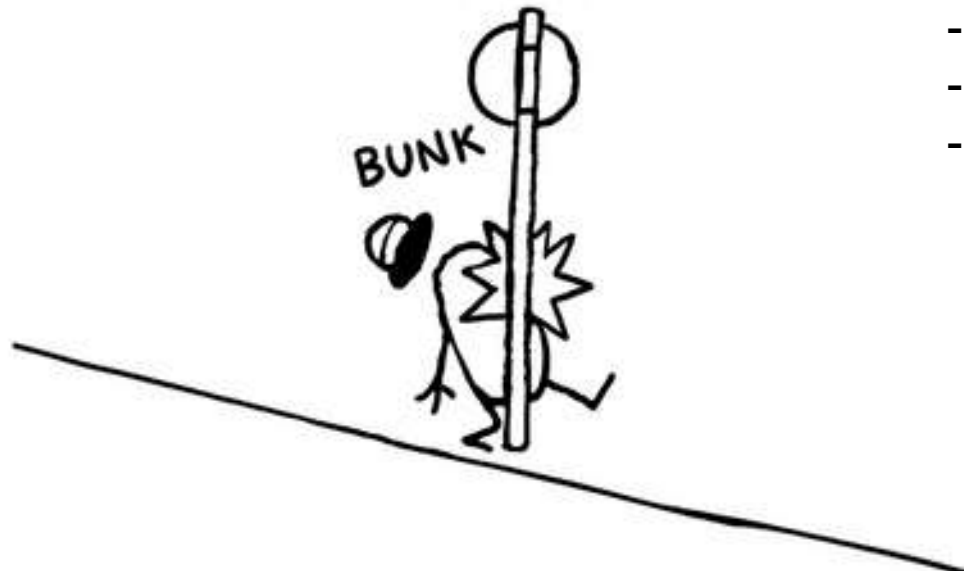
Bac

*en France, 3-7ans sinon

UNE EXPÉRIENCE C'EST OUOI ?

Dernier "BUNK"

- Oscillation ν (2002)
- Higgs (2012)
- No SUSY
- GW (2015)
- No Wimps ? (2023)
- ...



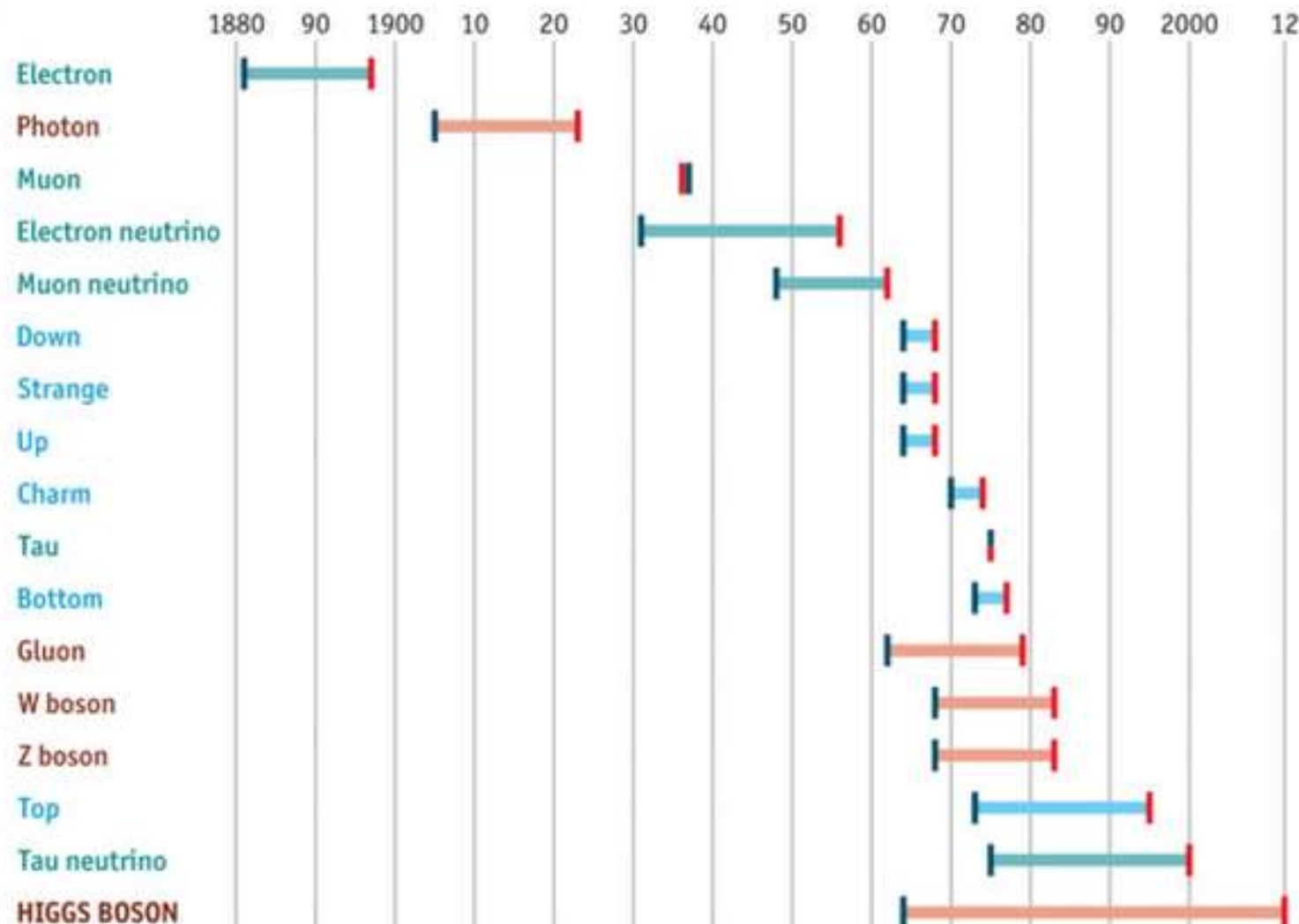
LE RÉEL, C'EST QUAND ON SE COGNE.

The Standard Model of particle physics

Years from concept to discovery

Leptons
Bosons
Quarks

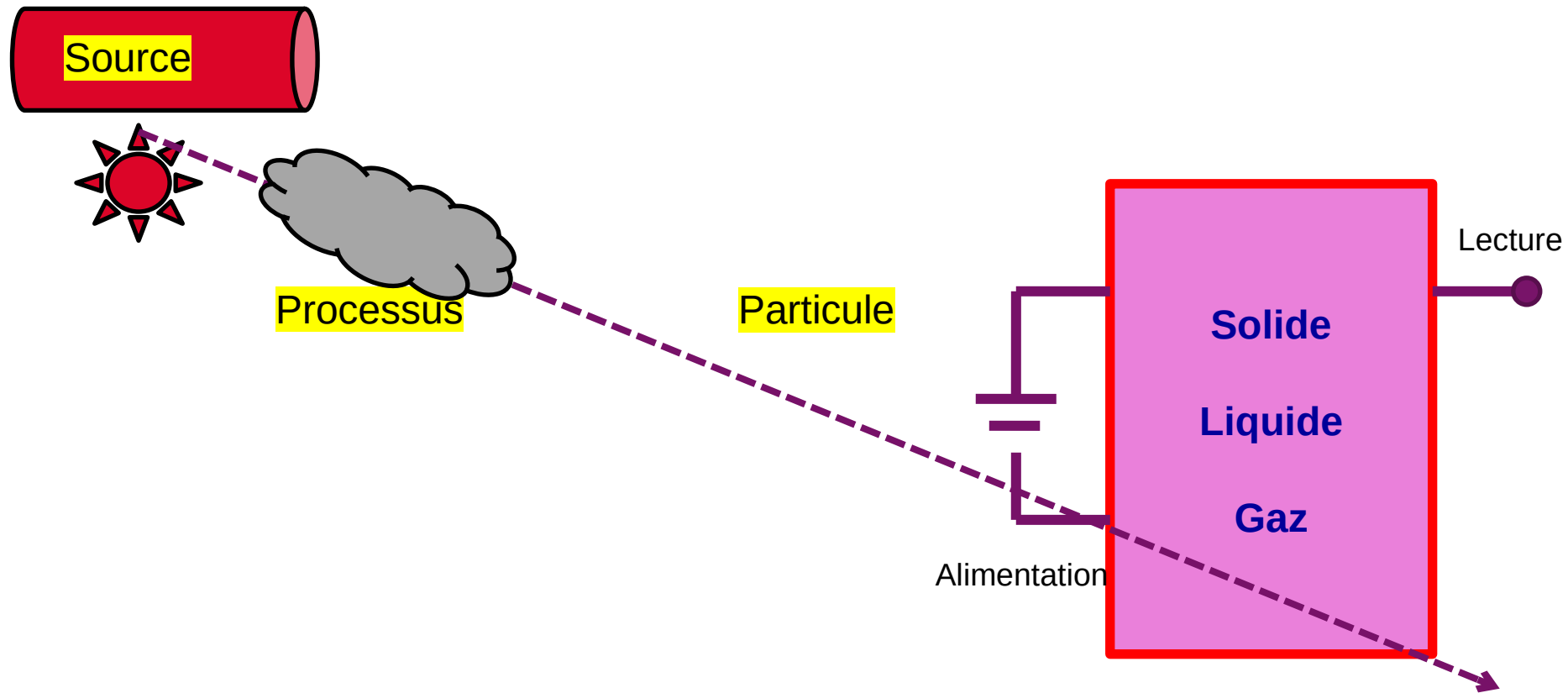
Theorised/explained
Discovered



Source: *The Economist*

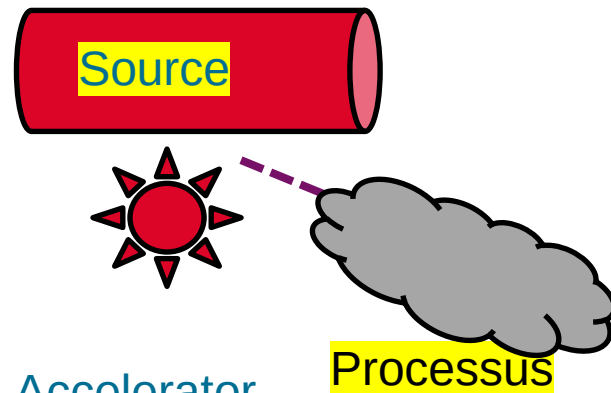
UNE EXPÉRIENCE C'EST OUOI ?

Schématiquement (*****)



UNE EXPÉRIENCE C'EST OUOI ?

Schématiquement (*****)



Accelerator
Source Radioactive
Source Astro

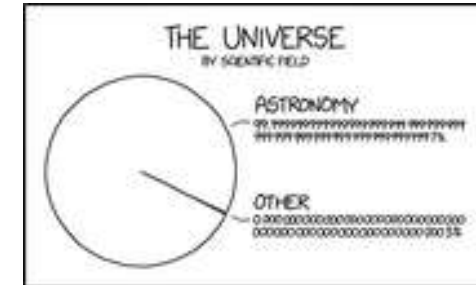
Diffusion
Interaction
Reaction
=> Processus physique

Photon
Electron
Hadrons
Noyaux
=> Particule stable

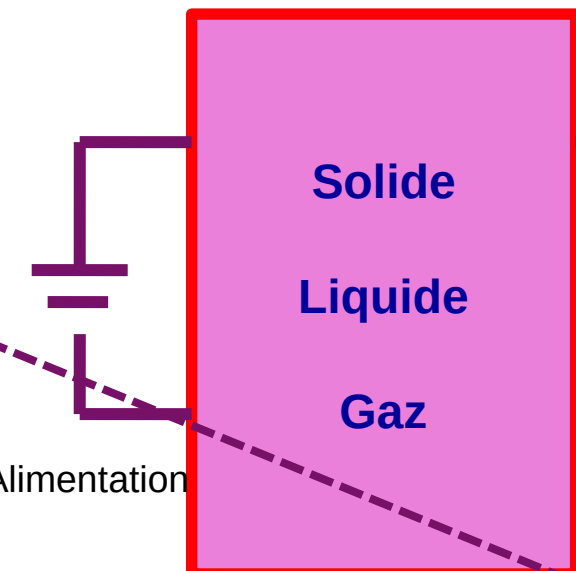
Particule/Onde

Alimentation

Photo-Multiplicateur
Chambre a fils
Telescope

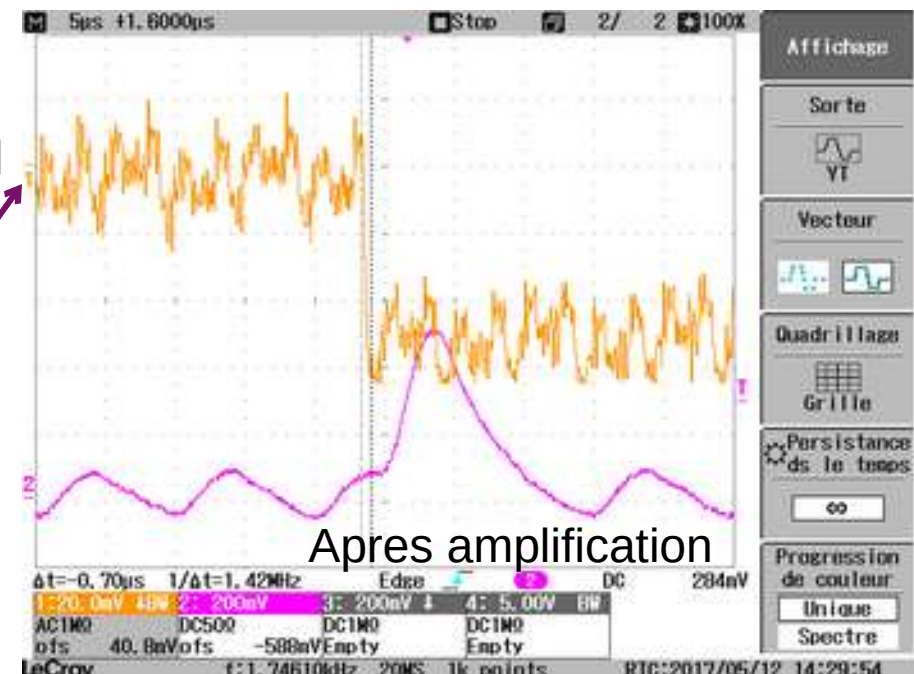
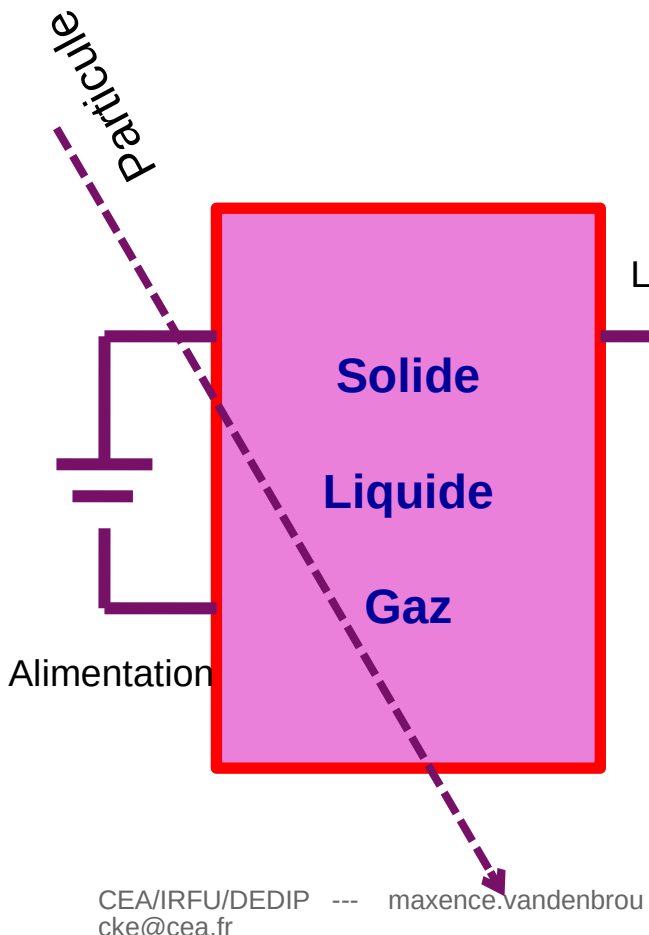


Ce cours



Lec

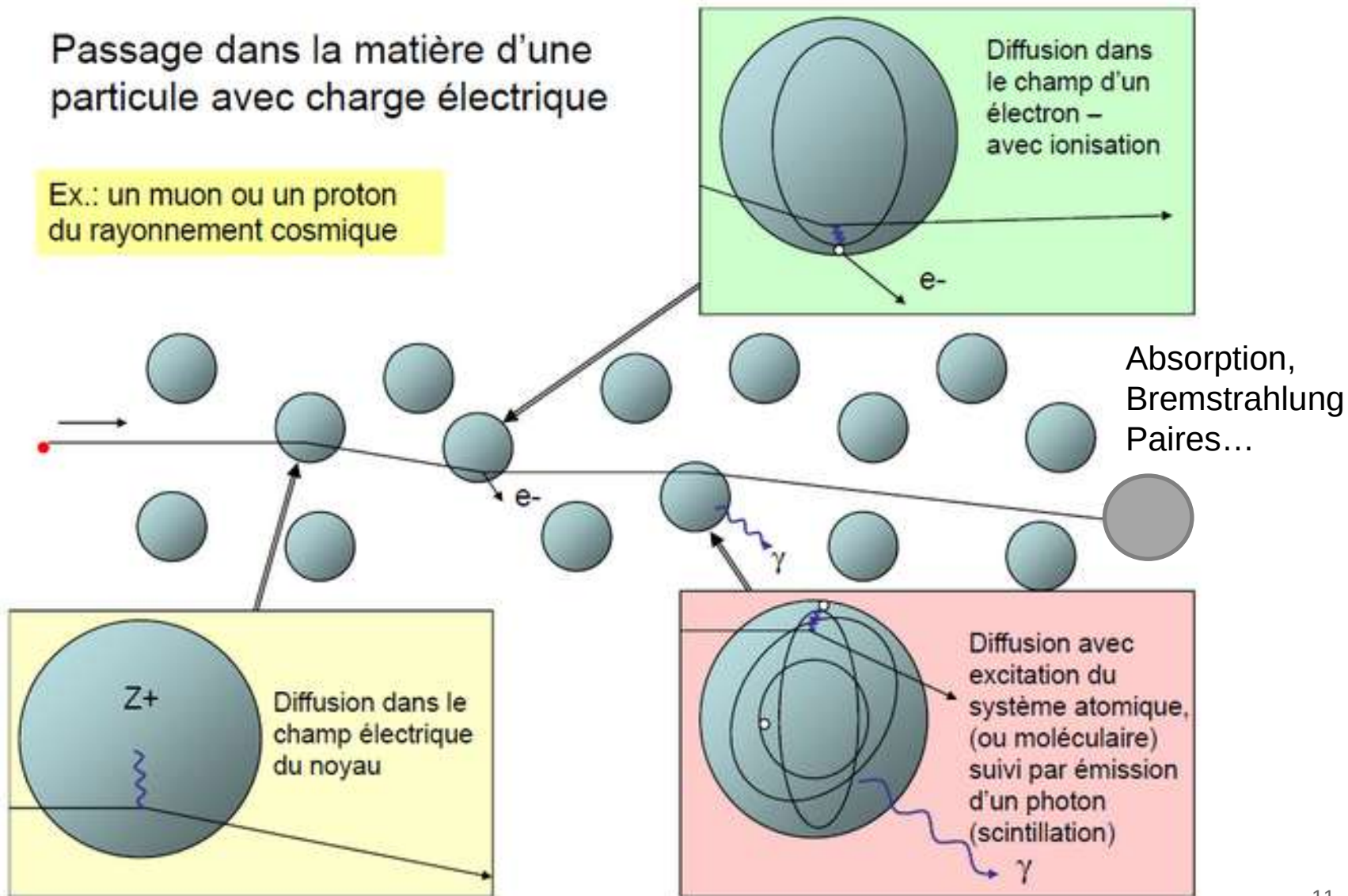
MESURER C'EST QUOI ?

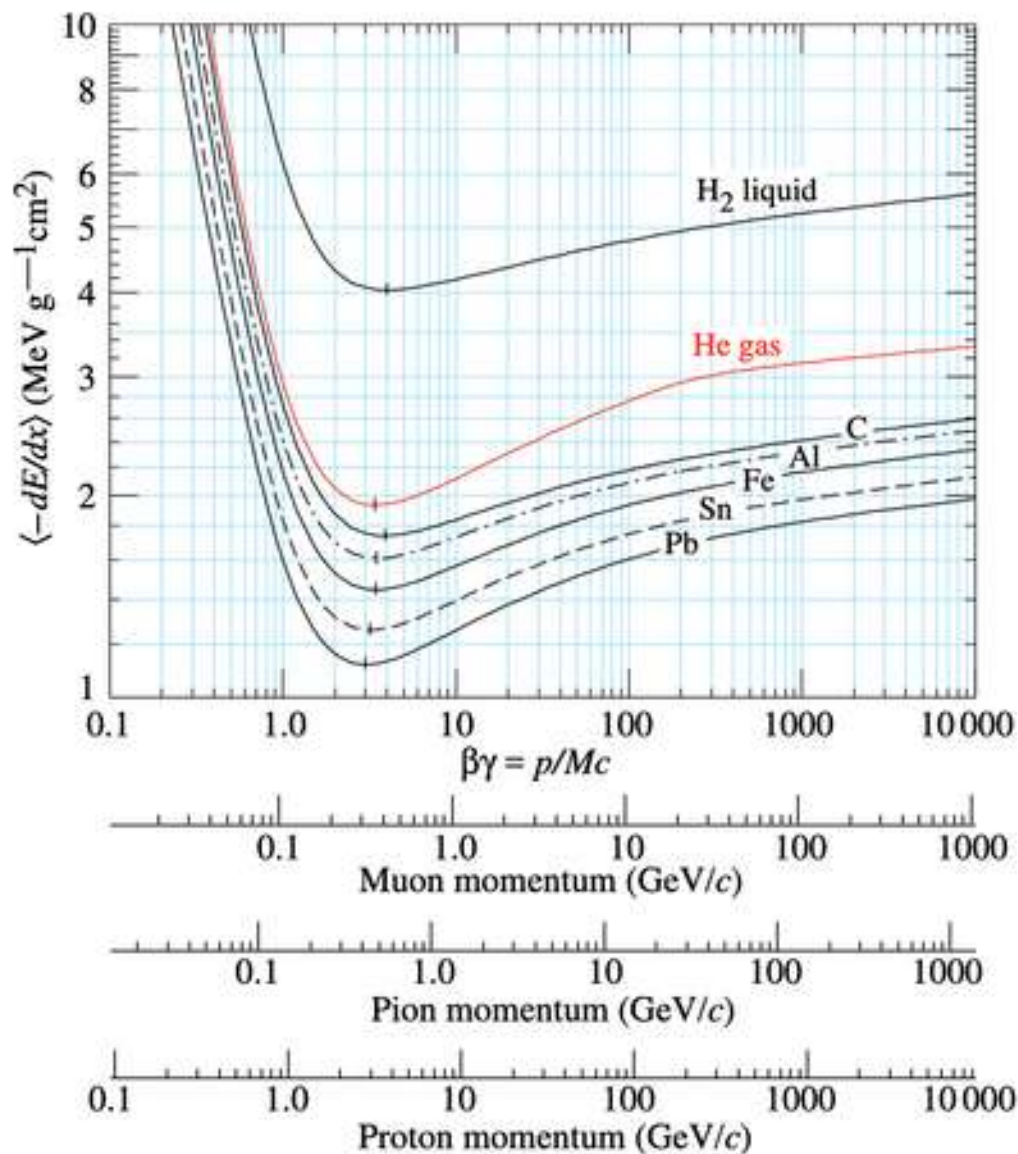


=> A la fin on veut un courant/tension pour mettre ca sur python*

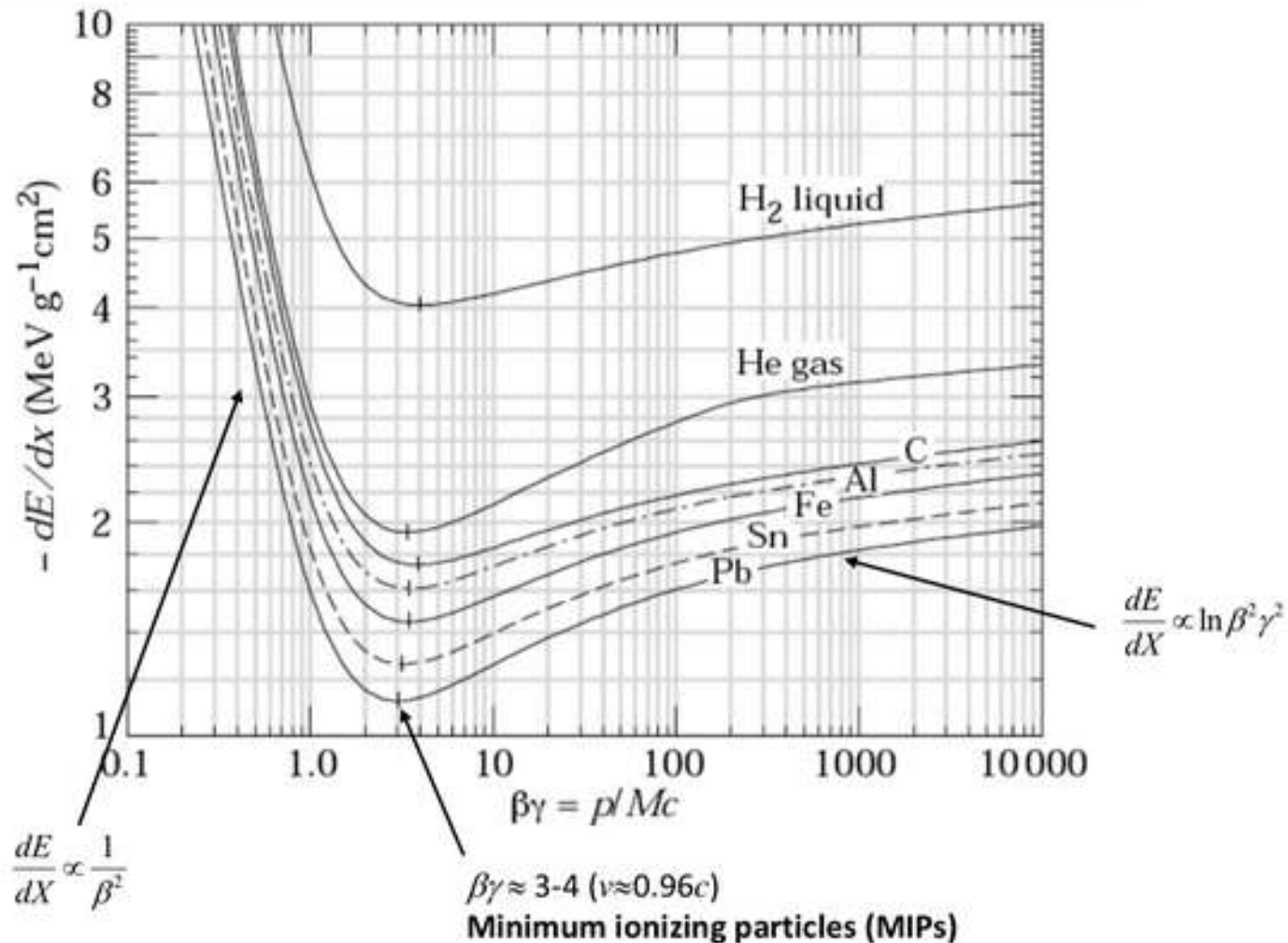
Passage dans la matière d'une particule avec charge électrique

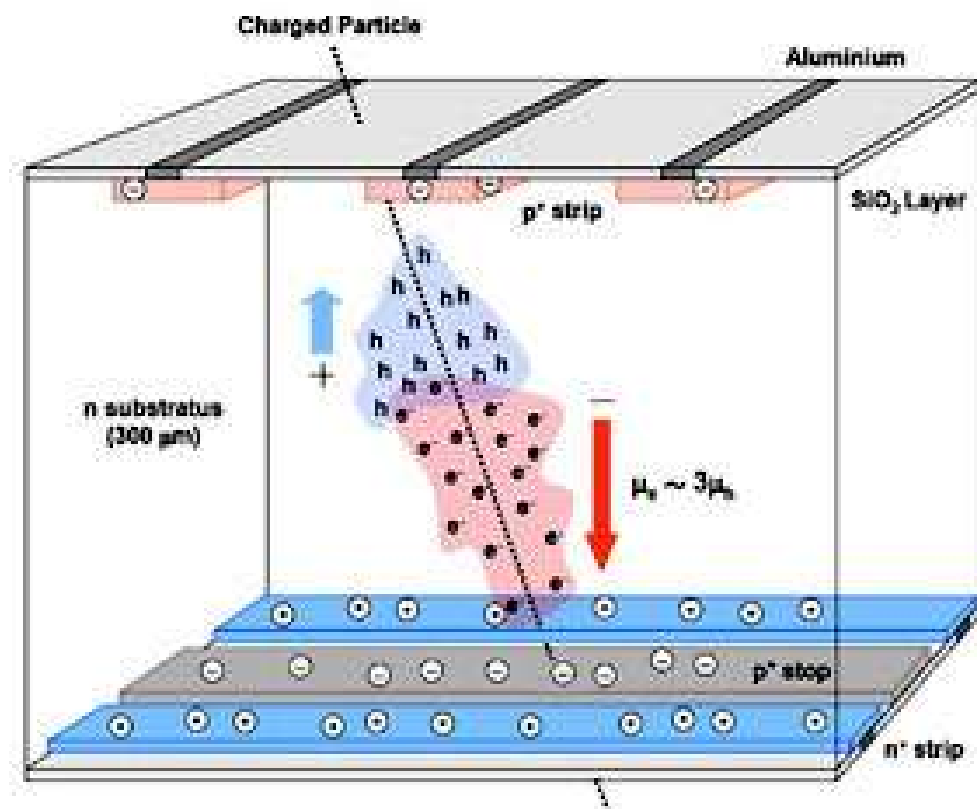
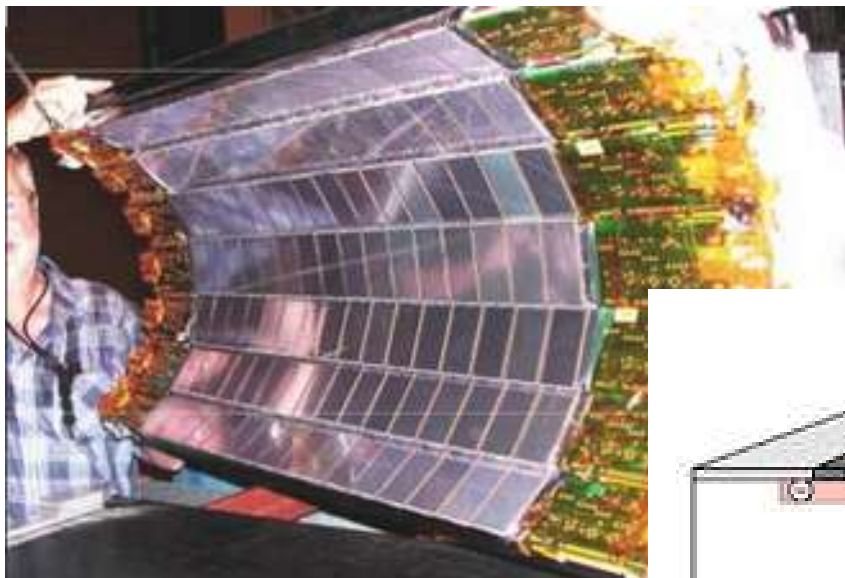
Ex.: un muon ou un proton du rayonnement cosmique





$$-\frac{dE}{dX} = 4\pi N_A r_e^2 m_e c^2 z^2 \frac{Z}{A} \rho \frac{1}{\beta^2} \left[\frac{1}{2} \ln \frac{2m_e c^2 \gamma^2 \beta^2 T_{\max}}{I^2} - \beta^2 - \frac{\delta}{2} - \frac{C}{Z} \right]$$

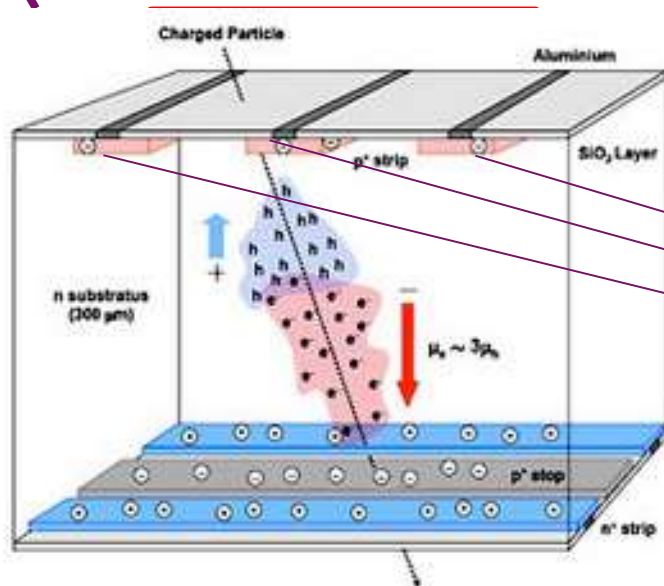




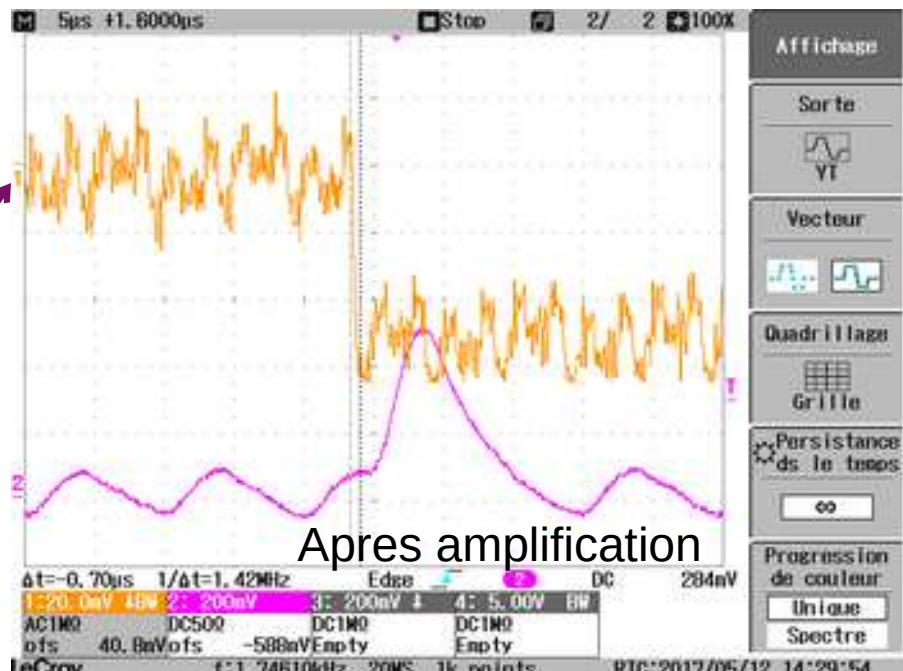
Les autres type de detecteurs =>
Cours 2

MESURER C'EST QUOI ?

Particule



Sortie signal



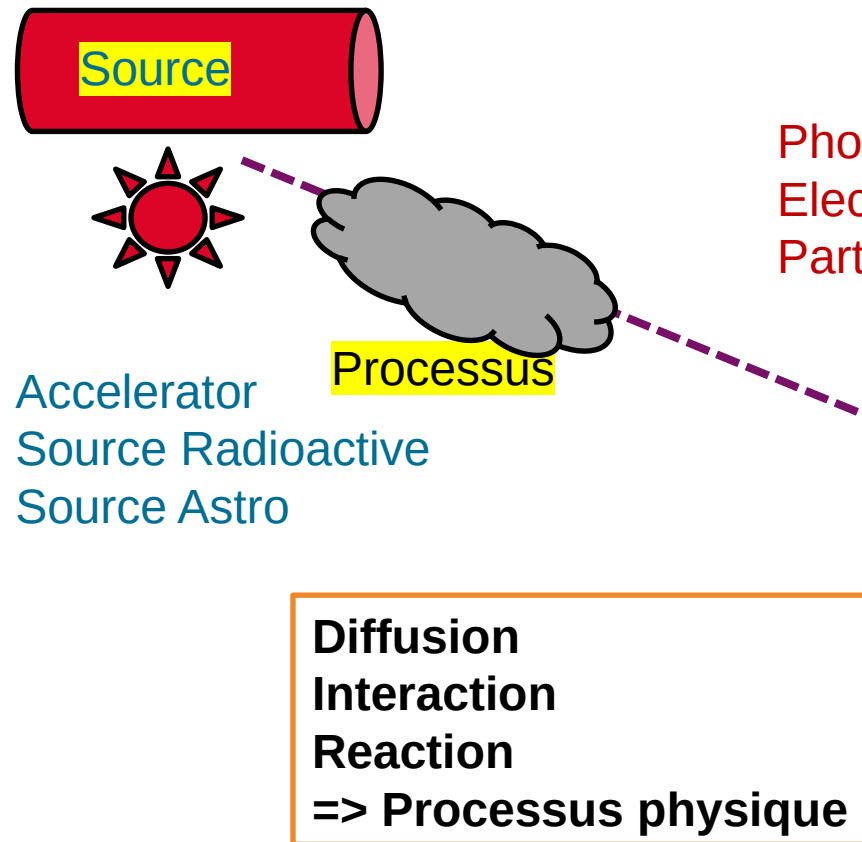
Apres amplification



Un Canaux = Un signal
Plein de canaux => Analyse

UNE EXPERIENCE C'EST OUOI ?

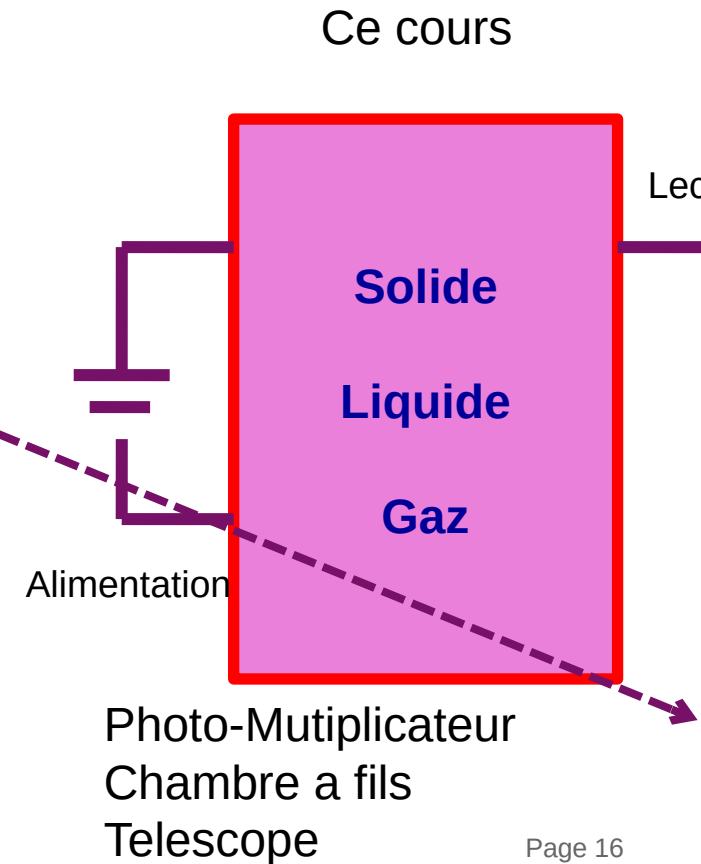
Schématiquement (*****)



Photon
Electron
Particule chargée

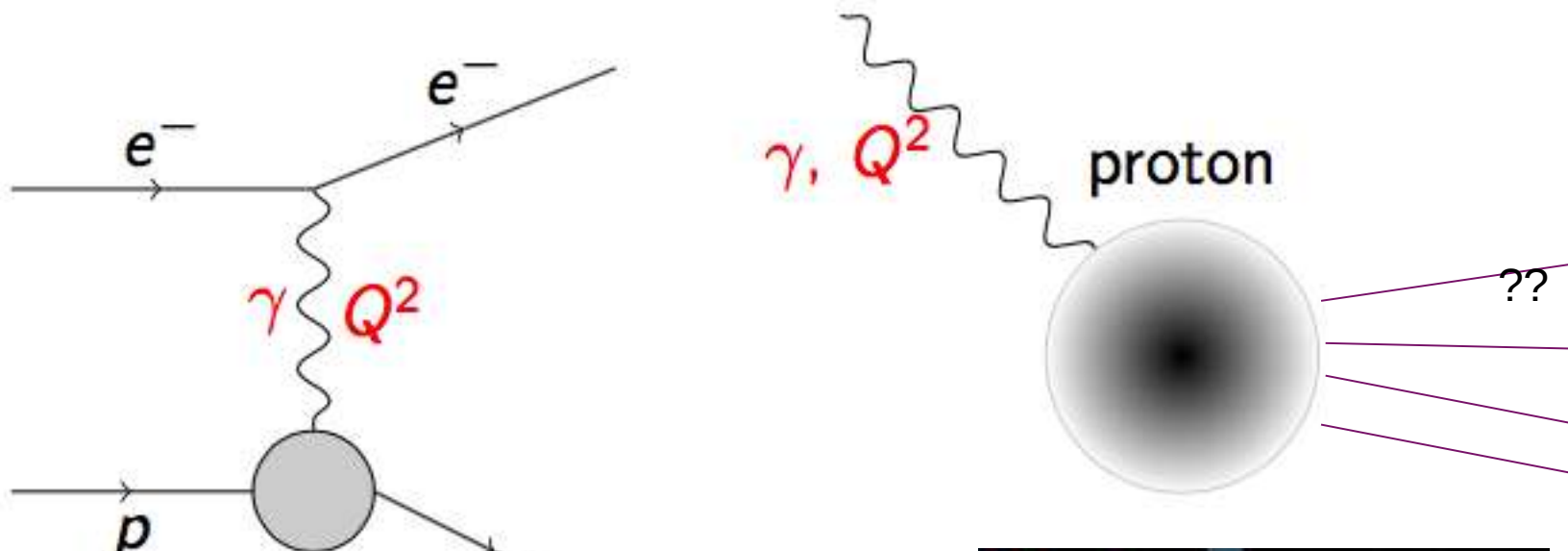
Accelerator
Source Radioactive
Source Astro

Particule

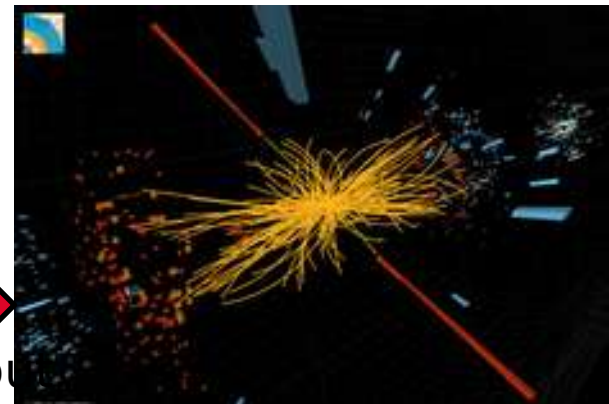


Ce cours
Lec
Solide
Liquide
Gaz
Photo-Multiplicateur
Chambre a fils
Telescope

MESURER QUOI ?

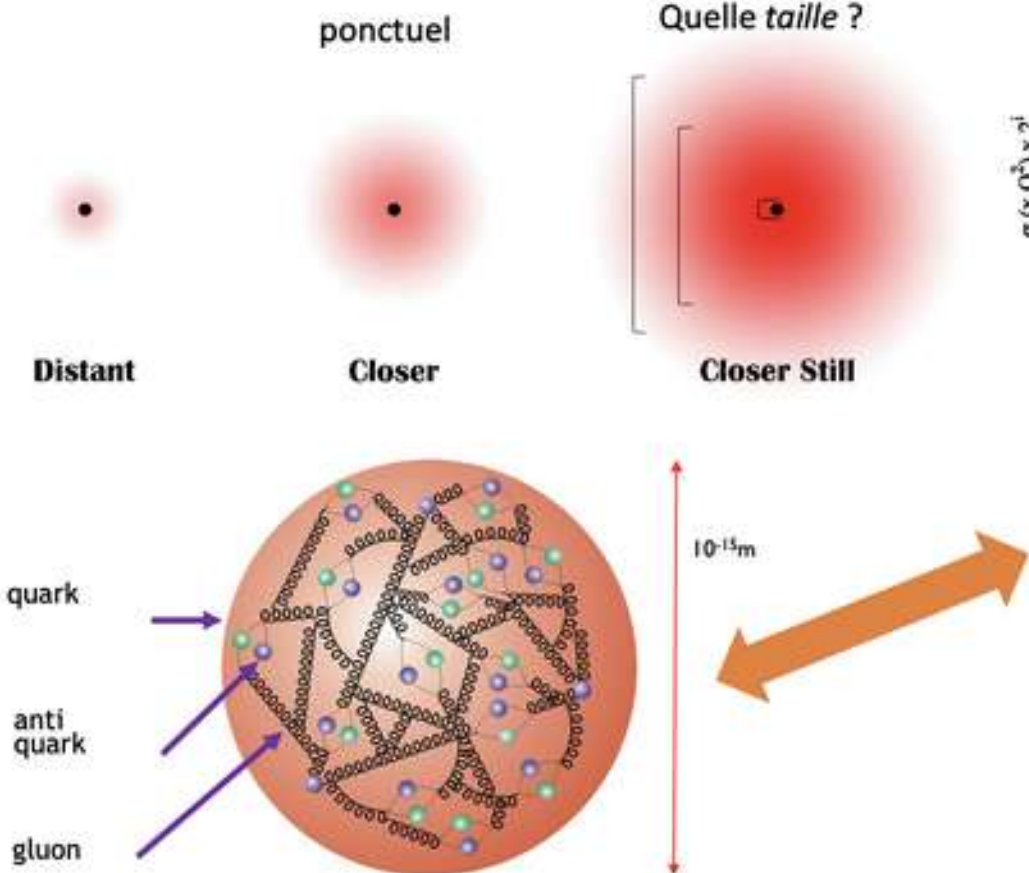


Diffusion élastique.



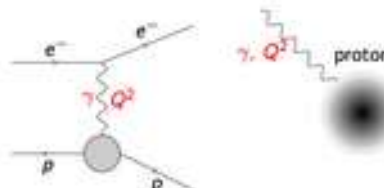
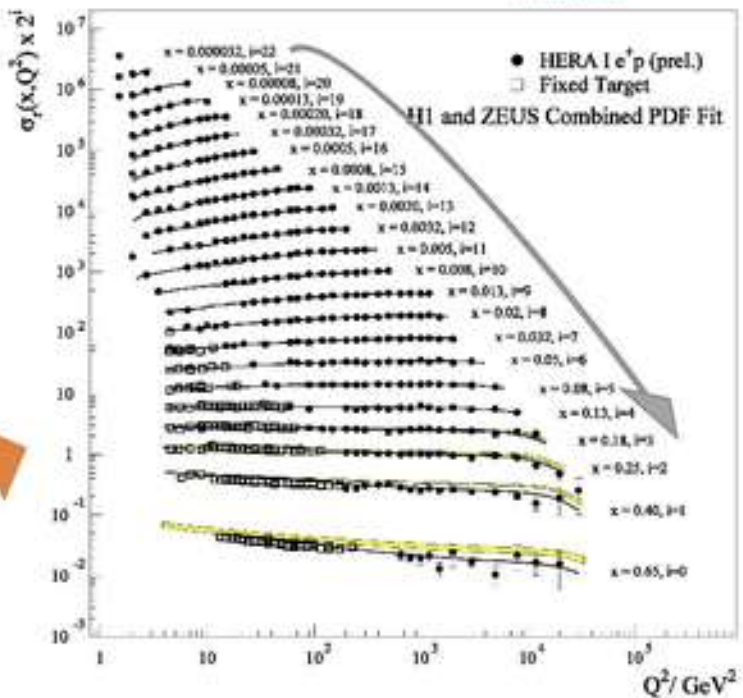
Pas élastique du tout

TOU^NT N'EST PAS SI CLASSIQUE



Quelle taille ?

Invariance d'échelle de Bjorken



Pion

	
The quark structure of the pion.	
Composition	$\pi^+ : u\bar{d}$
	$\pi^0 : u\bar{u} \text{ or } d\bar{d}$
	$\pi^- : d\bar{u}$
Statistics	Bosonic
Interactions	Strong, Weak, Electromagnetic and Gravity
Symbol	$\pi^+, \pi^0, \text{ and } \pi^-$
Theorized	Hideki Yukawa (1935)
Discovered	César Lattes, Giuseppe Occhialini (1947) and Cecil Powell
Types	3
Mass	$\pi^+ : 139.570\,18(35) \text{ MeV}/c^2$ $\pi^0 : 134.9766(6) \text{ MeV}/c^2$
Electric charge	$\pi^+ : +1 e$ $\pi^0 : 0 e$ $\pi^- : -1 e$
Spin	0
Parity	-1

Mesure de l'impulsion (masse et/ou vitesse)

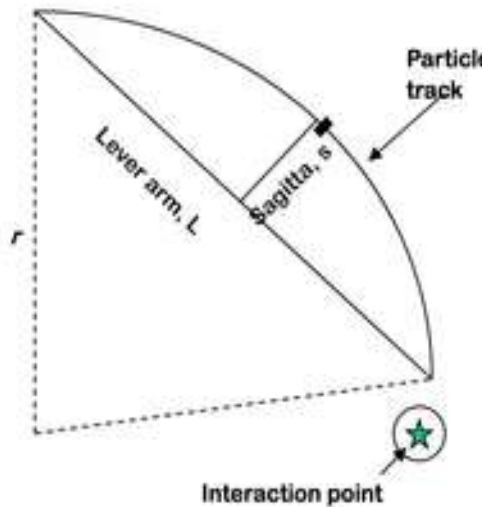
$$p=mv$$

Mesure de l'impulsion

- Technique de spectrométrie magnétique (ou du B-rho)

$$qvB = mv^2/\rho \rightarrow p_{\perp} = p \cos \vartheta = qB\rho$$

- Tracking measures particle 3-momenta**



$$p = qBr \approx \frac{qBL^2}{8s}$$

$$\frac{\sigma_p}{p} = \frac{\sigma_s}{s} = \frac{8p}{qBL^2} \sigma_s$$

Precision of sagitta measurement: $\sigma_s \approx \sqrt{\frac{3}{N}} \sigma_{hit}$ (N position measurements)

Mesure de l'impulsion

- Technique de spectrométrie magnétique (ou du B-rho)

$$qvB = mv^2/\rho \quad \rightarrow \quad p_{\perp} = p \cos \vartheta = qB\rho$$

- Technique de temps de vol (TOF pour Time Of Flight)

$$L = v\tau = \beta c\tau = \beta c\gamma\tau_0 = p\tau_0/m$$

Mesure de l'impulsion

- Technique de spectrométrie magnétique (ou du B-rho)

$$qvB = mv^2/\rho \rightarrow p_{\perp} = p \cos \vartheta = qB\rho$$

- Technique de temps de vol (TOF pour Time Of Flight)

$$L = v\tau = \beta c\tau = \beta c\gamma\tau_0 = p\tau_0/m$$

- Effet Vavilov-Tcherenkov

$$\cos \theta_c = \frac{c}{n\beta c} = \frac{1}{n\beta} .$$



Fig. 5.39. Illustration of the Cherenkov effect [140, 141] and geometric determination of the Cherenkov angle.

Mesure de l'impulsion

- Technique de spectrométrie magnétique (ou du B-rho)
- Technique de temps de vol (TOF pour Time Of Flight)
- Effet Vavilov-Tcherenkov

Mesure de l'énergie

- Calorimétrie
- Perte d'énergie dE/dx

Mesure de l'impulsion

- Technique de spectrométrie magnétique (ou du B-rho)
- Technique de temps de vol (TOF pour Time Of Flight)
- Effet Vavilov-Tcherenkov

Mesure de l'énergie

- Calorimétrie
- Perte d'énergie dE/dx
- Fréquence

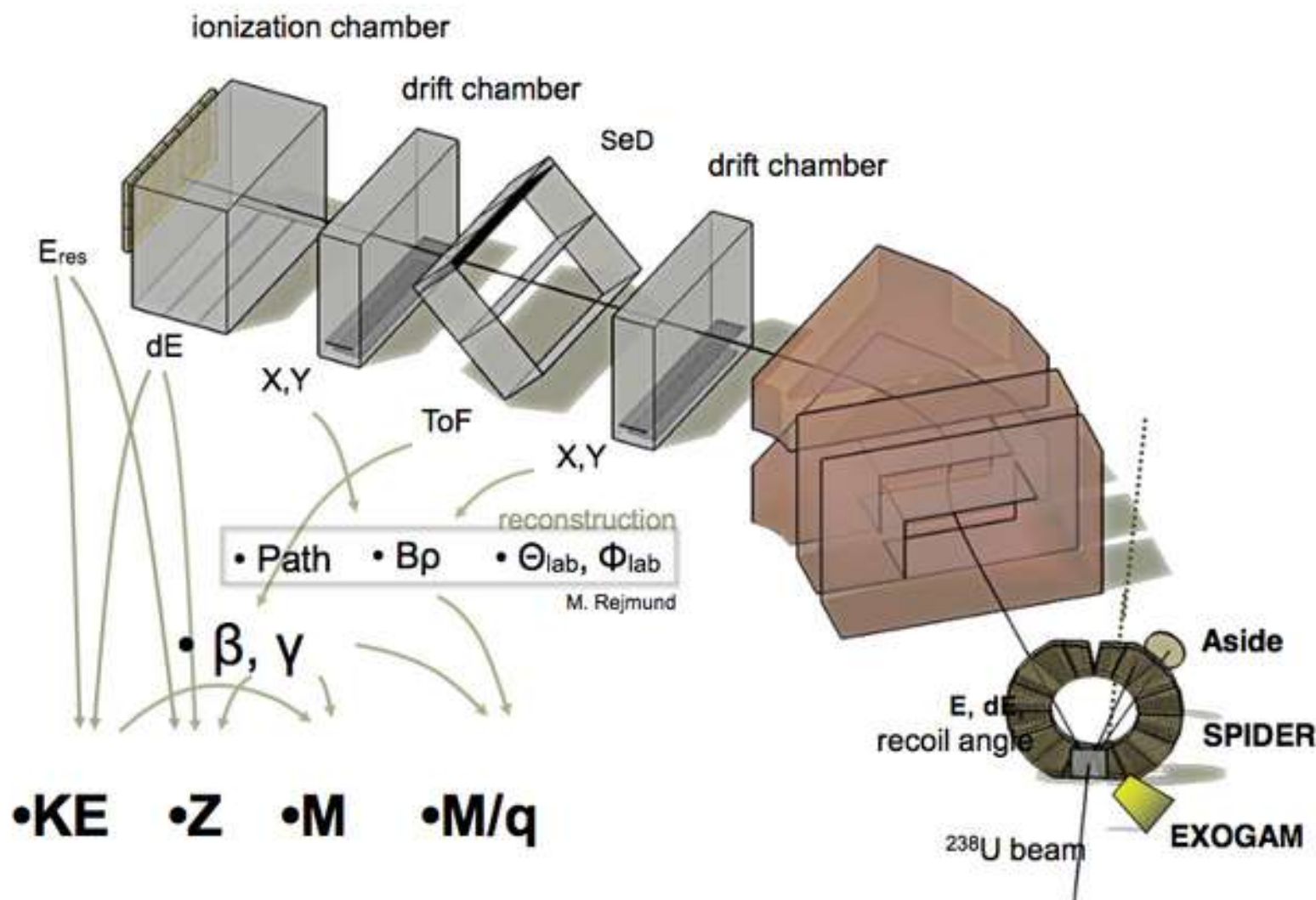
Mesure de spin et de la parité

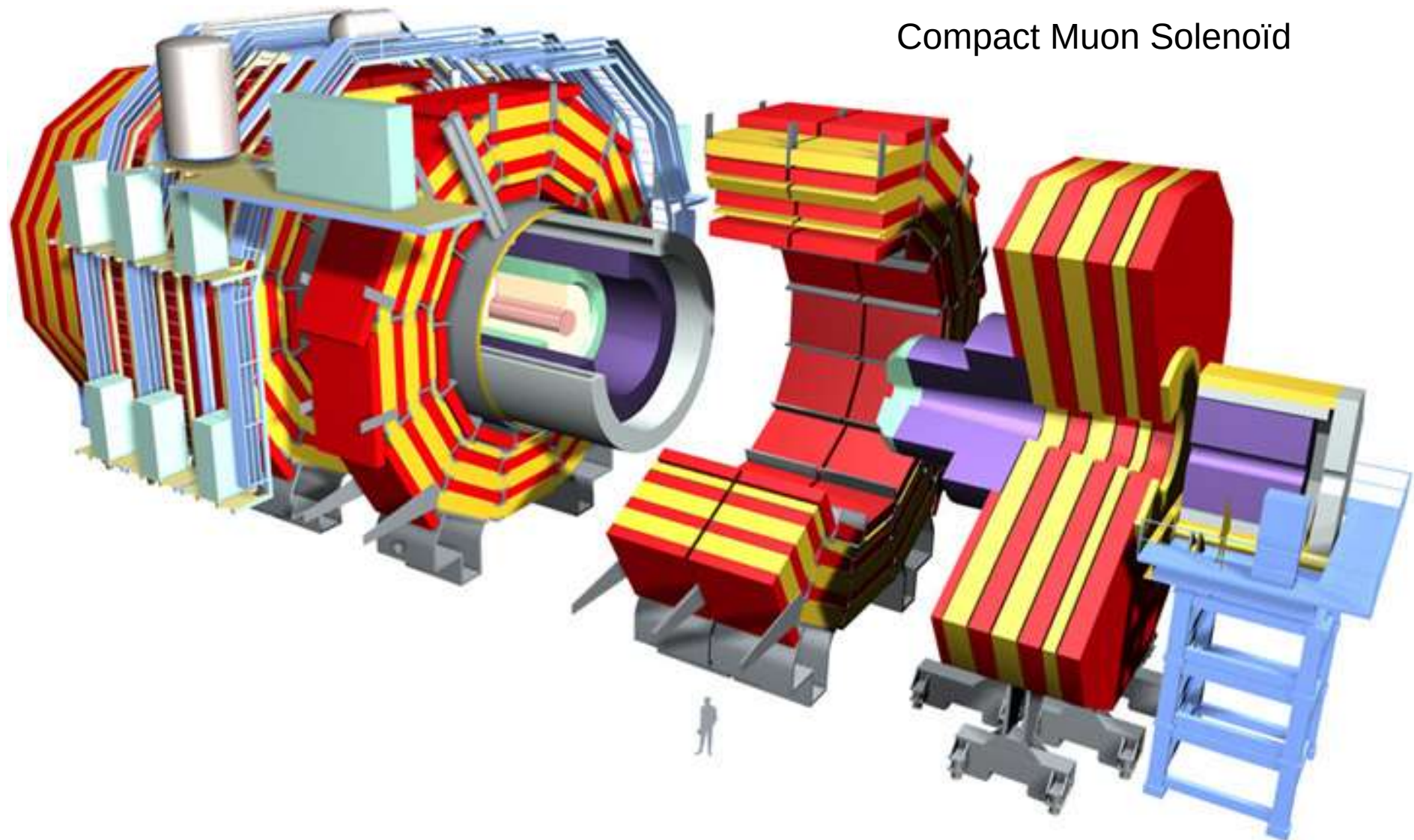
- (Pas traitée ici)
- Avec un polarimètre indirectement
- Par sélection

Mesure de la masse et de la charge (PID)

- Combinaison B-rho et TOF
- Combinaison B-rho et dE/dx
- Masse manquante ...
- Direction de la courbure dans un spectromètre magnétique
- Mesure de la perte d'énergie dE/dx qui dépend de la charge
- L'electromètre

UN EXEMPLE





Compact Muon Solenoid

Trajectographe

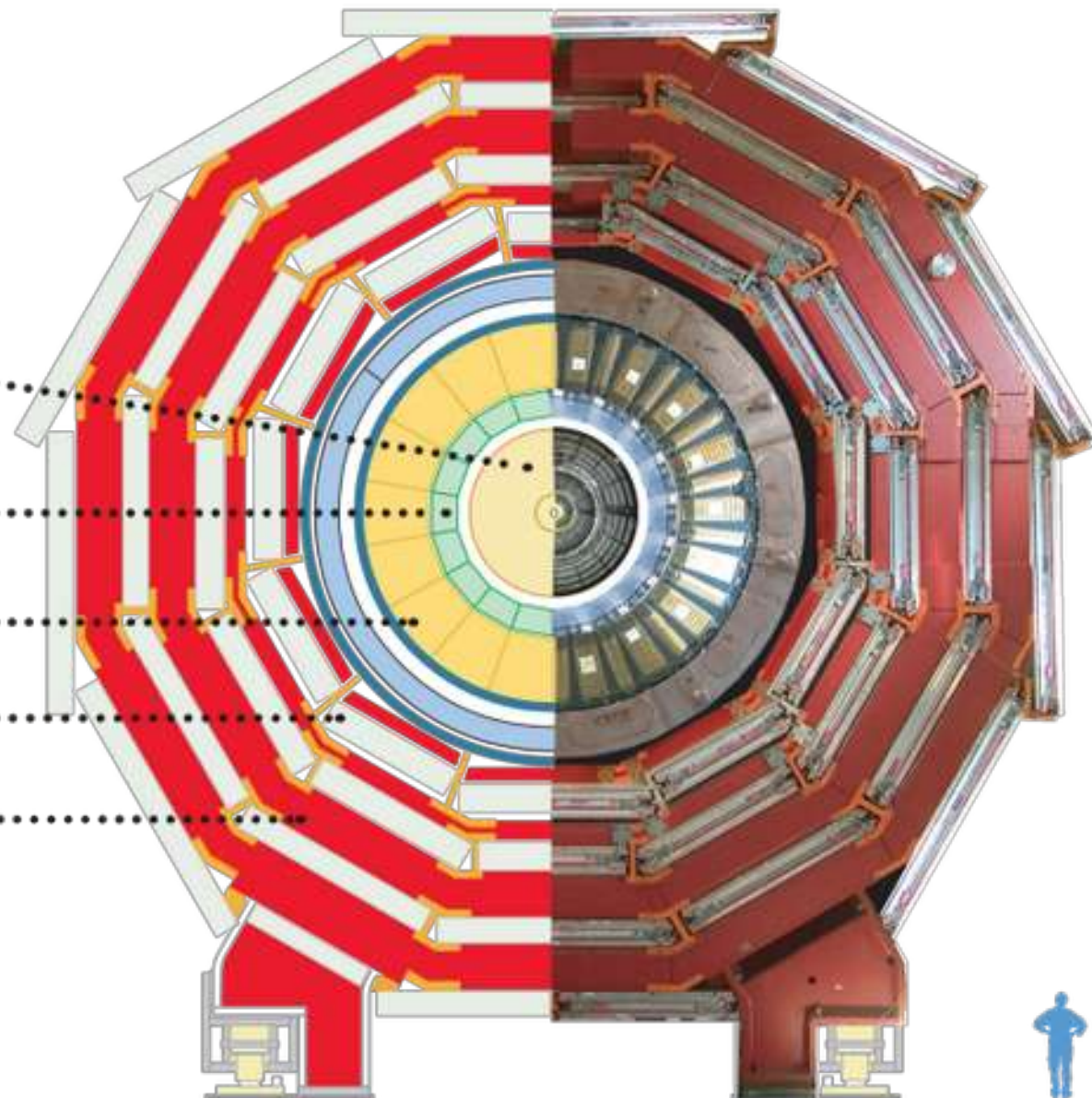
Calorimètre

électromagnétique

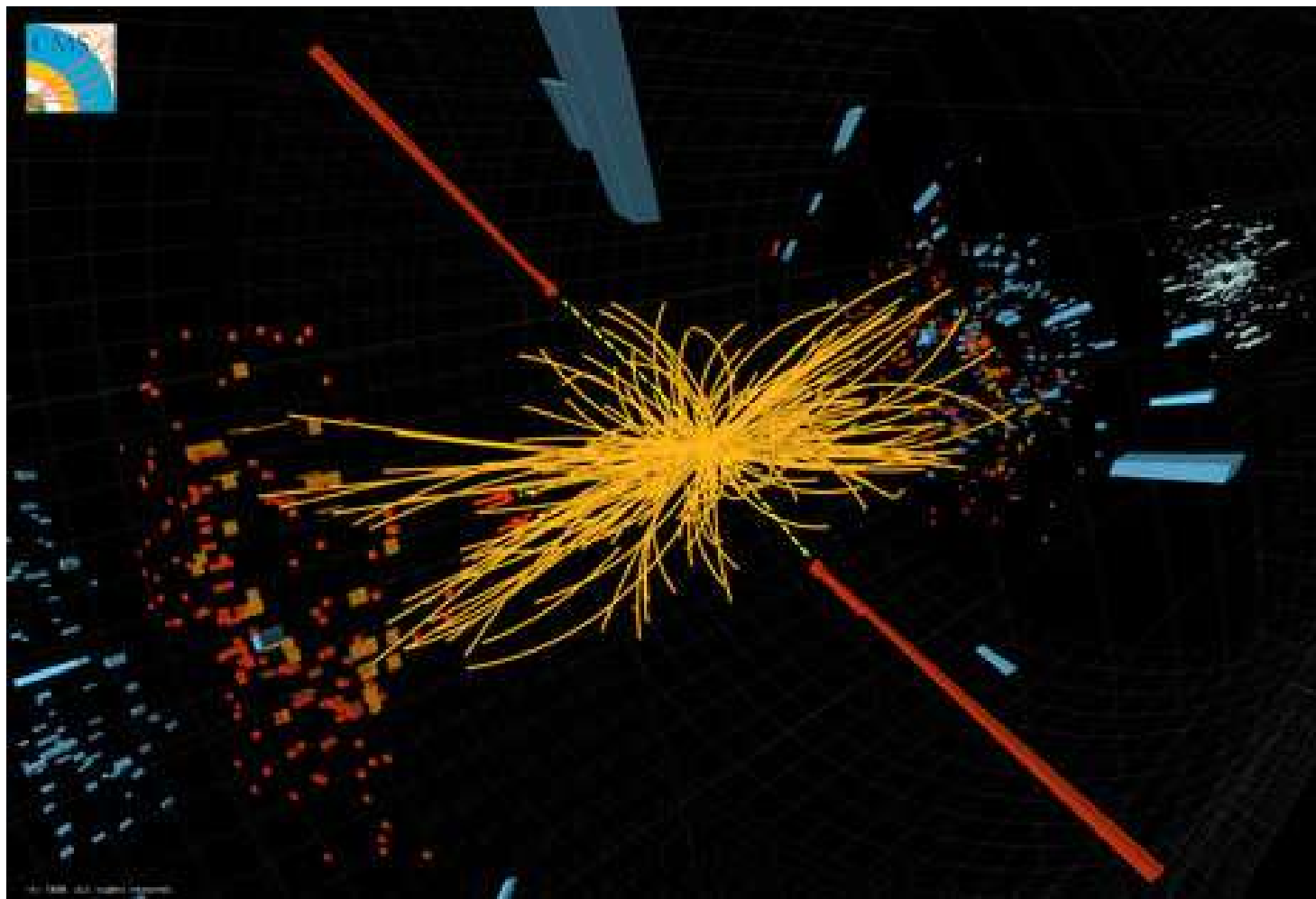
Calorimètre hadronique

Détecteurs à muons

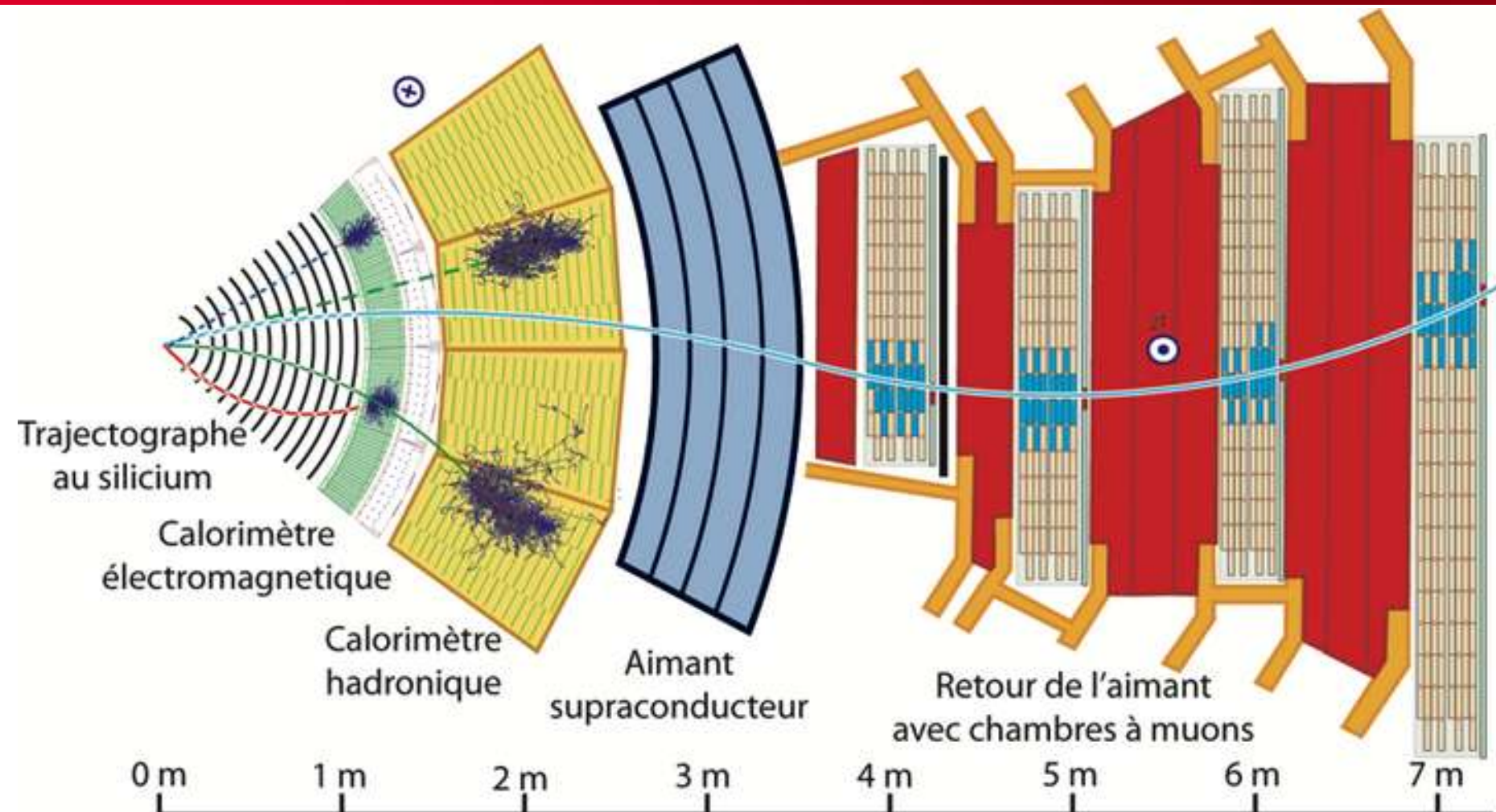
Aimant



The LHC accelerator



Courbes = trajectoire mesurée par les trajectographes
Barres = Mesure d'énergies dans les calorimètre



légende :

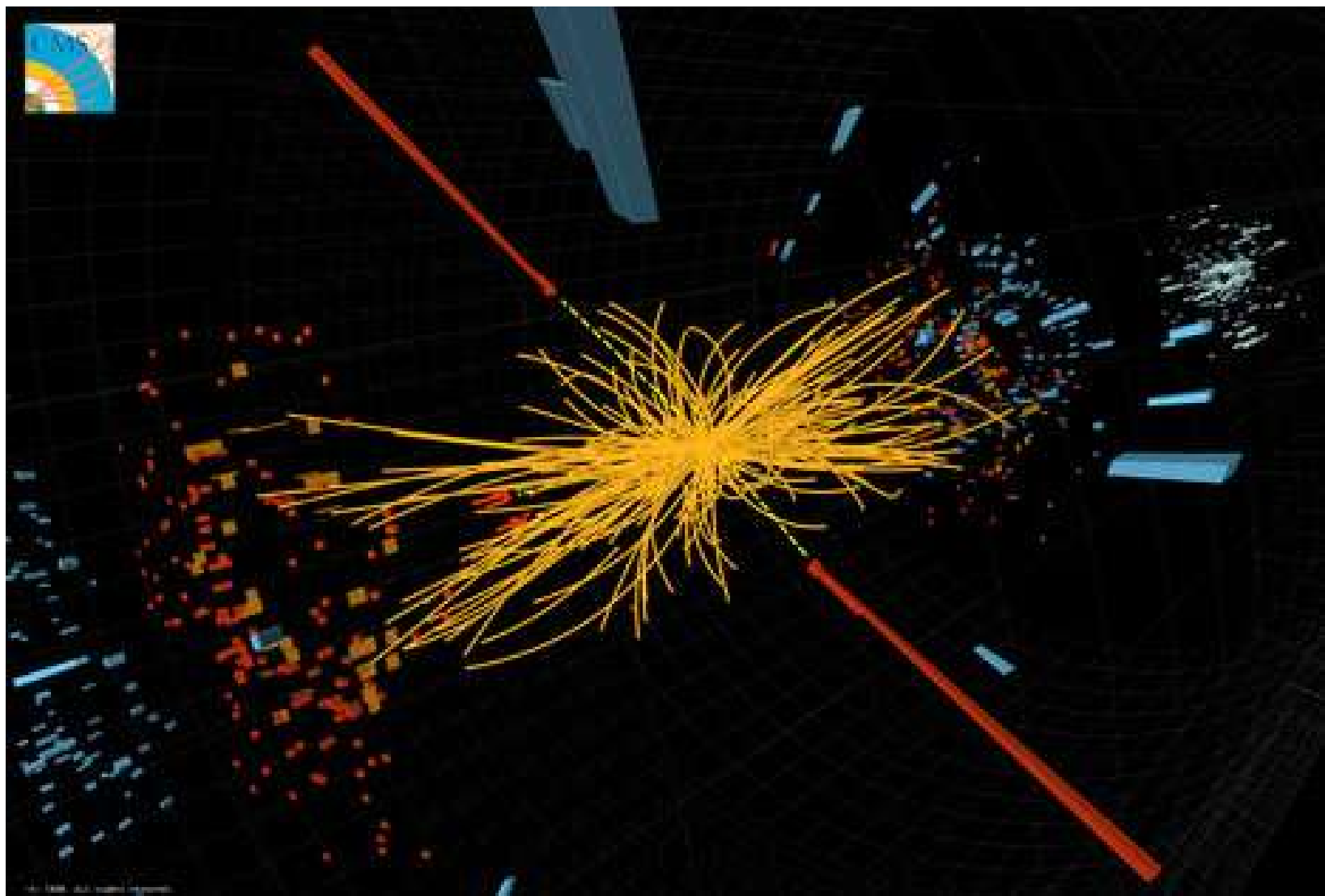
Muon

Électron

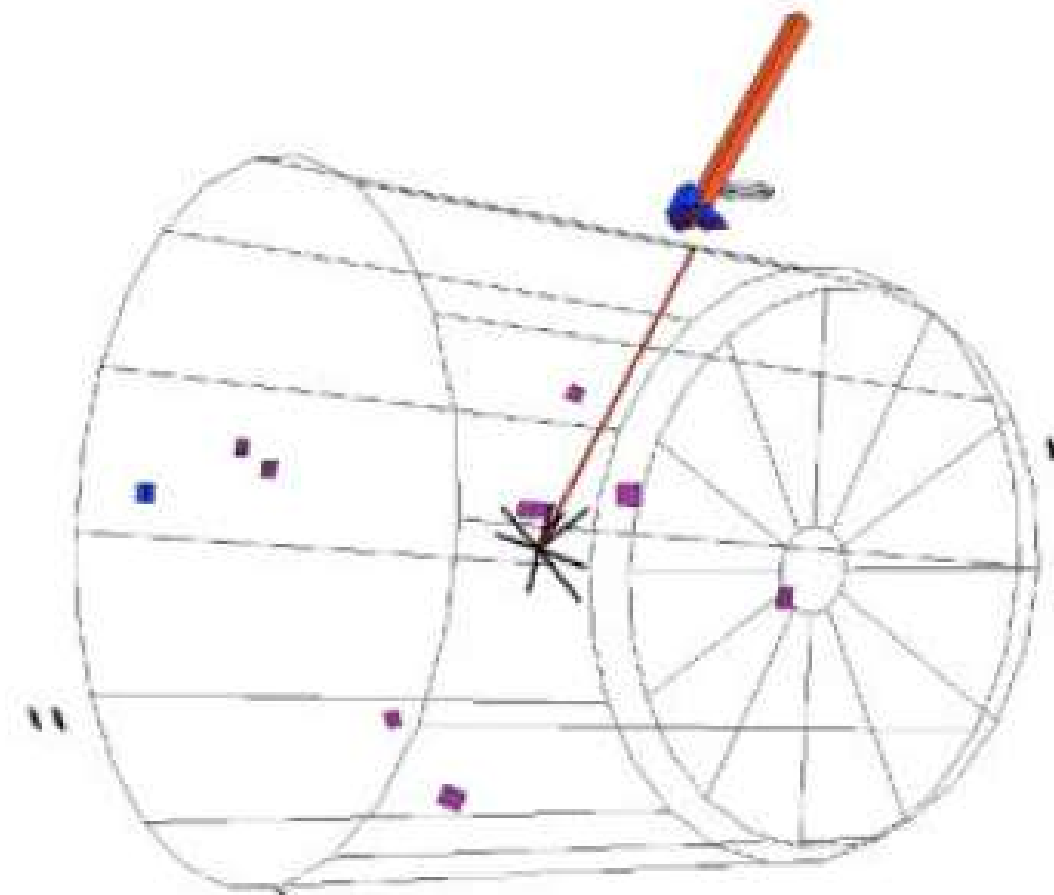
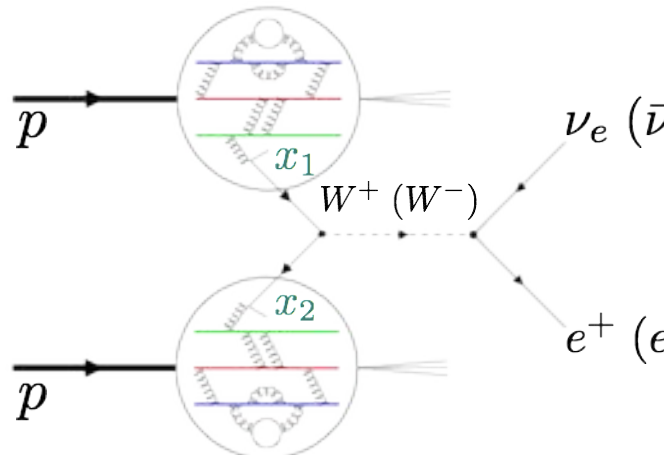
Hadron chargé

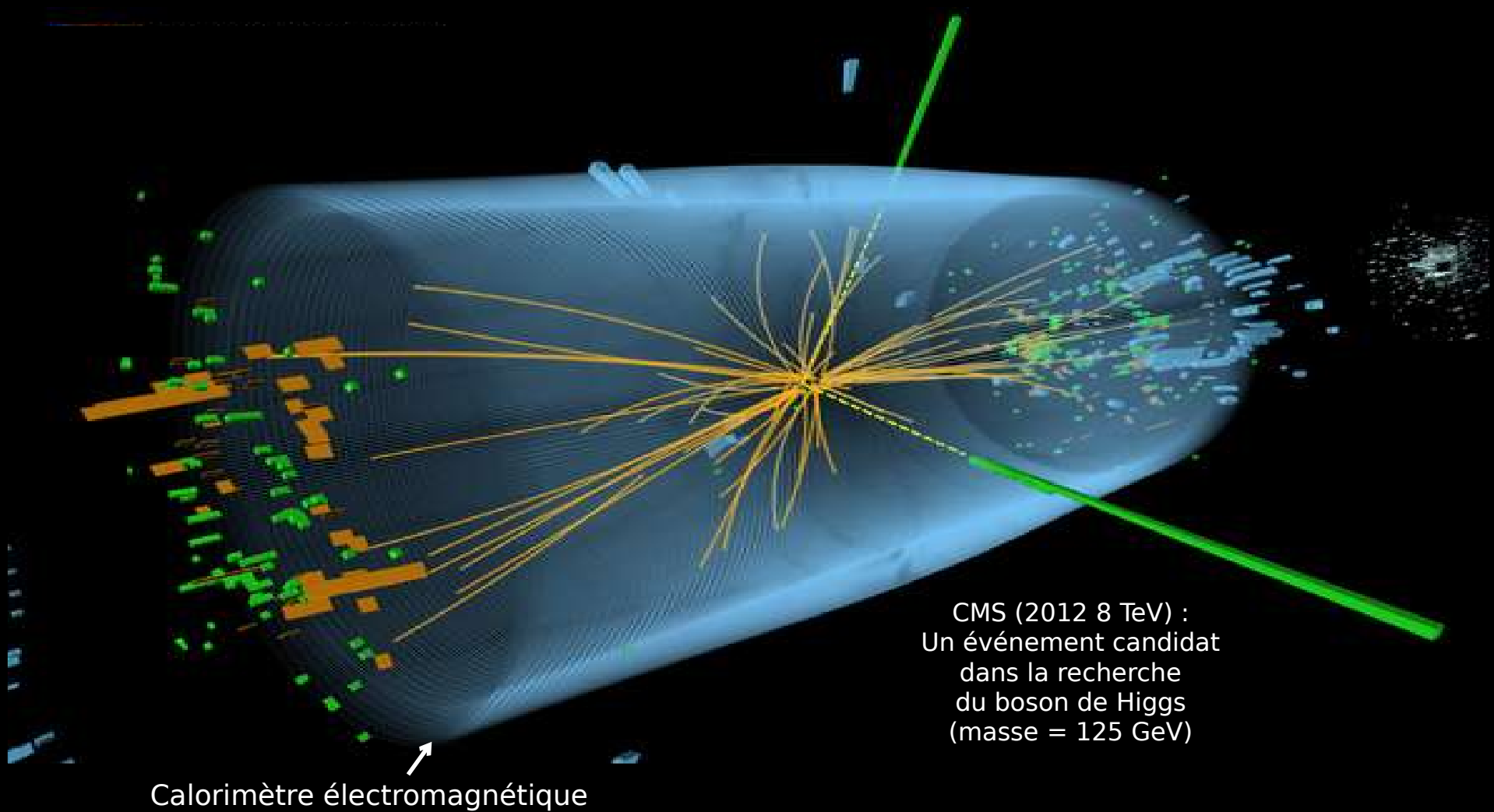
Hadron neutre

Photon



W EVENT -> ISOLATED LEPTON

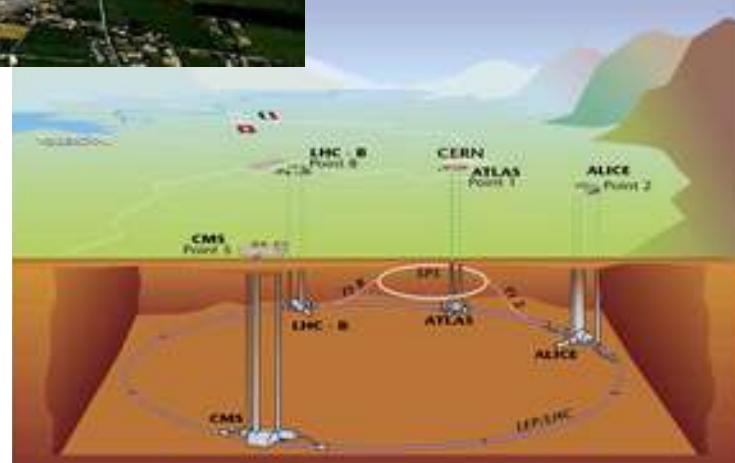




Le Large Hadron Collider



27 km **8.3 T**
1.9 K (**-271.3 °C**)
 10^{-13} atm **362 MJ**



DE LA RECHERCHE À L'INDUSTRIE



Vendredi 5/07 11h (IJCLAB)
Lundi 8/07 12h (CEA IRFU)
Visite Labo 14h (CEA IRFU)
Mercredi 10/07 11h (IAS)



Mesurer l'infiniment petit et observer l'infiniment grand

XII^e édition des **Rencontres d'été de physique**
de L'INFINIMENT GRAND à l'infiniment petit

1^{er}-11 juillet
2024

Orsay
Palaiseau
Paris
Saclay

Rencontres

Promotion Enrico Fermi et David Hilbert

Niveau L3 (ou équivalent)

de L'INFINIMENT
GRAND
à L'INFINIMENT
petit

- Visites de labos, conférences, débats, observation du ciel
- Comprendre l'infiniment petit
- les noyaux et leurs interactions
- Des particules aux étoiles jusqu'au cosmos
- Measuring the infinitely small
- Observe the infinitely large
- Applications médicales
- Maitriser l'énergie
- Les détecteurs spatiaux et ondes d'oscillateurs
- Intelligence Artificielle

indico.in2p3.fr/event/rencontres-physique-infinis

Maxence Vandenbroucke
07/2024

université
PARIS-SACLAY

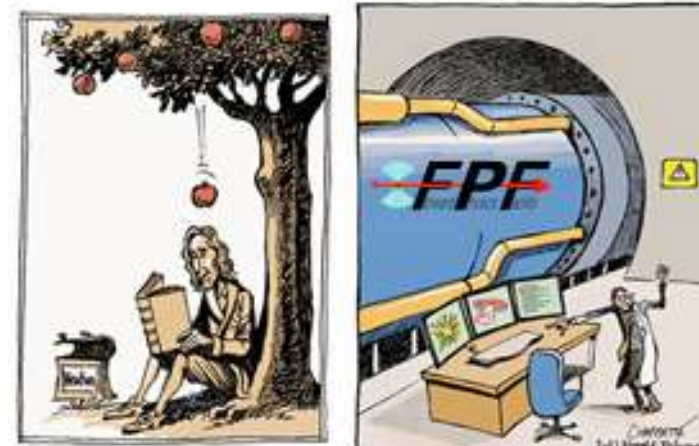
Cours 2 : Les détecteurs de particules

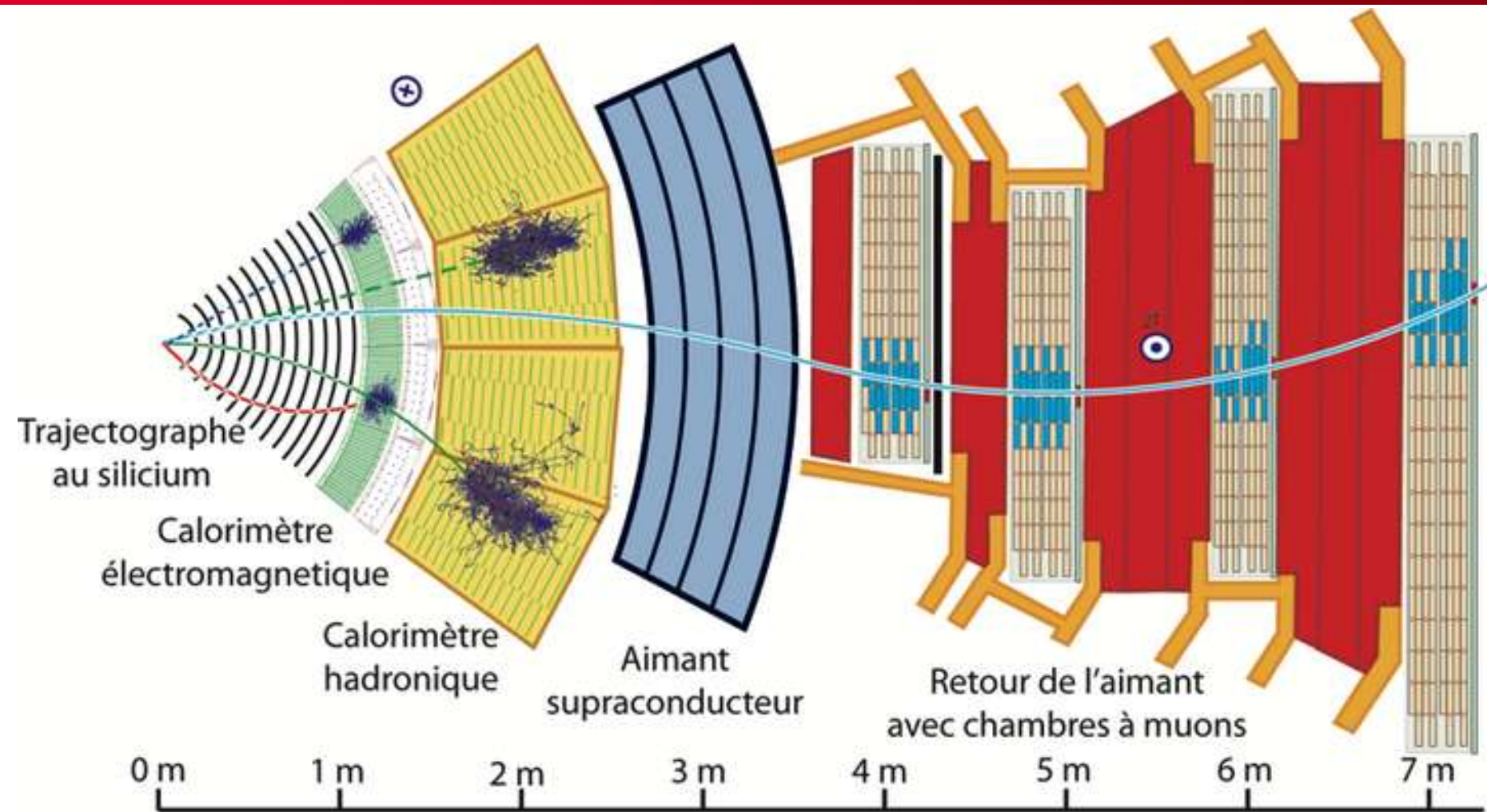
- Détecteurs au Silicium
- Calorimétrie
- Scintillation
- Détecteurs Gazeux



Basé sur les cours de Stefano Panebianco (CEA/IRFU), et le cours de Werner Riegler (CERN), Particle Detectors , Second Edition, C. Grupen & B. Shwartz

Collisions That Changed The World





légende :

— Muon

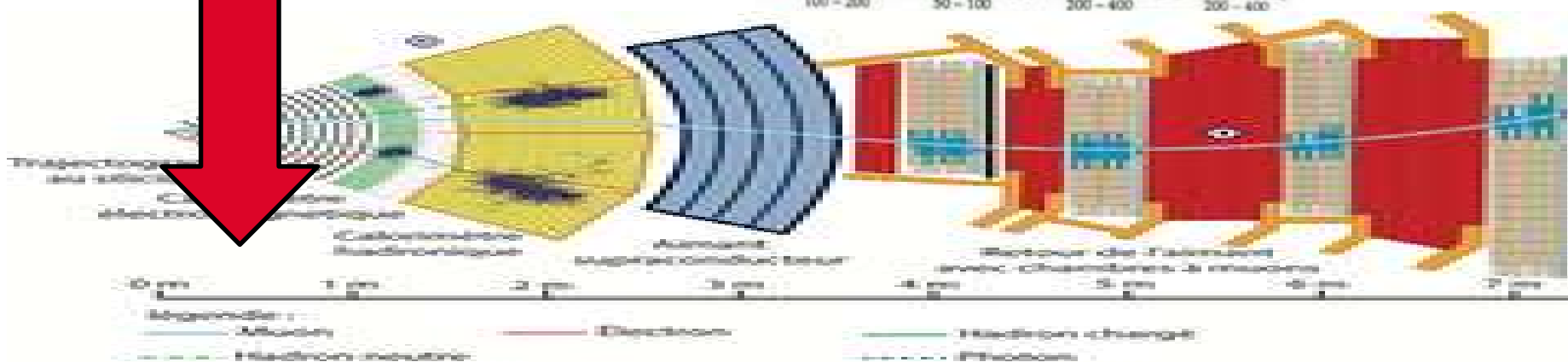
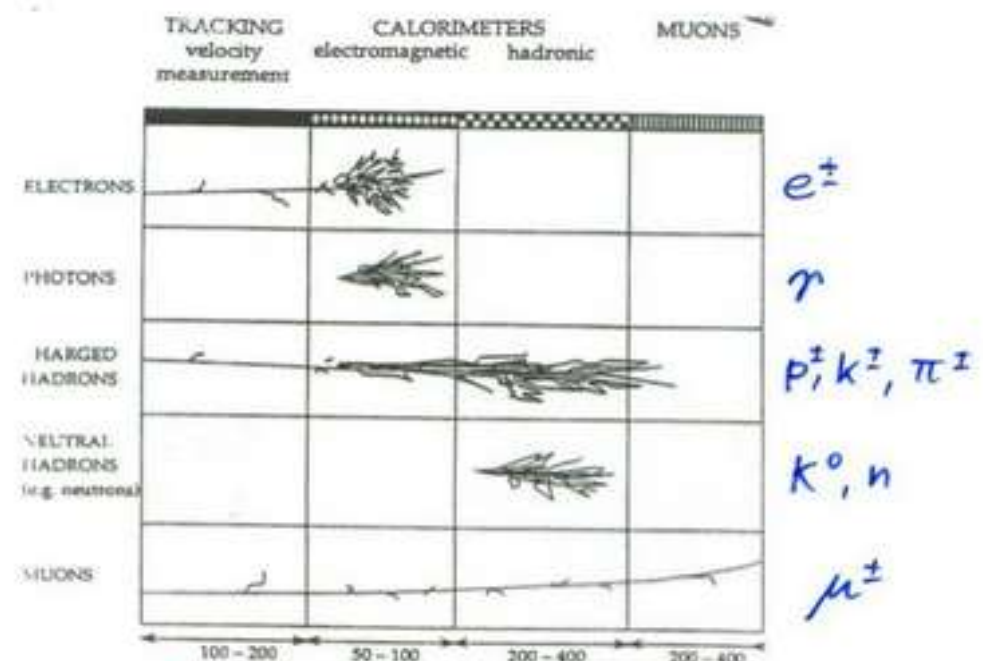
— Électron

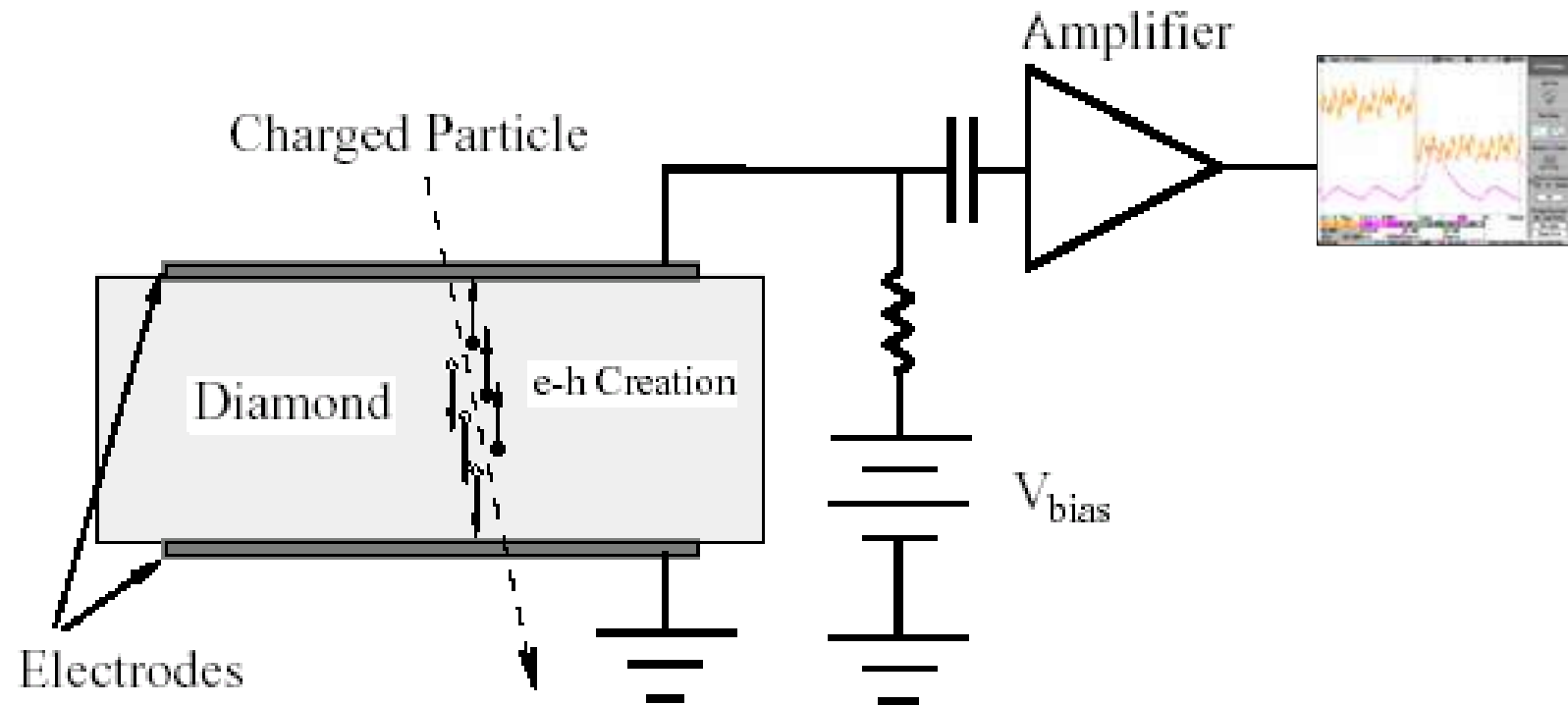
— Hadron chargé

- - - Hadron neutre

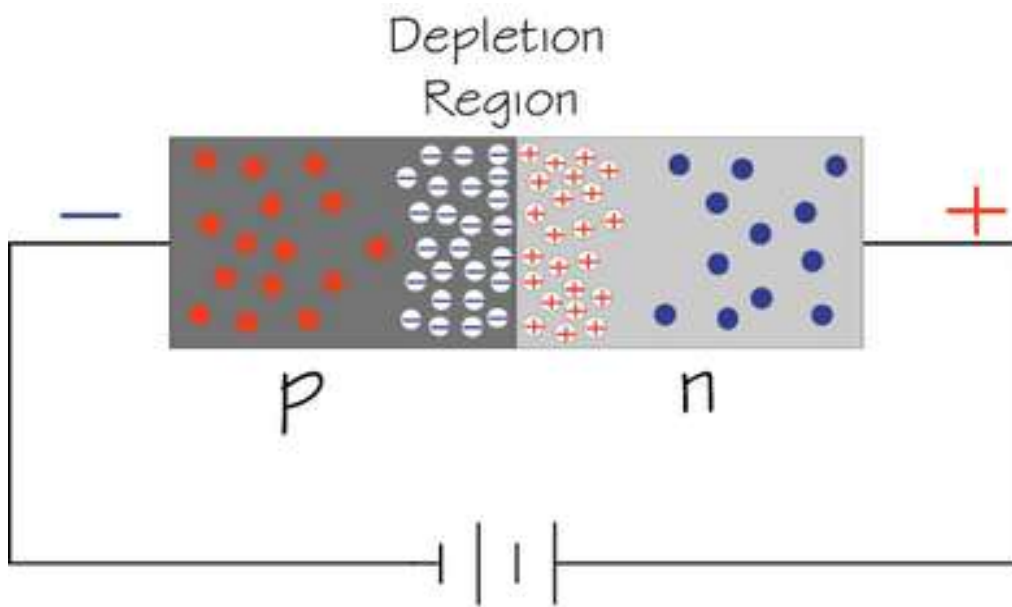
----- Photon

Trajectographies Semi-Conducteur

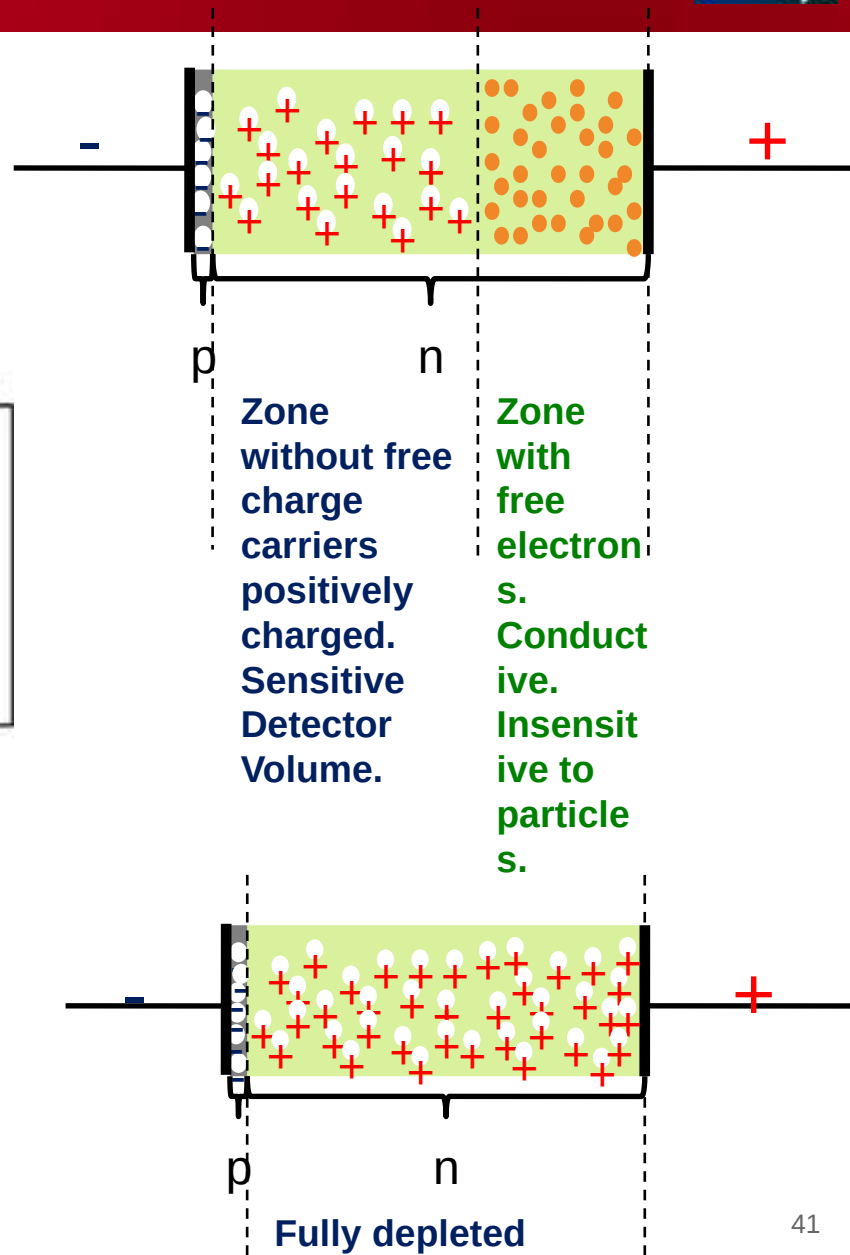


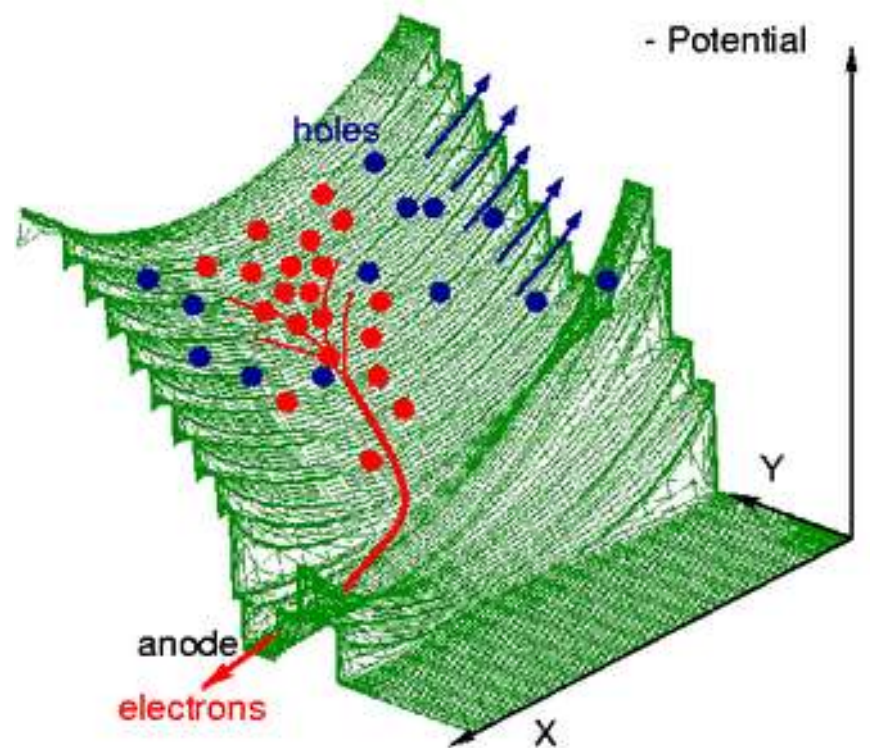
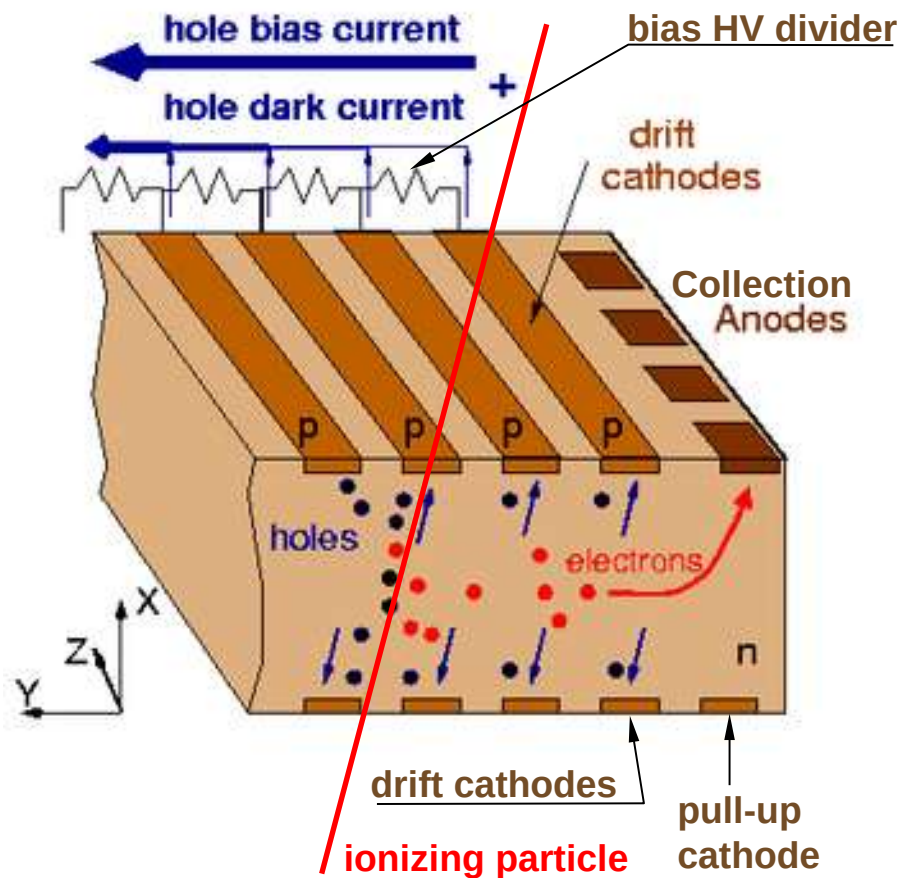


Les DéTECTEURS à base de Semi-Conducteur

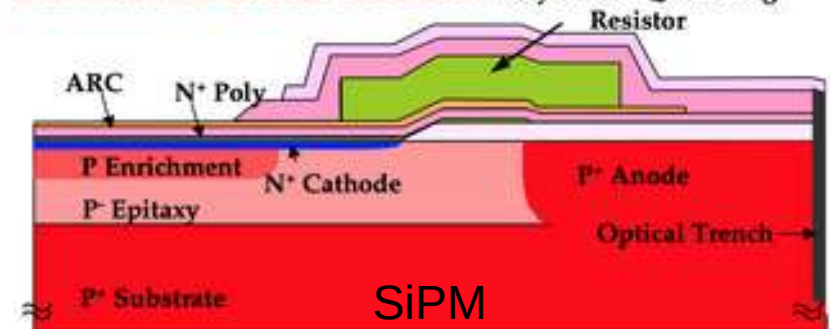


- Electron
- ✚ Positive ion from removal of electron in n-type impurity
- ⊖ Negative ion from filling in p-type vacancy
- Hole

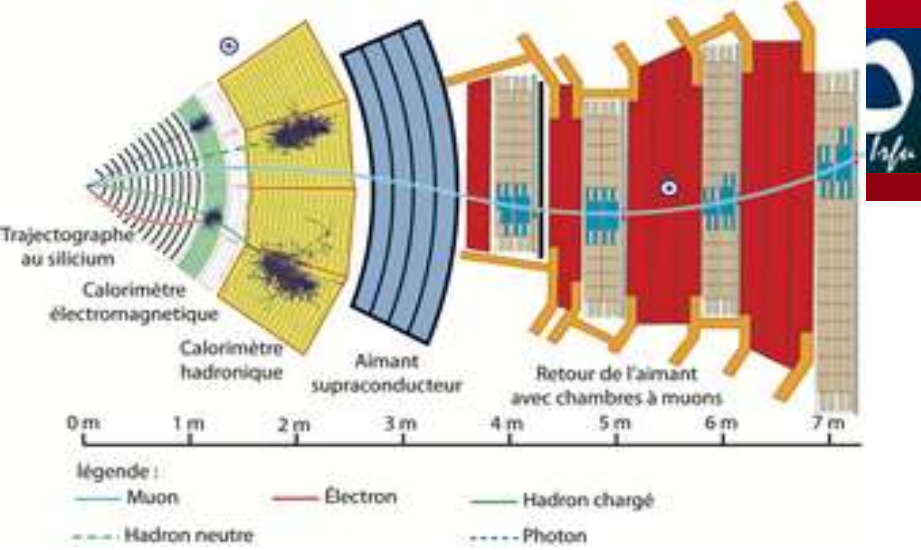




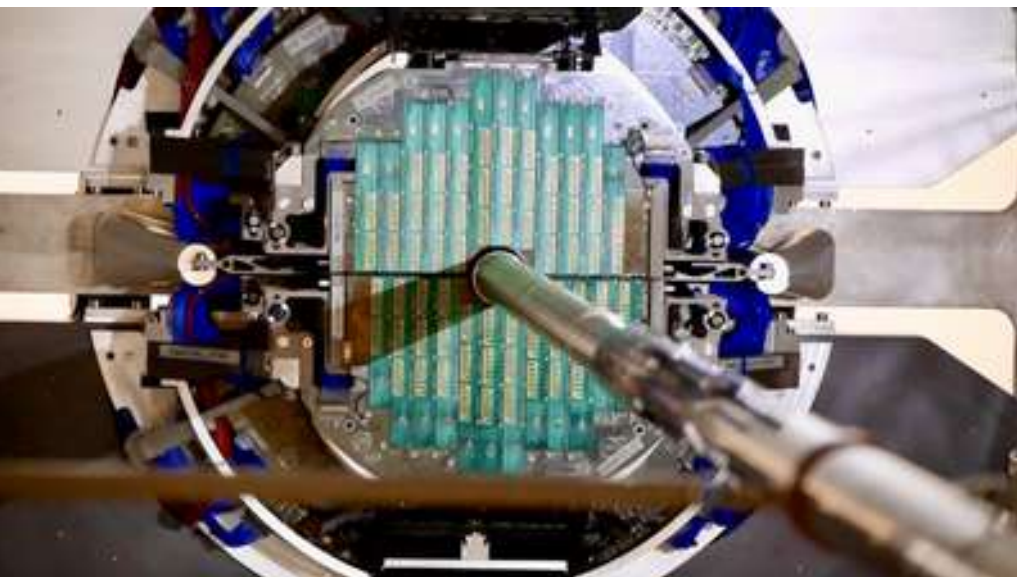
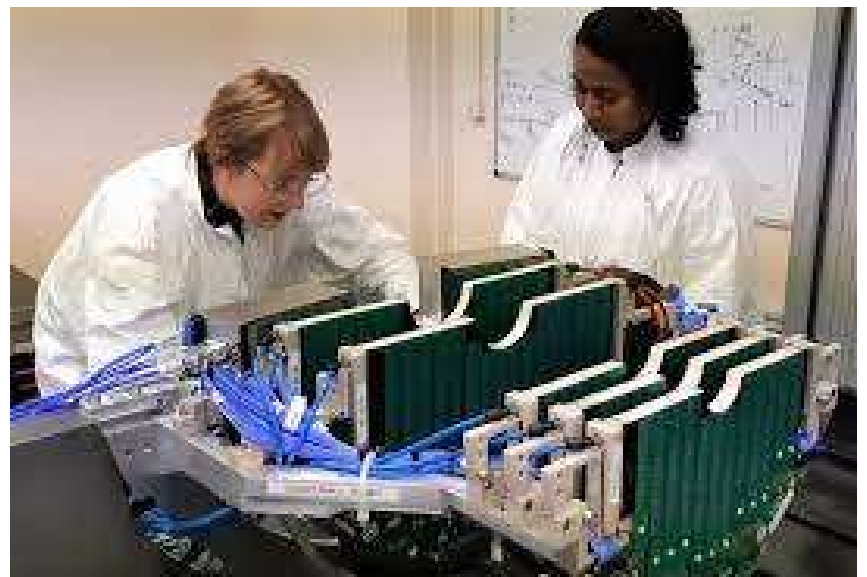
Schematic cross section Poly-silicon Quenching Resistor



Si Tracker

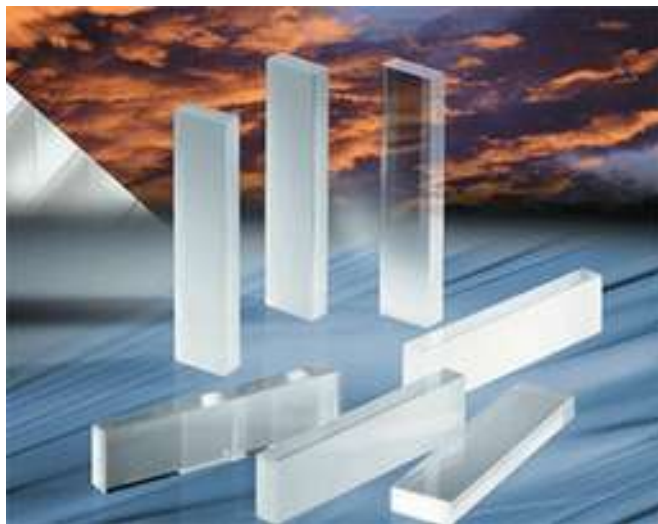


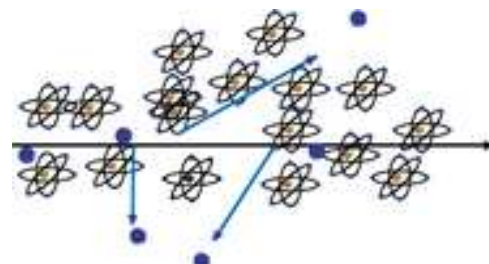
ALICE – MFT (Muon Forward Tracker)





Les DéTECTeur à base de scintillation



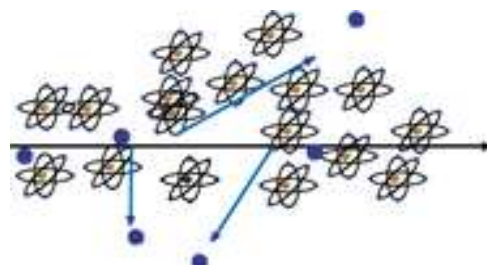


Detectors based on Registration of excited Atoms ☐ Scintillators

Emission of photons by excited Atoms, typically UV to visible light.

What scintillates ?





Detectors based on Registration of excited Atoms ☐ Scintillators

Emission of photons by excited Atoms, typically UV to visible light.



- a) Observed in Noble Gases (even liquid !)
- b) Inorganic Crystals
 - Substances with largest light yield. Used for precision measurement of energetic Photons. Used in Nuclear Medicine.
- c) Polycyclic Hydrocarbons (Naphtalen, Anthrazen, organic Scintillators)
 - *Most important category. Large scale industrial production, mechanically and chemically quite robust. Characteristic are one or two decay times of the light emission.*

Organic ('Plastic') Scintillators

Low Light Yield

Type	Light output	λ_{max}^* (nm)	Attenuation length (cm)	Rise time (ns)	Decay time (ns)	Pulse FWHM (ns)
NE 102A	58-70	423	250	0.9	2.2-2.5	2.7-3.2
NE 104	68	406	120	0.6-0.7	1.7-2.0	2.2-2.5
NE 104B	59	406	120	1	3.0	3
NE 110	60	434	400	1.0	2.9-3.3	4.2
NE 111	40-55	371	8	0.13-0.4	1.3-1.7	1.2-1.6
NE 114	42-50	434	350-400	-1.0	4.0	5.3
Pilot B	60-64	408	125	0.7	1.6-1.9	2.4-2.7
Pilot F	64	423	300	0.9	2.1	3.0-3.3
Pilot U	55-67	391	100-140	0.5	1.4-1.5	1.2-1.9
BC 404	68	408	—	0.7	1.8	2.2
BC 408	64	423	—	0.9	2.1	2.5
BC 420	64	391	—	0.5	1.5	1.3
ND 100	60	434	400	—	3.3	3.3
ND 120	65	423	250	—	2.4	2.7
ND 160	68	408	125	—	1.8	2.3

* Percentage of anthracene.

λ_{max} : Wavelength of maximum emission.

l/α : length.

α : Main component.

Source: Catalog, Nuclear Enterprises; Catalog, Bicron Corporation; Catalog, National Diagnostics; M. Mouszakis and B. Bengtson, Nucl. Instr. Meth. 158: 1, 1979; G. D'Agostini et al., Nucl. Instr. Meth. 183: 49, 1981.

Fast: 1-3ns

Inorganic (Crystal) Scintillators

Large Light Yield

Slow: few 100ns

	Relative light output	λ_{max} emission (nm)	Decay time (ns)	Density (g/cm ³)
<i>Inorganic crystals</i>				
Nal(Tl)	230	415	230	3.67
CsI(Tl)	250	560	900	4.51
Bi ₄ Ge ₃ O ₁₂ (BGO)	23-86	480	300	7.13
<i>Organic crystals</i>				
Anthracene	100	448	22	1.25
Trans-stilbene	75	384	4.5	1.16
Naphthalene	32	330-348	76-96	1.03
p,p'-Quarterphenyl	94	437	7.5	1.20
<i>Primary activators</i>				
2,5-Diphenyl-oxazole (PPO)	75	360-416	5*	
2-Phenyl-5-(4-biphenyl)-1,3,4-oxadiazole (PBD)	96	360-5		
4,4"-Bis(2-butyloctyloxy)-p-quatrcphenyl (BIBUQ)	60	365,393	1.30*	

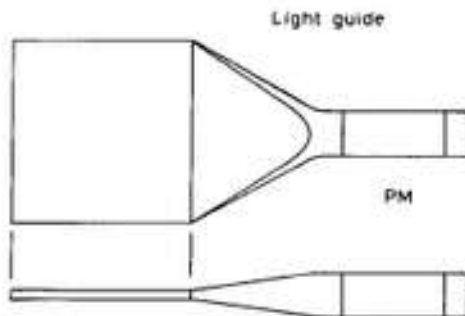
LHC bunchcrossing 25ns

LEP bunchcrossing 25 μ s

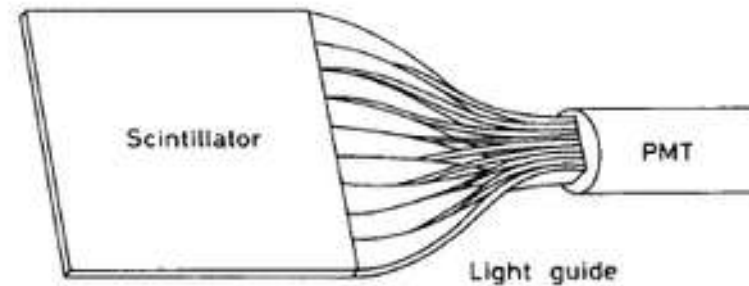
Typical Geometries:



- Light guides: transfer by total internal reflection (+outer reflector)

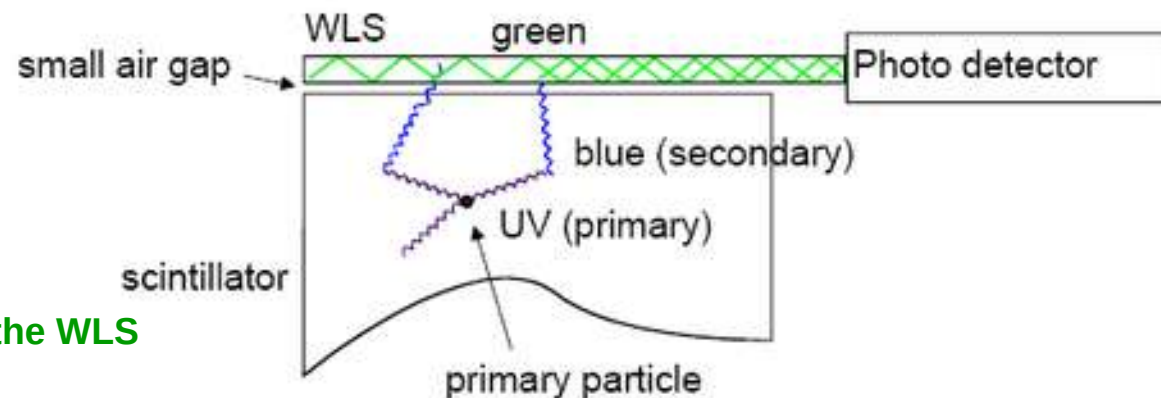


“fish tail”



adiabatic

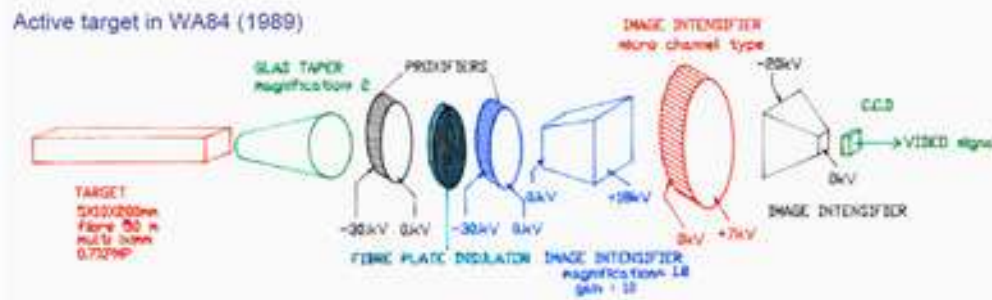
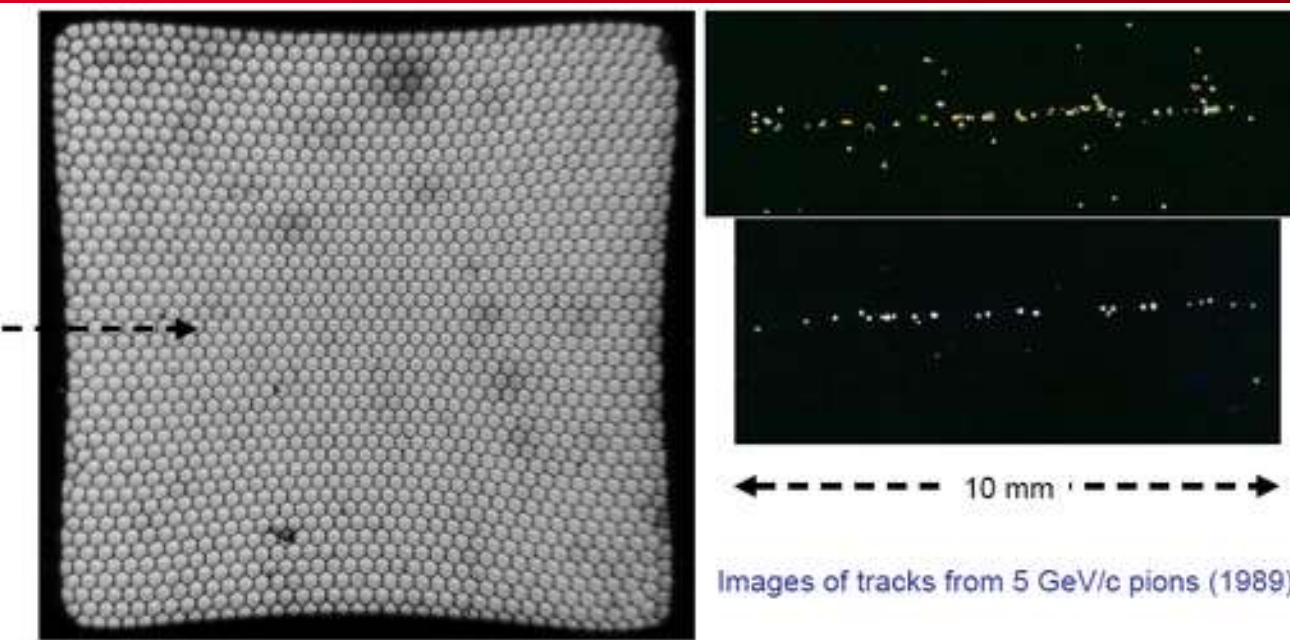
- wavelength shifter (WLS) bars



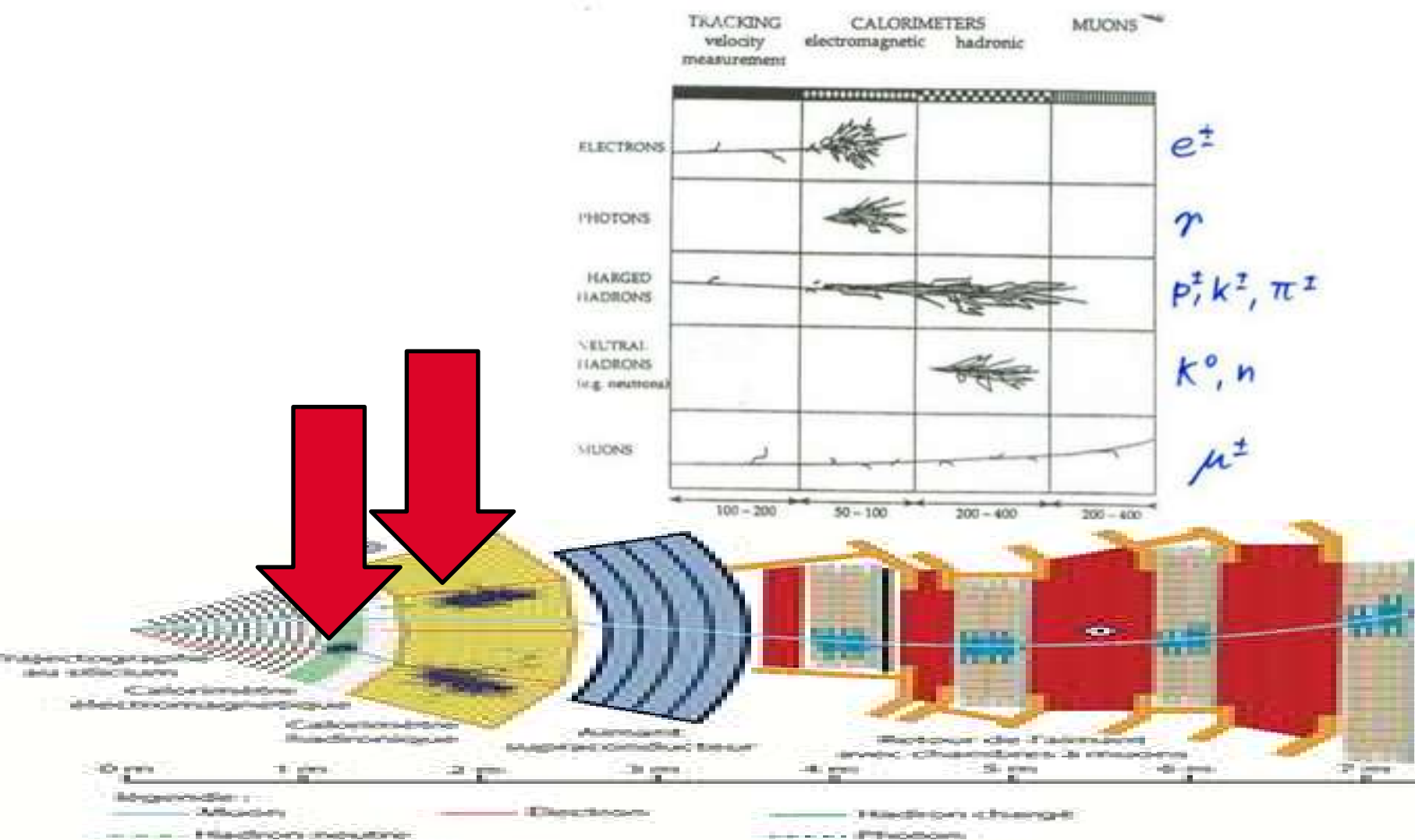
UV light enters the WLS material
Light is transformed into longer
wavelength

→ Total internal reflection inside the WLS
material
→ ‘transport’ of the light to the photo
detector

Fiber Tracking



Readout of photons in a cost effective way is rather challenging.



Calorimeters can be classified into:

Electromagnetic Calorimeters,
to measure electrons and photons through their EM interactions.

Hadron Calorimeters,
Used to measure hadrons through their strong and EM interactions.

The construction can be classified into:

Homogeneous Calorimeters,
that are built of only one type of material that performs both tasks, energy degradation and signal generation.

Sampling Calorimeters,
that consist of alternating layers of an absorber, a dense material used to degrade the energy of the incident particle, and an active medium that provides the detectable signal.

C.W. Fabjan and F. Gianotti, Rev. Mod. Phys., Vol. 75, N0. 4, October 2003

EM Calorimetry

At high energies (higher than 100 MeV) electrons lose their energy almost exclusively by bremsstrahlung while photons lose their energy by electron-positron pair production

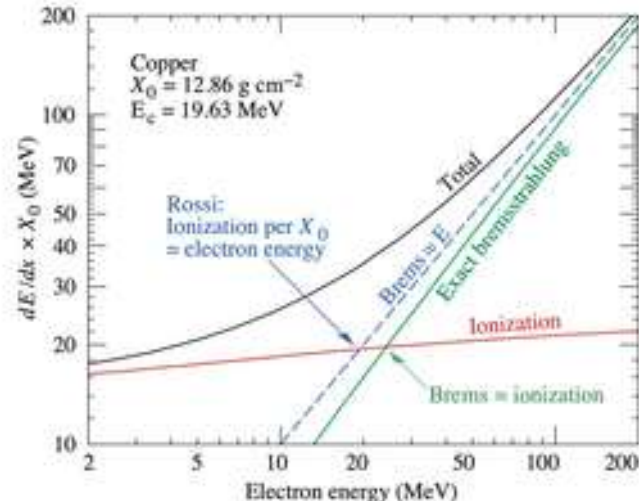
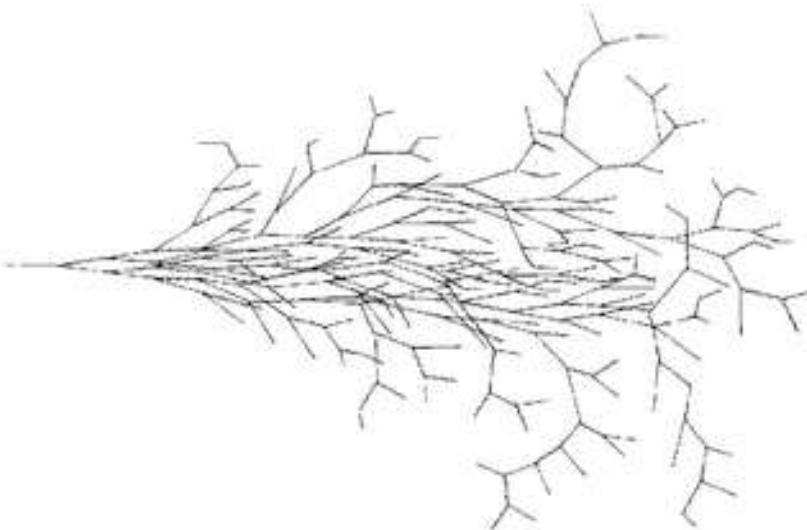
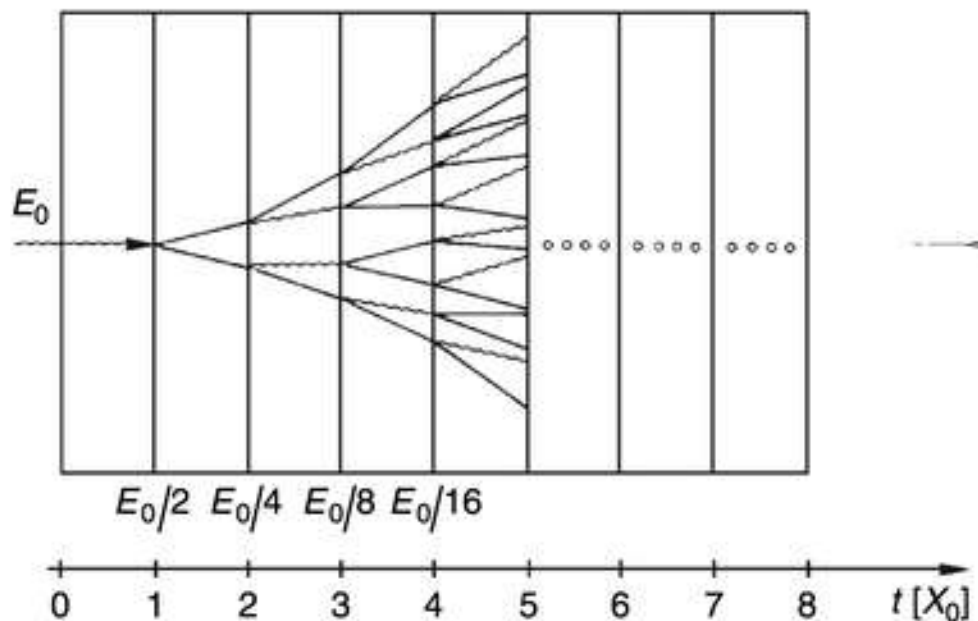


Figure 34.13: Two definitions of the critical energy E_c .

$$\frac{1}{X_0} = 4 \left(\frac{\hbar}{m_e c} \right)^2 Z(Z+1) \alpha^3 n_a \log \left(\frac{183}{Z^{1/3}} \right),$$

Crystals for Homogeneous EM Calorimetry

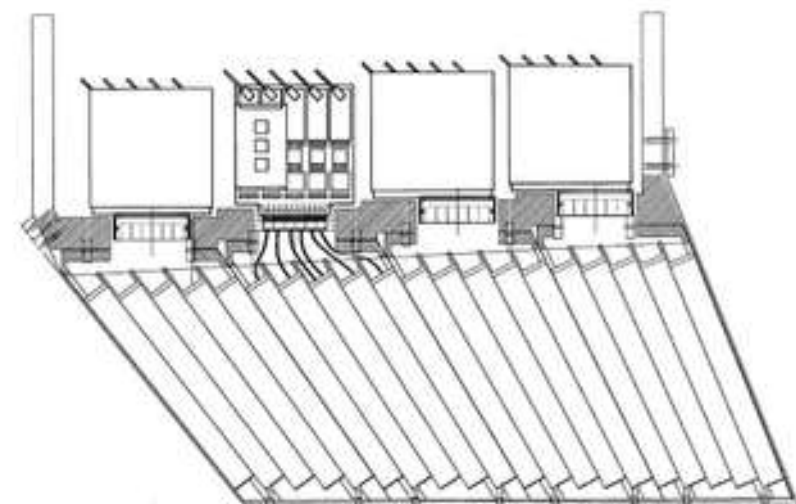
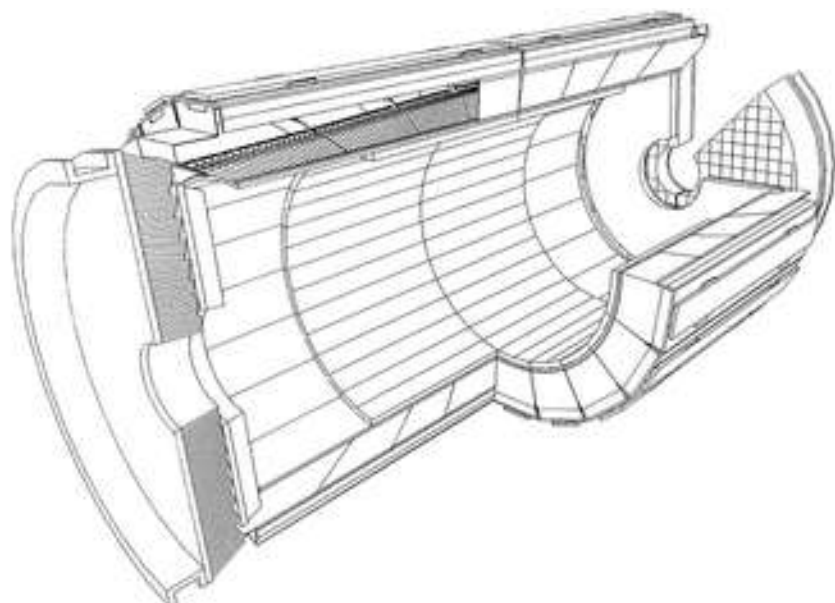
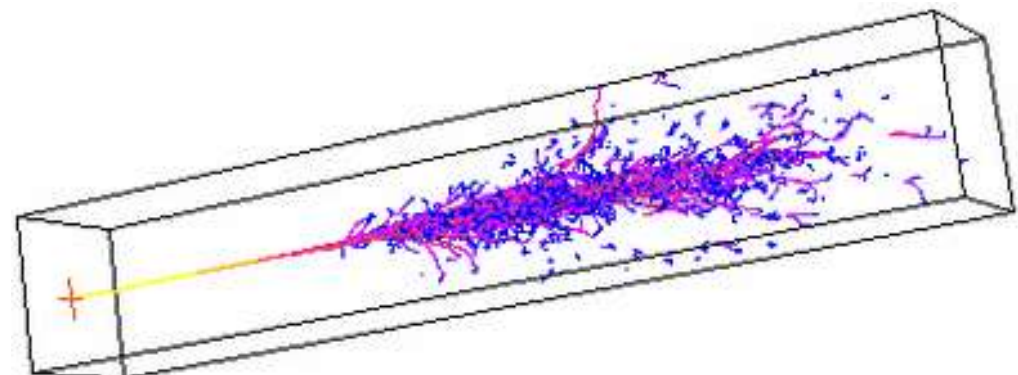
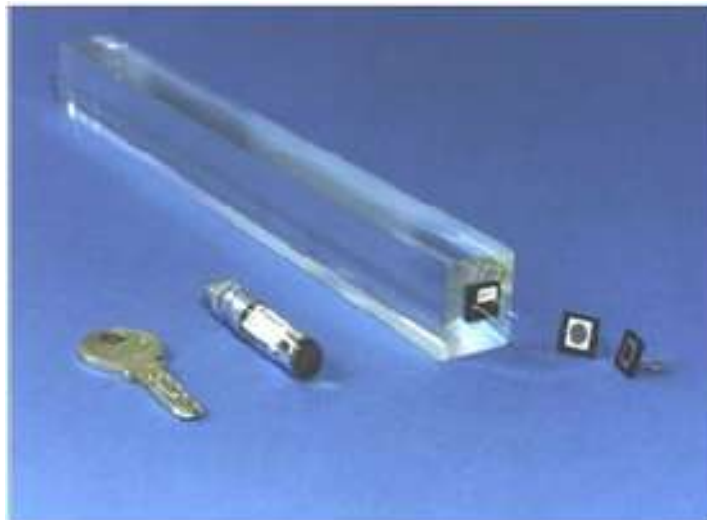


Fig. 2. Longitudinal drawing of module 2, showing the structure and the front-end electronics layout.

Hadron Calorimeters are Large because hadrons are hard to stop

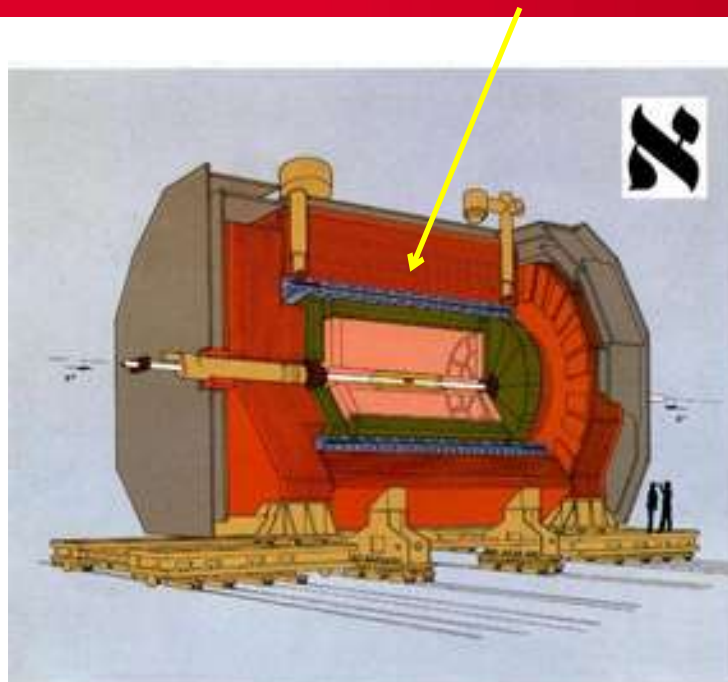
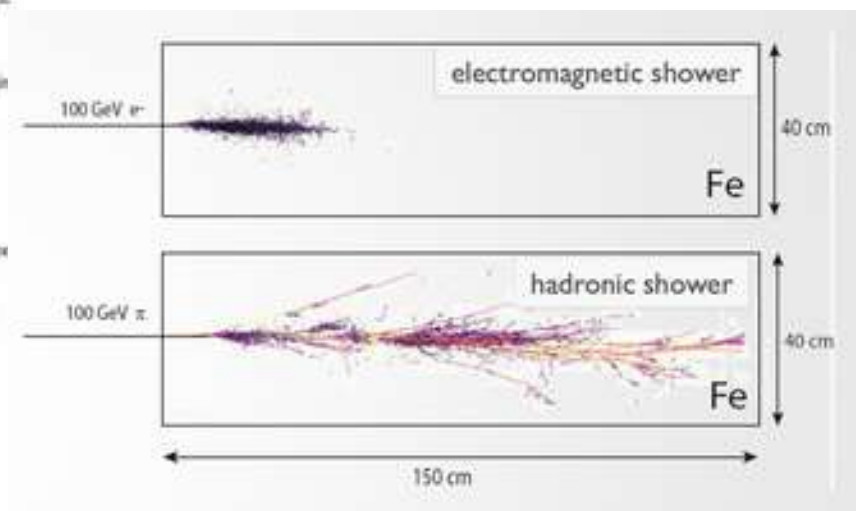


Fig. 1 - The ALEPH Detector

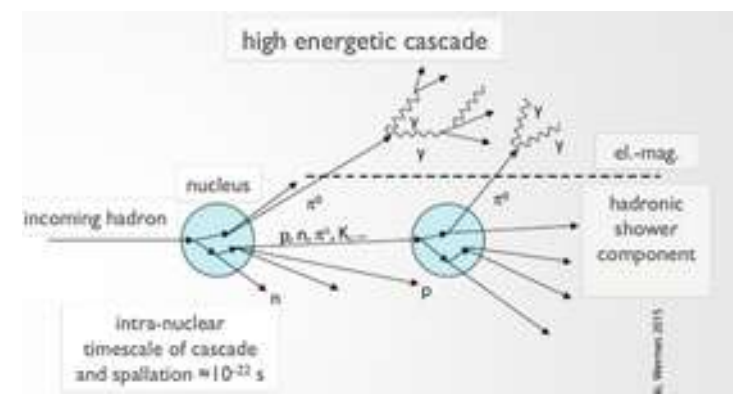
Hadron Calorimeters are large and heavy because the hadronic interaction length alpha, the 'strong interaction equivalent' to the EM radiation length X_0 , is large (5-10 times larger than X_0)



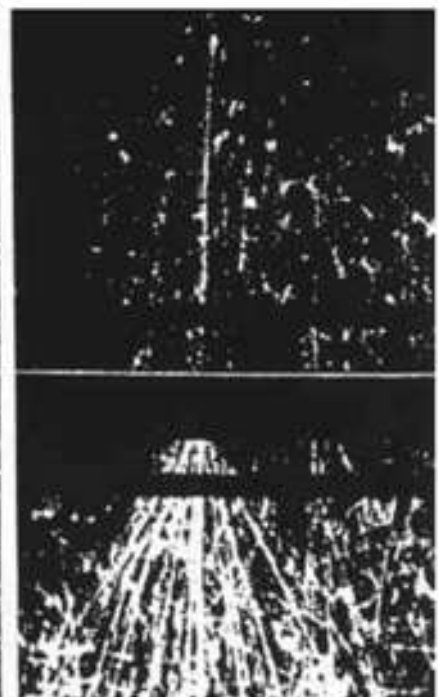
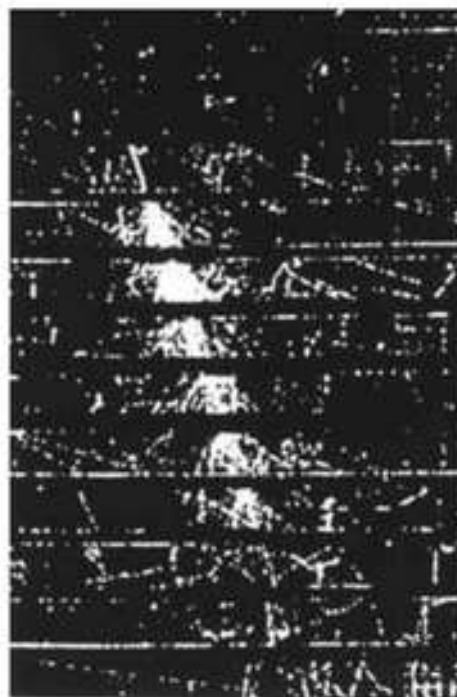
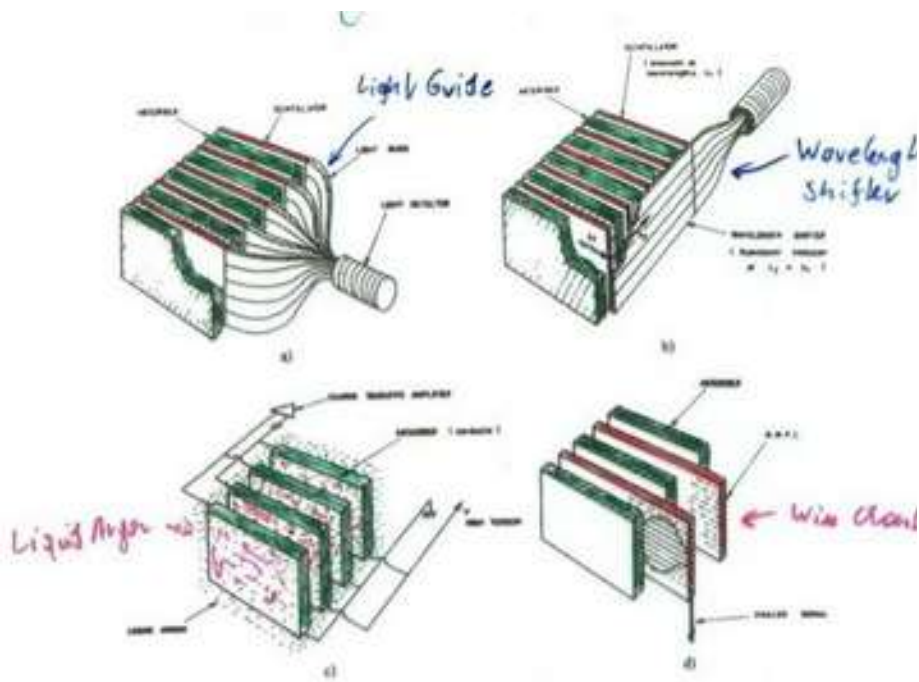
Material	Z	Density [g/cm ³]	E_c [MeV]	X_0 [cm]
C	6	2.2	81.7	19.3
Al	13	2.7	42.7	8.90
Fe	26	7.8	21.7	1.76
Cu	29	8.96	19.4	1.44
W	74	19.3	8.0	0.35
Pb	82	11.4	7.4	0.56

Material	Z	Density [g/cm ³]	λ [cm]
C	6	2.2	37.3
Al	13	2.7	35.4
Fe	26	7.8	15.1
Cu	29	8.96	13.9
W	74	19.3	8.9
Pb	82	11.4	15.7

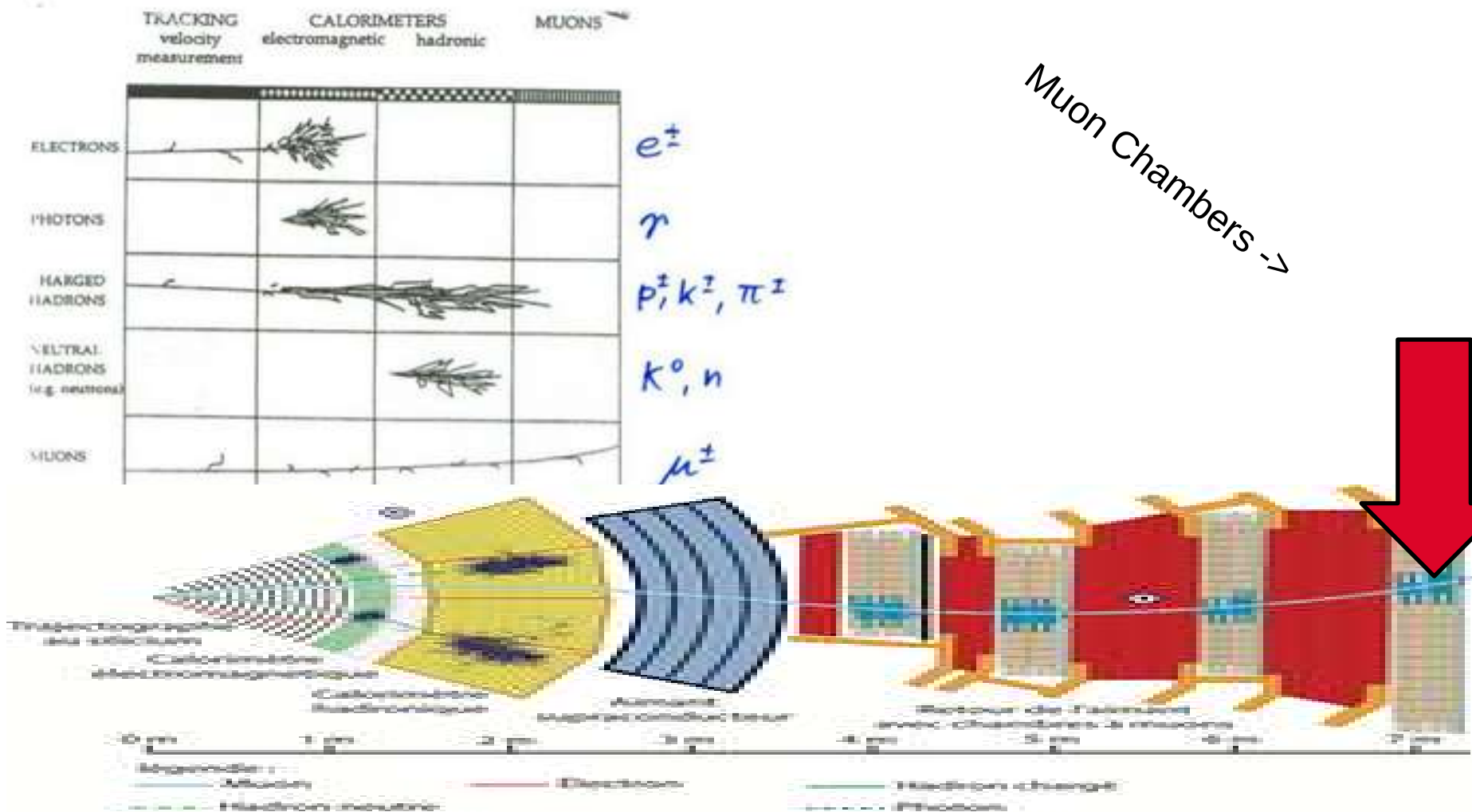
For 7TeV protons



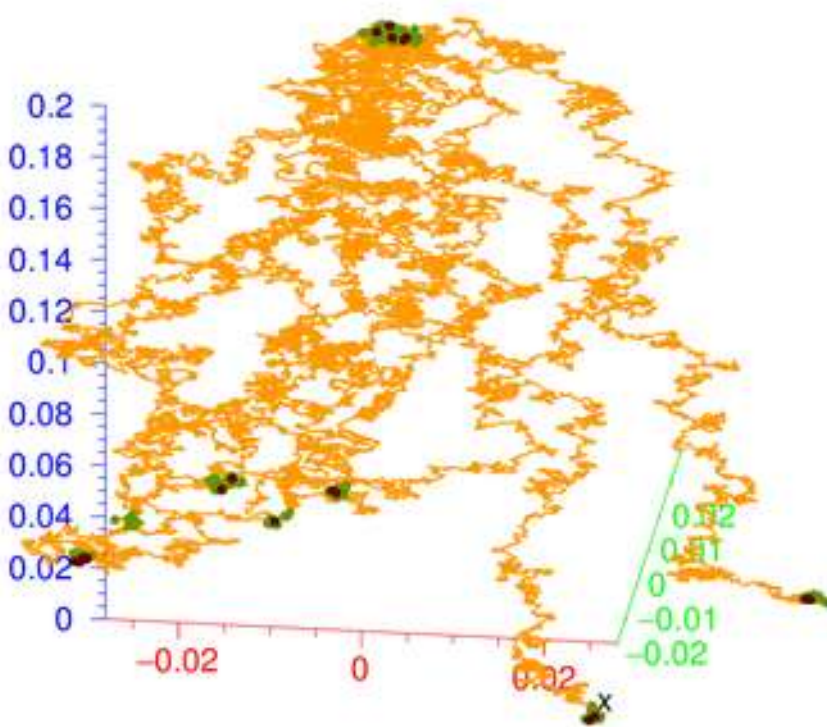
Sampling Calorimeters



Détecteurs Gazeux



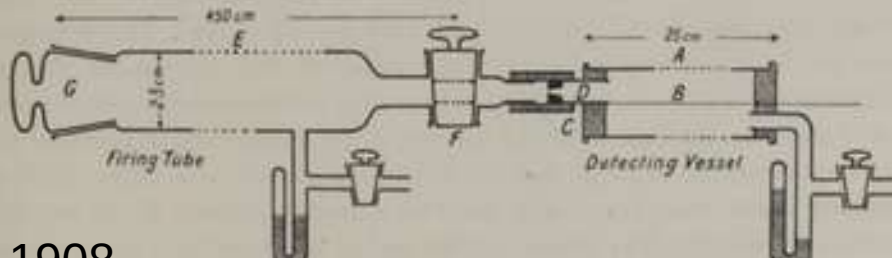
La détection des particules: exemple des détecteurs gazeux



EXEMPLE SIMPLE DE DÉTECTEUR

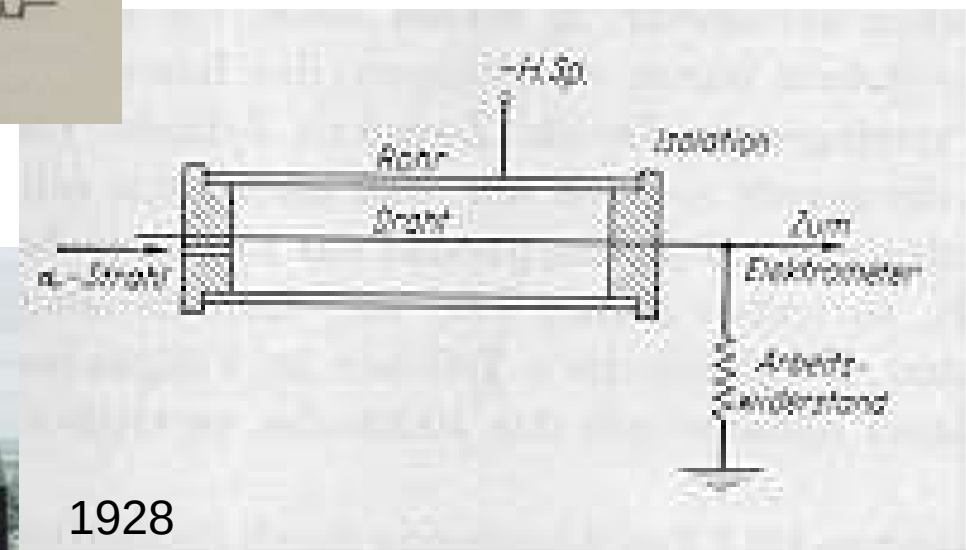
radiosondeur.

Experimental Arrangement.—Before considering the various difficulties that arose in the course of the investigations, a brief description will be given of the method finally adopted. The experimental arrangement is shown in fig. 1. The detecting vessel consisted of a brass cylinder A, from 15 to



1908

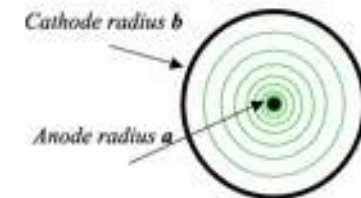
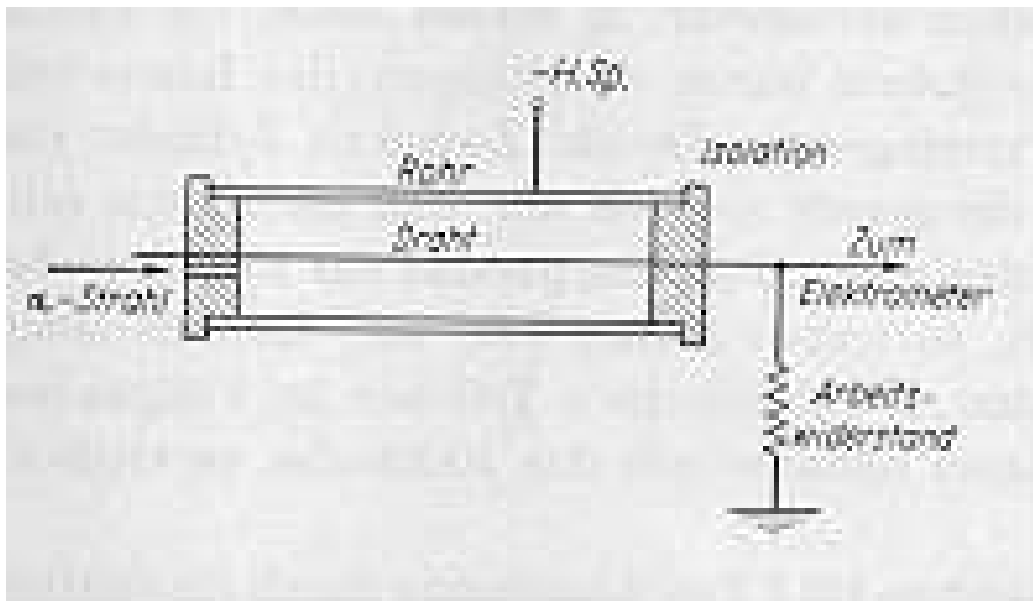
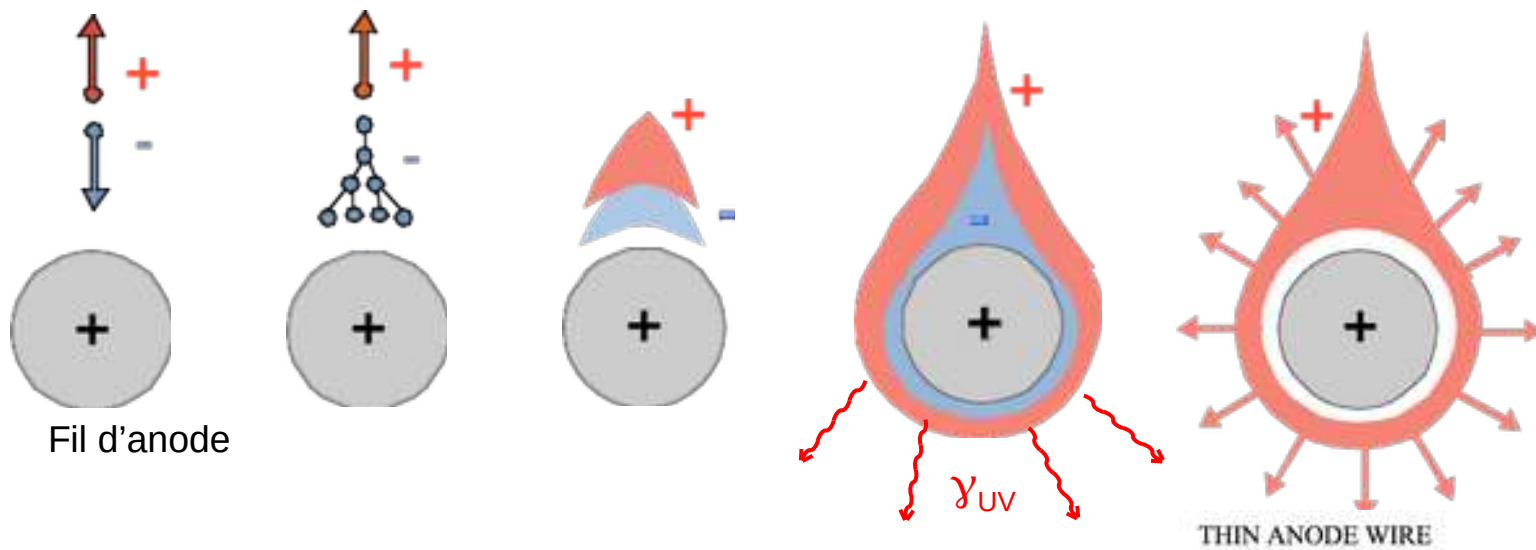
Fig. 1.



1928



Dans les films



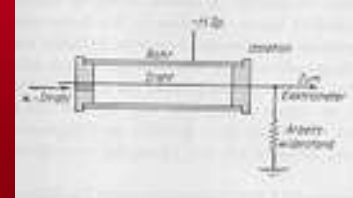
ELECTRIC FIELD AND POTENTIAL:

$$E(r) = \frac{CV_0}{2\pi\epsilon_0 r} \frac{1}{r}$$

$$V(r) = \frac{CV_0}{2\pi\epsilon_0} \ln \frac{r}{a}$$

$$C = \frac{2\pi\epsilon_0}{\ln(b/a)} \quad \text{capacitance per unit length}$$

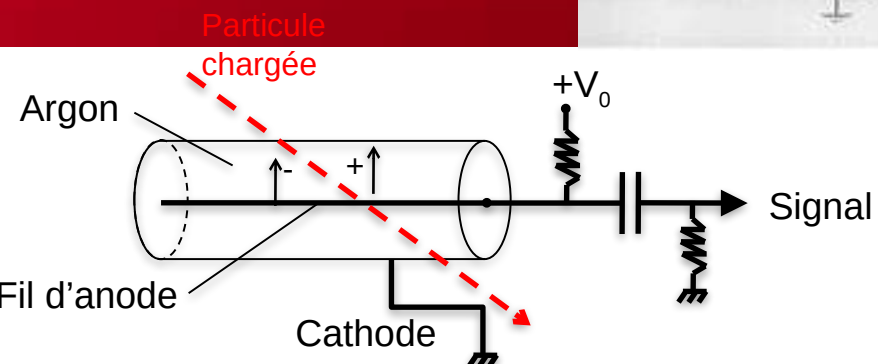
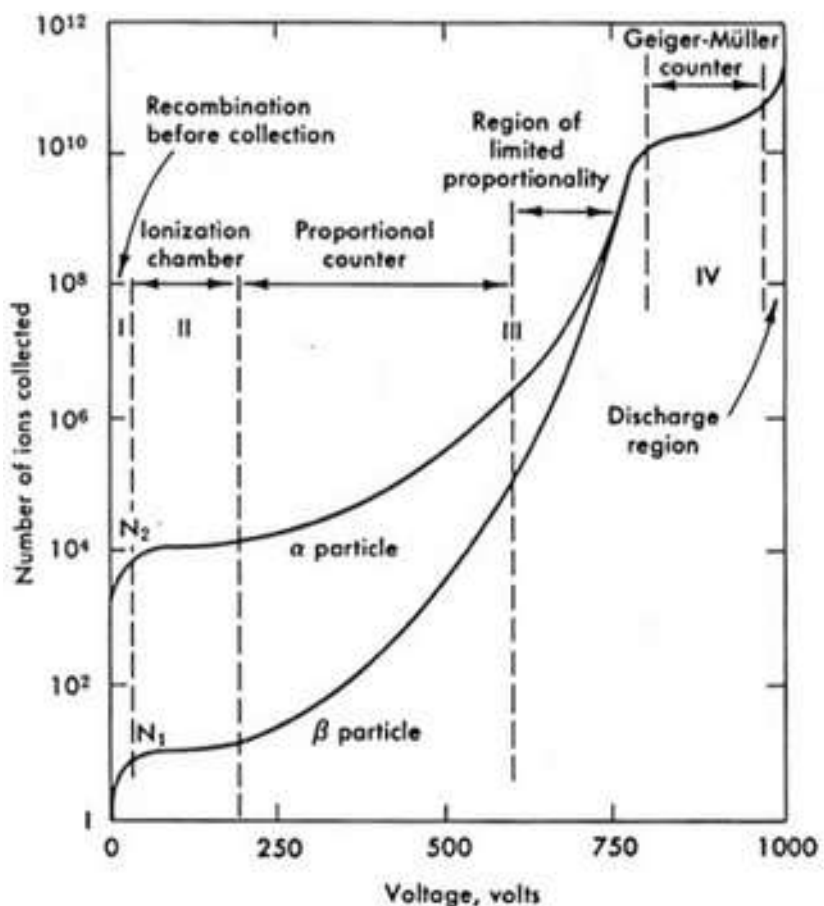
EXEMPLE SIMPLE DE DÉTECTEUR



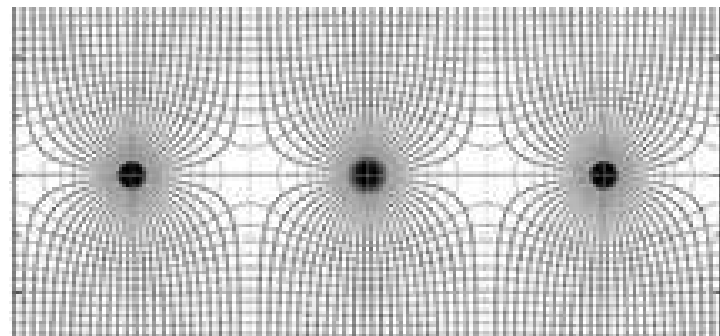
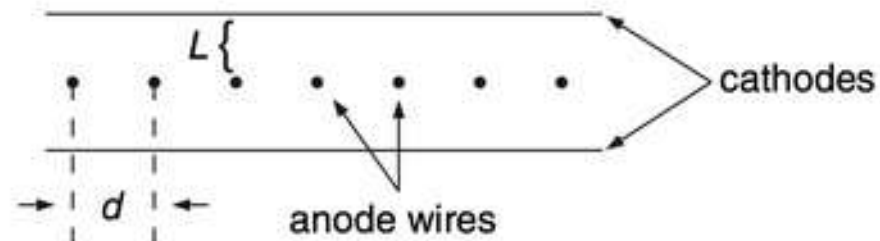
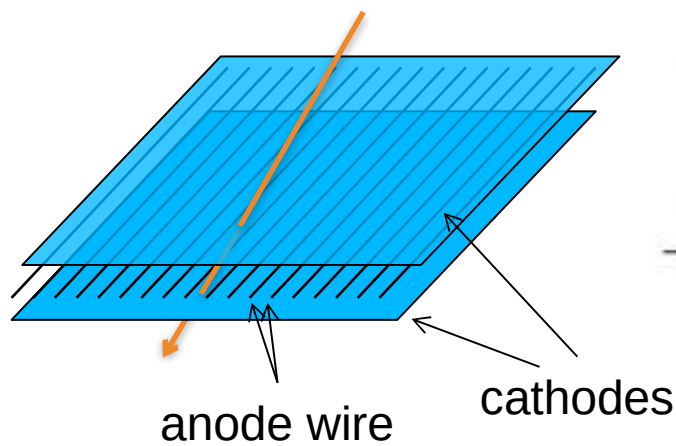
$$E = \frac{1}{r} \ln\left(\frac{b}{a}\right) V_0$$

(RADIAL AVEC:

- R : DISTANCE RADIALE À L'AXE
- B : RAYON INTERNE DU CYLINDRE
- A : RAYON DU FIL D'ANODE



- I: tension trop faible \square recombinaison
- II: Chambre d'ionisation. Collection des charges sans amplification.
- IIIa: Mode **proportionnel**. Le signal est amplifié et proportionnel à l'énergie déposée.
- IIIb: Mode **Streamer**. Phénomènes secondaires induits par les photons de la première avalanche \square Gaz quencher
- IV: Mode **Geiger-Müller**. Avalanche dans tout le détecteur. Le courant de sortie est saturé.

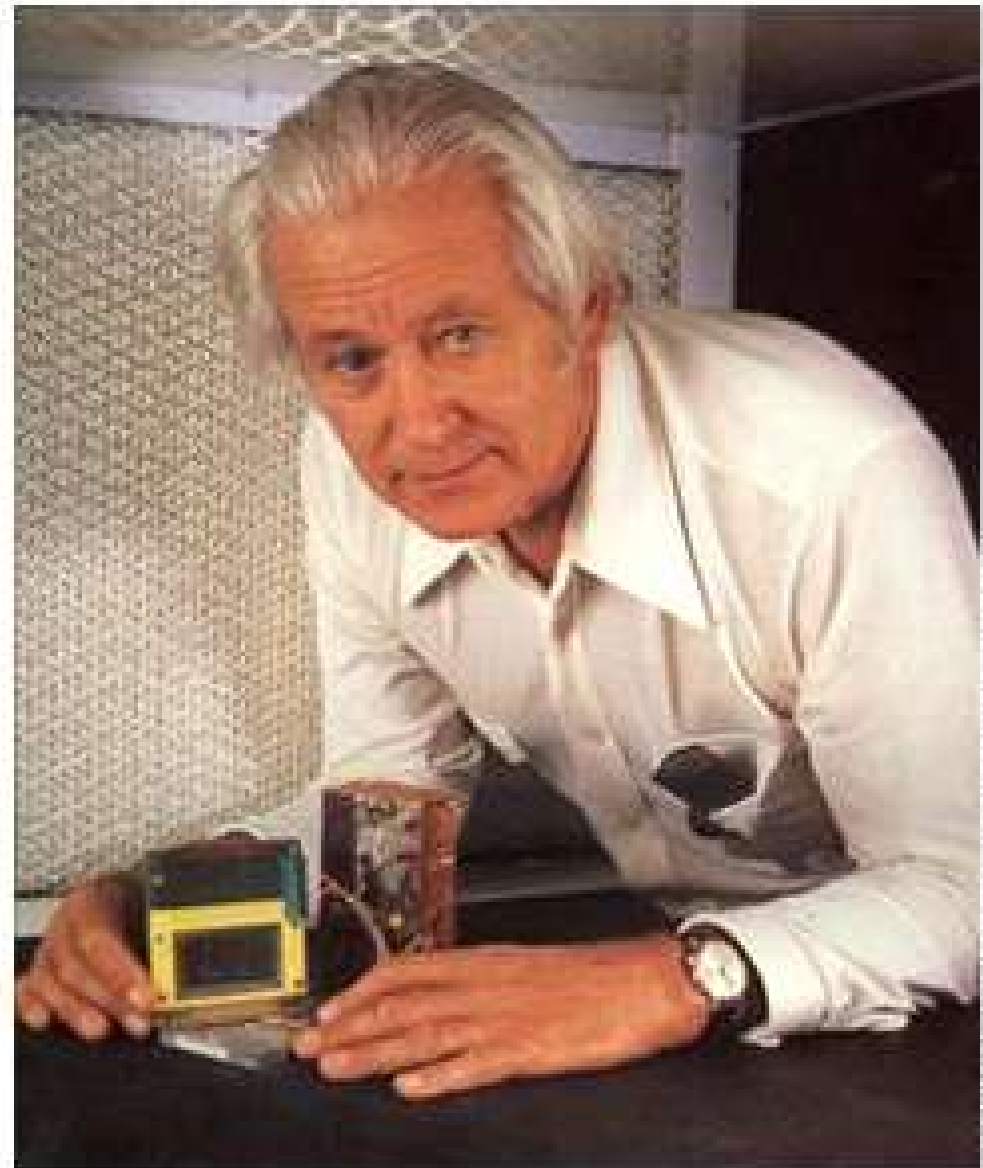


GRANDE CHAMBRE À FILS (1972)

EN COMPARAISON DES CHAMBRES À ÉTINCELLES ET DES CHAMBRES À BULLES, LES CHAMBRES À FILS SONT PLUS RAPIDES, PRÉSENTENT DE MEILLEURES RÉSOLUTIONS SPATIALE ET TEMPORELLE, SANS TEMPS MORT SIGNIFICATIF ET RÉSISTANTES AUX RADIATIONS.



The Royal Swedish Academy of Sciences awards the 1992 Nobel Prize in Physics to **Georges Charpak** for his invention and development of particle detectors, in particular the multiwire proportional chamber.



Georges Charpak
CERN, Geneva, Switzerland

Photo: D. Parker, Science Photo Lab, UK

1927: C.T.R. Wilson, Cloud Chamber

1939: E. O. Lawrence, Cyclotron & Discoveries

1948: P.M.S. Blacket, Cloud Chamber & Discoveries

1950: C. Powell, Photographic Method & Discoveries

1954: Walter Bothe, Coincidence method & Discoveries

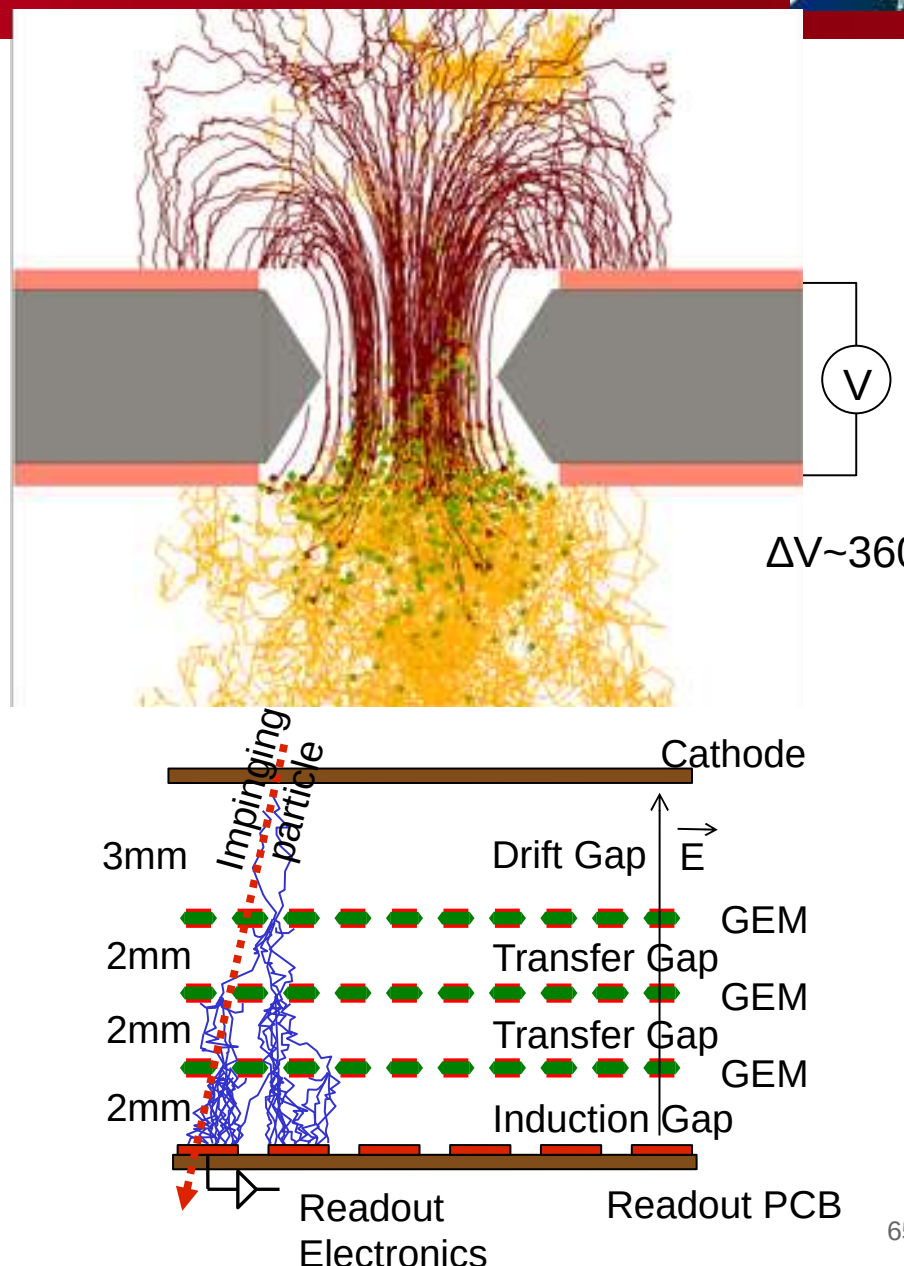
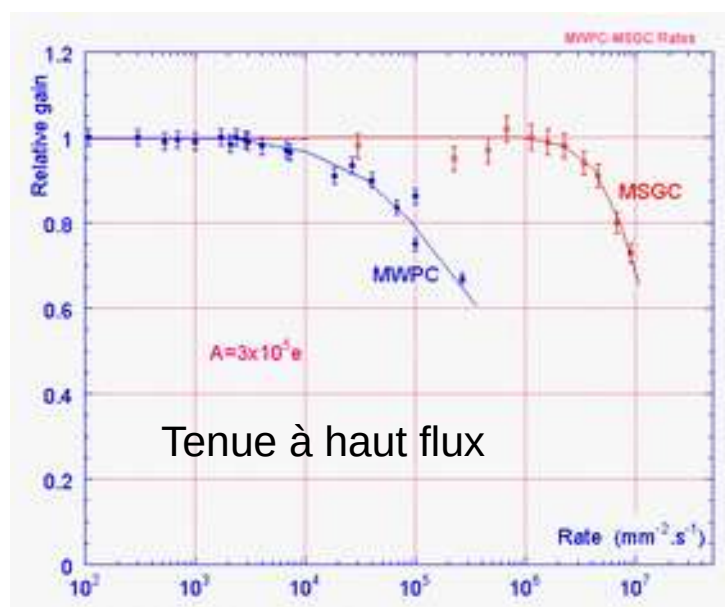
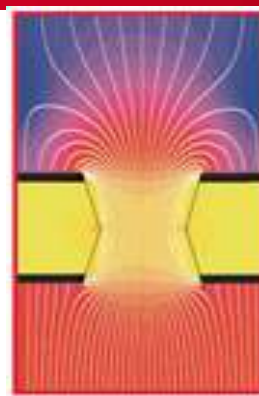
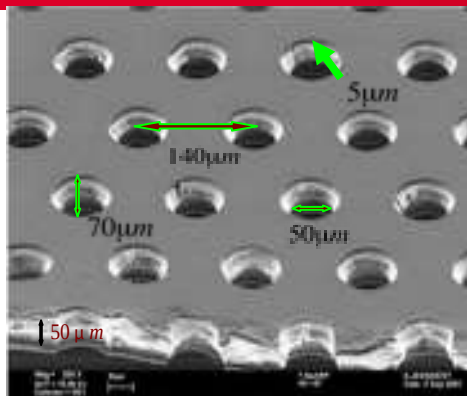
1960: Donald Glaser, Bubble Chamber

1968: L. Alvarez, Hydrogen Bubble Chamber & Discoveries

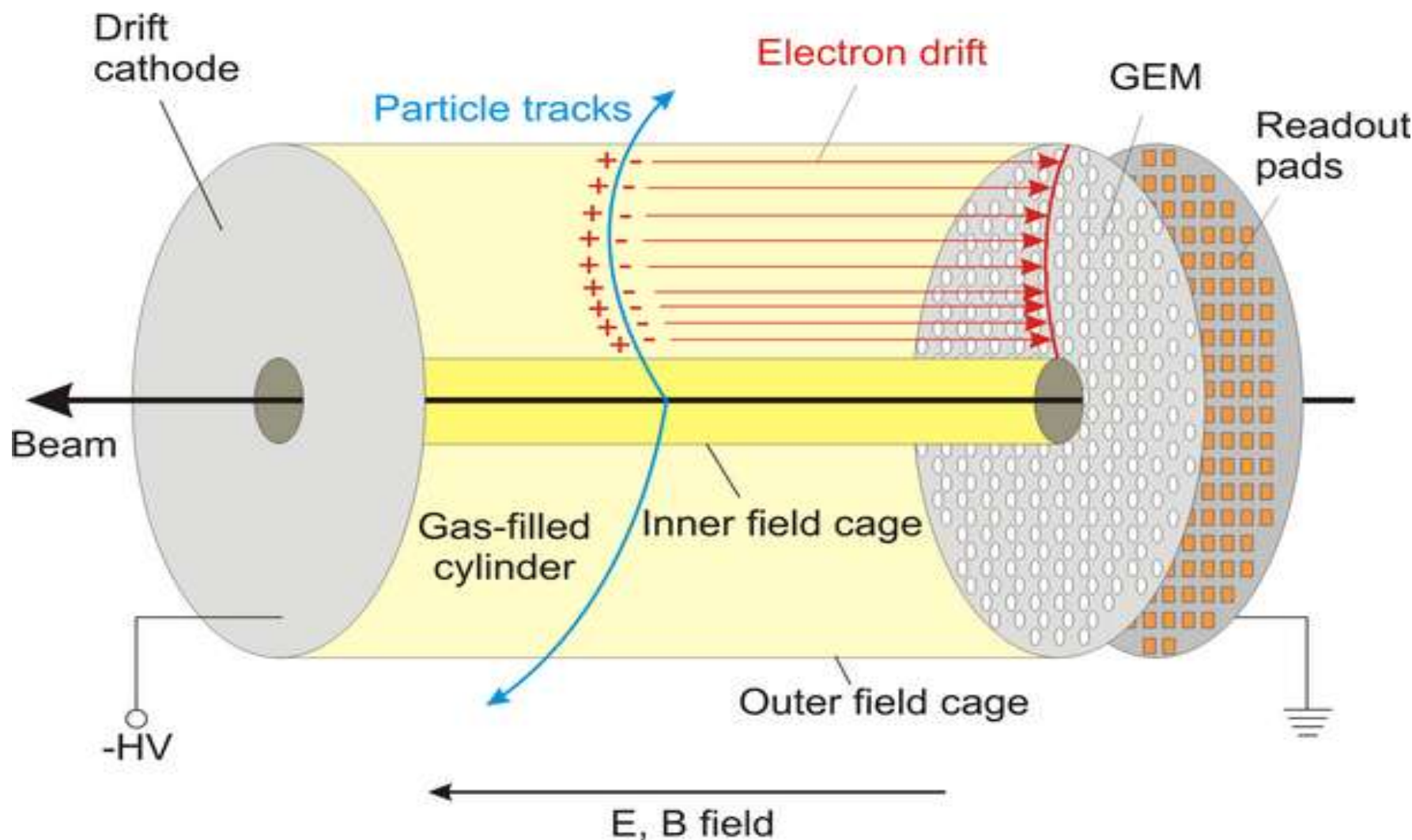
1992: Georges Charpak, Multi Wire Proportional Chamber

2009: Boyle and Smith for the CCD sensor

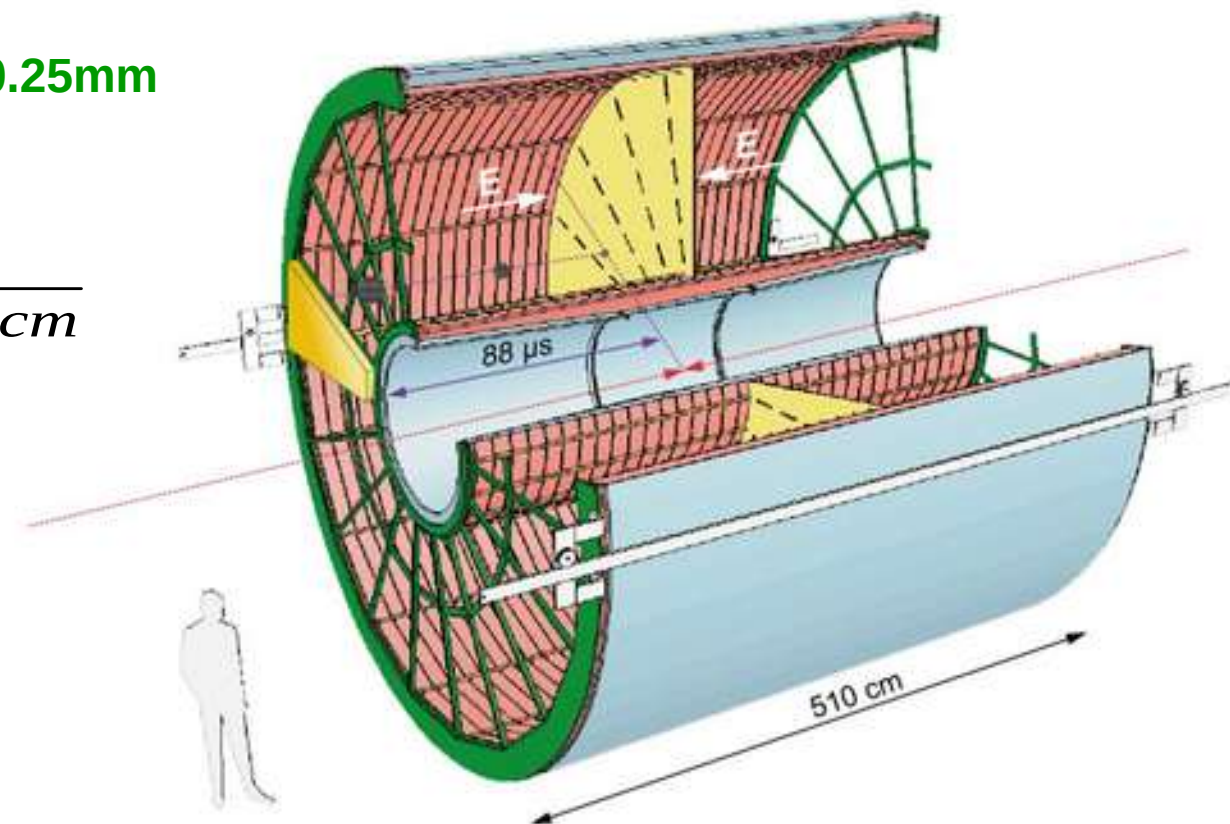
2017: Weiss, Thorne, Barish LIGO observatory



Time Projection Chamber (TPC):



- Gas Ne/ CO₂ 90/10%
- Field 400V/cm
- Gas gain >10⁴
- Position resolution $\sigma = 0.25\text{mm}$
- Diffusion: $\sigma_t = 250\mu\text{m}$
- Pads inside: 4x7.5mm
- Pads outside: 6x15mm $\sqrt{\text{cm}}$
- B-field: 0.5T
- Largest TPC:
 - Length 5m
 - Diameter 5m
 - Volume 88m³
 - Detector area 32m²
 - Channels ~570 000
- High Voltage:
 - Cathode -100kV

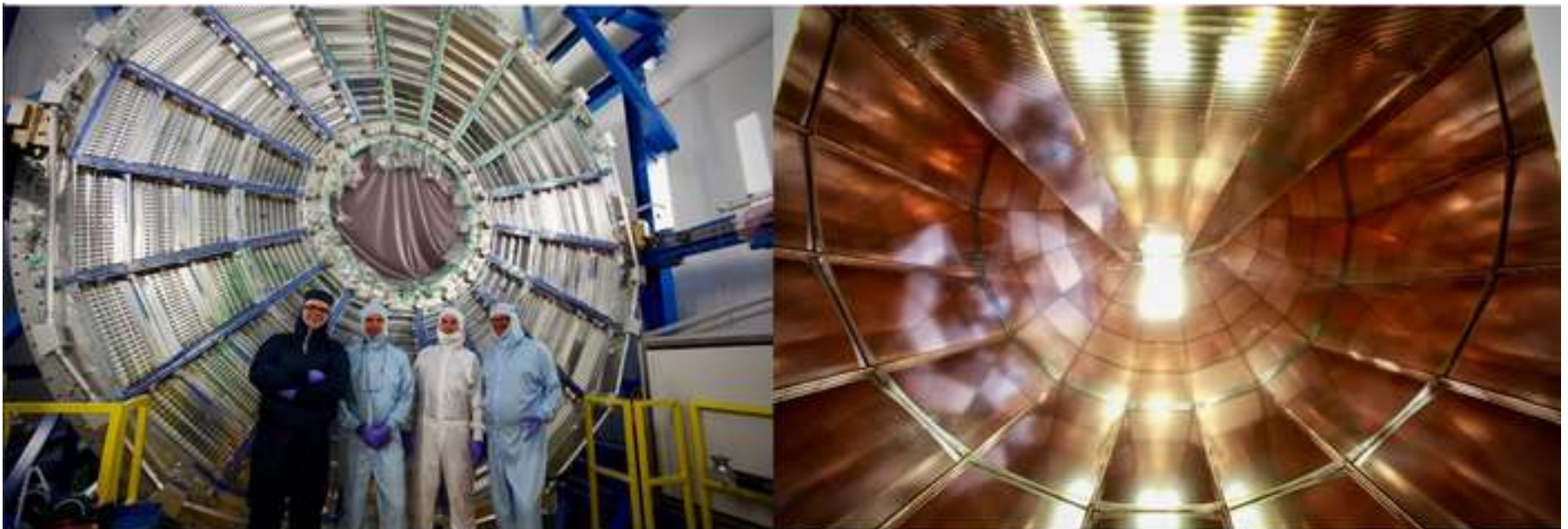


=> Gated grid ~15kHz max

TPC installed in the ALICE Experiment



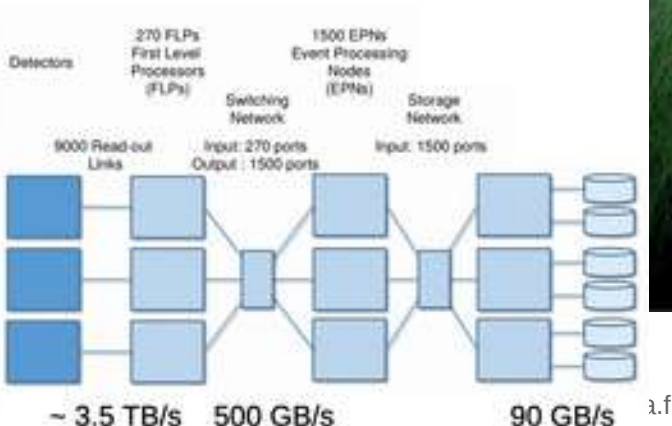
ALICE UPGRADE



50 kHz Pb-Pb interactions in the TPC

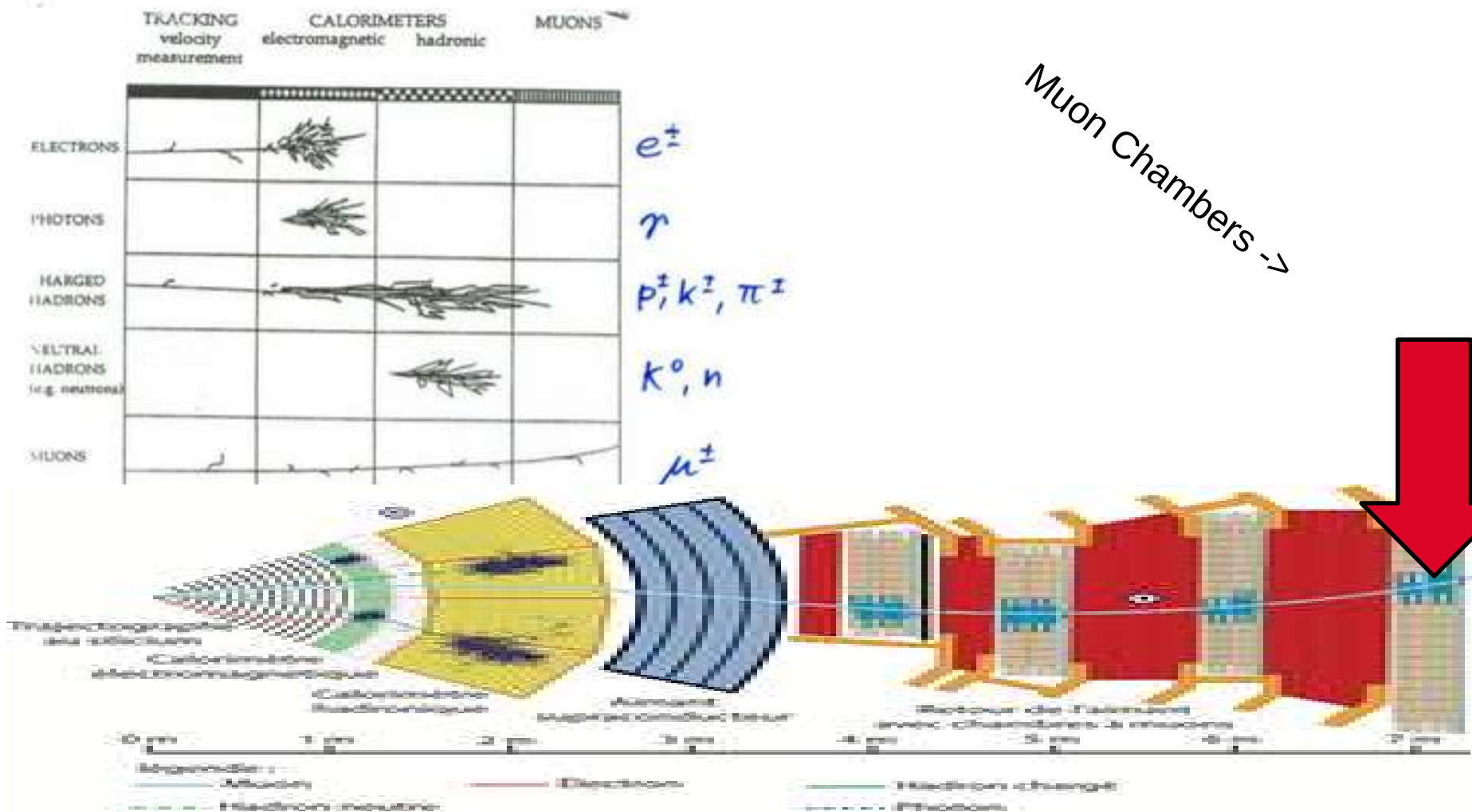


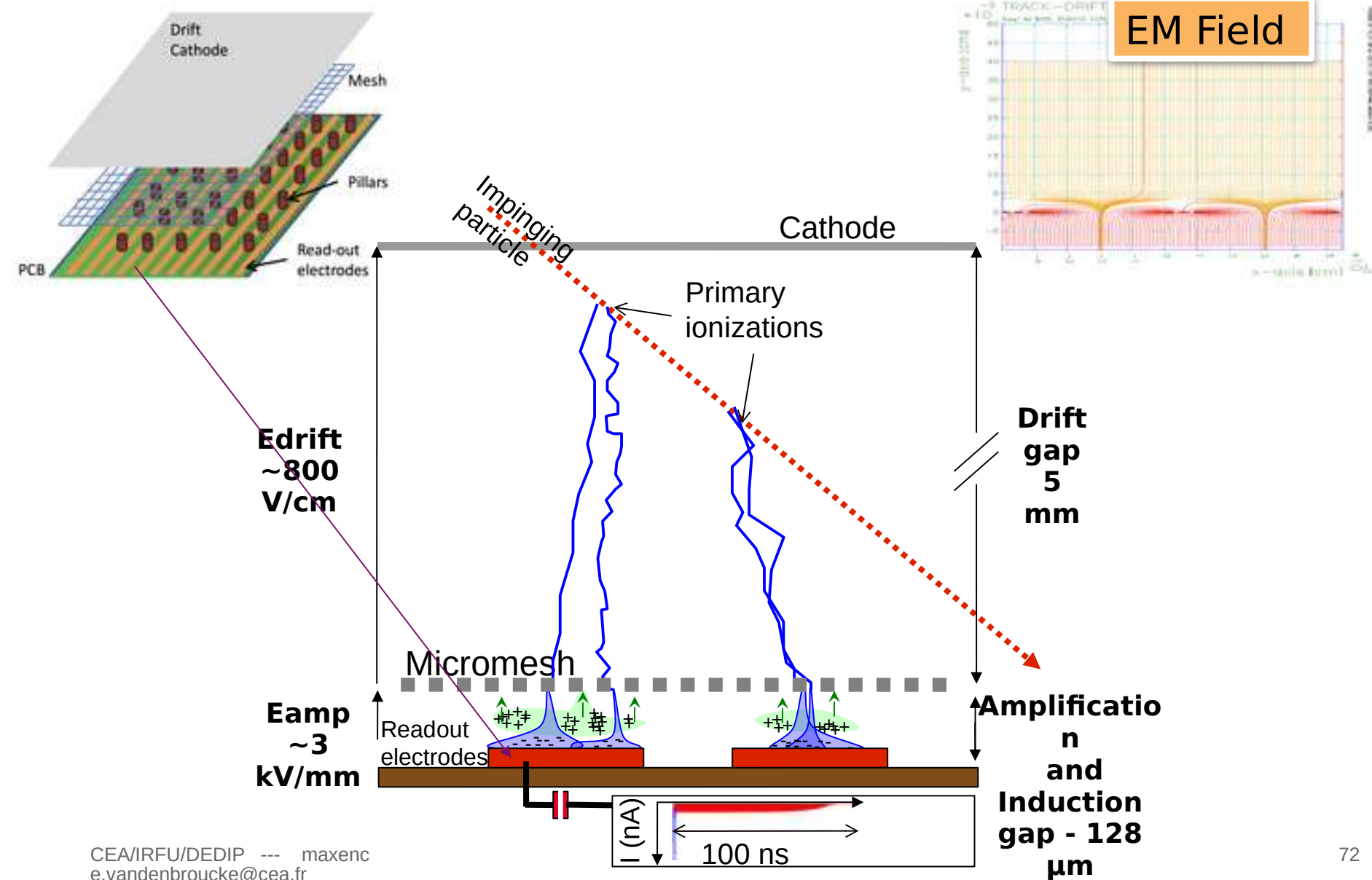
- Enormous raw data rate (~3.5 TB/s)
 - Requires online data compression



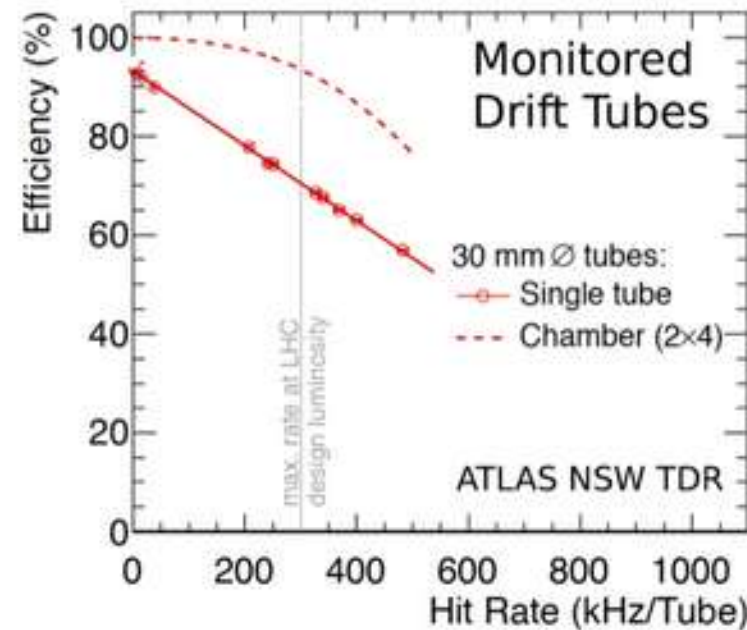
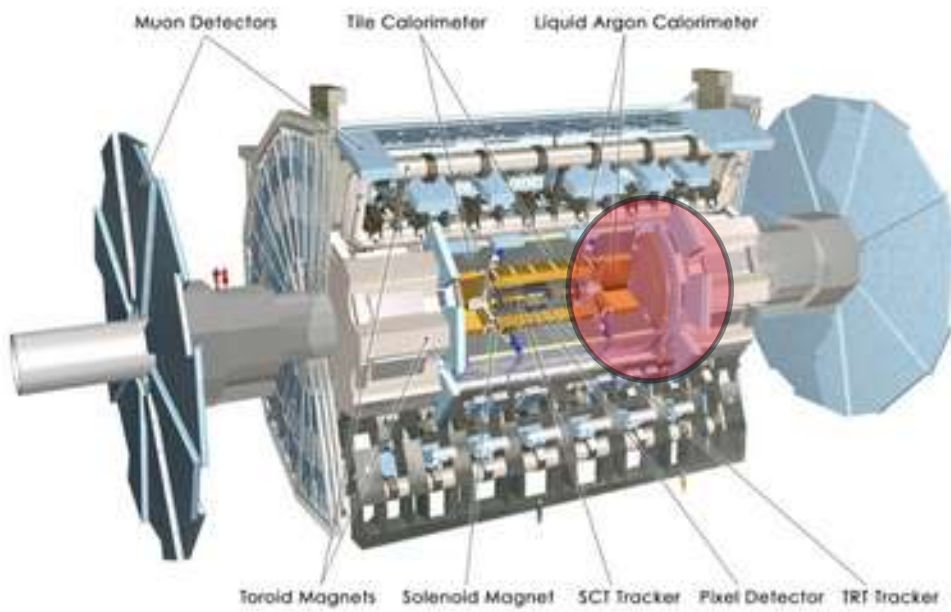
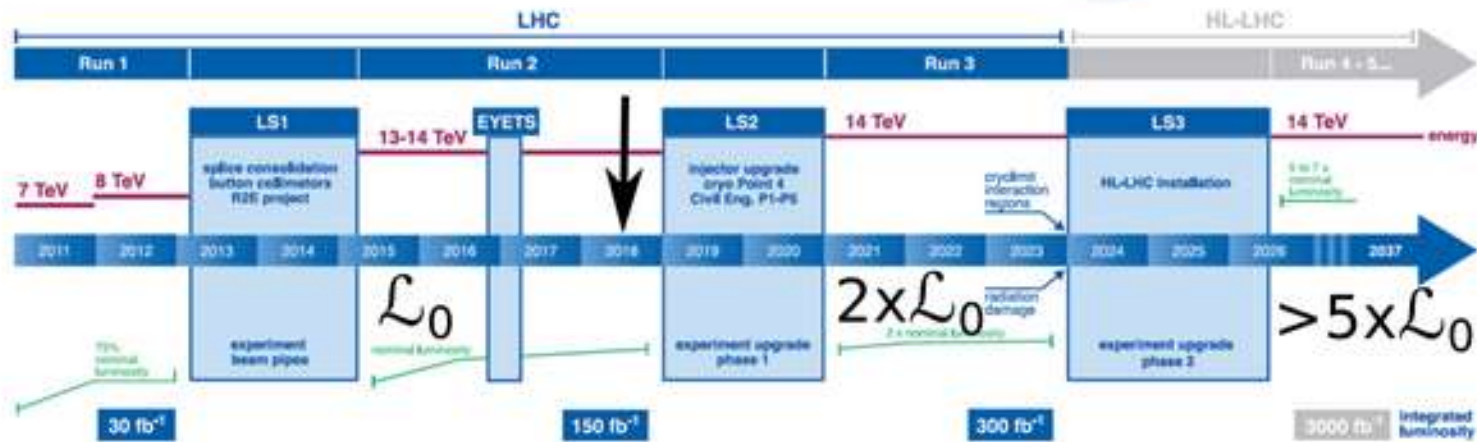
20 × TPC drift time (= 2 ms)

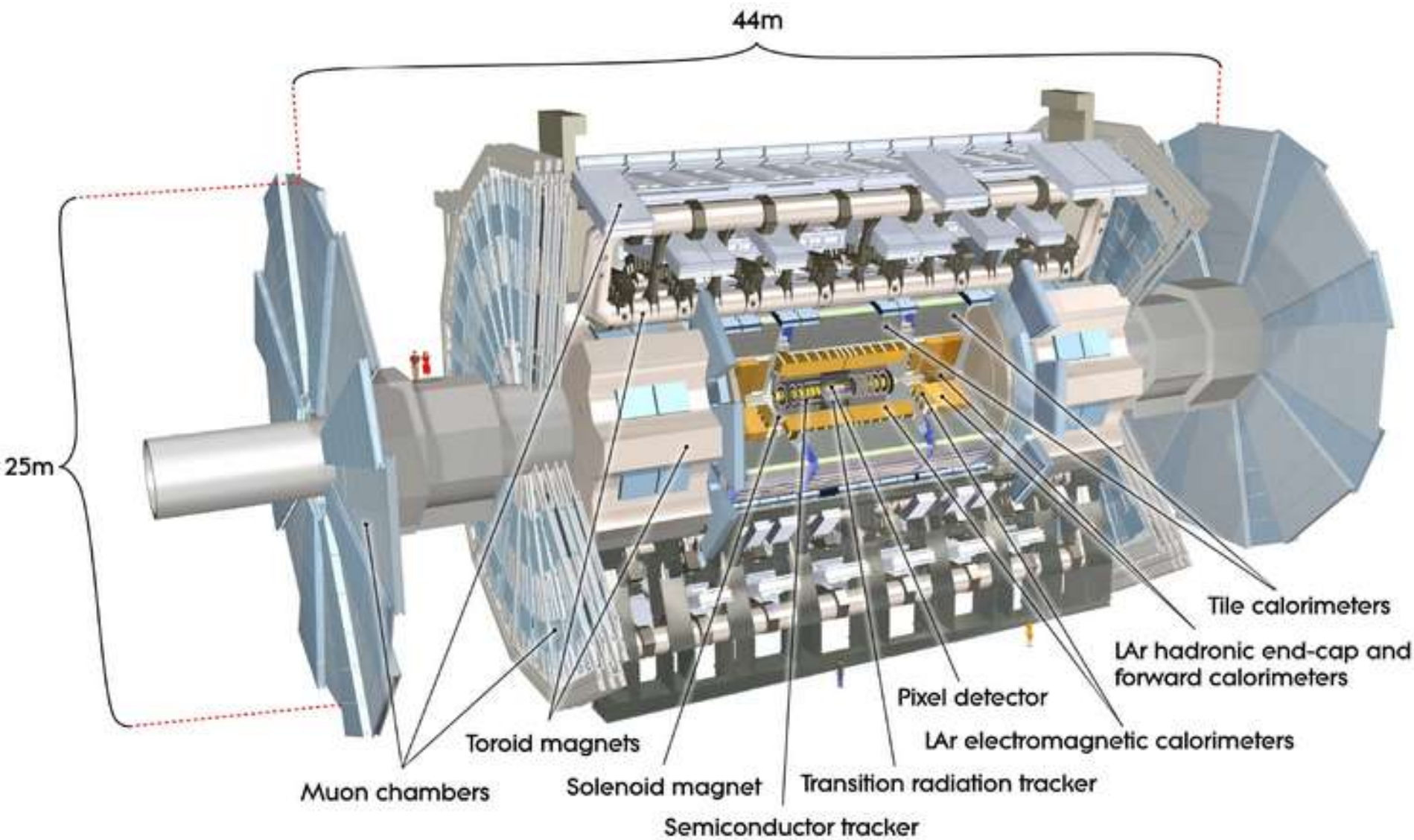
(YouTube it's 500Gb/s in upload)





LHC / HL-LHC Plan

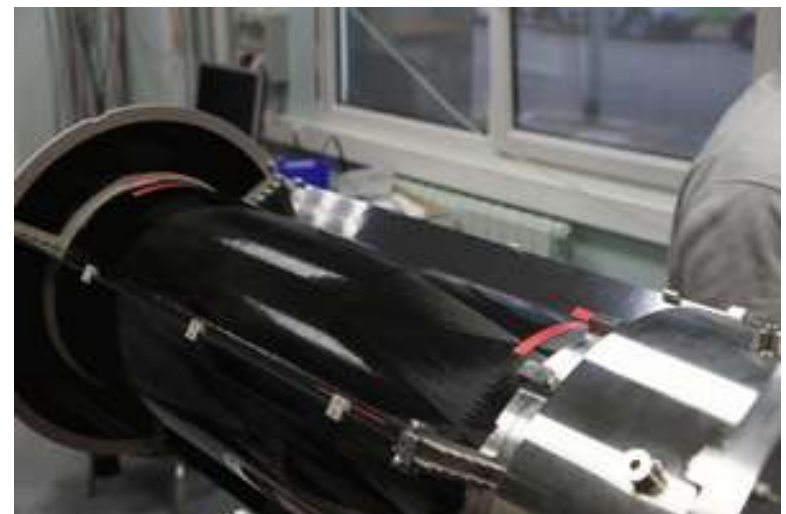




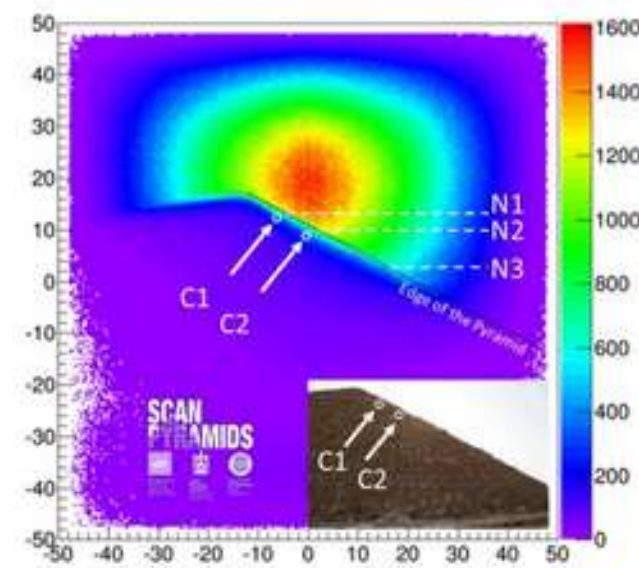
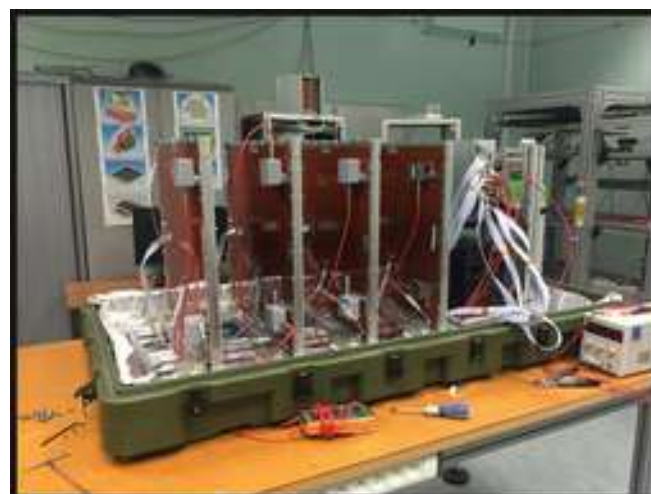




CLAS12/EIC/P2 :



Tomographie :



MUON TOMOGRAPHY

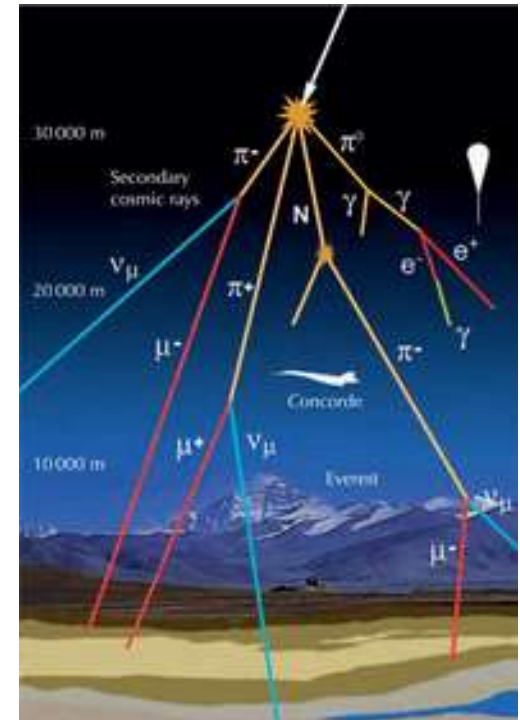
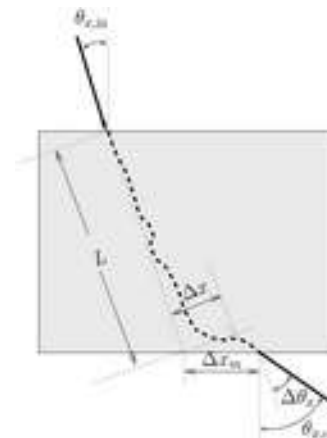
MUON TOMOGRAPHY

- Cosmic muons produced by cascade of reactions induced by cosmic rays in the upper atmosphere

- Flux: $\sim 150/\text{m}^2/\text{s} \sim \cos^2$ (maximum in zenith direction)
- Mean energy: 4 GeV
- Life-time: 2 μs
- Natural, free and harmless radiation
- Straight propagation (in mean)

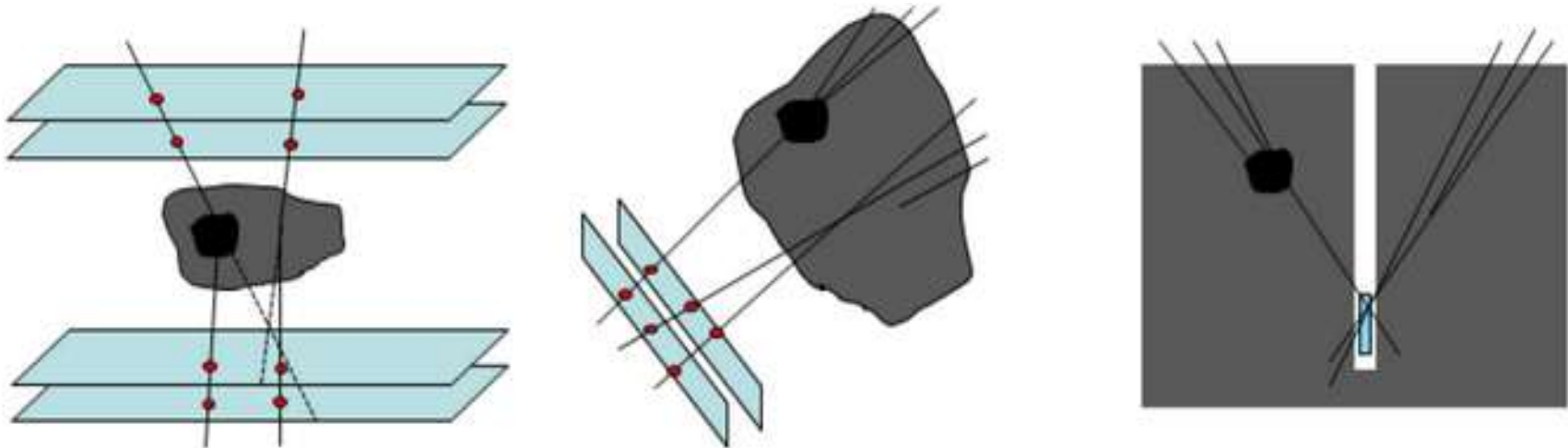
- Muon interaction with matter

- Bethe-Bloch ionization stopping power
- Standard deviation of the scattering angle
- Radiation length

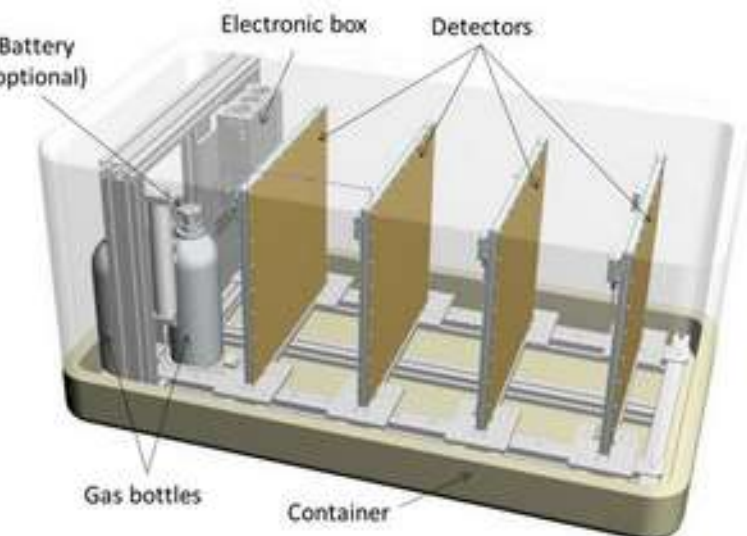
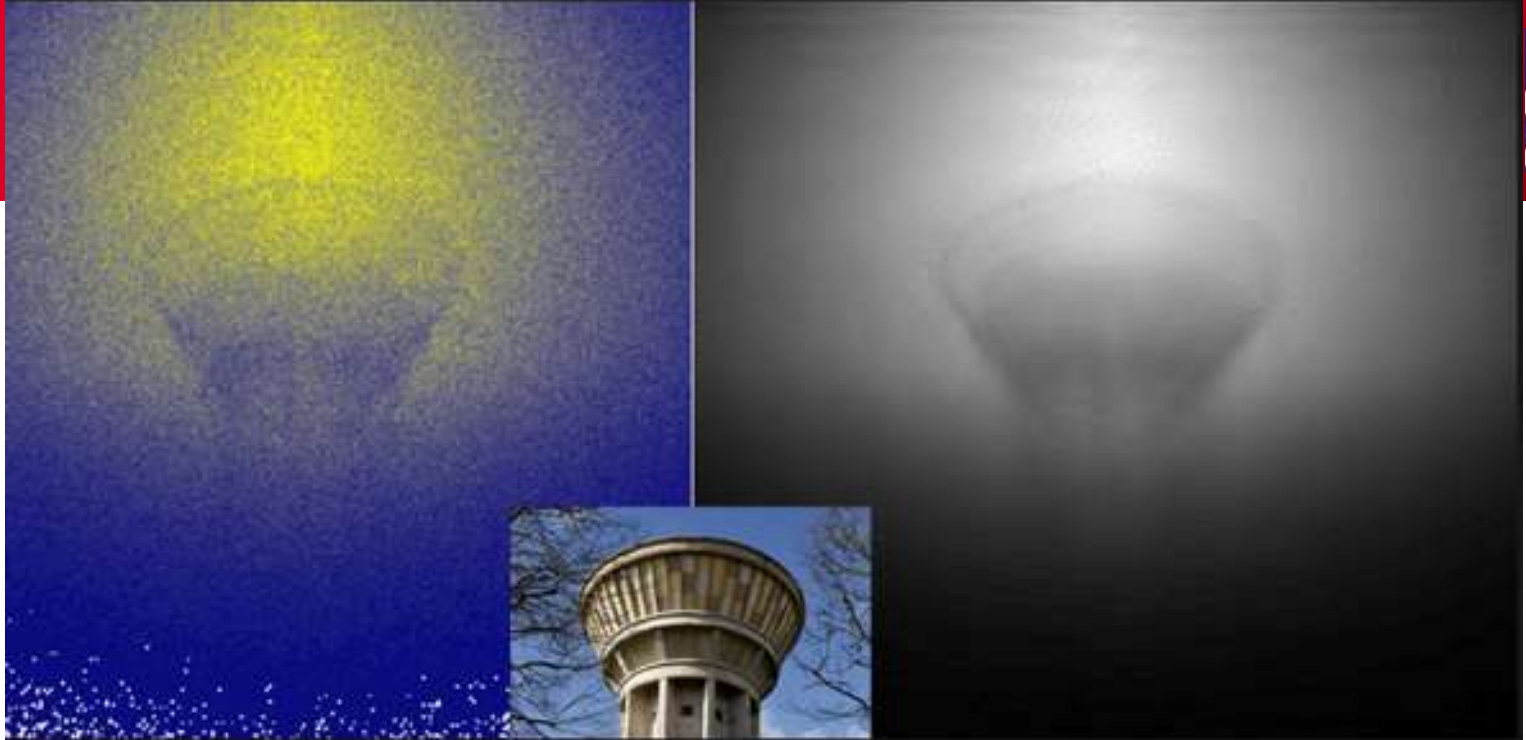


Material	Thickness	(\AA)	$P_{\text{absorption}}$
Air	100 m	0.094	0.78%
Lead	10 cm	1.01	2.9%
Water	1 m	0.35	4.2%
Ground	100 m		99%

- Muons can be stopped (decay) or their trajectory can be changed
- Two modes of muon tomography can be extracted from muon flux
 - Absorption muography
 - Deviation muography



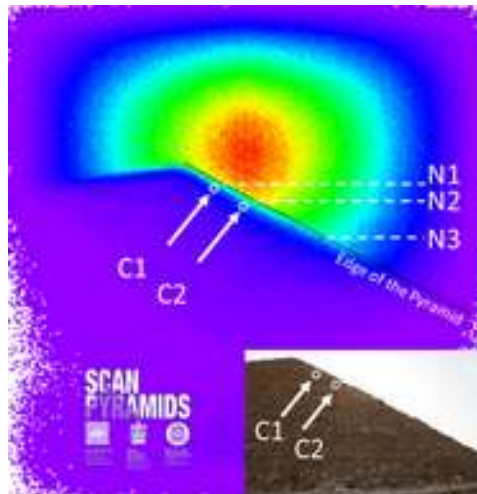
- High potential of societal applications in many fields:
 - volcanology, archaeology
 - mineral exploration, civil engineering, ...



RESULTS

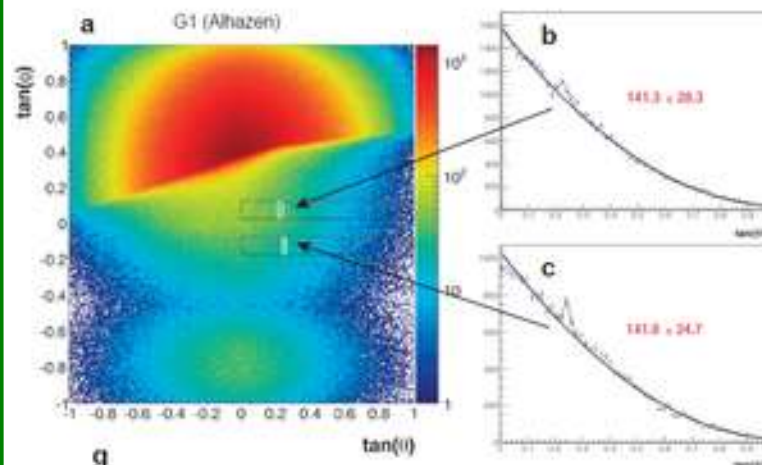
- Discoveries of new cavities large void above the Grand Gallery

2016

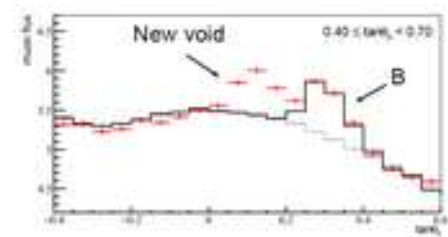
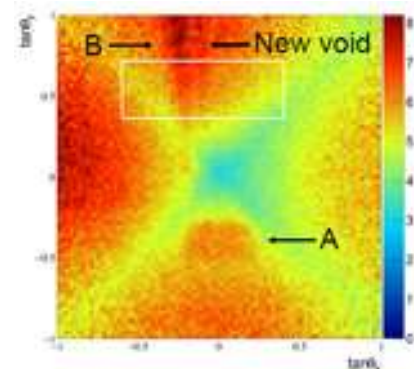


CEA

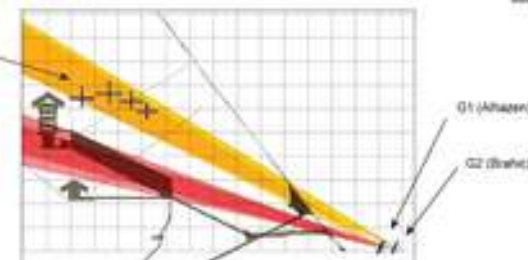
2017



Nagoya



- Only 2 such voids detected
- 1st detection ever from outside of a deep structure

Triangulation positions
from Nagoya University

DE LA RECHERCHE À L'INDUSTRIE



Vendredi 5/07 11h (IJCLAB)
Lundi 8/07 12h (CEA IRFU)
Visite Labo 14h (CEA IRFU)
Mercredi 10/07 11h (IAS)



Mesurer l'infiniment petit et observer l'infiniment grand

XII^e édition des **Rencontres d'été de physique**
de **L'INFINIMENT GRAND à l'infiniment petit**

**1^{er}-11 juillet
2024**

Orsay
Palaiseau
Paris
Saclay

Rencontres

Promotion Enrico Fermi et David Hilbert

Niveau L3 (ou équivalent)

Visites de labos,
conférences, débats,
observation du ciel

- Comprendre l'infiniment petit
- les noyaux et leurs interactions
- Des particules aux étoiles jusqu'au cosmos
- Mesurer l'infiniment petit
- Observer l'infiniment grand
- Applications médicales
- Maitriser l'énergie
- Les détecteurs spatiaux et ondes d'oscillateurs
- Intelligence Artificielle

CEA Institut National Polytechnique de Paris IN2P3 Institut Universitaire de France IAS Institut d'Astrophysique de Paris IAP Institut d'Astrophysique Spatiale IJCLab Institut Jean Lamour Laboratoire de Physique Théorique et Hautes Energies LIP Laboratoire d'Informatique de Paris-Saclay

indico.in2p3.fr/event/rencontres-physique-infinis

Maxence Vandenbroucke
07/2024

université
PARIS-SACLAY

PLAN DES COURS

Cours 1 : Généralités

- Introduction générale sur l'importance de la mesure
- Qu'est-ce qu'une expérience de physique subatomique ?
- Que veut-on observer à propos d'une particule?
- Architecture générale d'une expérience en physique subatomique

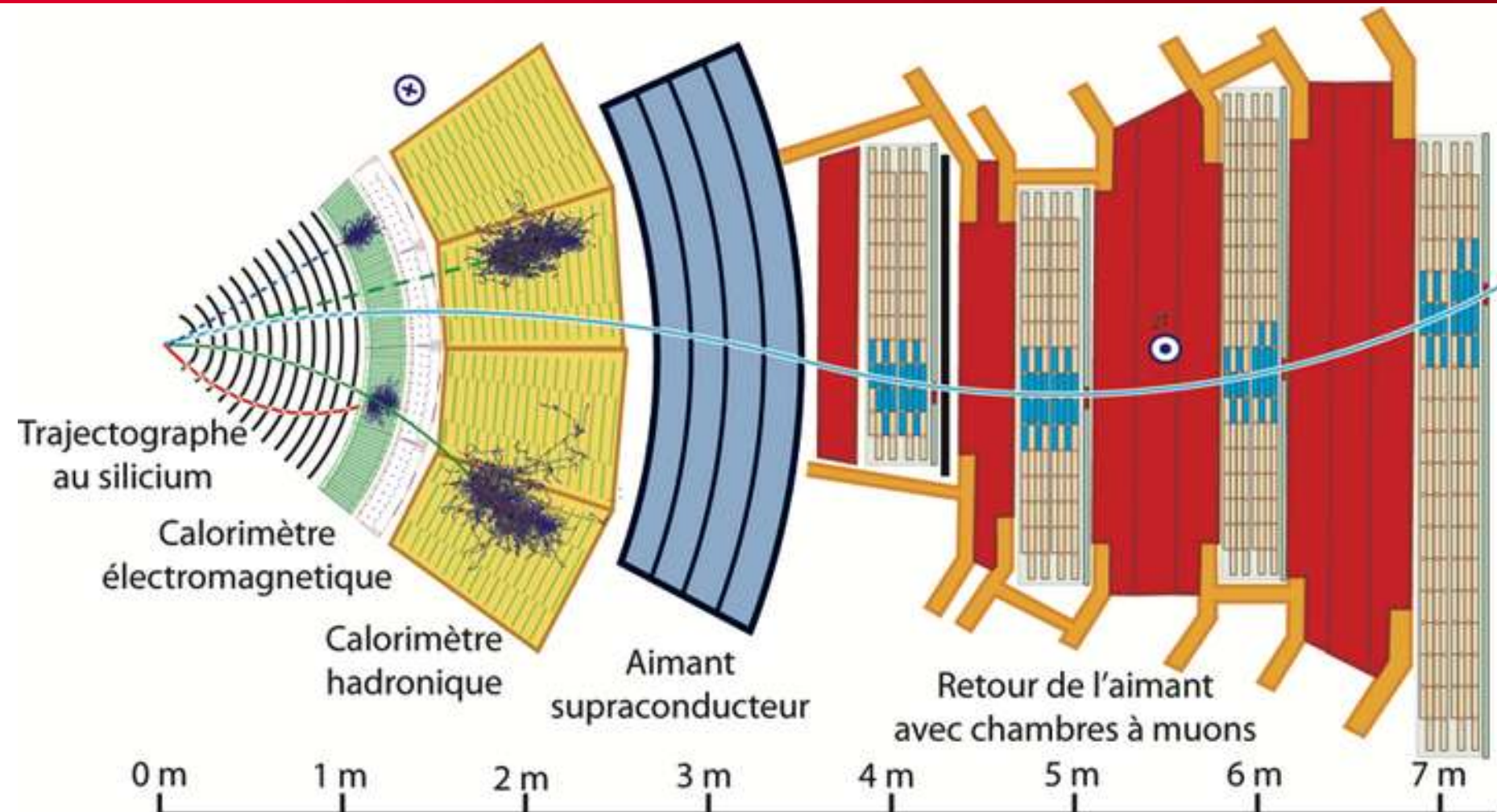
Cours 2 : Les détecteurs de particules

- Trajectographie :
 - Détecteurs Gazeux
 - Détecteurs au Silicium
- Calorimétrie
- Scintillation

Cours 3 : Exemple d'expériences

- Autour du Neutrino
- Nucléaire et Hadronique
- Rayons Cosmiques
- Antimatière

COMPACT MUON SPECTROMETER AT CERN



légende :

Muon

Électron

Hadron chargé

Hadron neutre

Photon

COMPACT MUON SPECTROMETER AT CERN



Hadron neutre

Électron

Photon

Hadron chargé

Cours 3 : Exemple d'expériences

- Autour du Neutrino
- Nucléaire et Hadronique
- Rayons Cosmiques
- Antimatière
- Matière sombre



XII^e édition des **Rencontres d'été de physique**
de L'INFINIMENT GRAND à l'infiniment petit

1^{er}-11 juillet
2024

Orsay
Palaiseau
Paris
Saclay

Rencontres

Promotion Enrico Fermi et David Hilbert

Niveau L3 ou équivalent

de L'INFINIMENT
GRAND
à L'INFINIMENT
petit

Visites de labos,
conférences, débats,
observation du ciel

- Comprendre l'infiniment petit
- Les noyaux et leurs interactions
- Des particules aux étoiles jusqu'au cosmos
- Mesurer l'infiniment petit
- Observer l'infiniment grand
- Applications médicales
- Multiplier l'énergie
- Les détecteurs spatiaux et supra-déteuteurs
- Intelligence Artificielle

ONERA Institut National des Sciences Appliquées INRAE Institut National de la Recherche Agronomique CNRS Institut National de la Santé et de la Recherche Médicale CEA Institut National de Physique Nucléaire et de Physique des Particules IJCLab Laboratoire d'Informatique de l'Université Paris-Dauphine LIRL Laboratoire Interdisciplinaire de Recherche sur les Langages

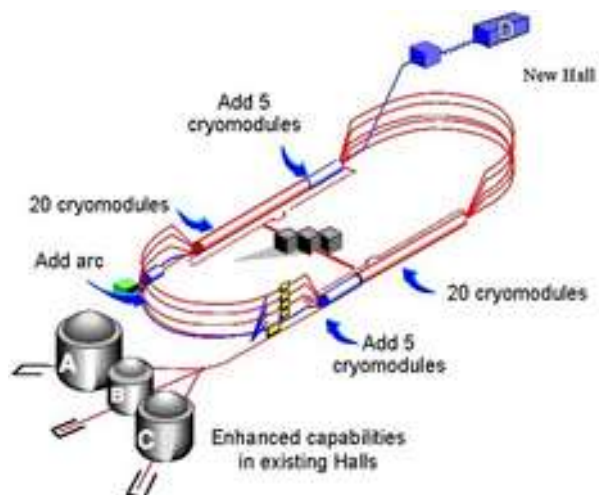
indico.in2p3.fr/event/rencounters-physique-infinis



Physique Hadronique

CLAS12

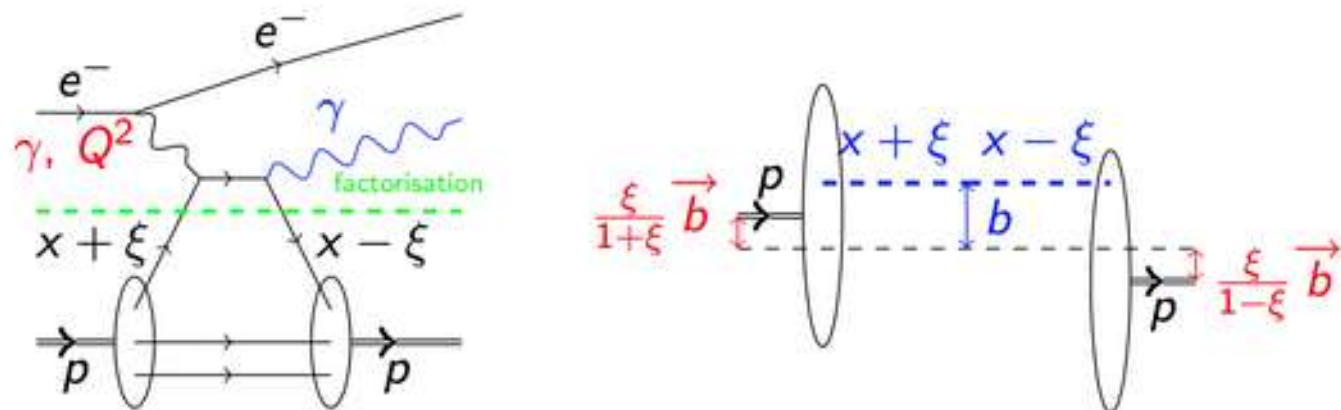
CLAS12 at Jefferson Lab



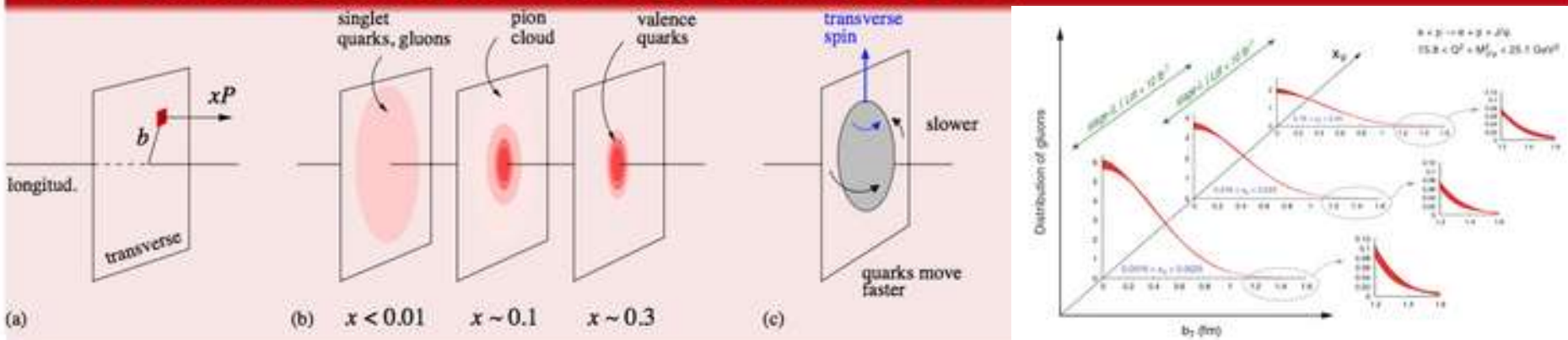
CLAS12 at Jefferson Lab

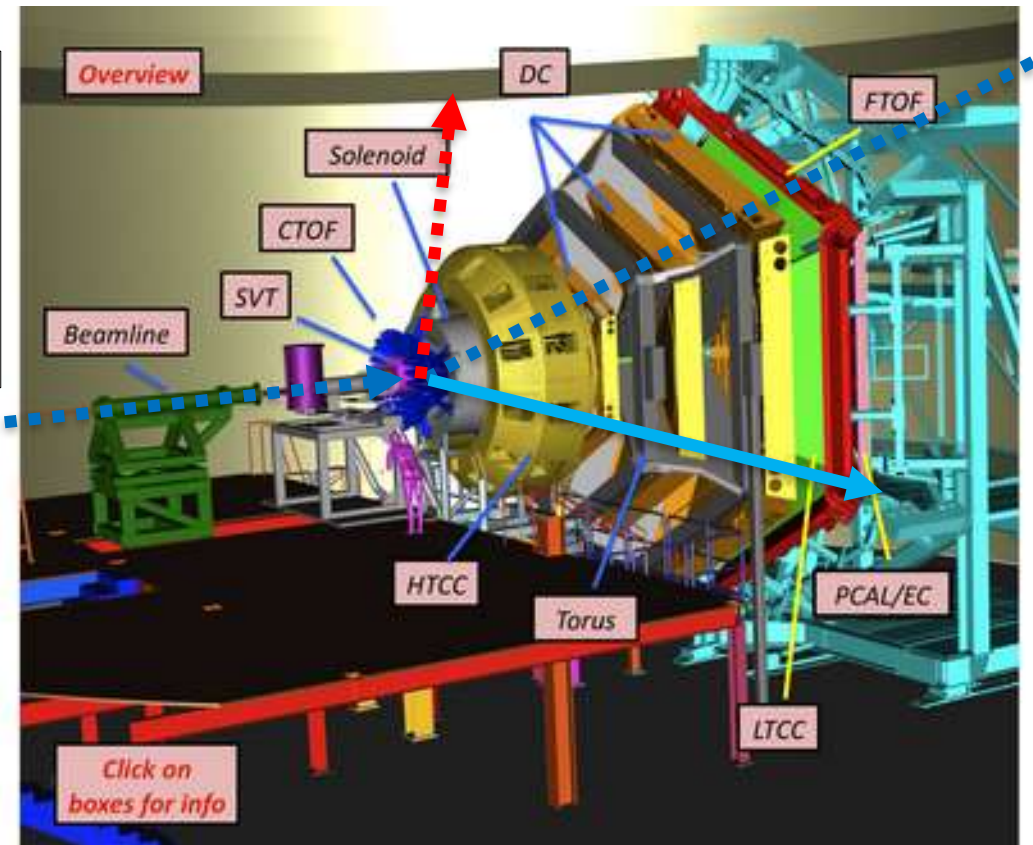
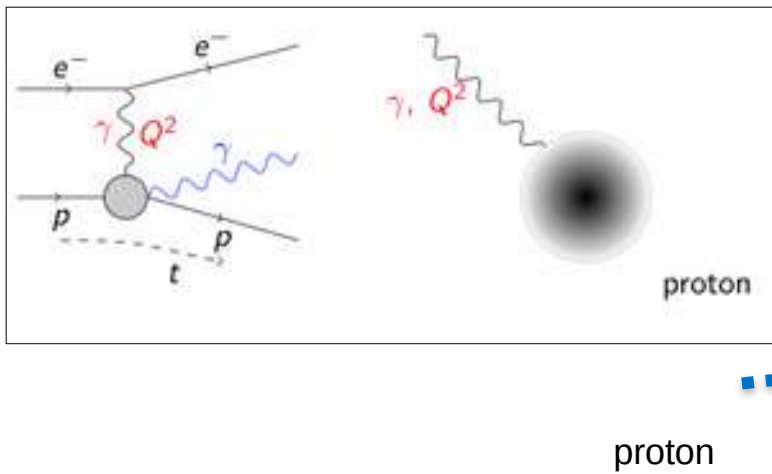


Diffusion Compton profondément virtuelle (DVCS)

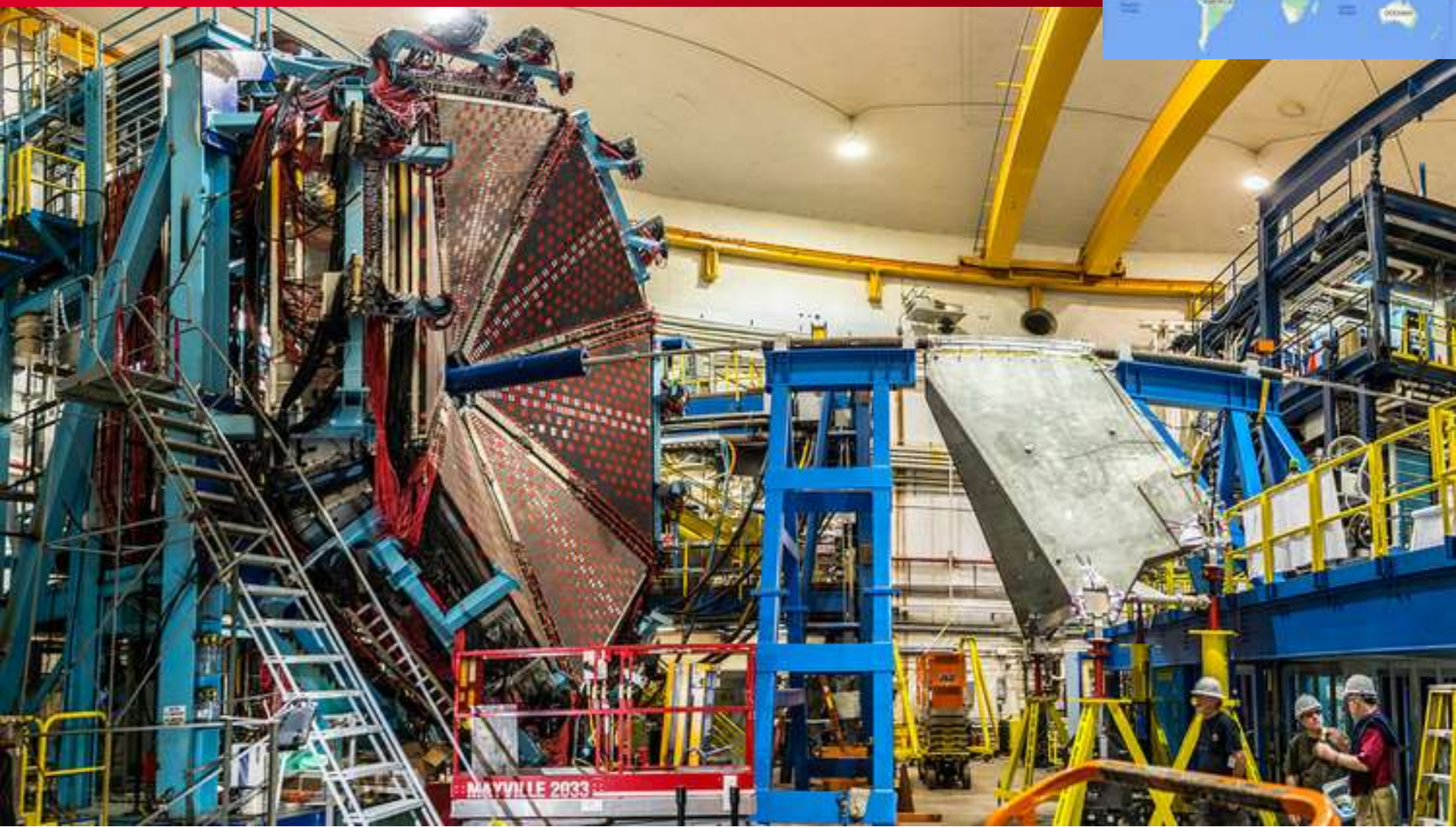


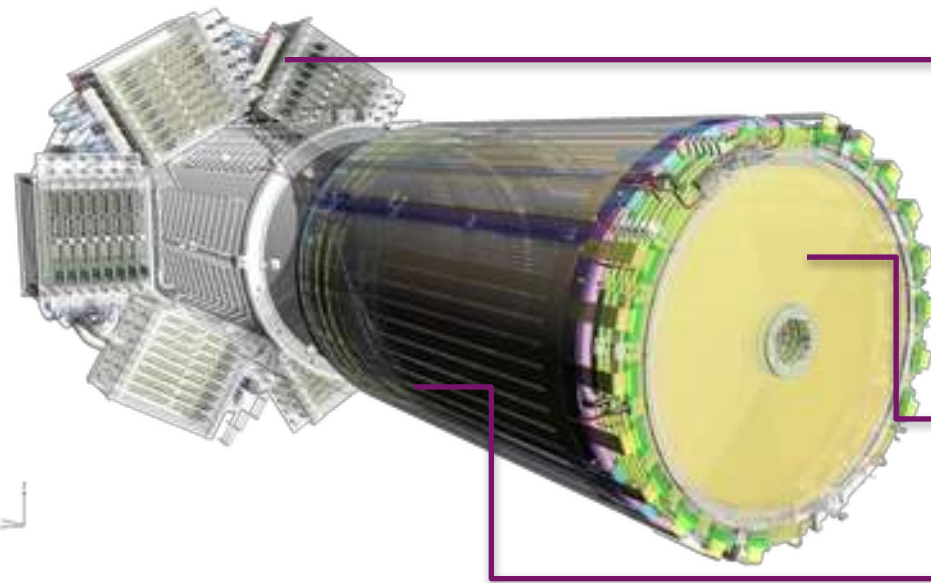
Vers une visualisation en 3d du nucléon !





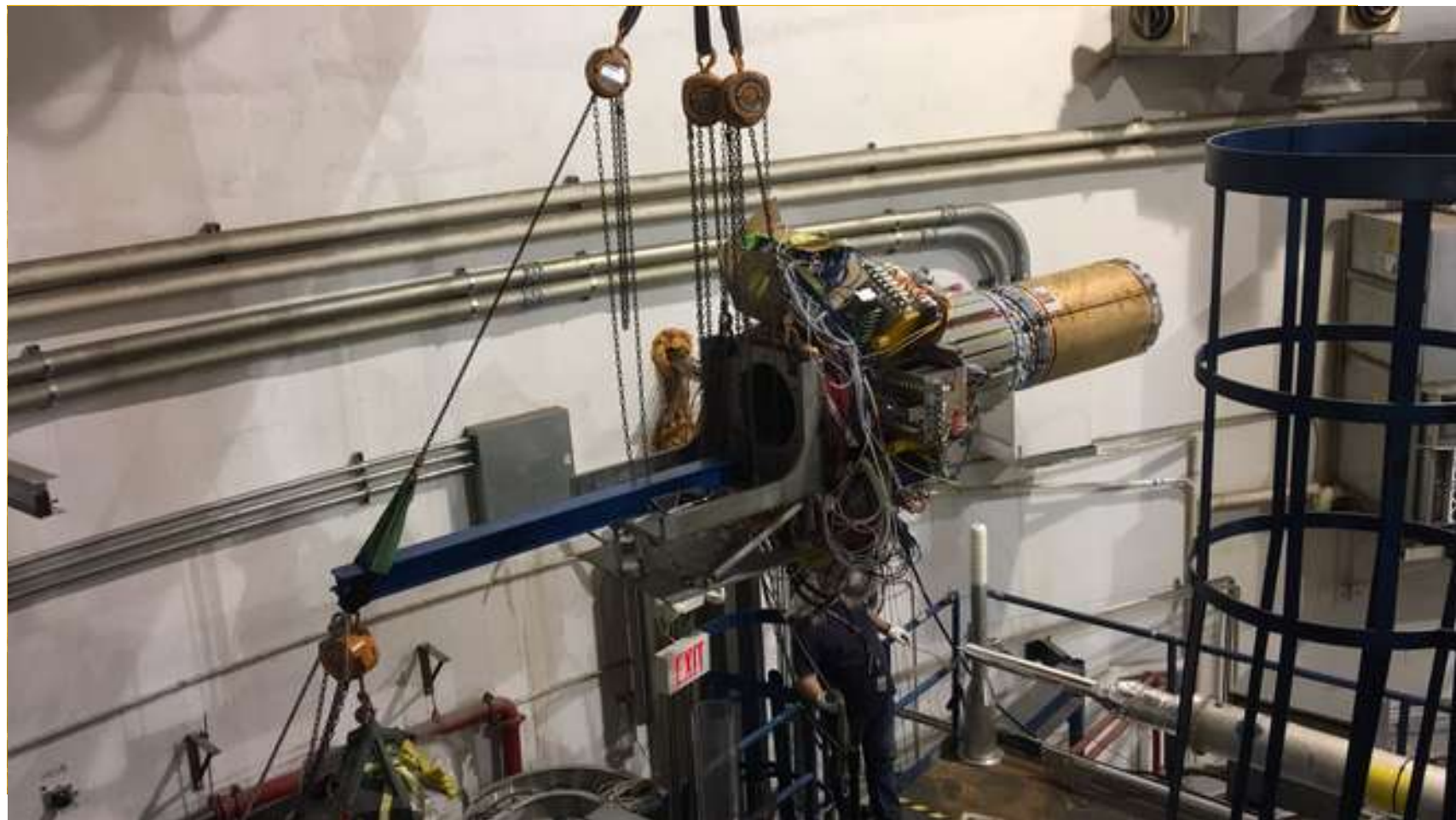
CLAS12 at Jefferson Lab



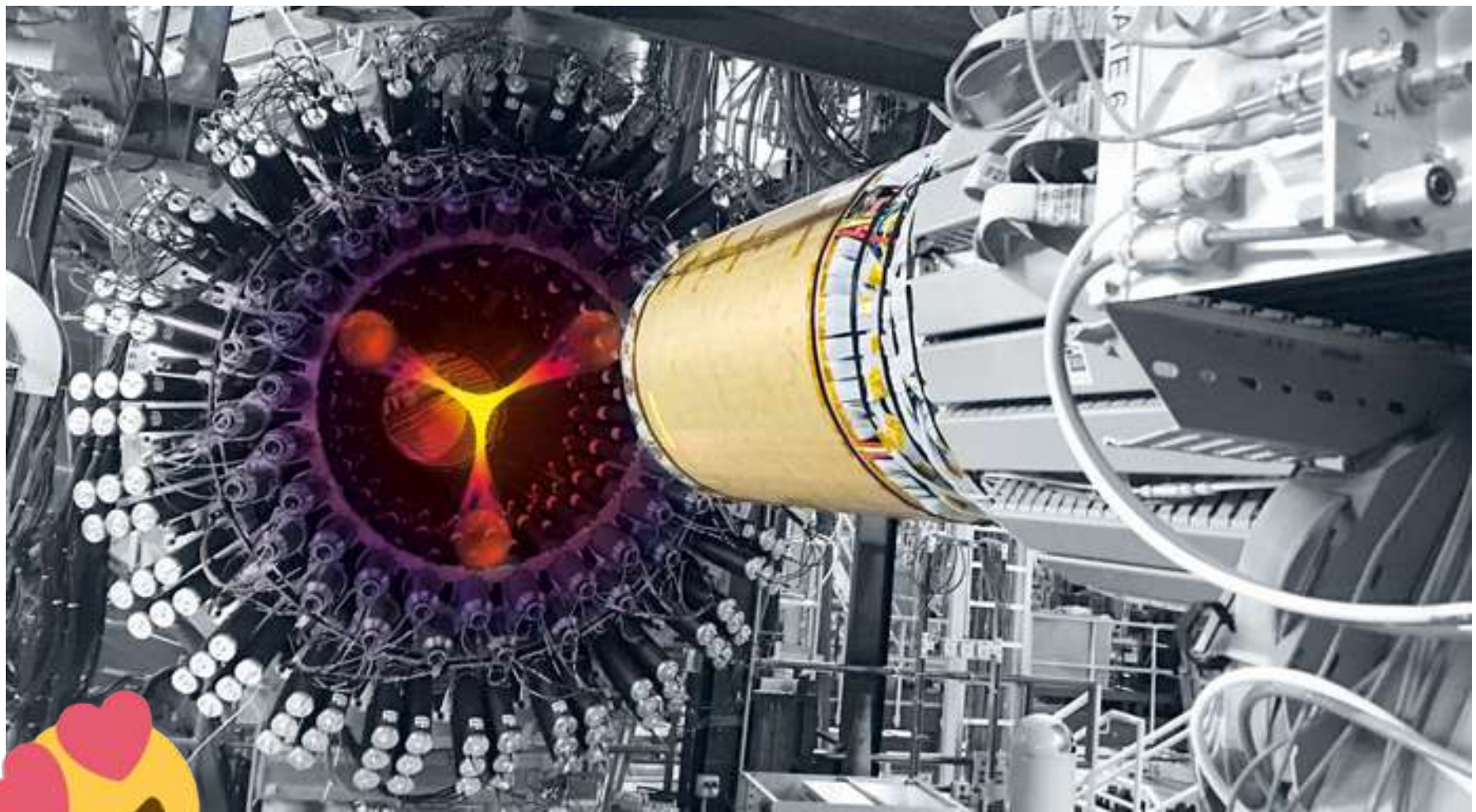


- ▶ 4 m² of Micromegas detectors to be installed in 2017
- ▶ DREAM based Front-End Electronics
- ▶ Remote off-detector frontend electronics connected with 2m micro-coaxial cables
- ▶ Forward Detectors
 - ▶ High particle rate (30MHz) => Fast detectors
 - ▶ Resistive strips divided in 2 zones inner/outer
 - ▶ Dimensions: 6x 430 mm diameter disk with a 50 mm diameter hole at the center
- ▶ Cylindrical Barrel
 - ▶ Low momentum particles => Light Detectors
 - ▶ Limited space of ~10 cm for 6 layers
 - ▶ High magnetic field (5T)
 - ▶ Phase 1 (2016) : 2 Layers (6 Det. of 120°)
 - ▶ Phase 2 (2017) : 6 Layers (18 Det.)

CLAS12 at Jefferson Lab



CLAS12 – Central Tracker



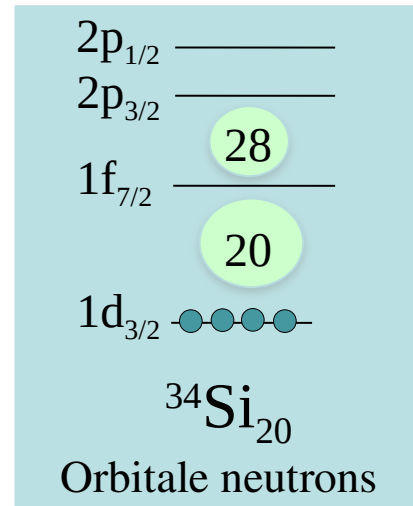
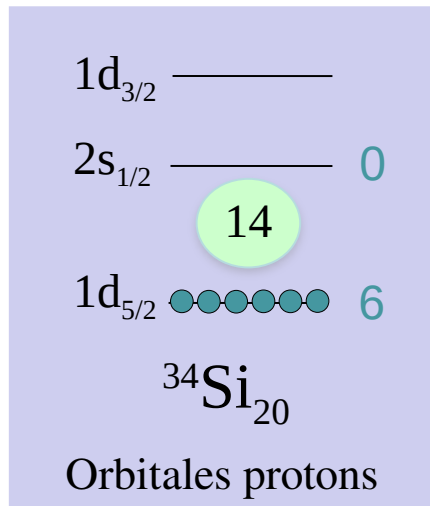
Physique Nucléaire

Noyaux Bulles et Spectroscopie Gamma

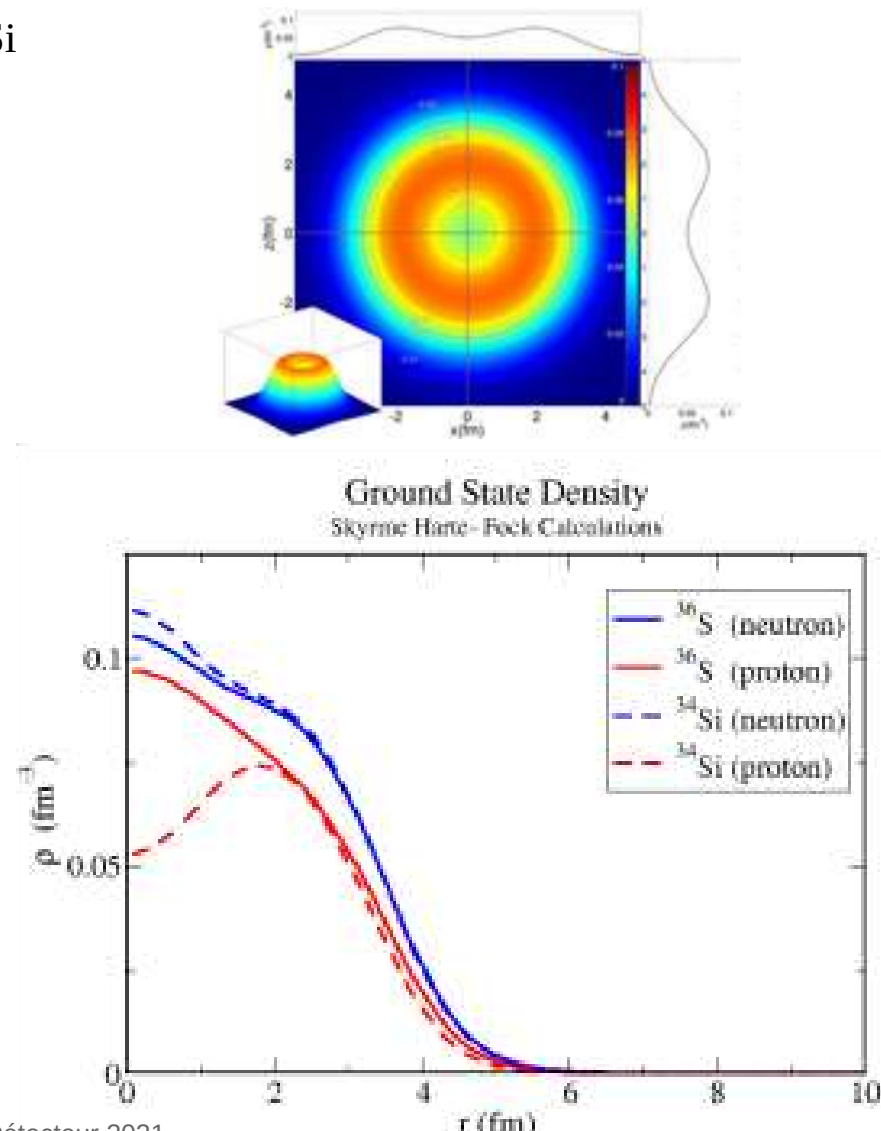
Cas physique : Etude des noyaux bulles



- Origine d'une déplétion centrale dans le noyau ^{34}Si



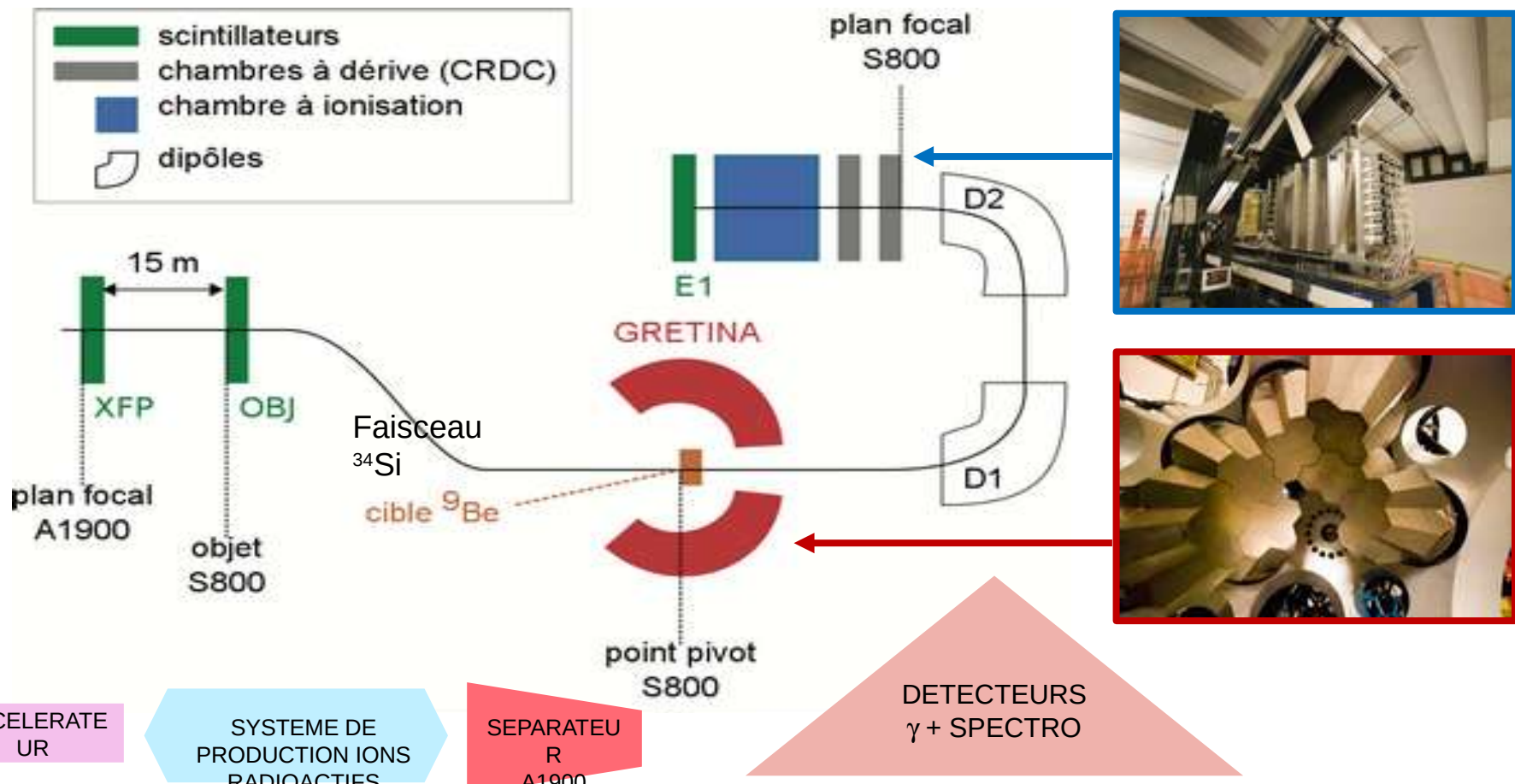
→ A cause de son orbitale $2\text{s}_{1/2}$ vide, le ^{34}Si ($Z=14, N=20$) présenterait une déplétion centrale comparativement au ^{36}S ($Z=16, N=20$)



Cas physique : Etude des noyaux bulles



- Expérience @NSCL, MSU USA. Objectif : étudier l'occupation de l'orbitale $2s1/2$ dans le ^{34}Si et ^{36}S
Réaction d'arrachage d'un proton (1 proton knockout) $^{34}\text{Si}(-1\text{p})^{33}\text{Al}$ and $^{36}\text{S}(-1\text{p})^{35}\text{P}$ et on essaye d'identifier d'où a été arraché le proton



Spectroscopie Gamme

DETECTEUR
γ Germanium

- Comment interagit un γ avec la matière ?

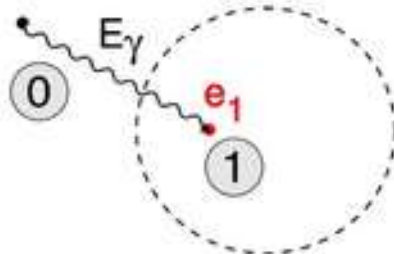
$\sim 100 \text{ keV}$

$\sim 1 \text{ MeV}$

$\sim 10 \text{ MeV}$

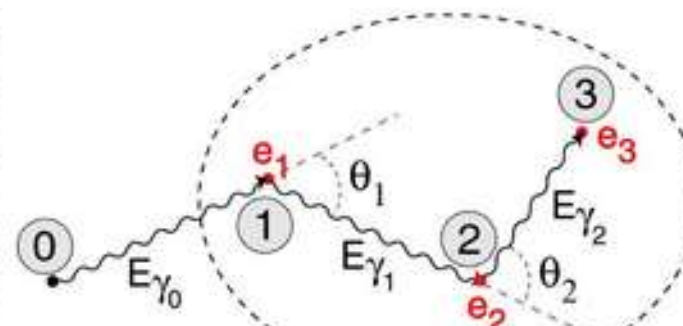
γ ray energy

Photoelectric



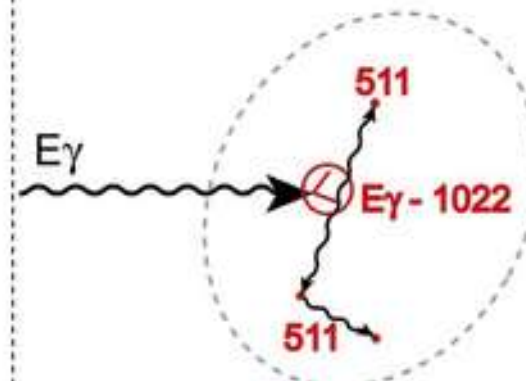
$$E_{e1} = E_{\gamma} - E_b$$

Compton Scattering



$$E_{\gamma'} = \frac{E_{\gamma}}{1 + \frac{E_{\gamma}}{m_e c^2} (1 - \cos \theta)}$$

Pair Production



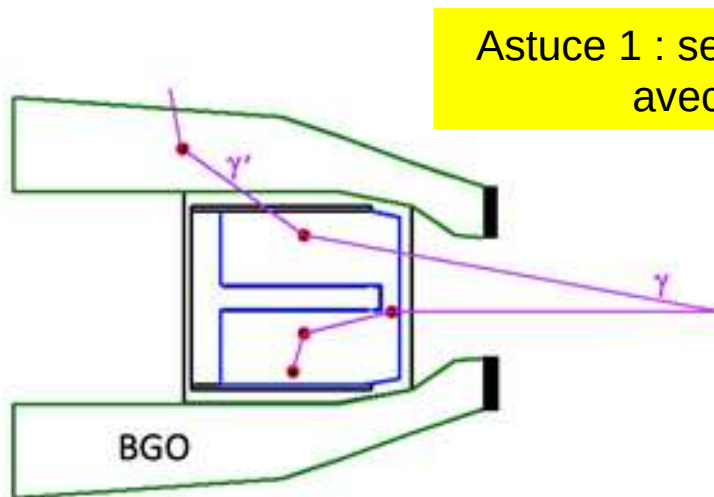
$$(E_{\gamma} > 2m_e c^2)$$

Spectroscopie Gamme

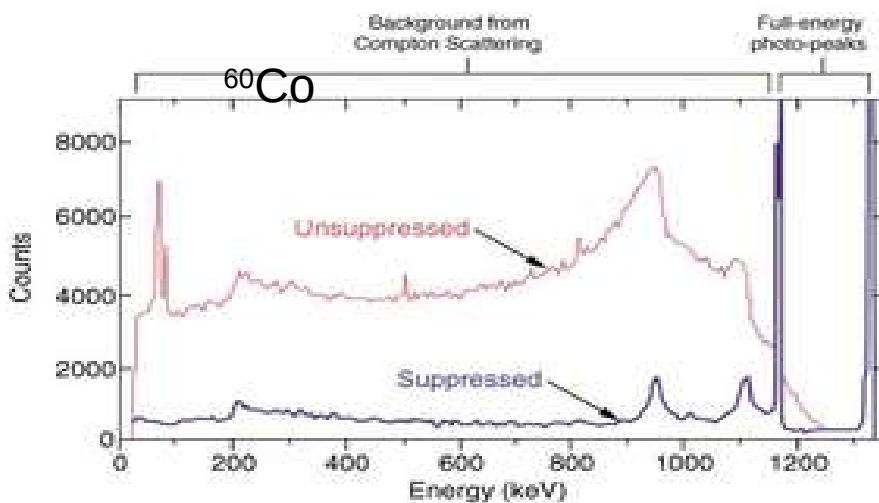


DETECTEUR
 γ Germanium

- Les détecteurs γ , la lutte contre la diffusion Compton



Astuce 1 : se débarrasser du Compton
avec un bouclier BGO

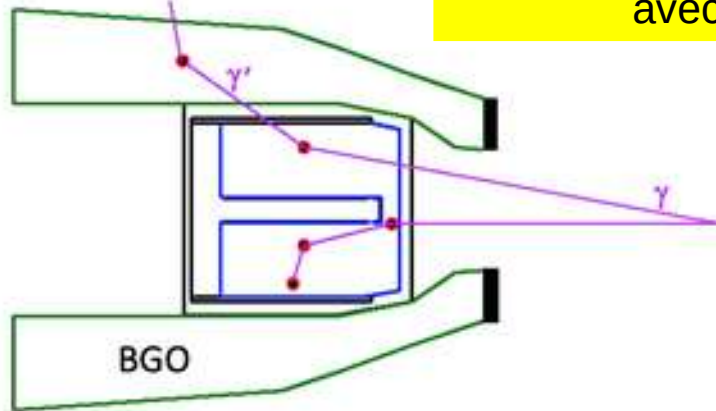


Spectroscopie Gamme



- Les détecteurs γ , la lutte contre la diffusion Compton

DETECTEUR
 γ Germanium



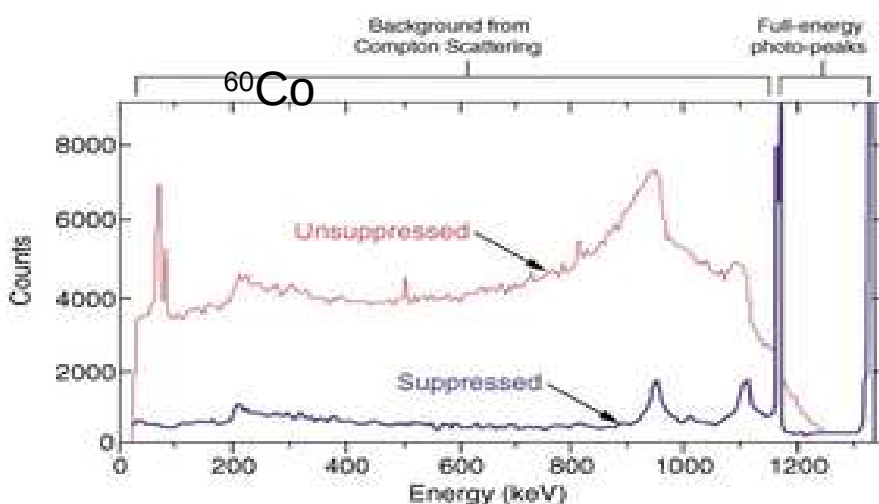
Astuce 1 : se débarrasser du Compton avec un bouclier BGO



GAMMASPHERE @ANL



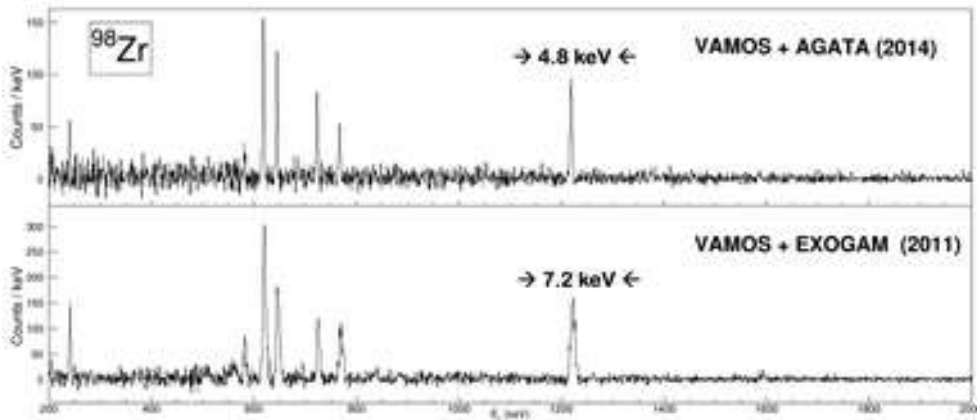
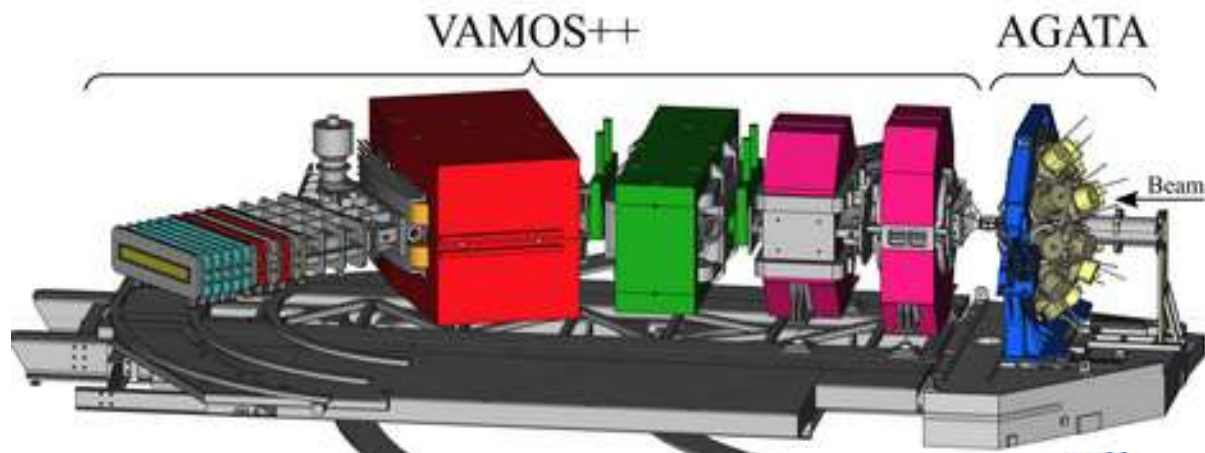
EXOGAM @GANIL



Spectroscopie Gamma

DETECTEUR
γ Germanium

- La campagne VAMOS-AGATA @GANIL 2014-2021



29 expériences



558 To de données



6568 heures de faisceau sur cible



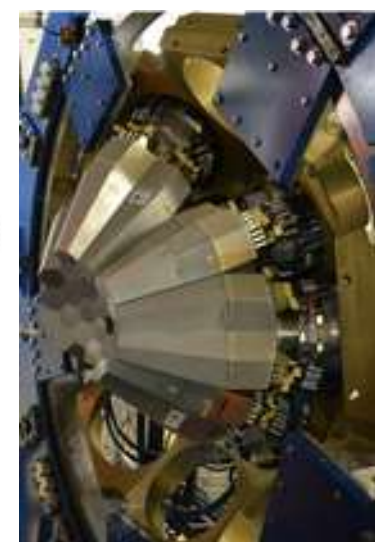
14 034 entrés dans le elog



2386 jours de surveillance cryogénique



11,5 tonnes de matériel scientifique



Cas physique : Etude des noyaux bulles



- Alors bulle ou pas bulle ?

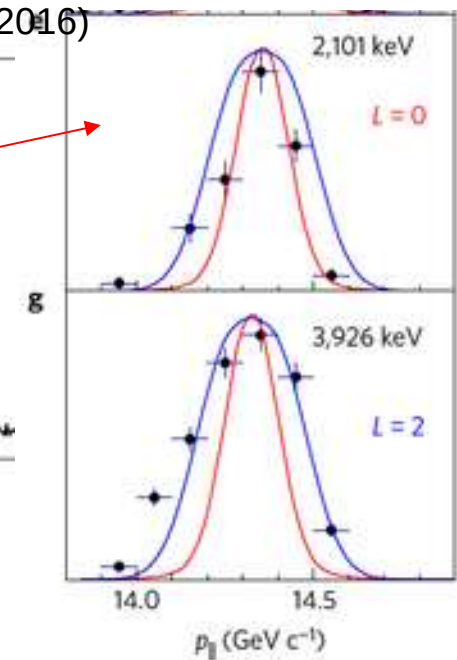
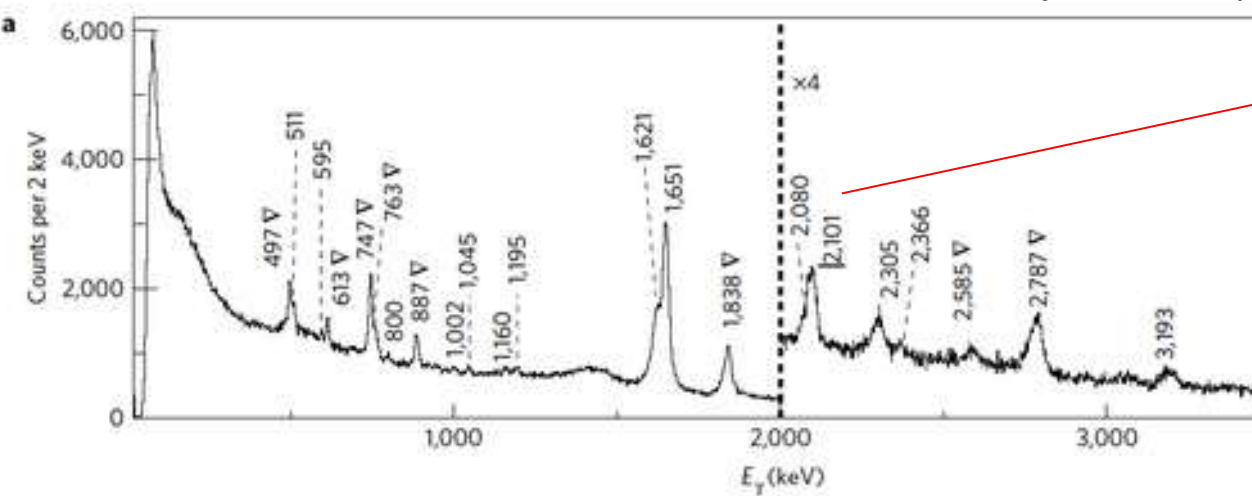
Cas physique : Etude des noyaux bulles



- Alors bulle ou pas bulle ?

1) $^{34}\text{Si}(-1\text{p})^{33}\text{Al}$, détection des γ issus de la désexcitation du ^{33}Al dans GRETINA en coïncidence avec le noyau ^{33}Al au plan focal du spectromètre S800

A. Mutschler et al. Nature Physics 3916 (2016)

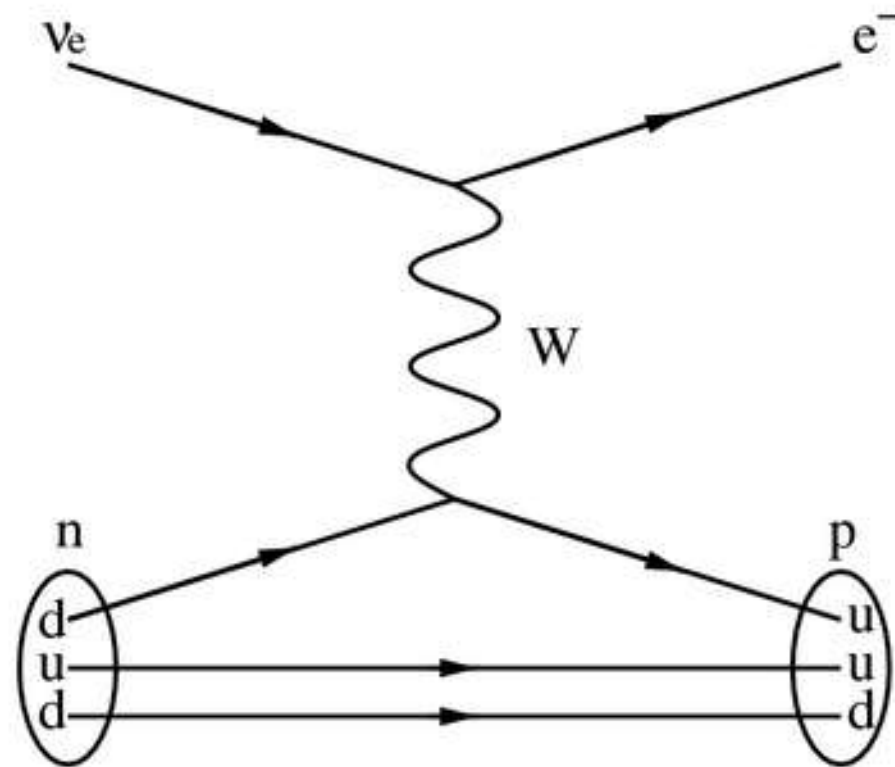


2) Le moment orbital angulaire l de l'orbitale d'où est arraché le p est déterminé en mesurant la distribution en moment longitudinal du ^{33}Al pour l'état peuplé

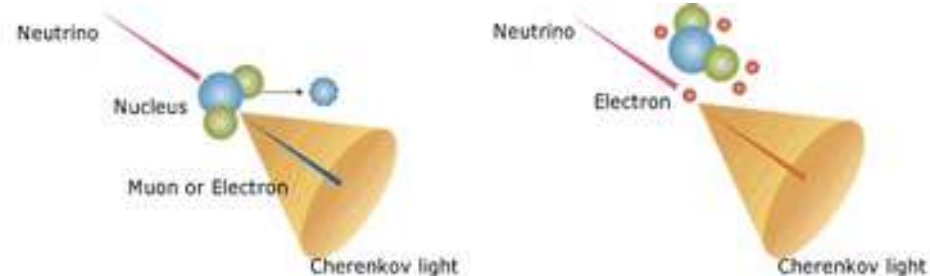
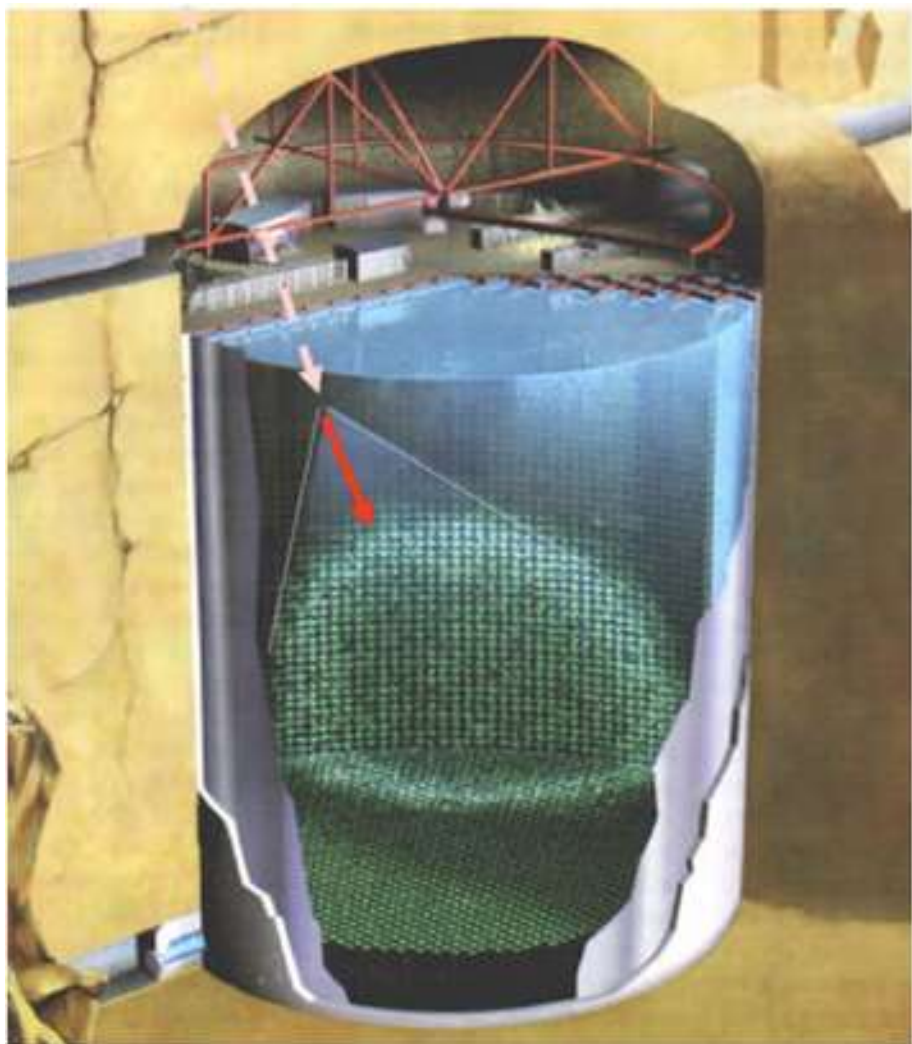
3) L'occupation de l'état $2s1/2$ est déduite en de la section efficace expérimentale pour arracher un p depuis cette orbitale (rappel : orbitale $2s1/2$ peut accueillir 2 nucléons)

Dans le ^{34}Si 0.17(3)
Dans le ^{36}S 1.7(4)

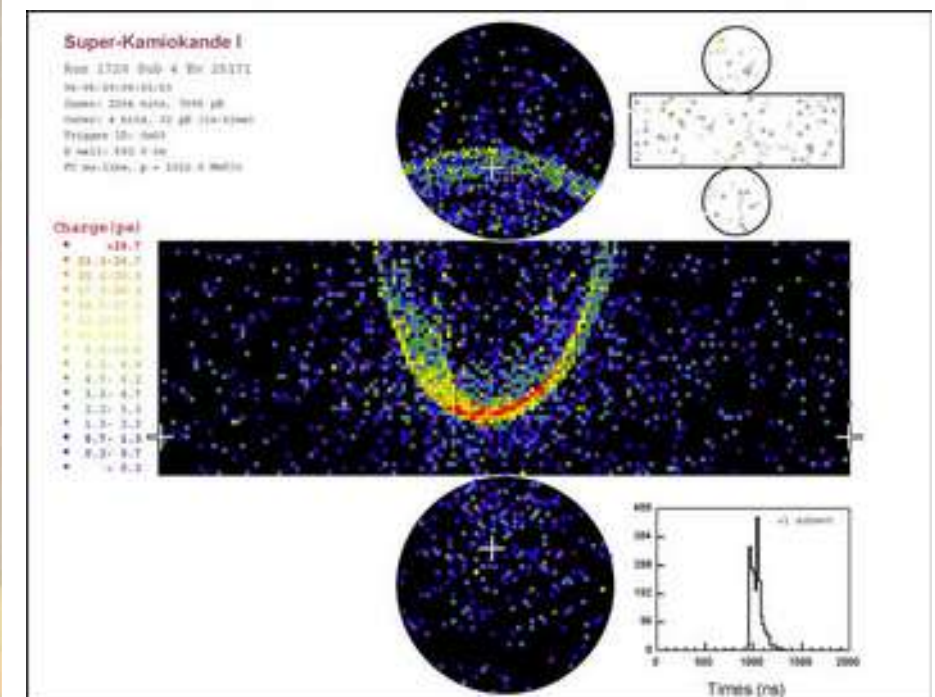




Super Kamiokande



The generated charged particle emits the Cherenkov light.



Super Kamiokande



Super Kamiokande

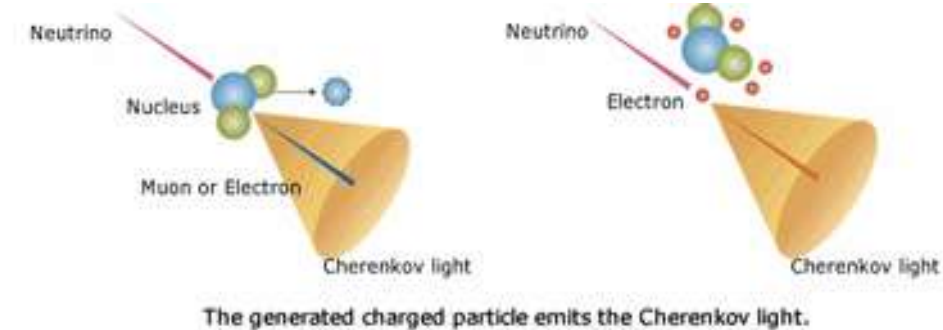
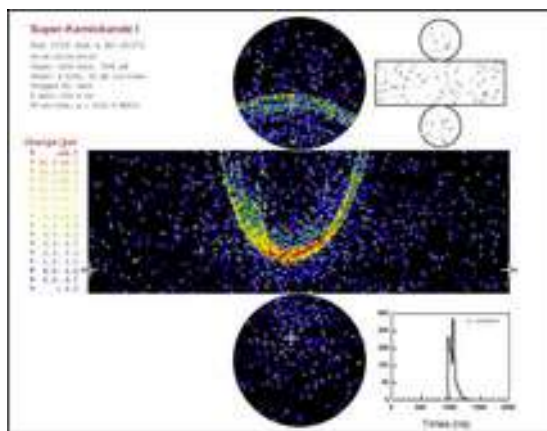
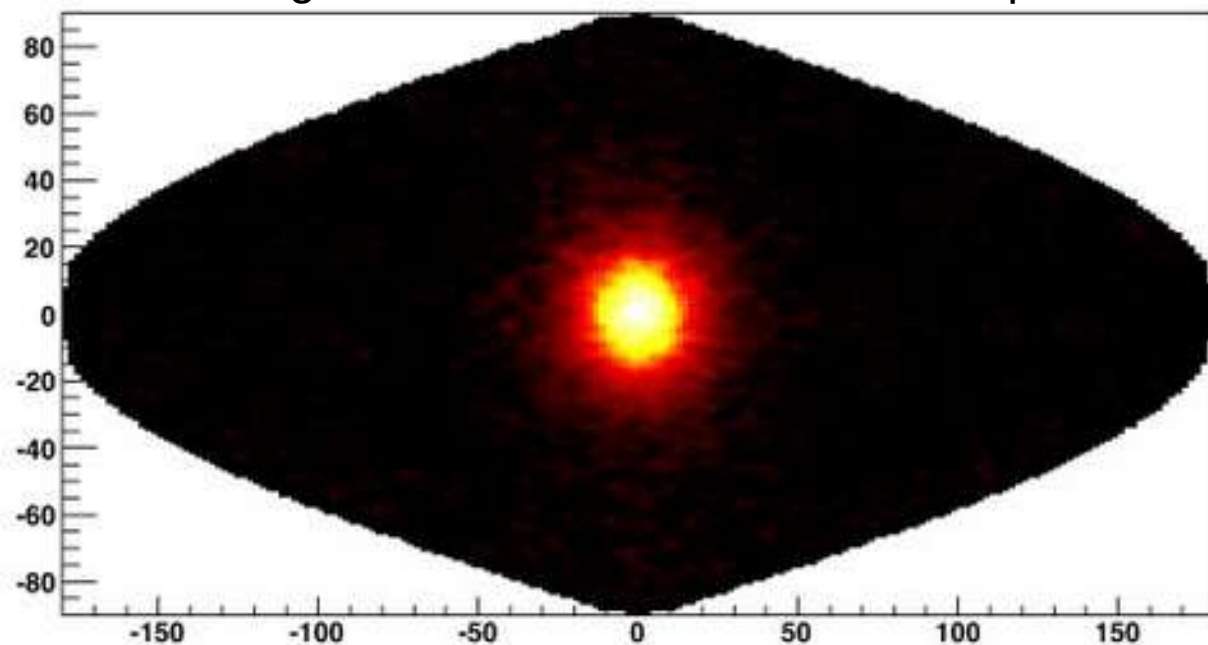


Image du soleil en Neutrino Electronique



Antares

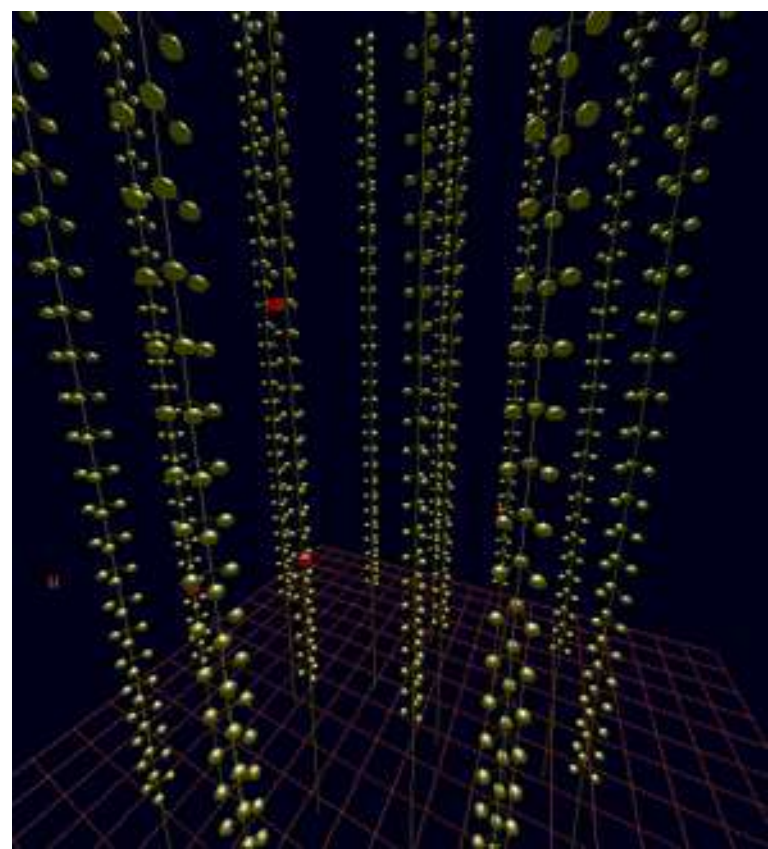
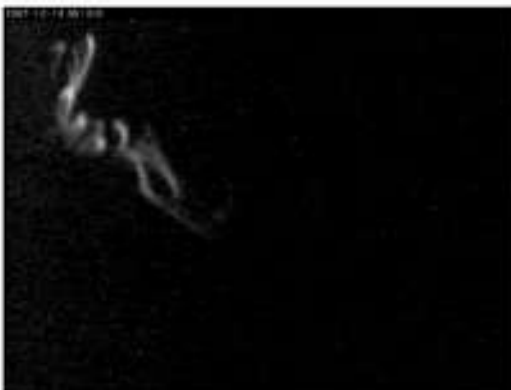
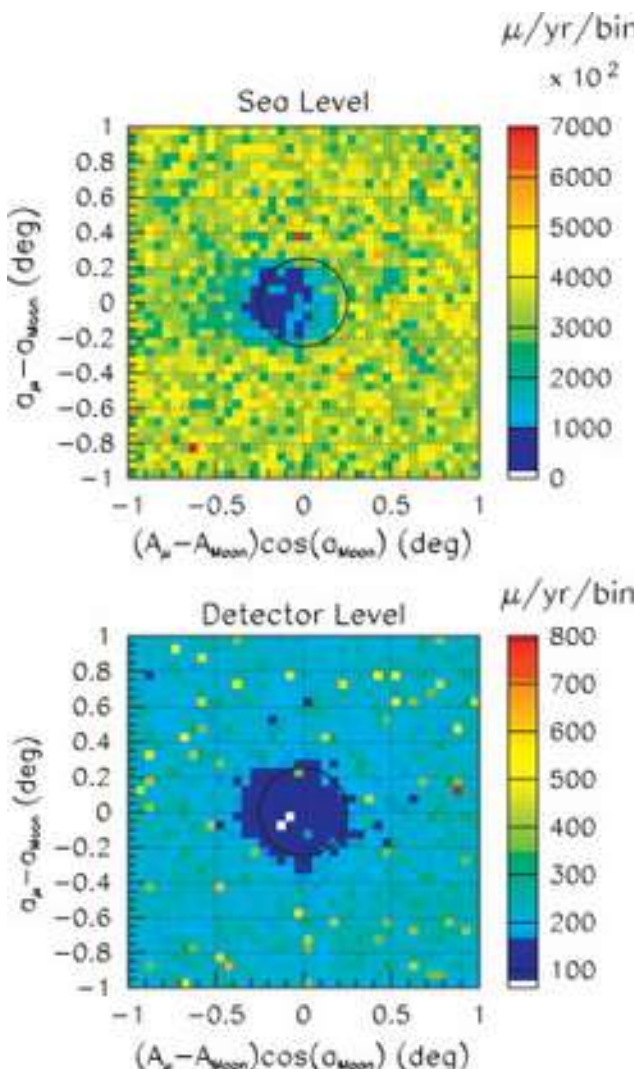
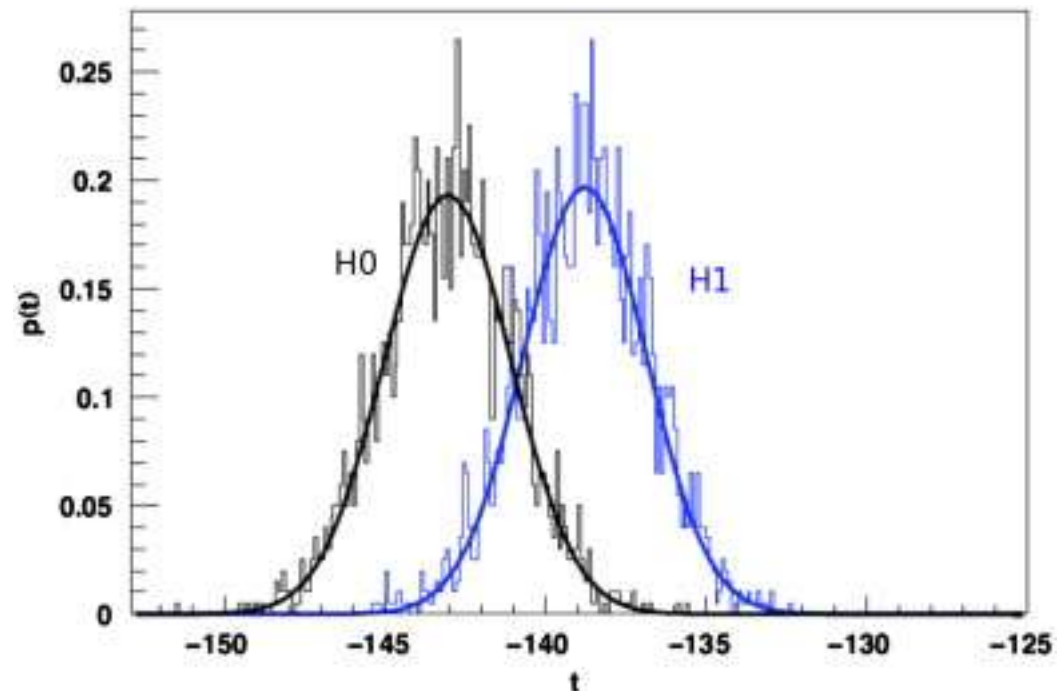


FIG. (ii) 1.7: Photographie d'un individu bioluminescent prise par l'une des caméras installées sur la ligne d'instrumentation IL07 (lire le paragraphe [\[1.1.3\]](#)). L'échelle n'est pas précisément connue (elle dépend de la distance à la caméra).

Antares



Moon Shadow in cosmic rays



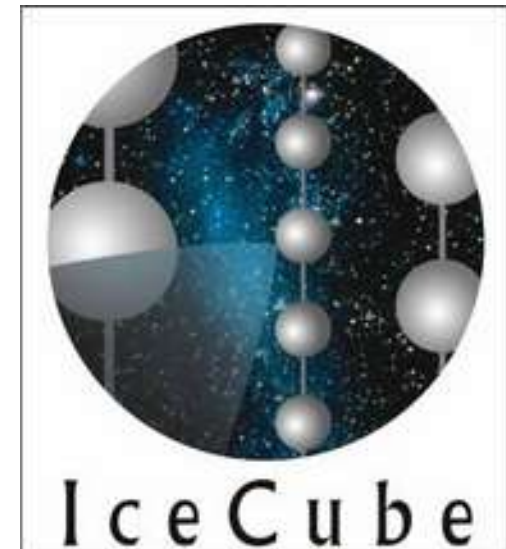
Moon hypothesis confirms at 2.9σ

Sun is at 3.7σ



AMANDA

Antarctic Muon And Neutrino Detector Array



AMANDA



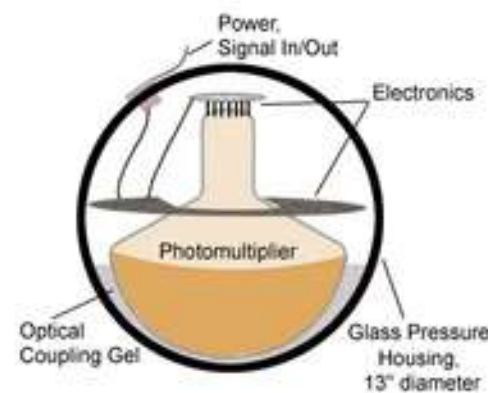
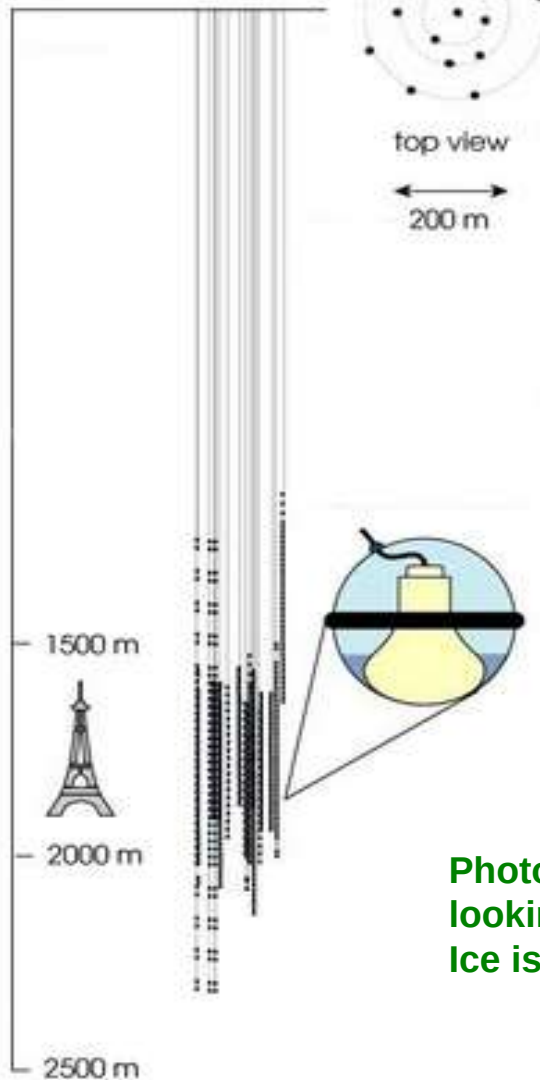
South Pole



AMANDA

AMANDA-II

Depth



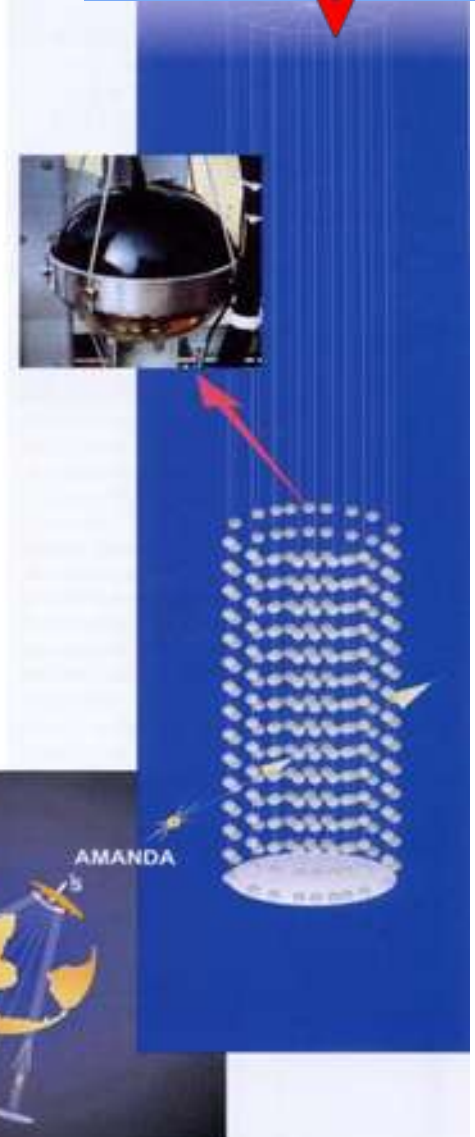
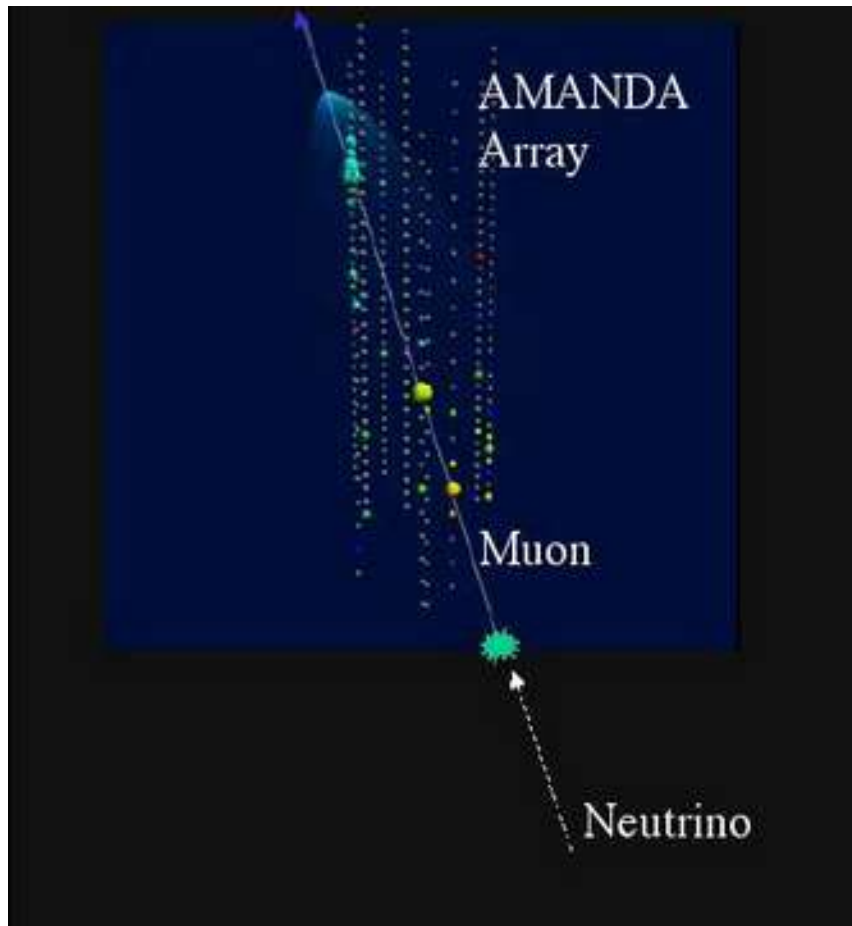
**Photomultipliers in the Ice,
looking downwards.
Ice is the detecting medium.**



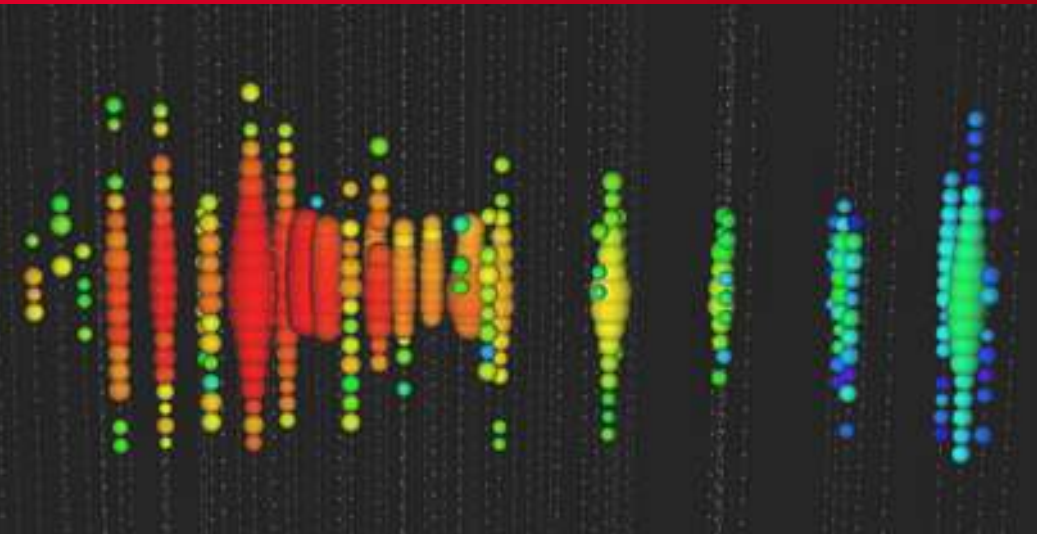
AMANDA

Look for upwards going Muons from Neutrino Interactions.
Cherenkov light propagating through the ice.

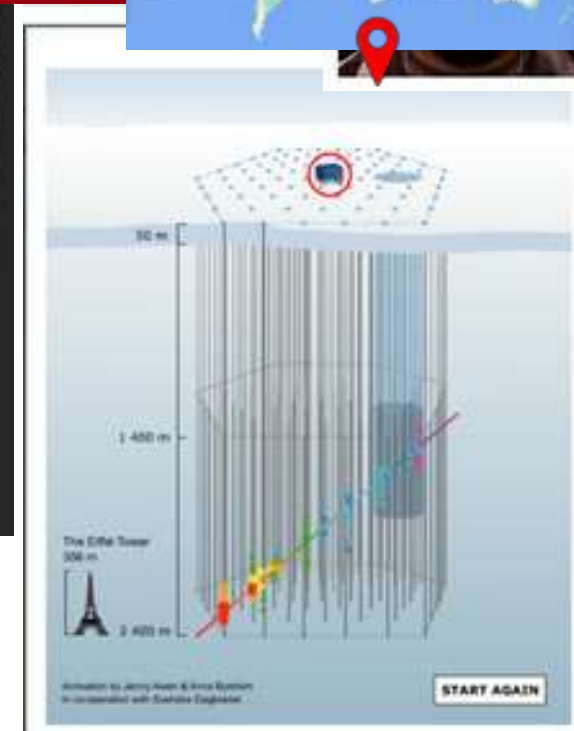
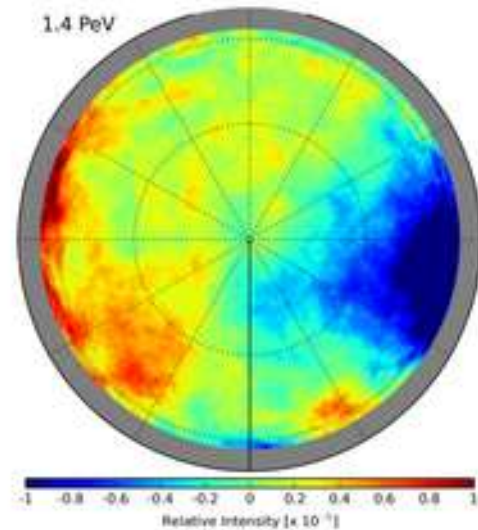
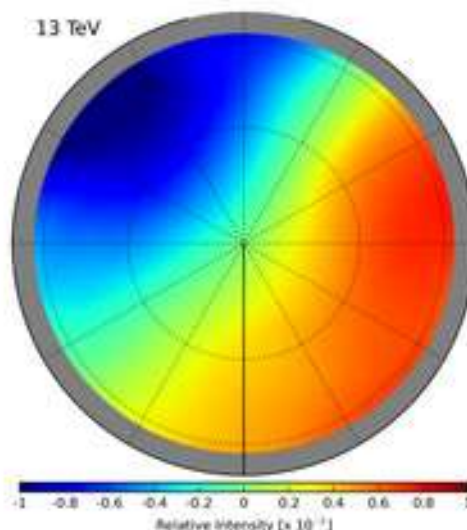
→ Find neutrino point sources in the universe !



AMANDA – ICE CUBE



A very high energy neutrino detected in IceCube on November 12, 2010, with an energy of 71 TeV.
Image: IceCube Collaboration



Detector Design

1 gigaton of instrumented ice

5,160 light sensors, or digital optical modules (DOMs), digitize and time-stamp signals

1 square kilometer surface array, IceTop, with 324 DOMs

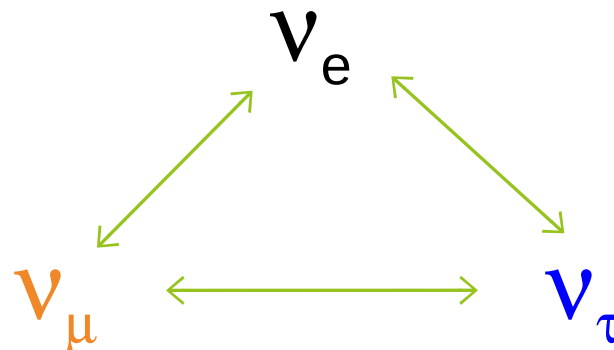
2 nanosecond time resolution

IceCube Lab (ICL) houses data processing and storage and sends 100 GB of data north by satellite daily

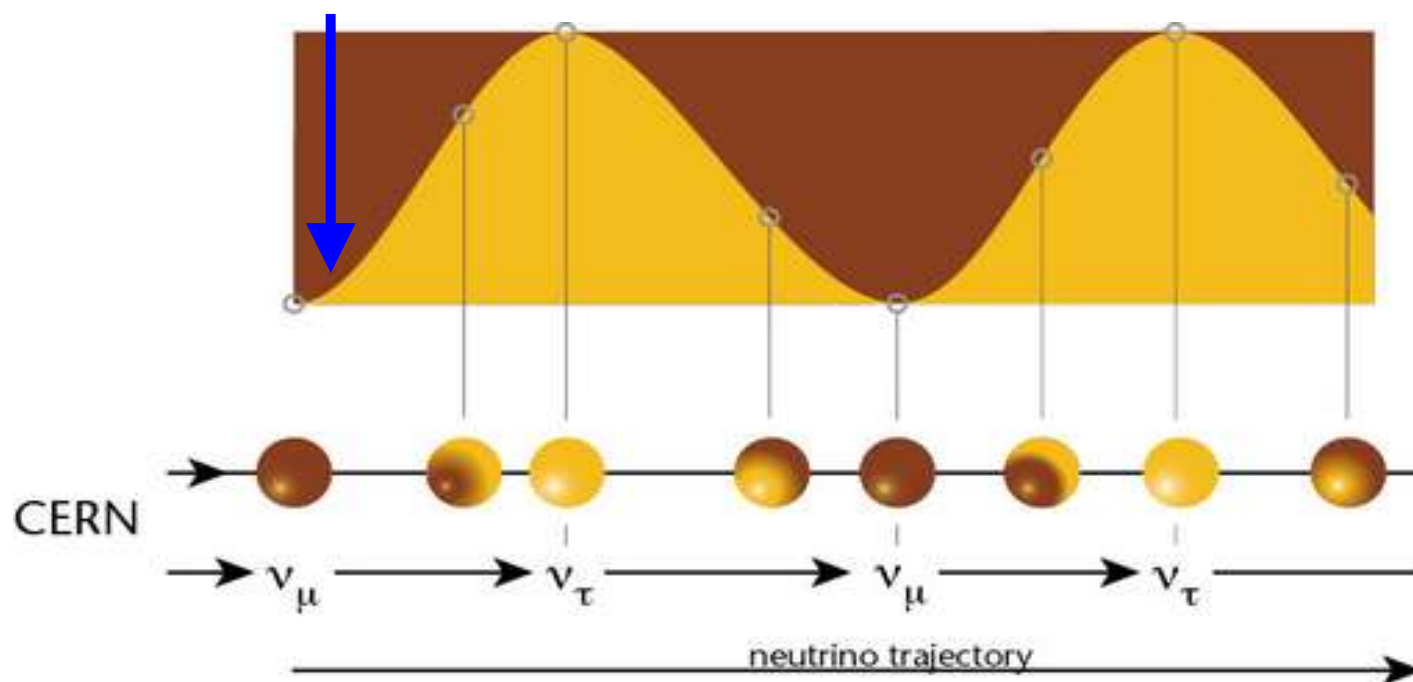
CERN Neutrino Gran Sasso (CNGS)



If neutrinos have mass:



Muon neutrinos produced at CERN.
See if tau neutrinos arrive in Italy.



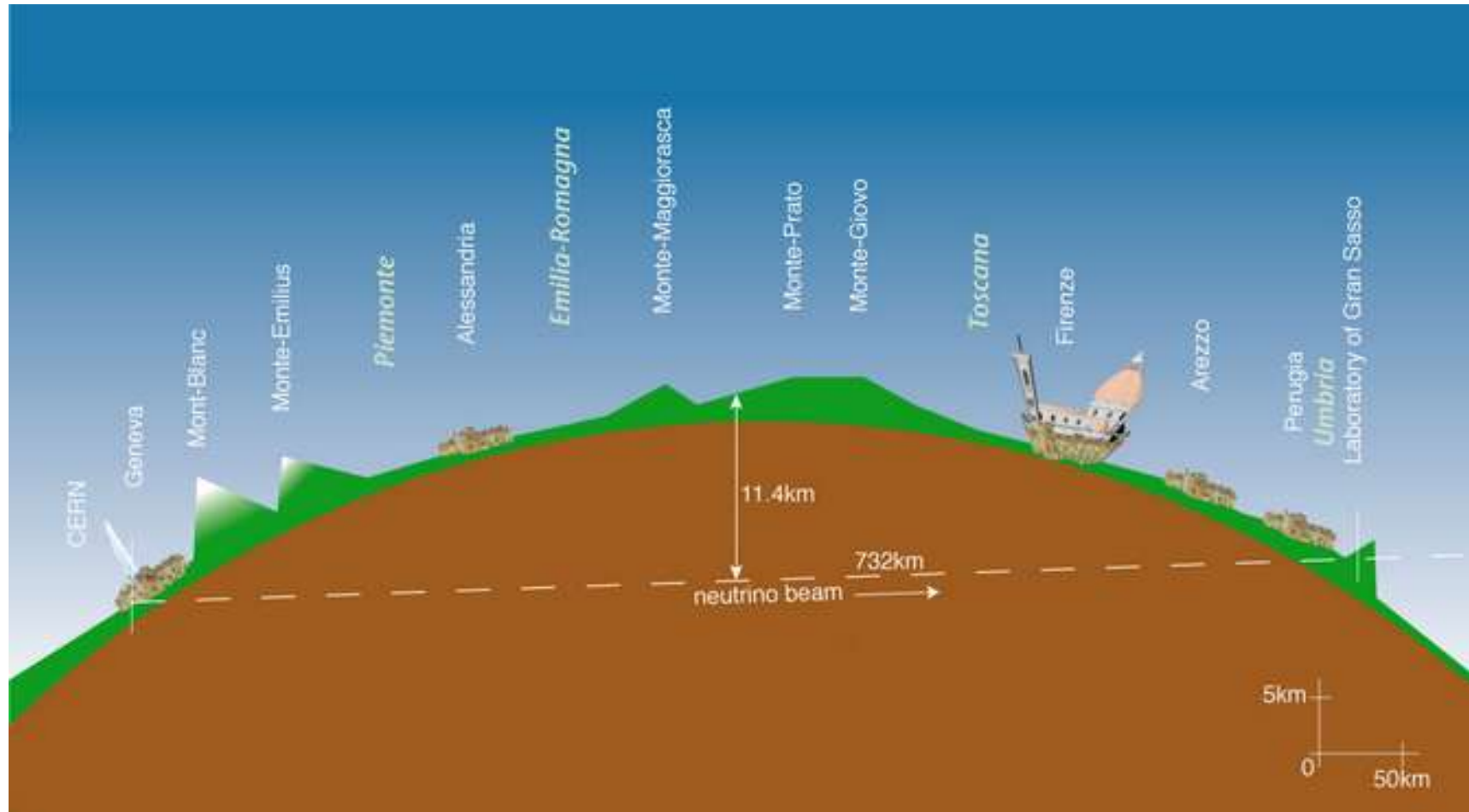


CNGS (CERN NEUTRINO GRAN SASSO)

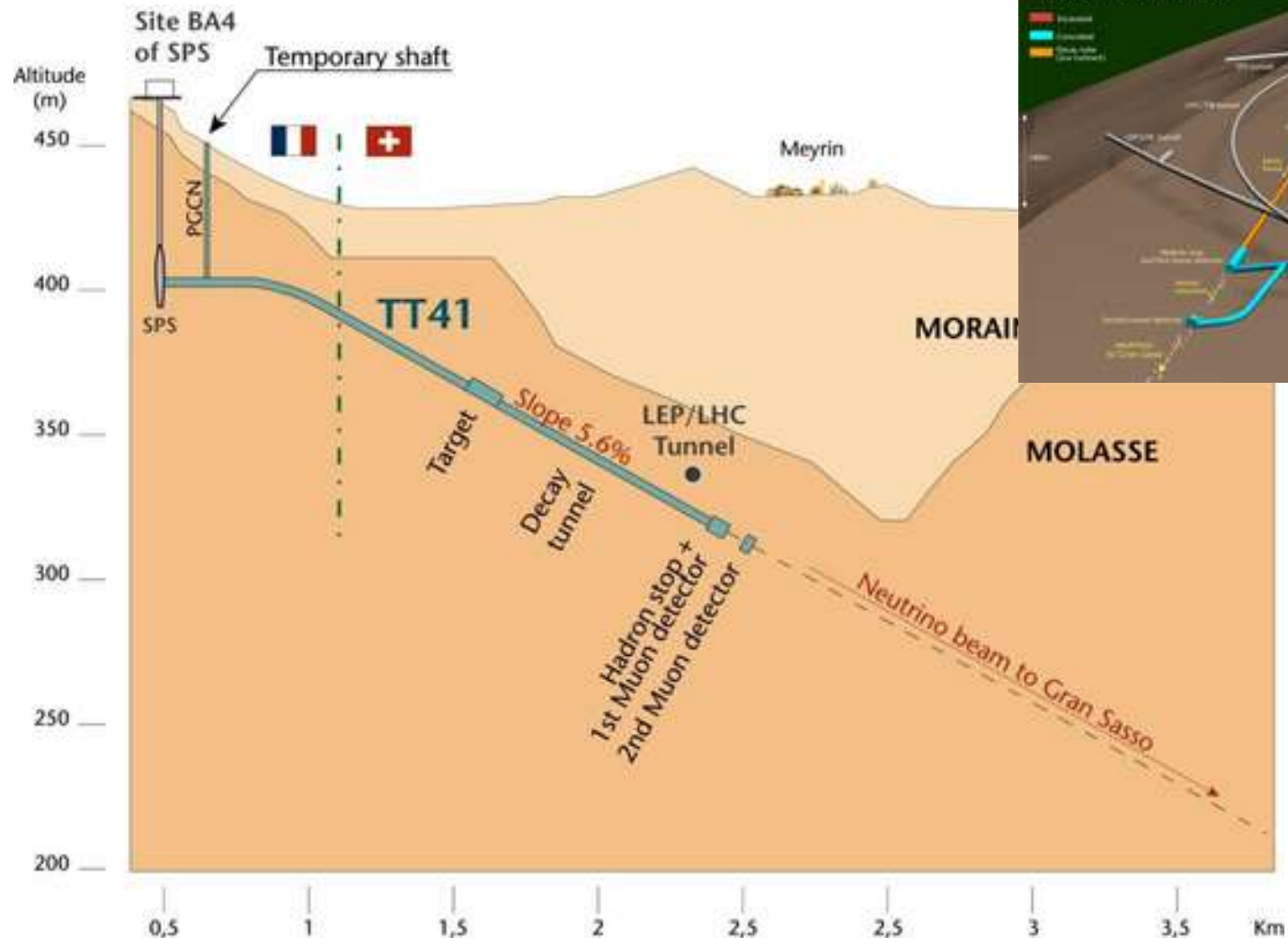
- A LONG BASE-LINE NEUTRINO BEAM FACILITY (732KM)
- SEND N_M BEAM PRODUCED AT CERN
- DETECT N_T APPEARANCE IN OPERA EXPERIMENT AT GRAN SASSO



- direct proof of $\nu_\mu - \nu_\tau$ oscillation (appearance experiment)



CNGS





For 1 day of CNGS operation, we expect:

protons on target 2×10^{17}

pions / kaons at entrance to decay tunnel 3×10^{17}

ν_μ in direction of Gran Sasso 10^{17}

ν_μ in 100 m^2 at Gran Sasso 3×10^{12}

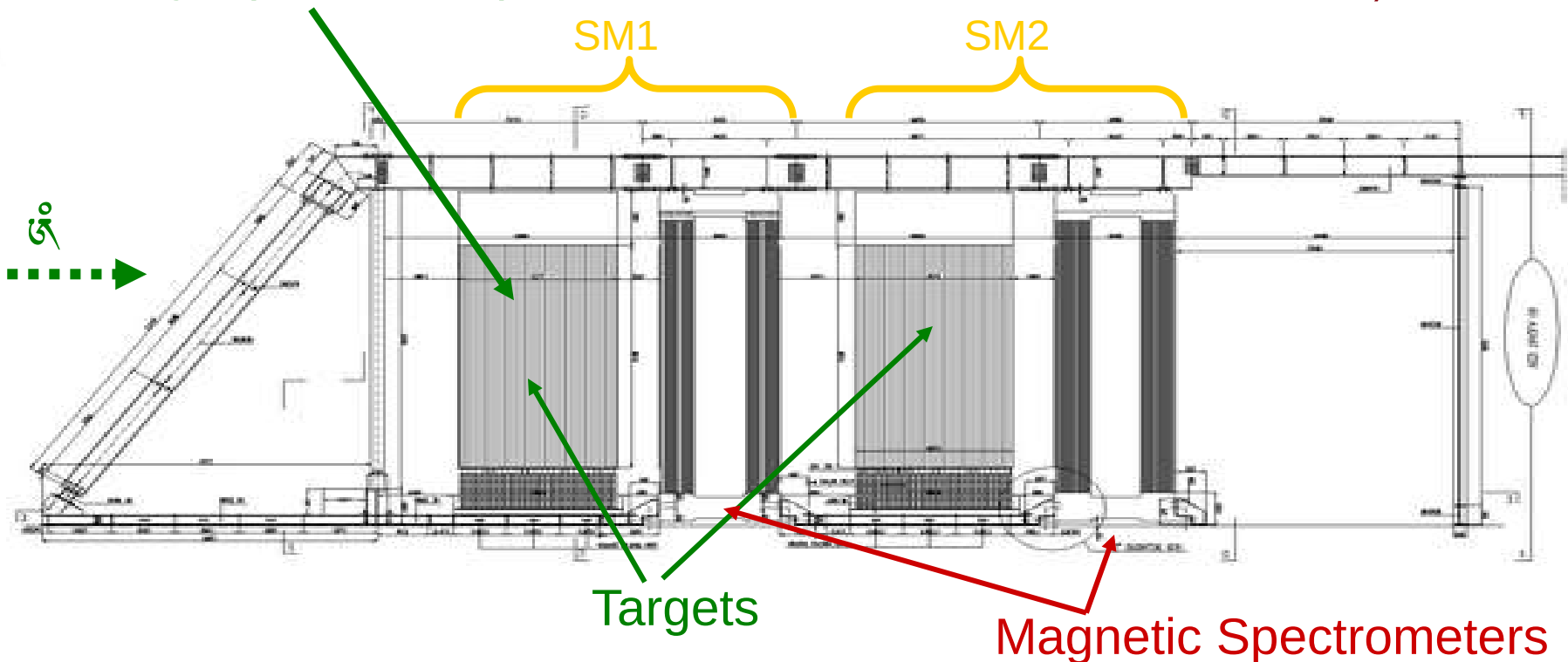
ν_μ events per day in OPERA 25 per day

ν_τ events (from oscillation) 2 per year



31 target planes / supermodule

In total: 206336 bricks, 1766 tons



First observation of CNGS beam neutrinos : August 18th, 2006

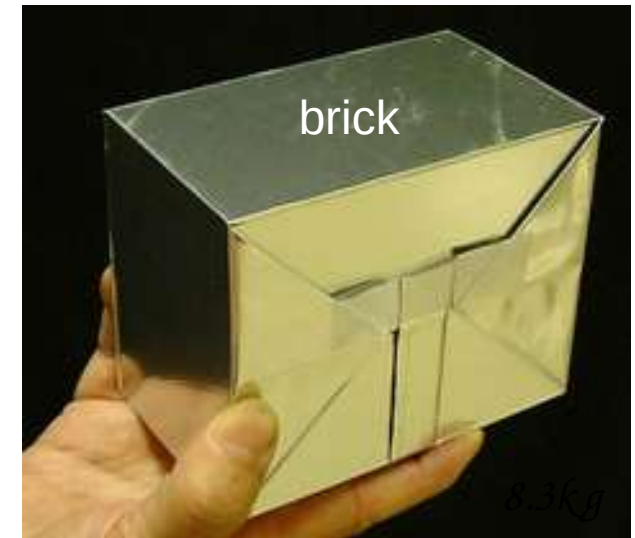
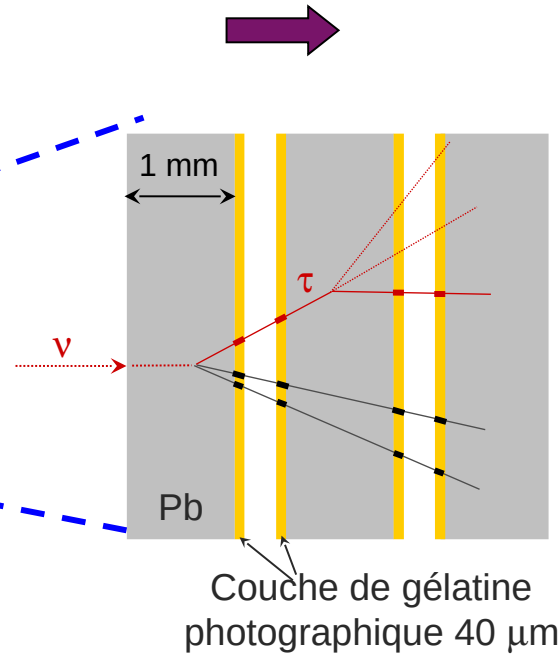
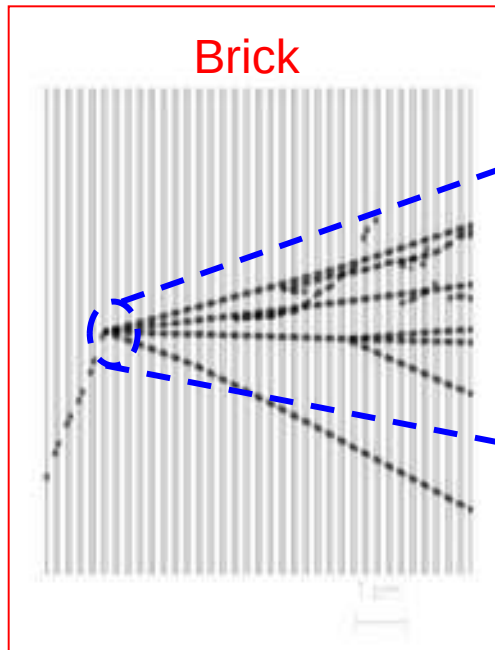


Basic unit: brick

56 Pb sheets + 56 photographic films (emulsion sheets)

Lead plates: massive target

Emulsions: micrometric precision



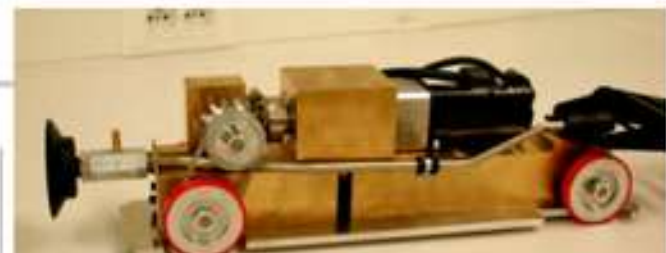
Opera Experiment at Gran Sasso



The Brick Manipulator System (BMS) prototype:
a lot of fun for children and adults !



Tests with the prototype wall



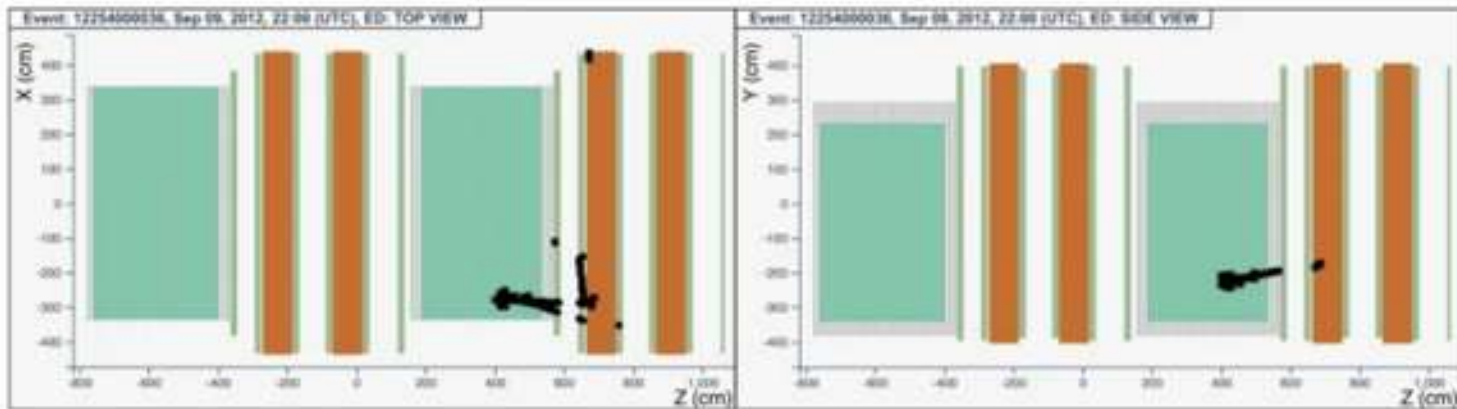
The robotised "Ferrari" for
insertion/extraction of bricks with
vacuum grip by Venturi valve



"Carousel" brick dispensing
and storage system



Fig. 15



(a)



Tau event (2021)

(b)

Concept Study for Observing Galactic Neutrinos in Neptune's Atmosphere

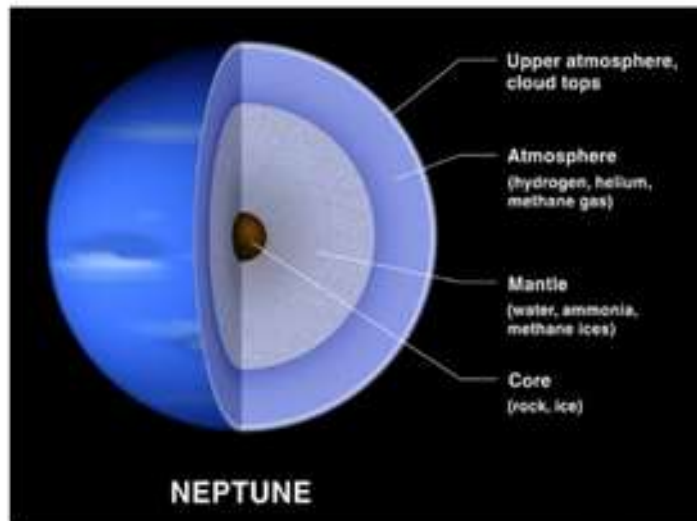


Fig. 15 Sketch of the Internal Structure of Neptune produced by NASA

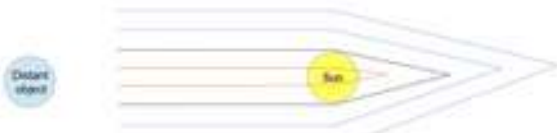


Fig. 4. Depiction of Neutrino Gravitational Lensing of the Sun.

To see Galactic core and BH

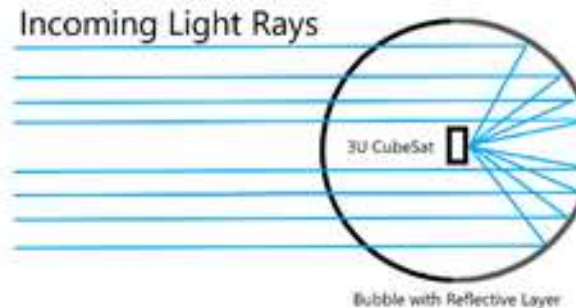


Fig. 14 Diagram of reflective bubble environment redirecting the incoming light rays back to the CubeSat

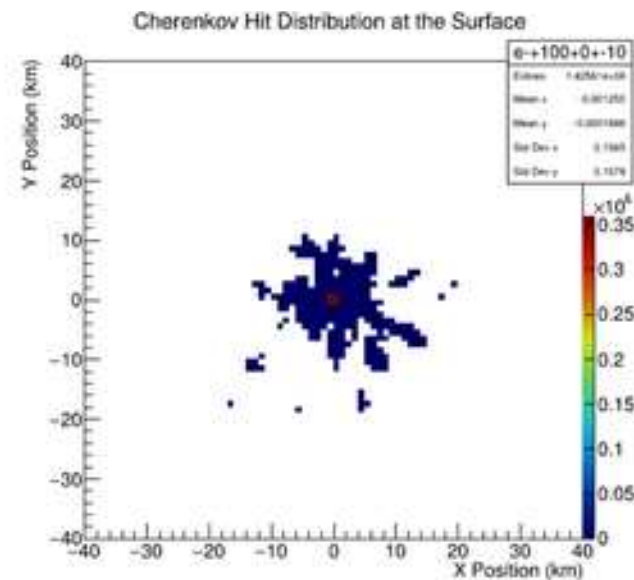
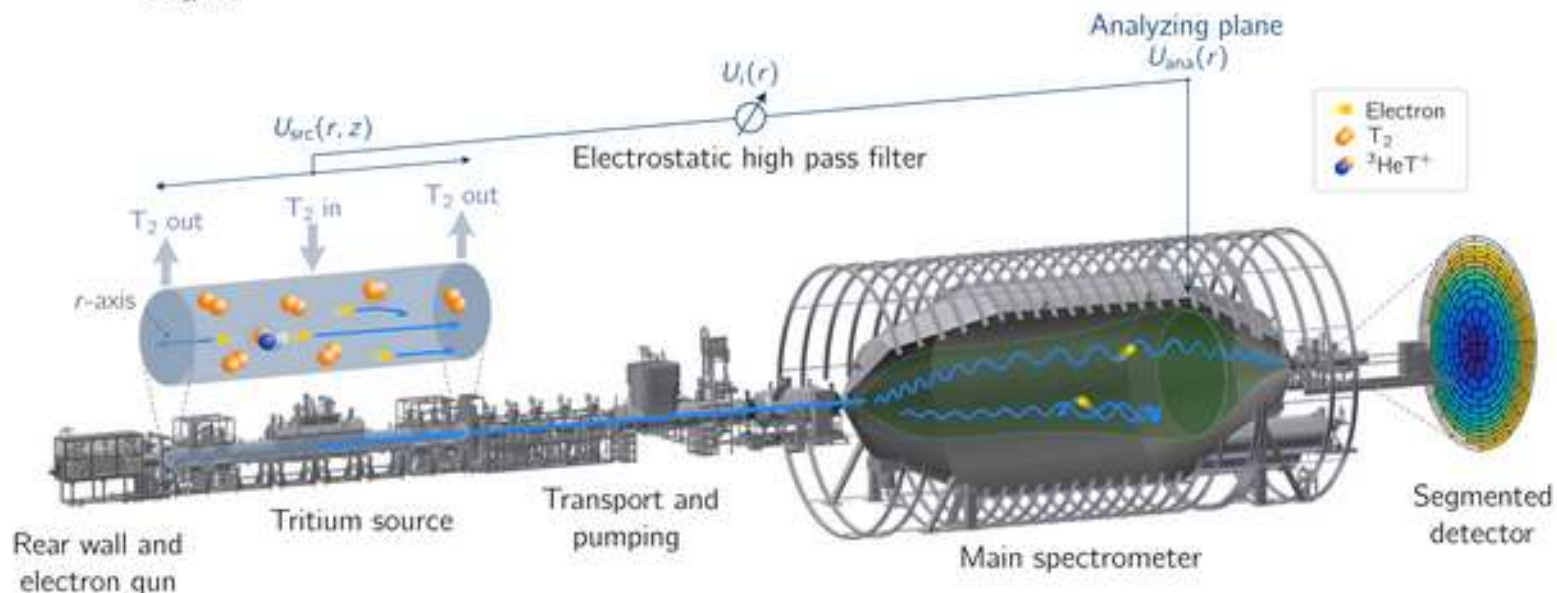
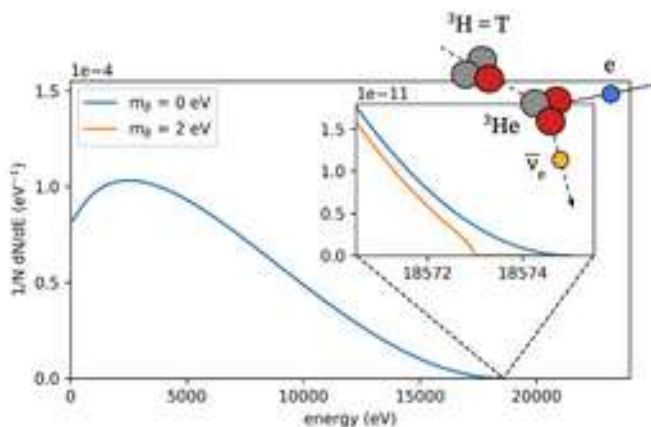


Fig. 7 Cherenkov hit distribution generated by a 100 GeV Electron at the surface of the atmosphere.

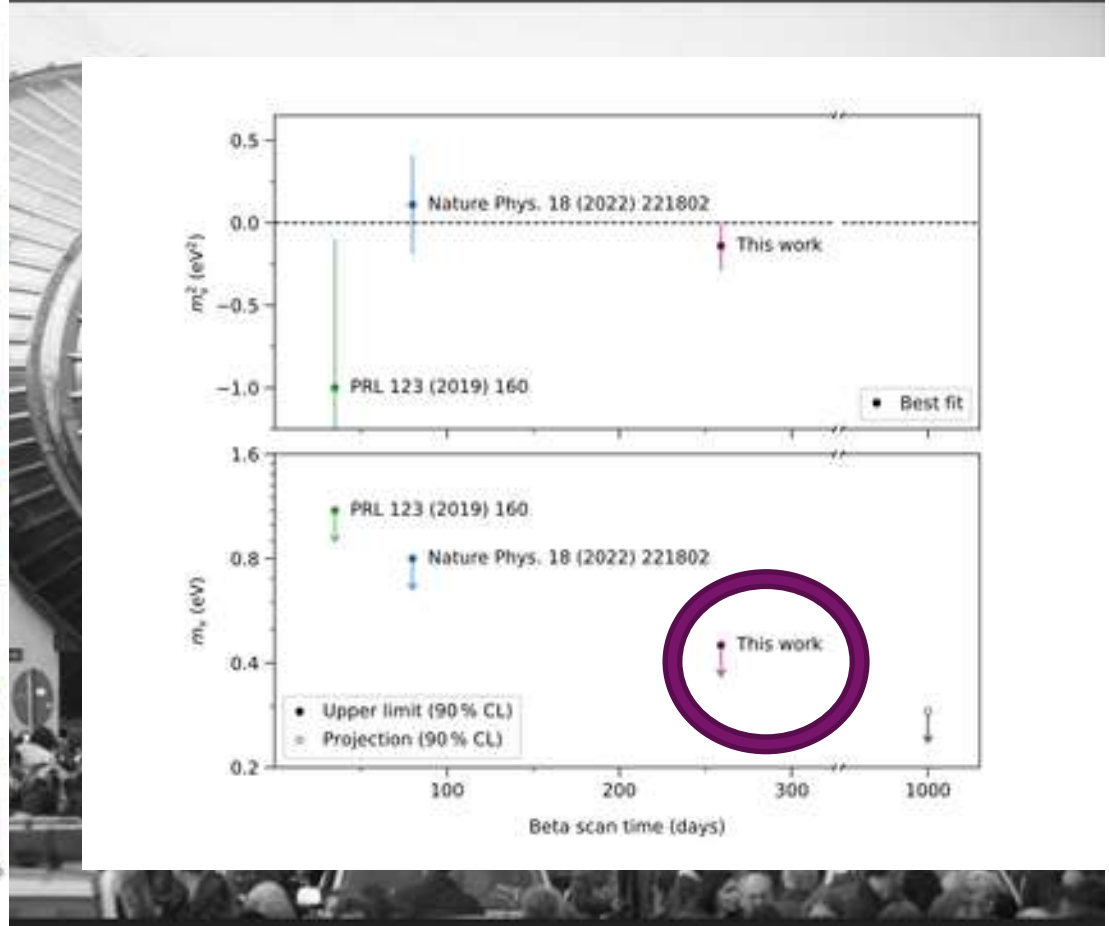
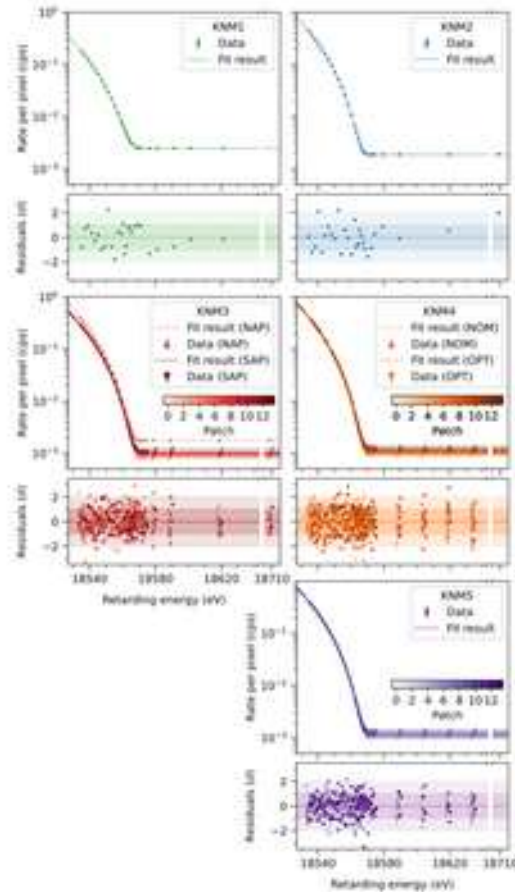
Neutrino Mass Measurement (KATRIN)



Neutrino Mass Measurement (KATRIN)



Neutrino Mass Measurement (KATRIN)

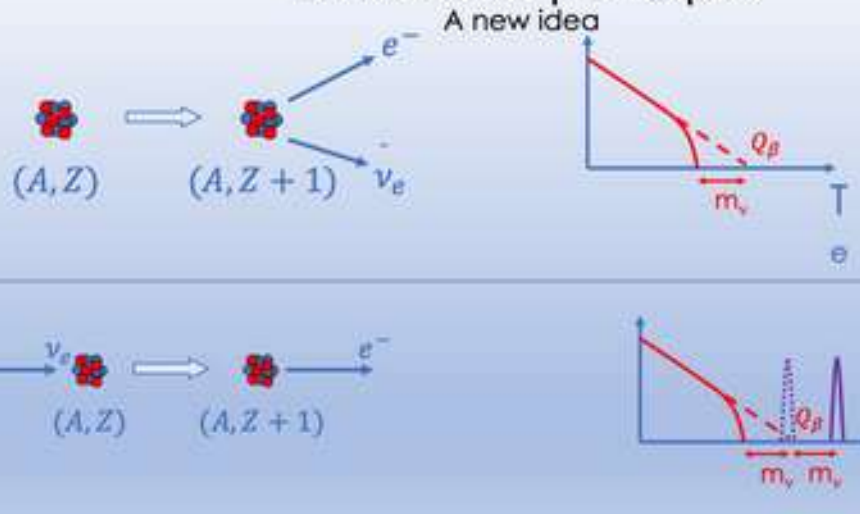


Submitted on 19 Jun 2024

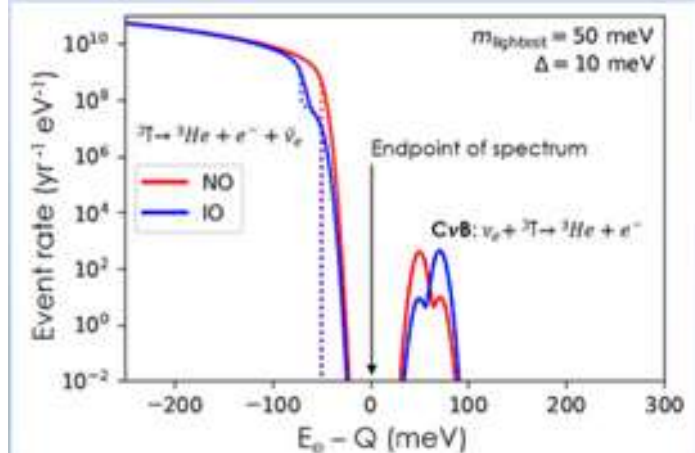
Direct neutrino-mass measurement based on 259 days of KATRIN data



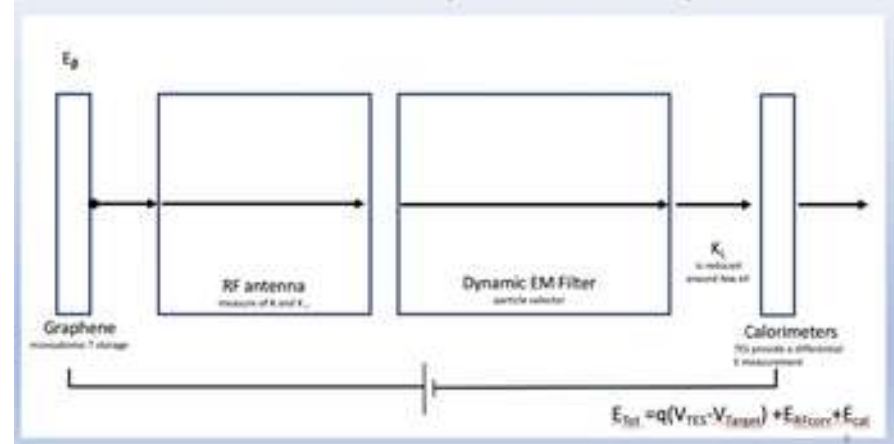
Detection principle



A.G.Cocco, G.Mangano and M.Messina. JCAP 06(2007) 015.



PTOLEMY: experiment layout

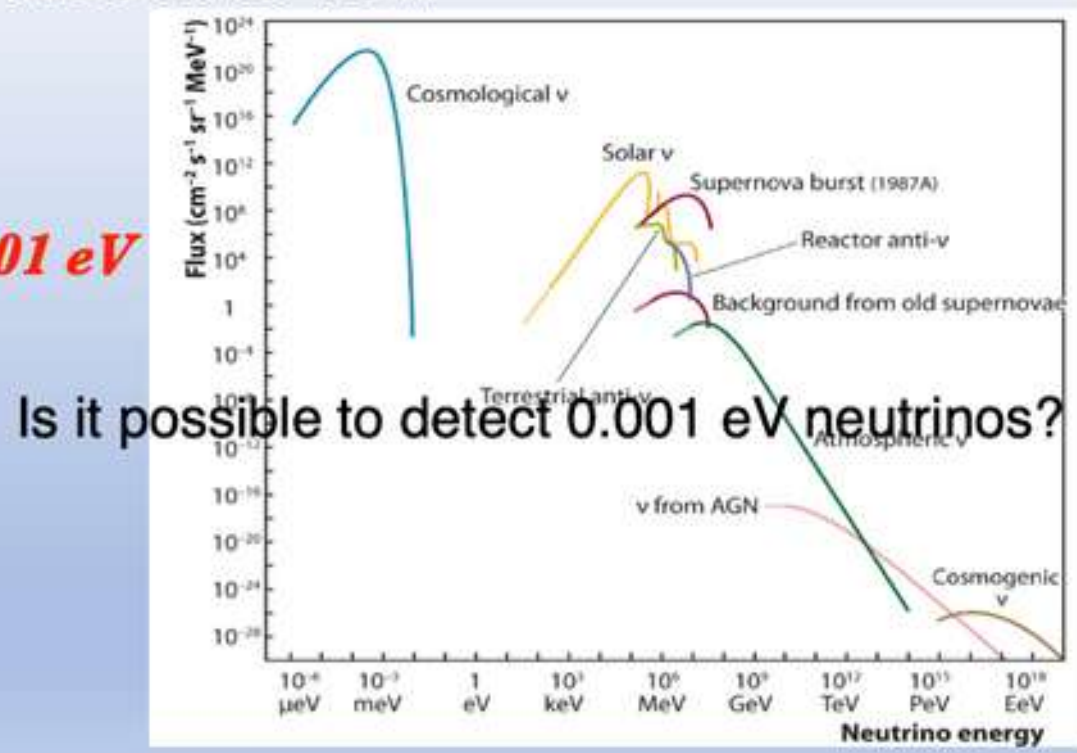




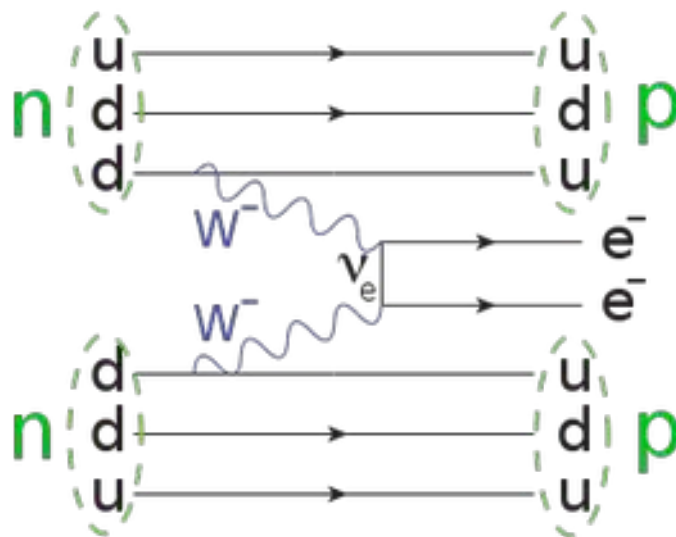
$$T \approx 1.9 \text{ K} \Rightarrow p_\nu \approx 0.001 \text{ eV}$$

$$n \approx 56 \text{ cm}^{-3} \times 6$$

Neutrino flow



DOUBLE BETA DECAY

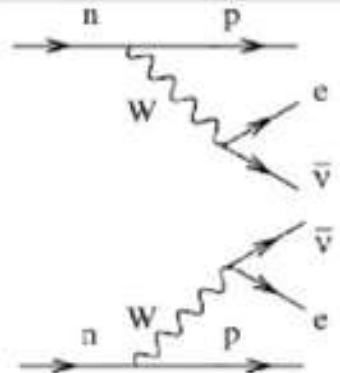


$0\nu\beta\beta$ of ^{136}Xe : $^{136}Xe \rightarrow ^{136}Ba + 2e^-$

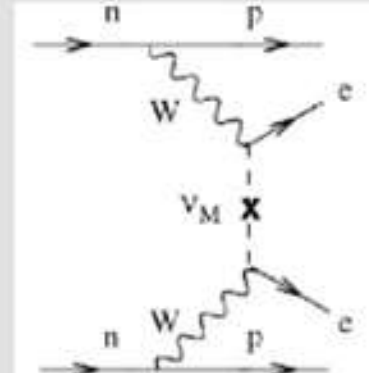


Double beta decay

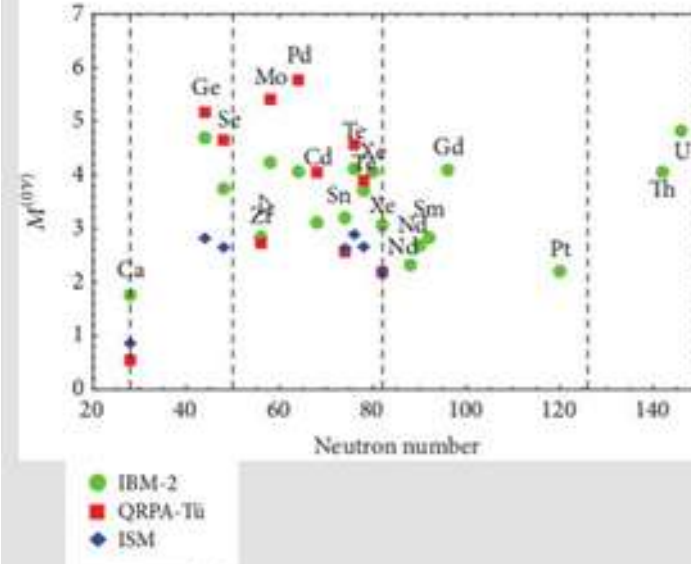
$2\nu\beta\beta$



$0\nu\beta\beta$



Nuclear matrix elements (NME) via theory.



Experiment	Isotope	Technique	Main Strength
CUORE (LNGS)	130Te	Bolometers	Resolution, Efficiency
GERDA-II (LNGS)	76Ge	Ge Diodes	Resolution, Efficiency
KamLAND-Zen (KamLAND)	130Te	Xe Liquid scintillation	Background, efficiency
MAJORANA (SNS)	76Ge	Ge Diodes	Resolution, Efficiency
NEUTRINO (LSC)	130Te	Tracking + Calorimetry	Background Rejection, Efficiency
SNO+ (SNOLAB)	130Te	Te Liquid Scintillation	Background, Mass
SUPERGRANDE (LSM)	105Te, 130ND	Tracking + Calorimetry	Background Rejection, Isotope Selection
171Ge (GERDA+MII)	76Ge	Best technology from GERDA, MAJORANA	Resolution, Efficiency
CUPID	130Te	Hybrid bolometers	Background, Resolution
NEKO (NPPI)	130Te	TPC Ionization + Scintillation	Mass, Efficiency, Final State Signal
AMORE (T2K)	130Ca	CaI(M) bolometers	Resolution
CANDLEs (KamLAND)	40Ca	CaI2 Scintillation	Background, Efficiency
COBRA (LNGS)	130Te, 138Se	ZnCdTe Semiconductors	Resolution, Efficiency
LUCIFER (LNGS)	82Se	ZnSe bolometers	Resolution, Background
MOON (IJW)	230Mo	Tracking + Scintillation	Compactness, Background

On-going or commissioning
R&D
Future

SNO



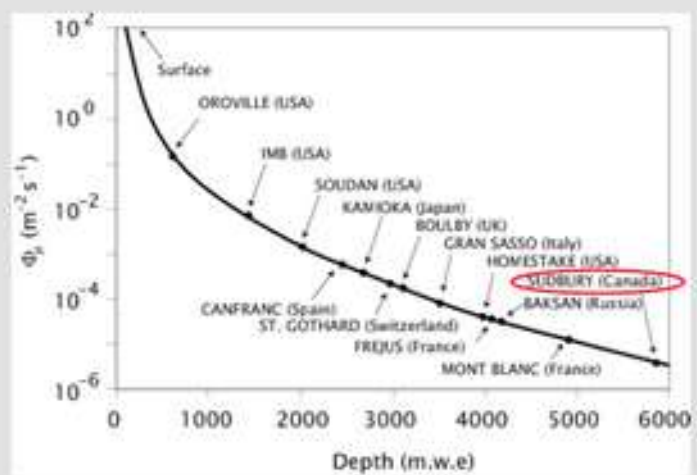
The SNO+ Experiment

3.- Ti



- Located at SNOLAB inside the Creighton mine near Sudbury, Canada.
- SNO+ is the successor to Sudbury Neutrino Observatory (SNO).

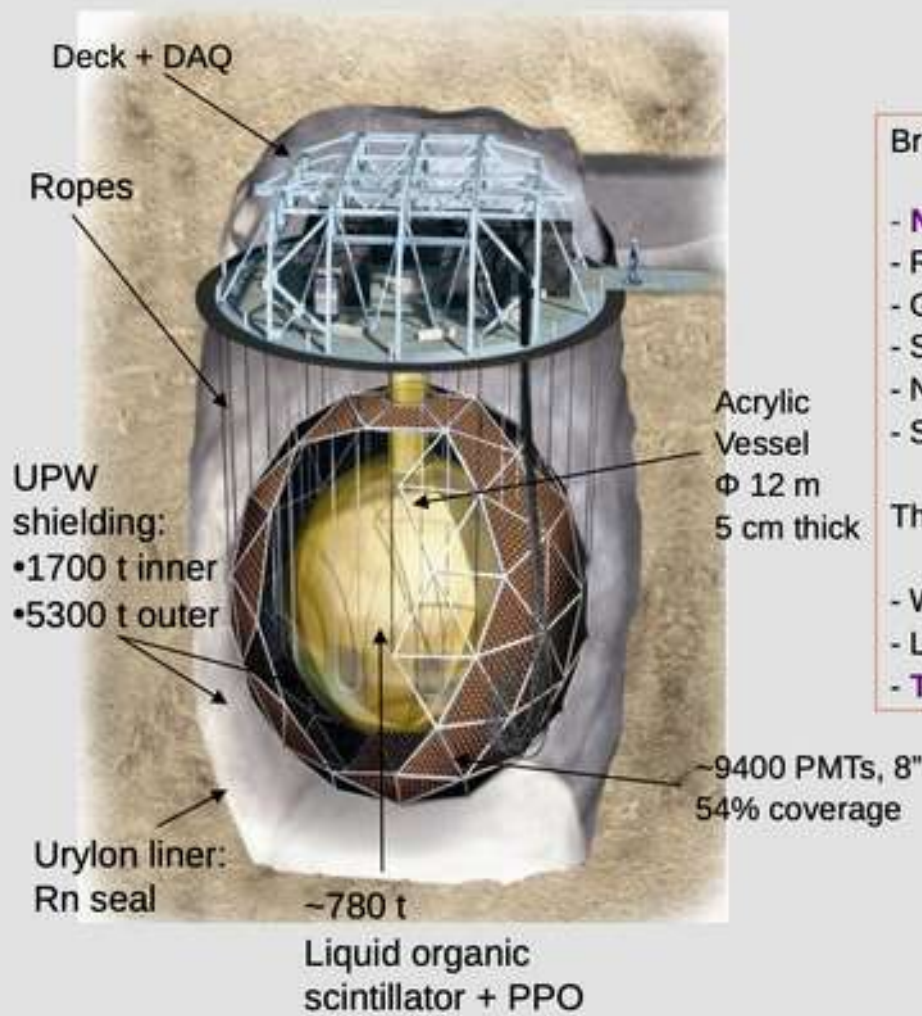
- Depth = 2070 m (6000 m.w.e.)
- ~60 muons /day in SNO+
- 10,000 sq ft Class-2000 clean room





3.

The SNO+ Detector

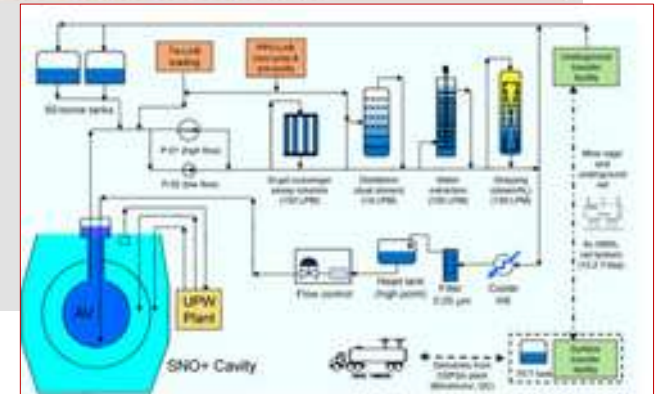


Broad neutrino physics program

- Neutrinoless double beta decay of ^{130}Te
- Reactor anti-neutrinos
- Geo anti-neutrinos
- Supernovae neutrinos
- Nucleon decay and exotic physics
- Solar neutrinos (pep, CNO, low E ^8B)

Three Experimental Phases

- Water-Phase
- Liquid scintillator phase
- Te-loaded liquid scintillator



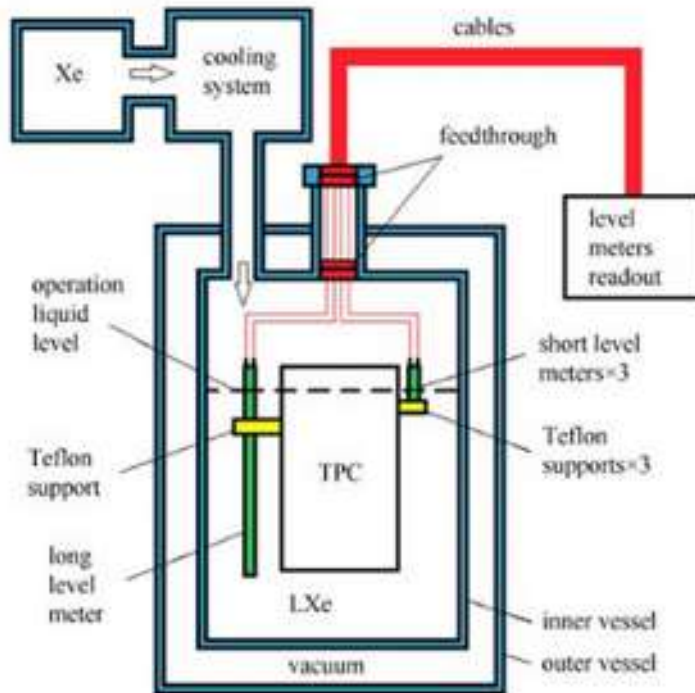
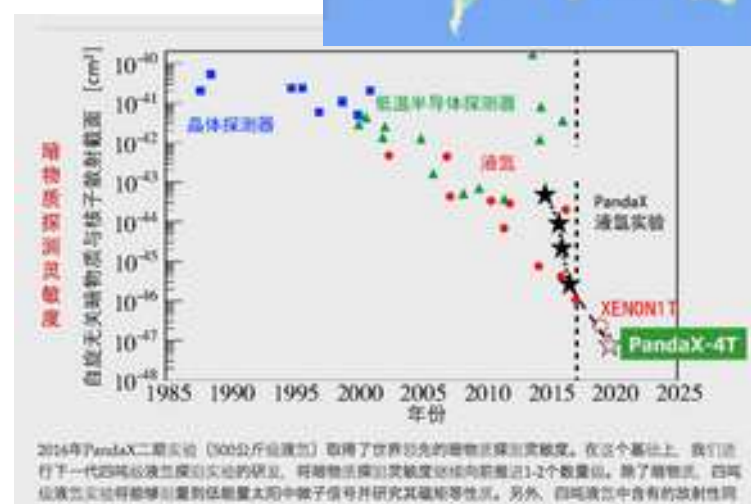


Fig. 1. Schematics of the two-phase xenon detector as used in PandaX. LXe is contained in an inner vessel insulated by vacuum from the outside. One long liquid level meter monitors the overall liquid xenon height and three short level meters monitor the height of the liquid-gas interface around the TPC.



2016年PandaX二期实验(300公斤级液氙)取得了世界领先的暗物质探测灵敏度。在这个基础上，我们进行下一代四吨级液氙实验的计划。随着未来探测灵敏度还将向箭头指向的方向迈进1-2个数量级。除了暗物质，四吨级液氙实验将能够识别到低能量太阳中微子信号并研究其磁矩性质。另外，四吨液氙中含有有的放射性同位素 RaD^{136} 有可能进行一种新型的光暗物质-无中微子双父衰变模型。该衰变模式的探测将能确定中微子是否为马约拉纳中微子等基本物理问题。



ANTI-MATIERE

The Positive Electron



MARCH 15, 1933

PHYSICAL REVIEW

VOLUME 43

The Positive Electron

CARL D. ANDERSON, *California Institute of Technology, Pasadena, California*

(Received February 28, 1933)

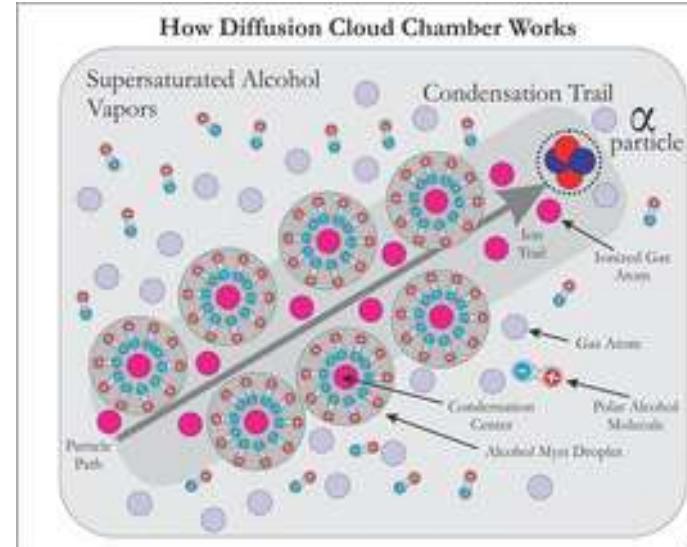
Out of a group of 1300 photographs of cosmic-ray tracks in a vertical Wilson chamber 15 tracks were of positive particles which could not have a mass as great as that of the proton. From an examination of the energy-loss and ionization produced it is concluded that the charge is less than twice, and is probably exactly equal to, that of the proton. If these particles carry unit positive charge the

curvatures and ionizations produced require the mass to be less than twenty times the electron mass. These particles will be called positrons. Because they occur in groups associated with other tracks it is concluded that they must be secondary particles ejected from atomic nuclei.

Editor

1930 : Data taking
1932 : Analysis
1933 : Paper

1.5T Wilson Chamber
Rec. Cosmic Rays
1300 events
15 tracks with e^+



The Positive Electron



492

CARL D. ANDERSON

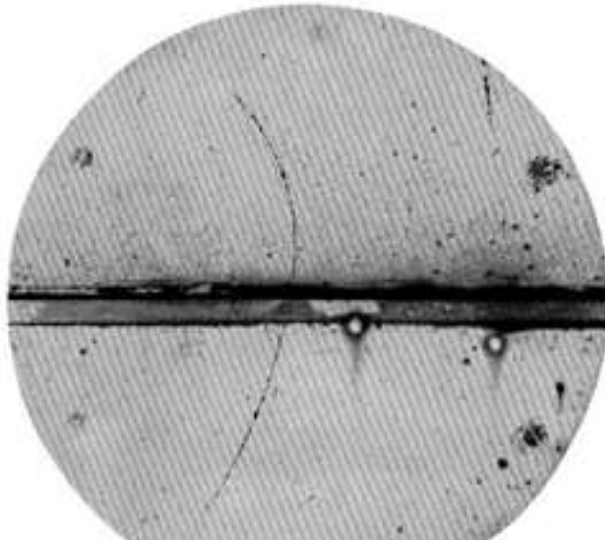


FIG. 1. A 61 million volt positron ($B_E = 2.1 \times 10^8$ gauss-cm 2) passing through a 6 mm lead plate and emerging as a 23 million volt positron ($B_E = 7.5 \times 10^8$ gauss-cm 2). The length of this latter path is at least ten times greater than the possible length of a proton path of this curvature.

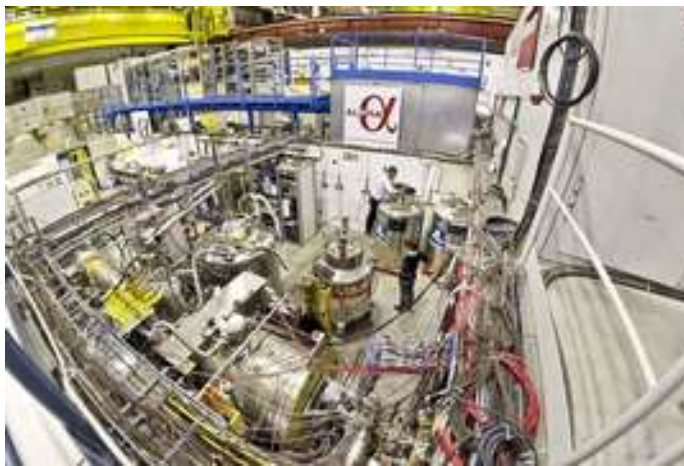
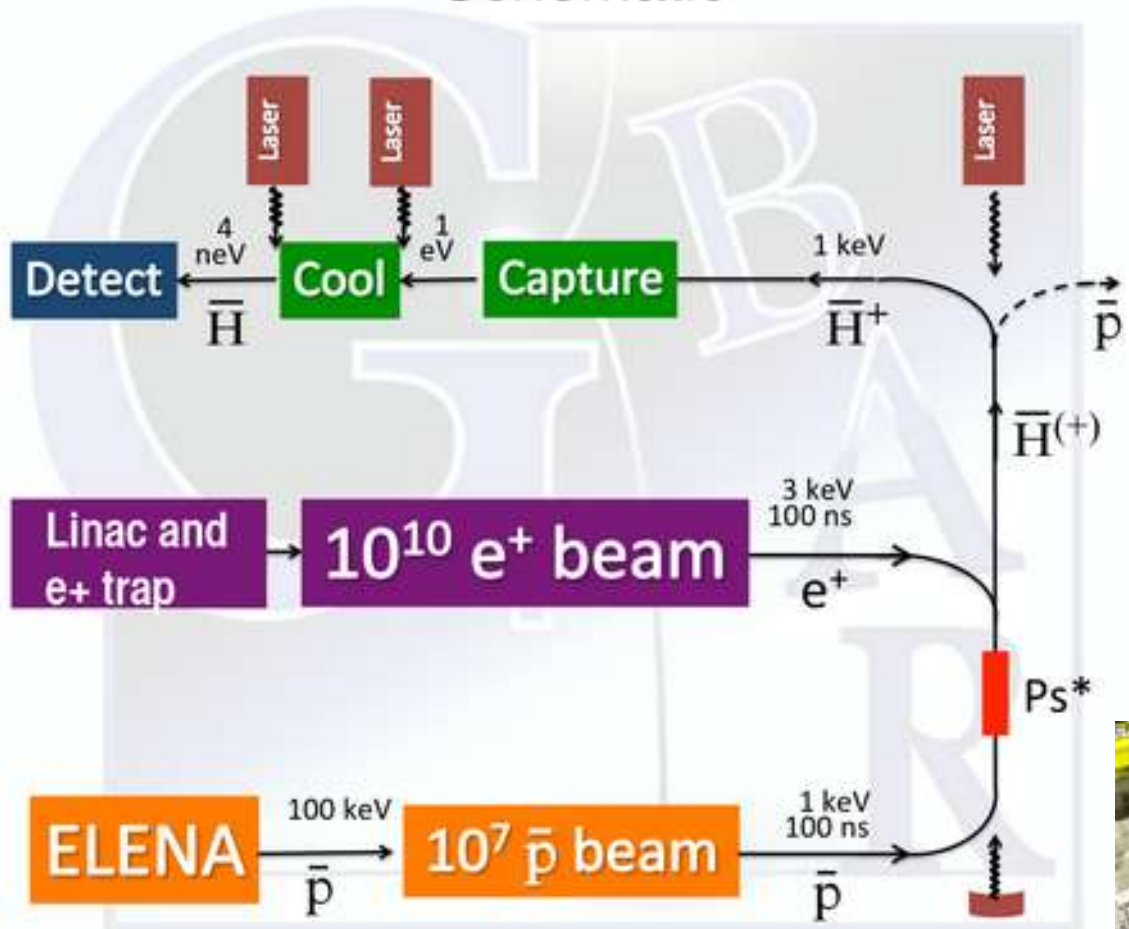
1930 : Data taking
1932 : Analysis
1933 : Paper

1.5T Wilson Chamber
Rec. Cosmic Rays
1300 events
15 tracks with e⁺

GBAR at CERN



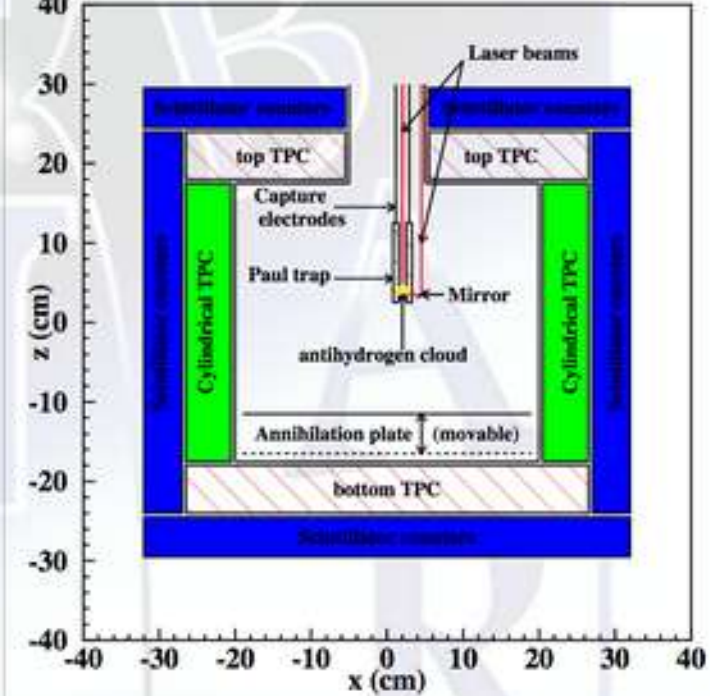
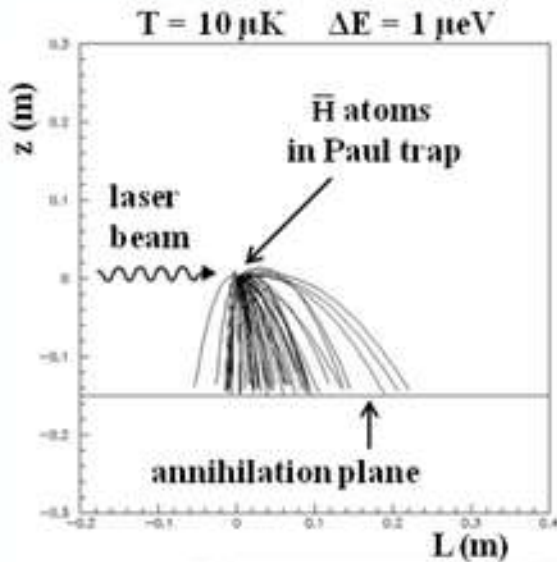
Schematic



GBAR at CERN



Detection



Detection requirement:

TOF precision : $150 \mu\text{s}$

Annihilation vertex precision : 1 mm

Background rejection through event topology

Scheme under design: TPC with micromegas chamber (as in T2K near detector)

$$\frac{\Delta \bar{g}}{\bar{g}} \approx 10^{-2}$$

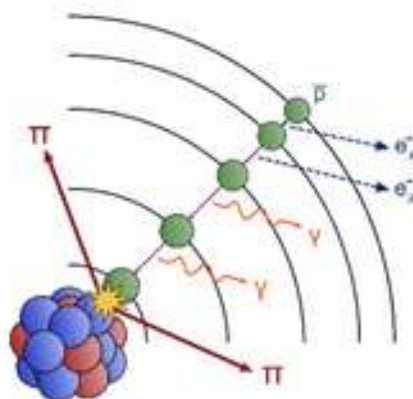
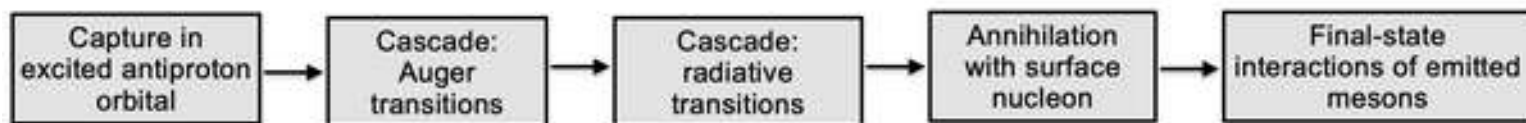


antiProton Unstable Matter Annihilation (PUMA)



TECHNISCHE
UNIVERSITÄT
DARMSTADT

Proposed technique: Low-energy antiprotons as a probe



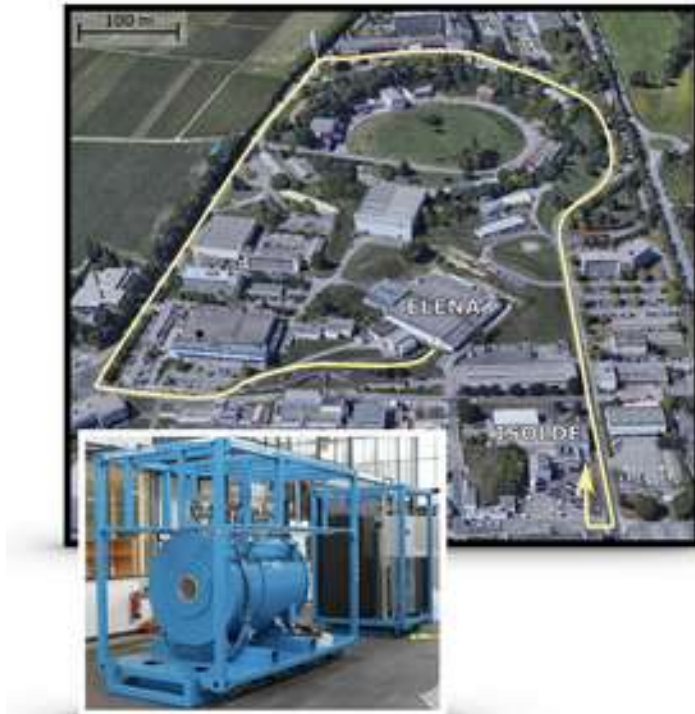
R. Schmidt, PRC (1998)

Clara Klink | CERN | TU Darmstadt – Institute for Nuclear Physics
FuPhy 2024 | 08. – 10. Apr 2024, SMI, Wien





Transporting Antiprotons from AD to ISOLDE



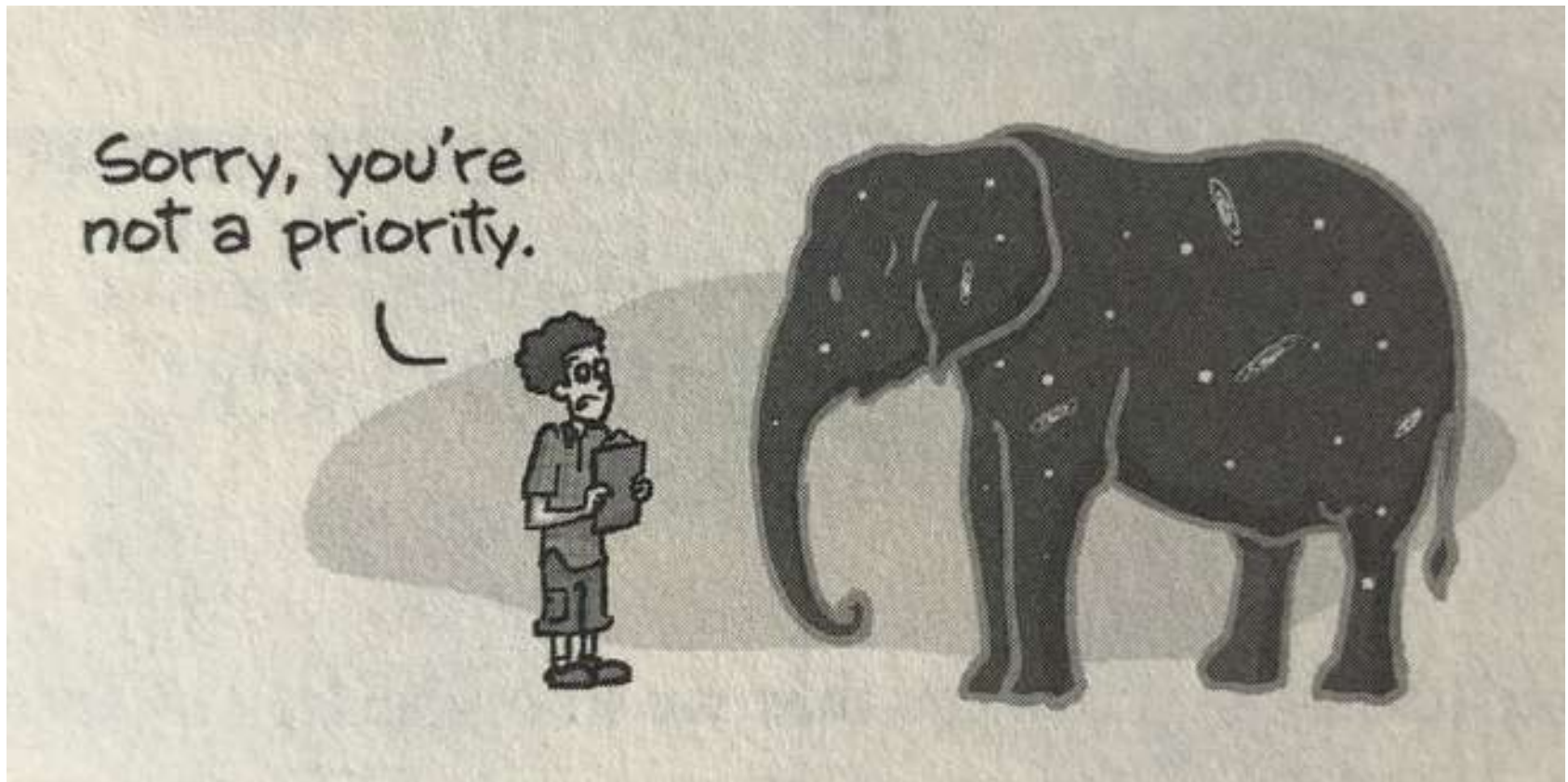
- There is no connecting beam line between the 2 facilities
- Requirements:
 - a transportable ion trap with sufficient storage capabilities
 - XHV vacuum conditions for the storage of antiprotons (20 cm^{-3})
 - a detection system for monitoring annihilation rates during the transport

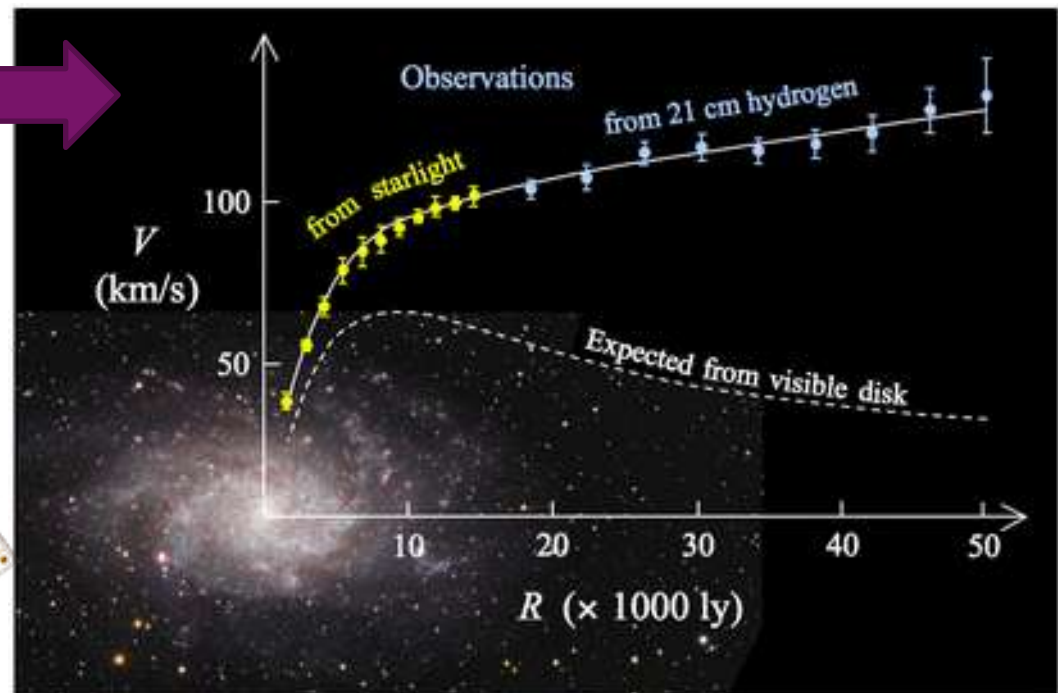
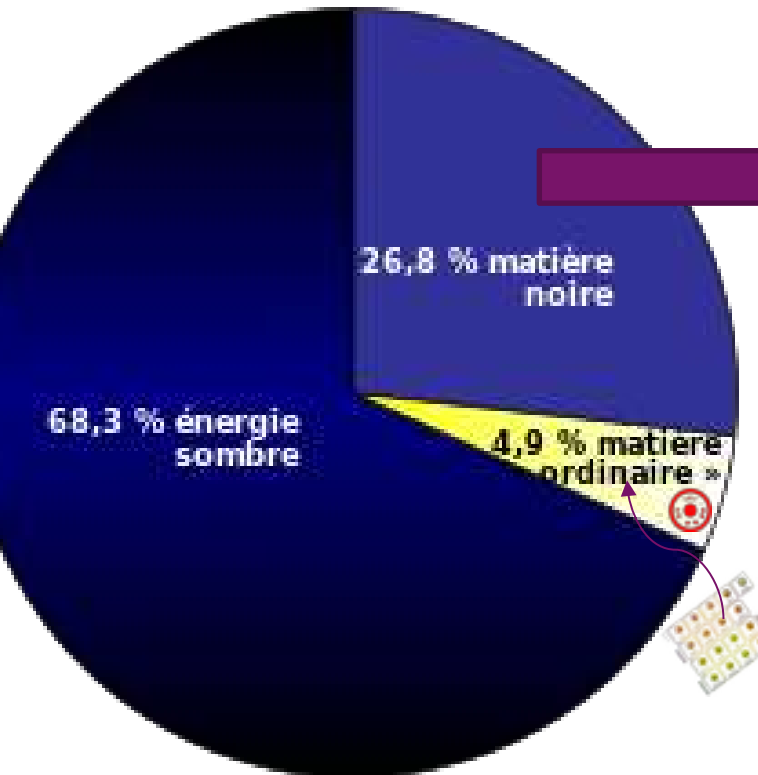
Good news:

- Long antiproton trapping time already achieved.
Ex. BASE: > 50 years
- Transportation of antiprotons is also a core component of
BASE-STEP (PI: C. Smorra, Mainz)



MATIERE SOMBRE

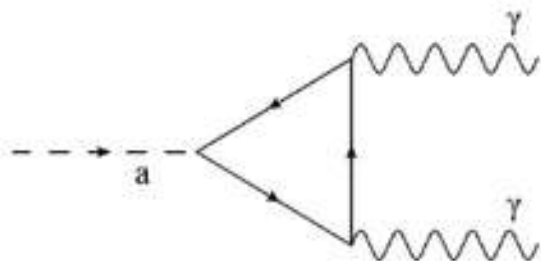
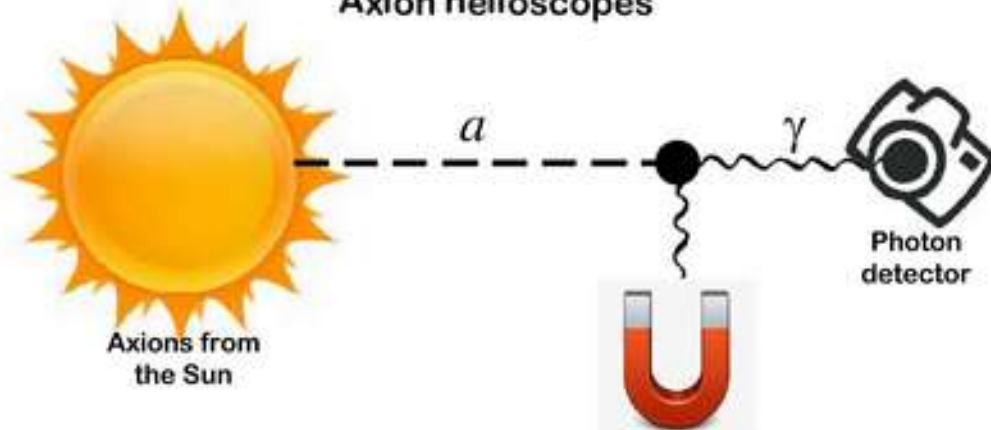




AXIONS



Axion helioscopes



© Igor G. Irastorza

Figure 2: Feynman diagram, associated with the coupling between an axion and two photons.

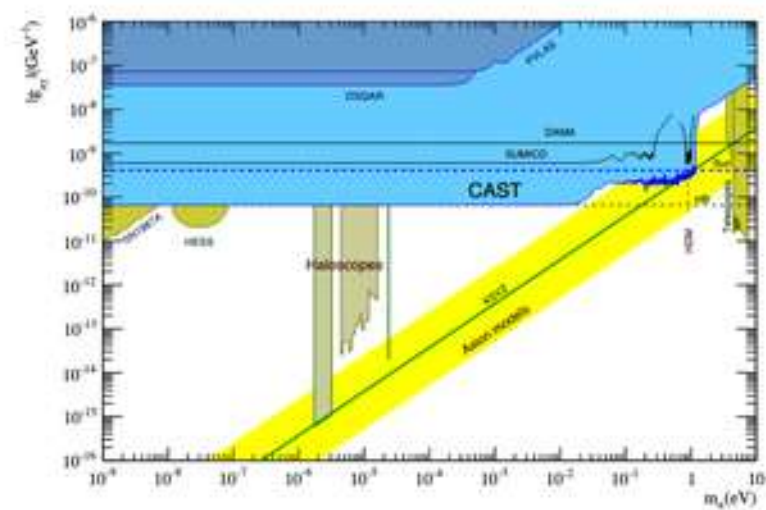
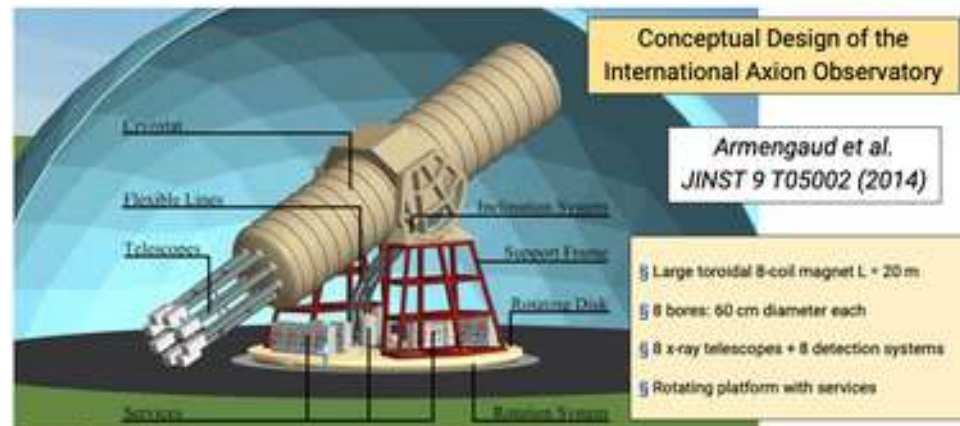
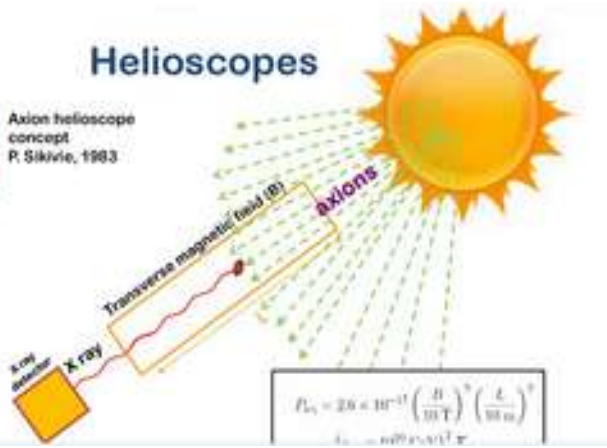
CAST - IAXO

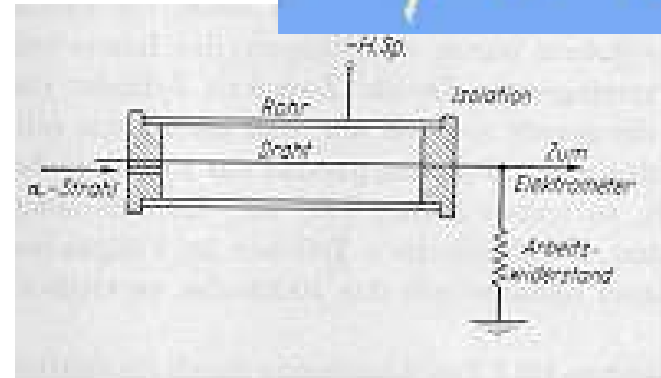
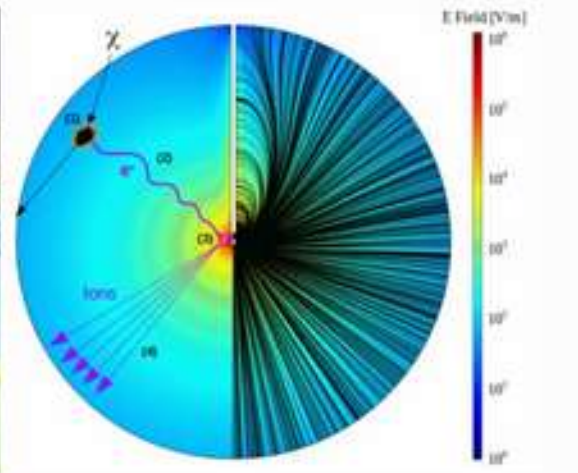


Helioscopes

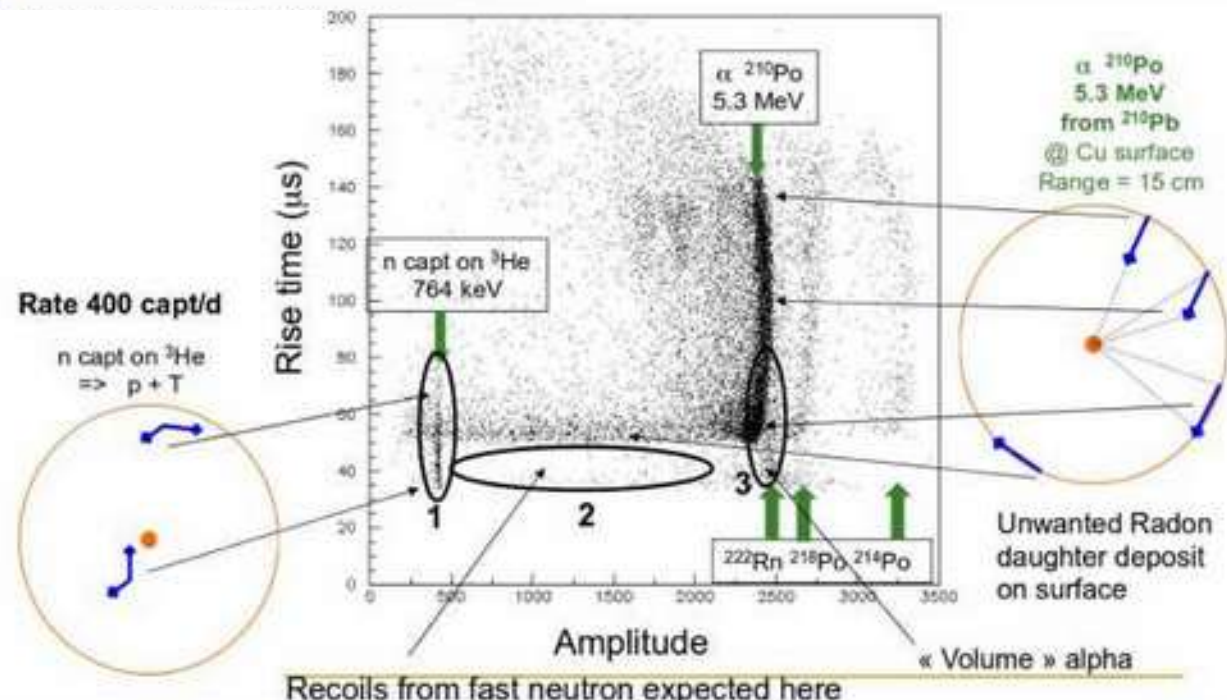


Axion helioscope
concept
P. Sikivie, 1983



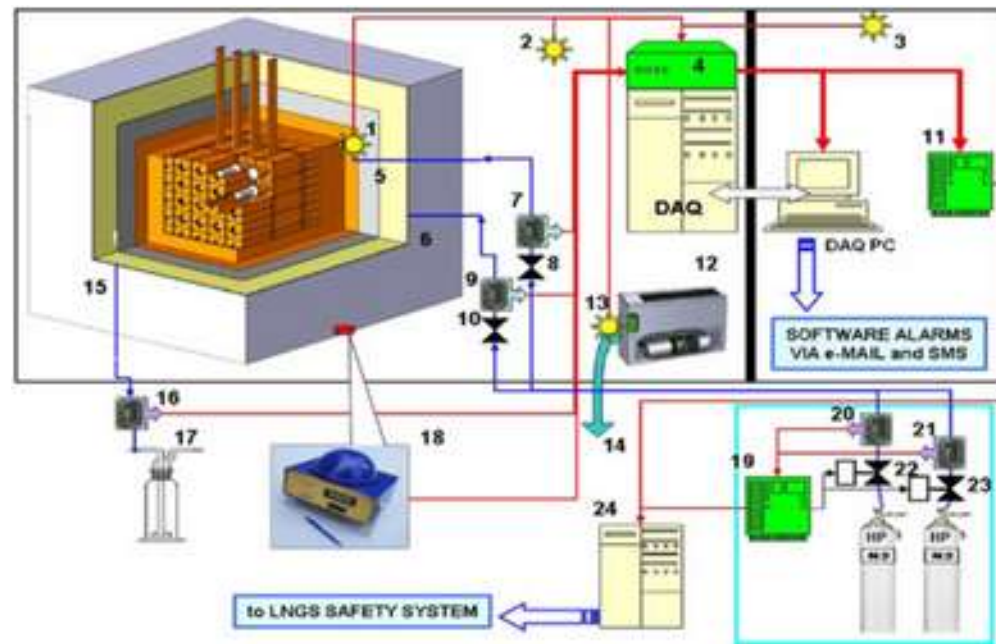
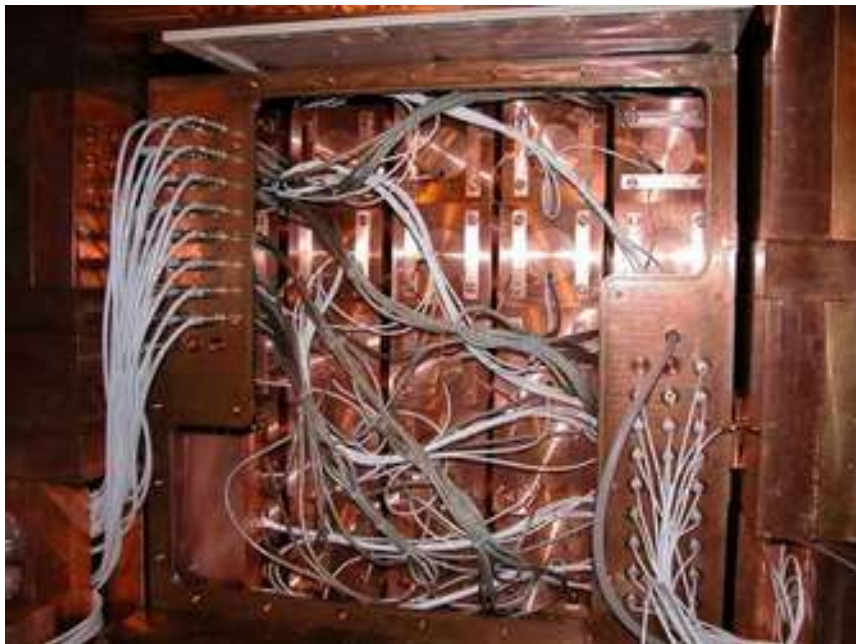


Recul noyau dû aux
WIMPs avec
threshold la plus
basse possible





LABORATORI NAZIONALI DEL GRAN SASSO



Thallium-doped sodium detector

DAMA / LIBRA

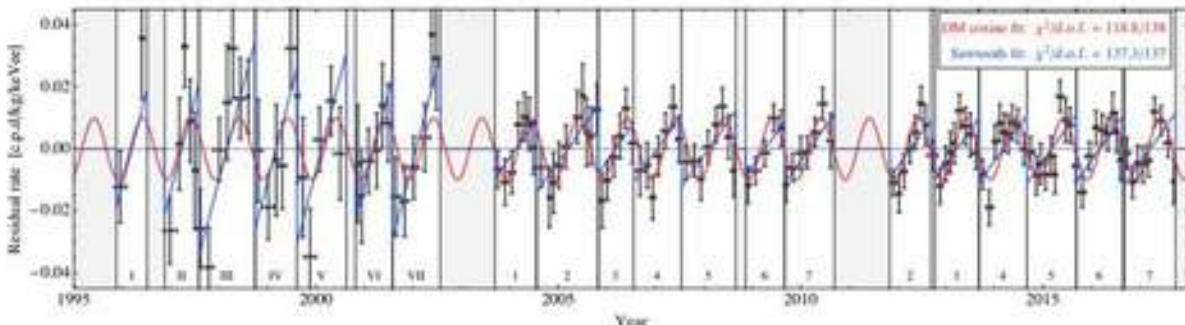
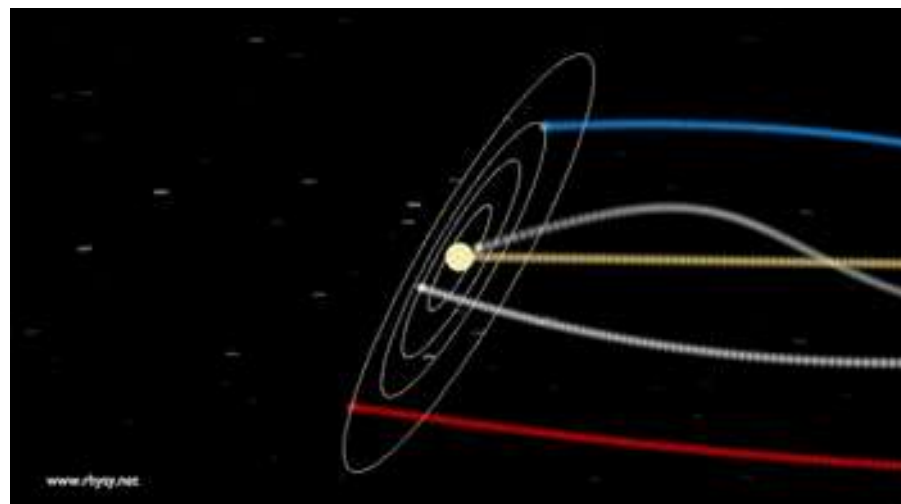
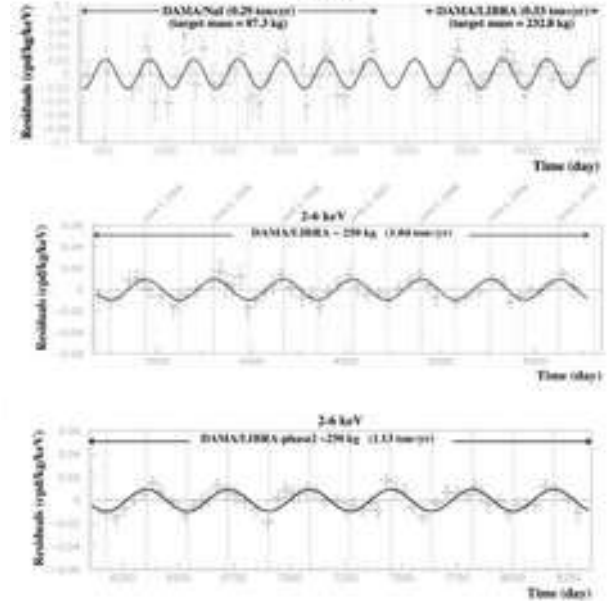


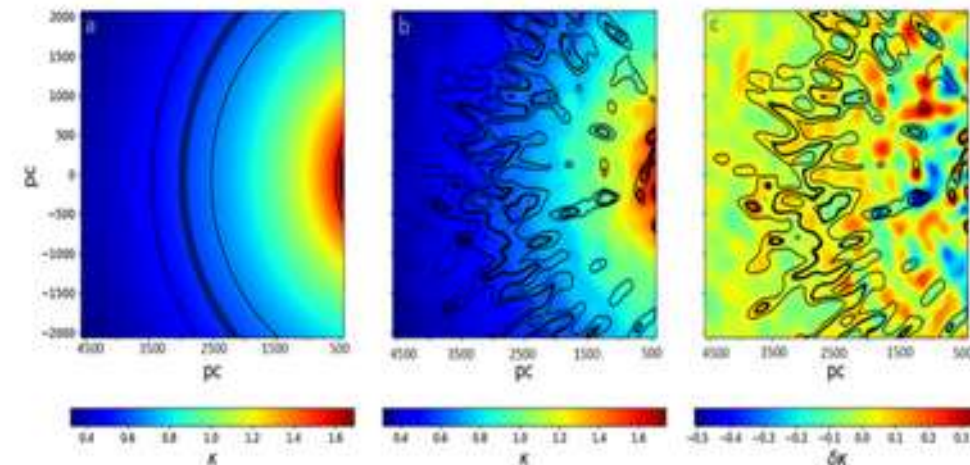
Figure 5. The black data points are the DAMA residuals in the (2–6) keVee energy window, taken from [1, 5]. The curves are fits to a cosine annual modulation peaked on June, 2nd (red curve), as expected for a DM signal, and to the irregular sawtooth obtained from a continuously growing background (blue curve). The roughly annual data-taking cycles of DAMA/NaI, DAMA/LIBRA Phase 1, and DAMA/LIBRA Phase 2 are shown as vertical lines.



But Replication failed ☐
ANAIS (Spain)
COSINE (Germany)



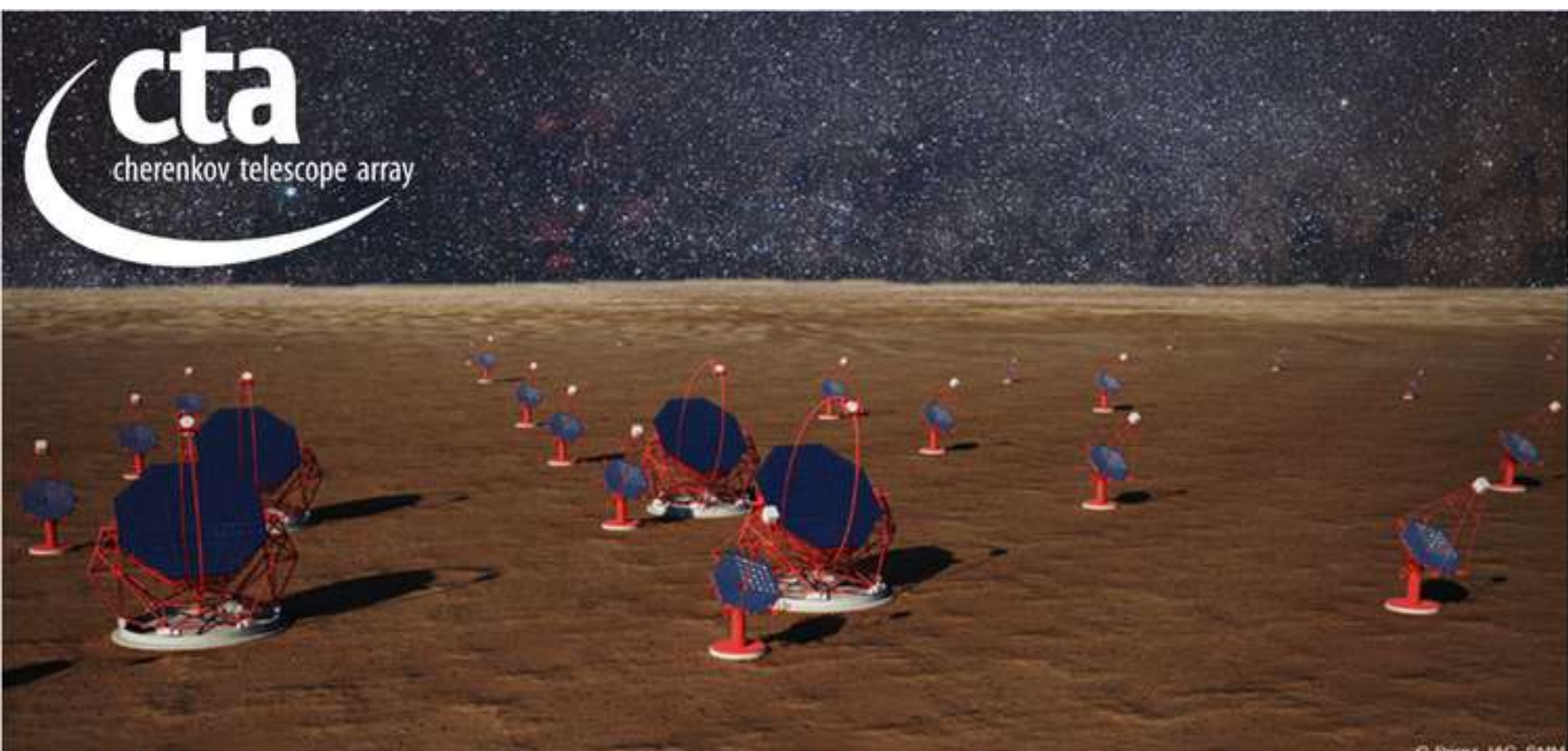
Anomalies in Gravitational-Lensed Images Revealing Einstein Rings Modulated by Wavelike Dark Matter



HS 0810+2554 was discovered in 2002 by the Hubble Space Telescope

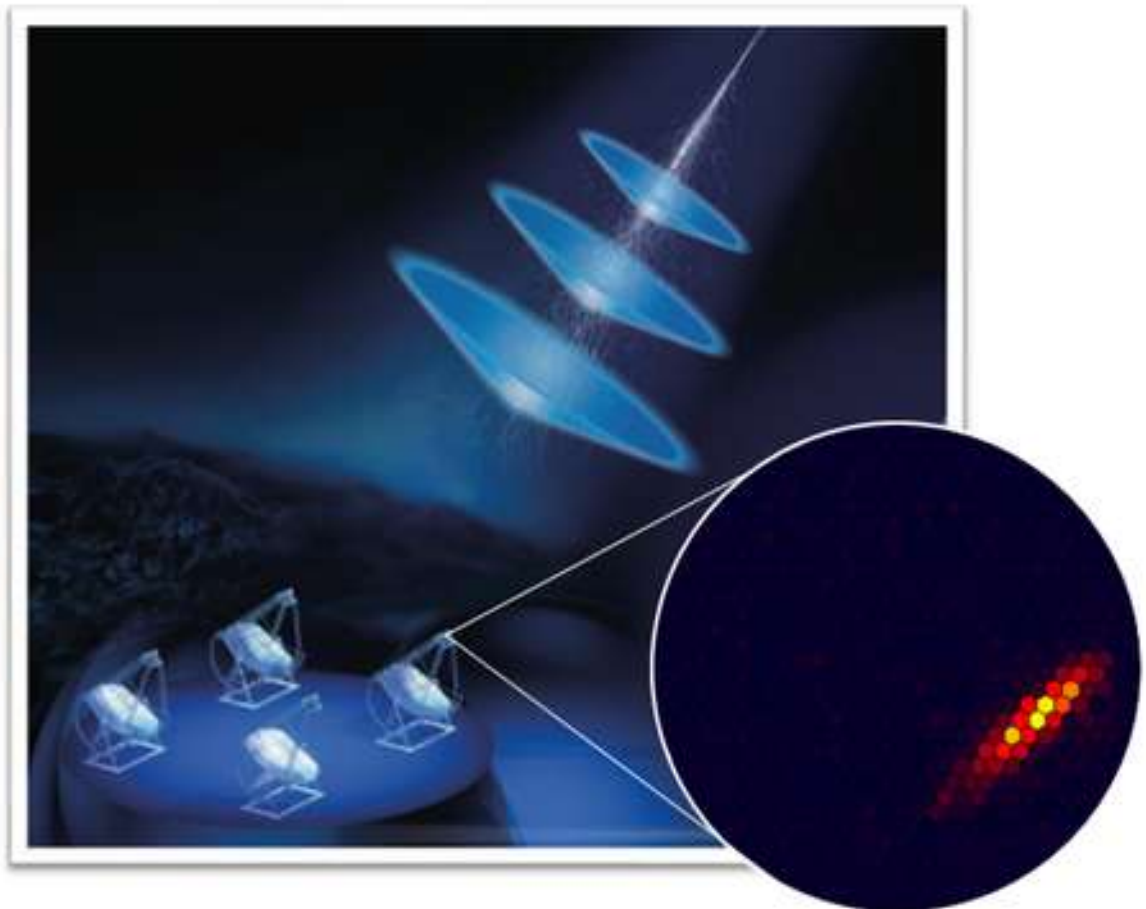
=> The growing success of ψ DM in reproducing astrophysical observations tilt the balance toward new physics invoking axions.

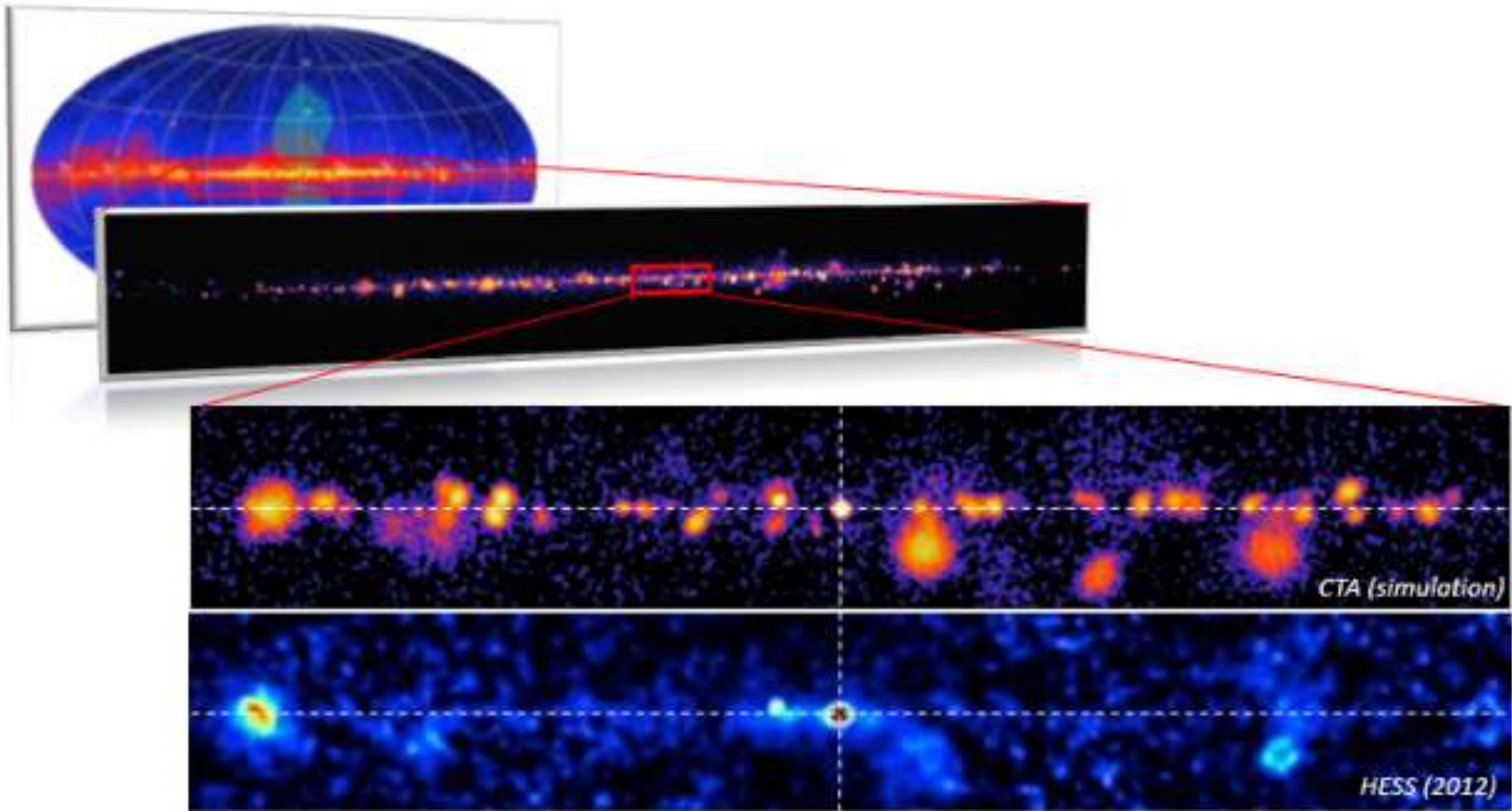
ASTRO- PHYSIQUE

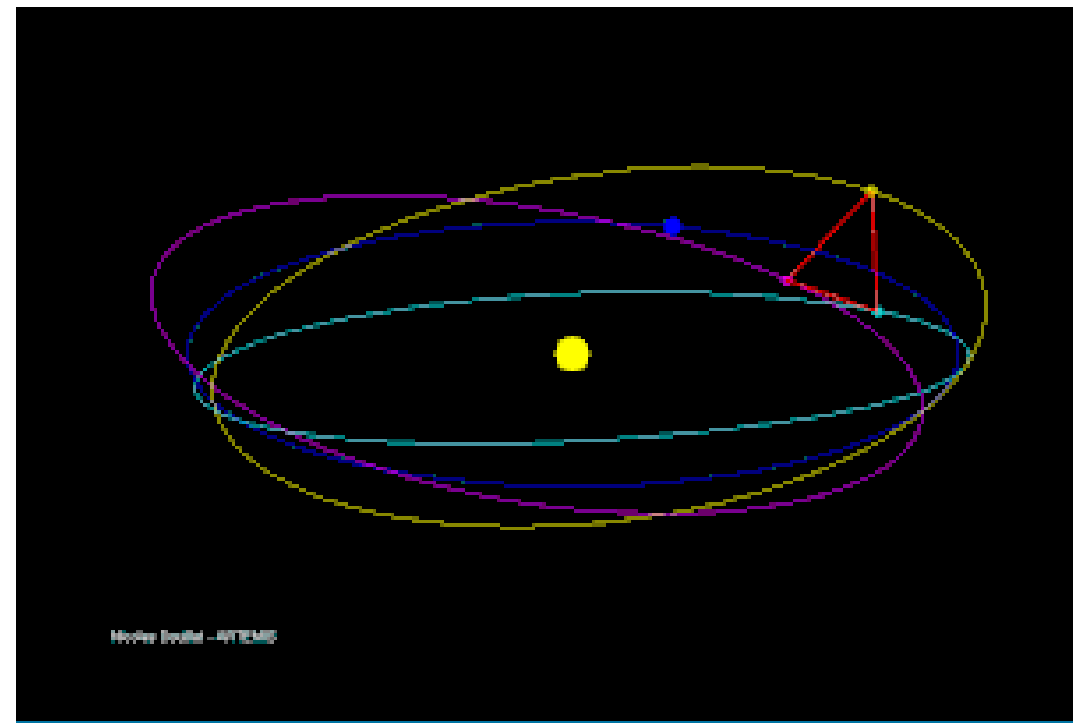
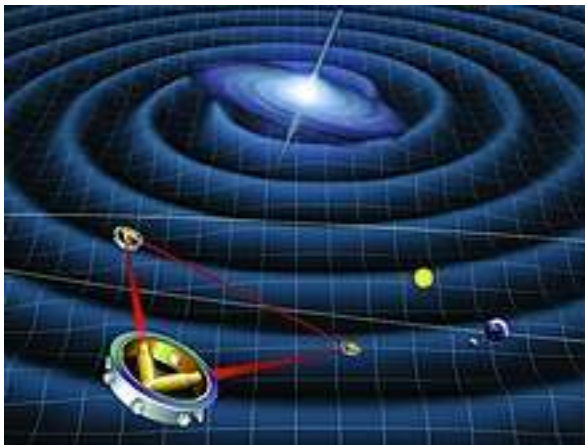


G. Perez / IAC / SMM

CTA









LISAMax: Improving the Gravitational-Wave Sensitivity by Two Orders of Magnitude

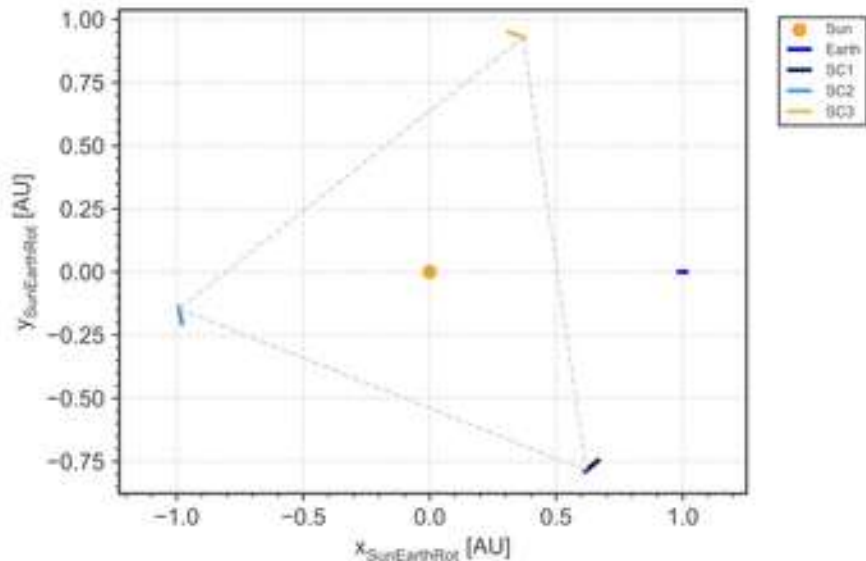
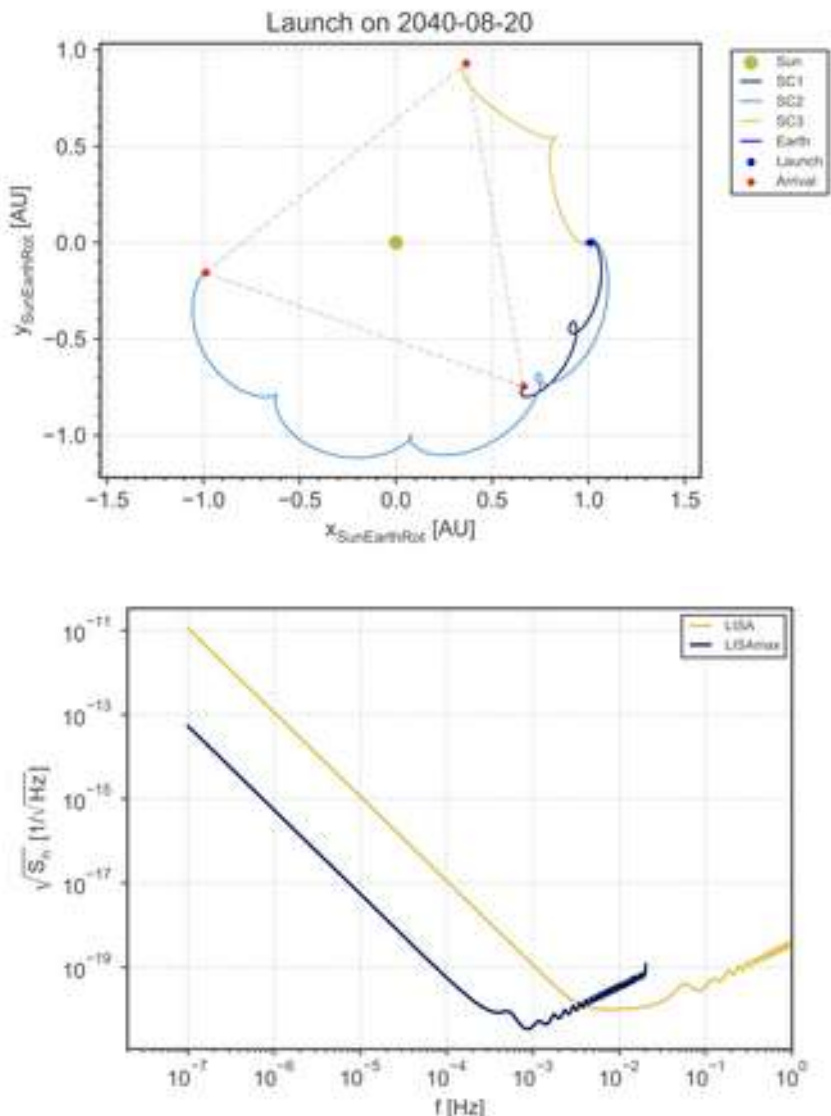


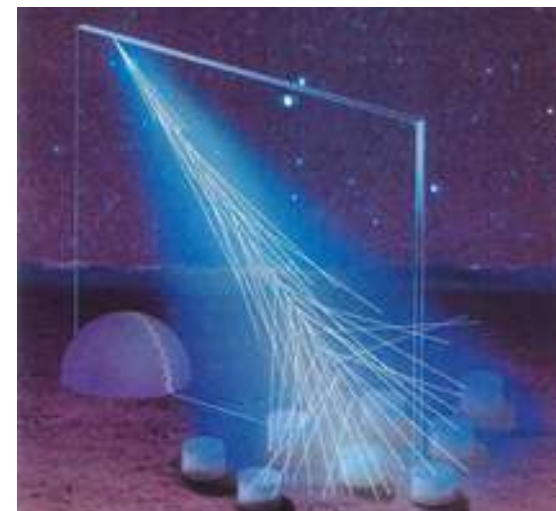
Figure 1: The optimized science orbit of LISAMax over a 10-year duration in the Sun-Earth rotating frame.

LISAMax: Improving the Gravitational-Wave Sensitivity by Two Orders of Magnitude

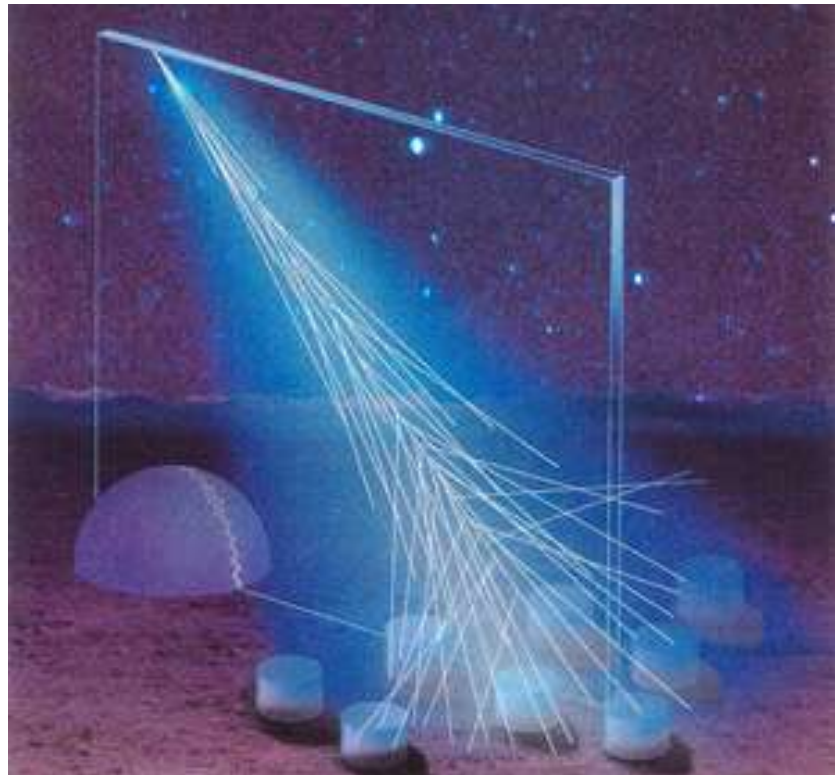




Pierre Auger Cosmic Ray Observatory



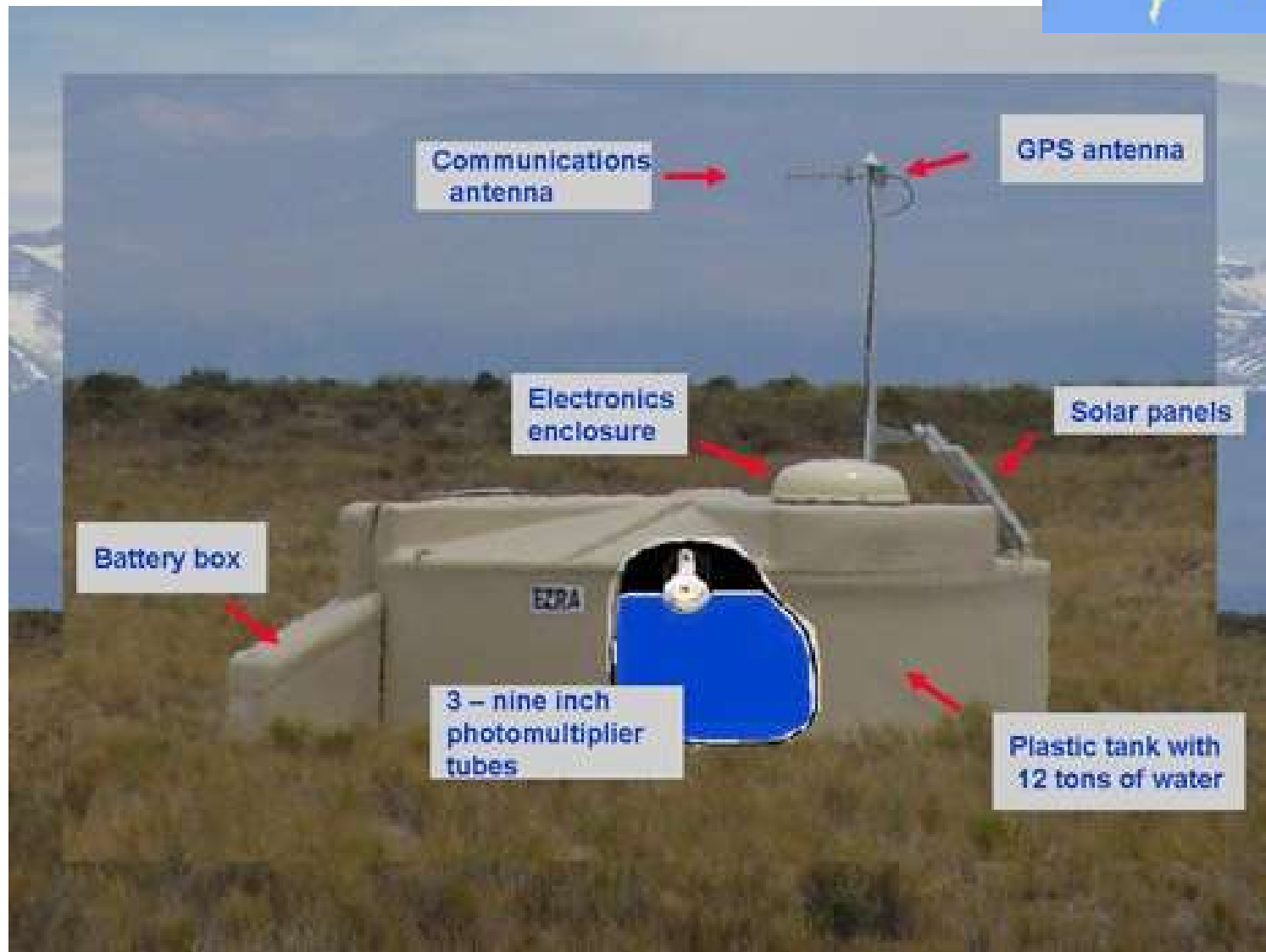
Pierre Auger Cosmic Ray Observatory



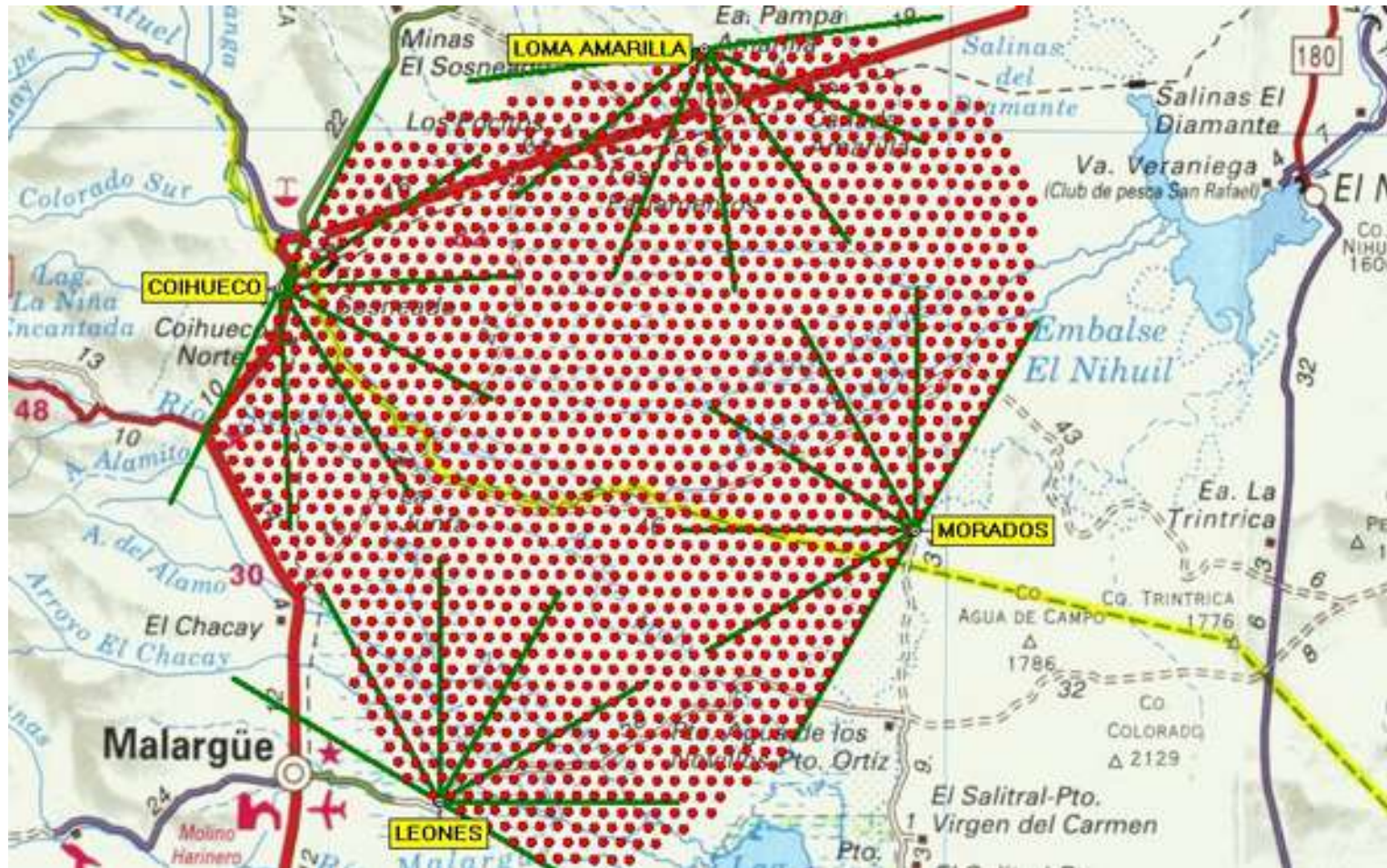
Use earth's atmosphere as a calorimeter. 1600 water Cherenkov detectors with 1.5km distance.

Placed in the Pampa Amarilla in western Argentina.

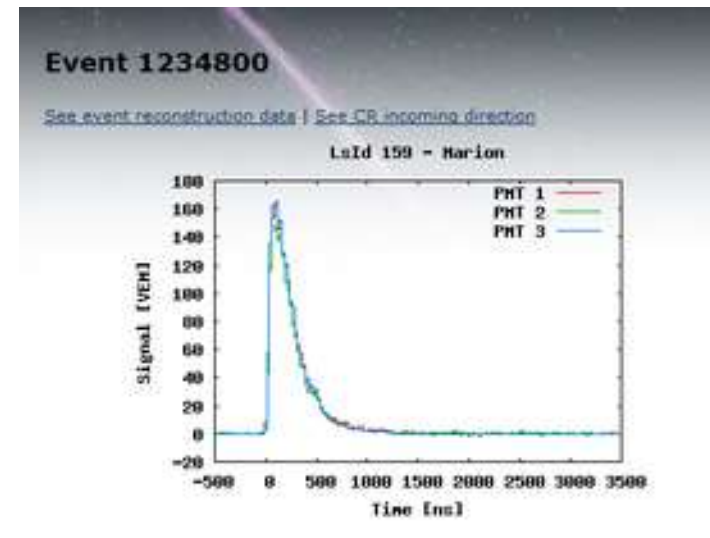
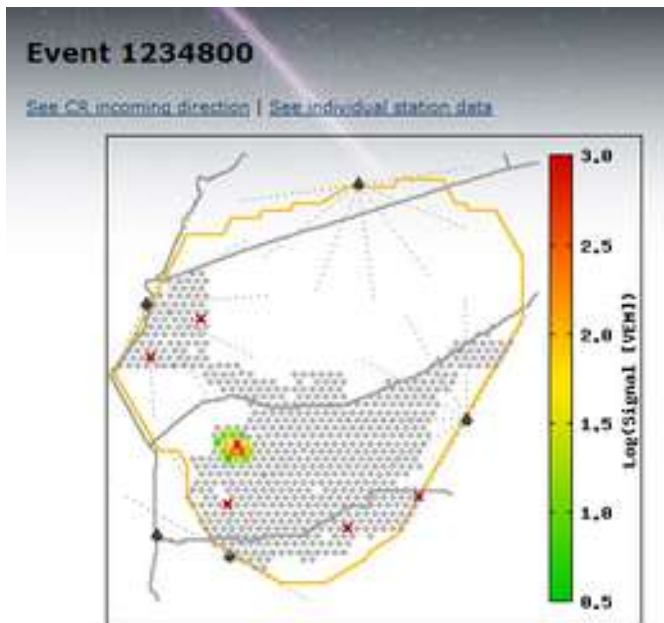




Pierre Auger Cosmic Ray Observatory

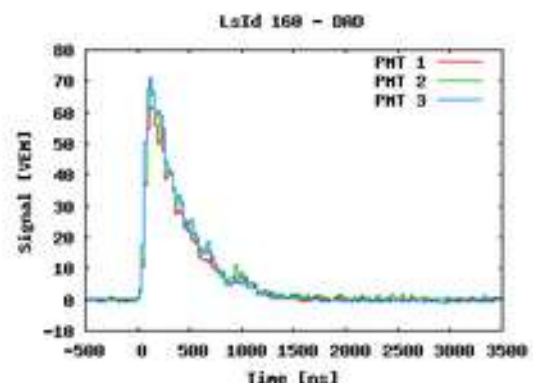


Pierre Auger Cosmic Ray Observatory



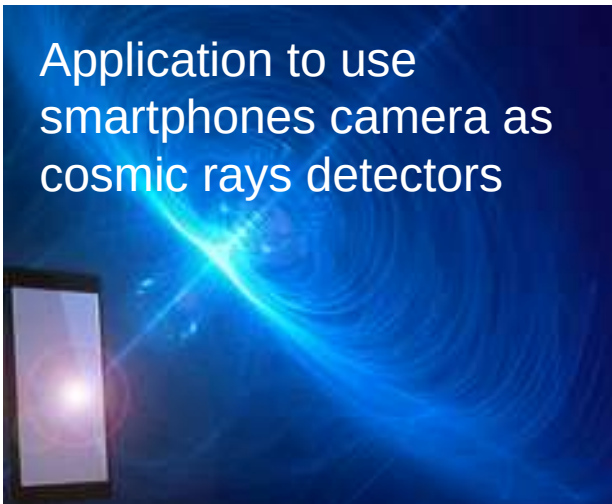
37 EeV = Exa Electron Volt = 37×10^{18} eV

Generic Information	
Id	1234800
Date	Sat Mar 5 15:54:48 2005
Nb Station	14
Energy	37.4 ± 1.2 EeV
Theta	43.4 ± 0.1 deg
Phi	-27.3 ± 0.2 deg
Curvature	15.8 ± 0.8 km
Core Easting	460206 ± 20 m
Core Northing	6089924 ± 11 m
Reduced χ^2	2.30





Application to use
smartphones camera as
cosmic rays detectors



3

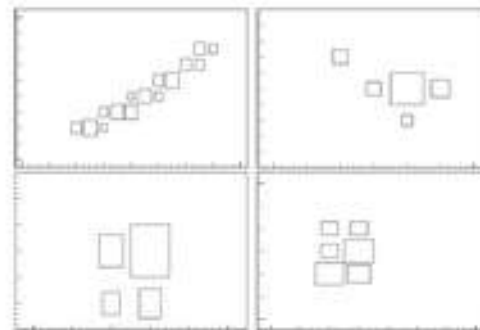


FIG. 4: Activated pixels above threshold in a Samsung Galaxy SIII phone, during exposure to ^{60}Co . Box size is proportional to pixel response values

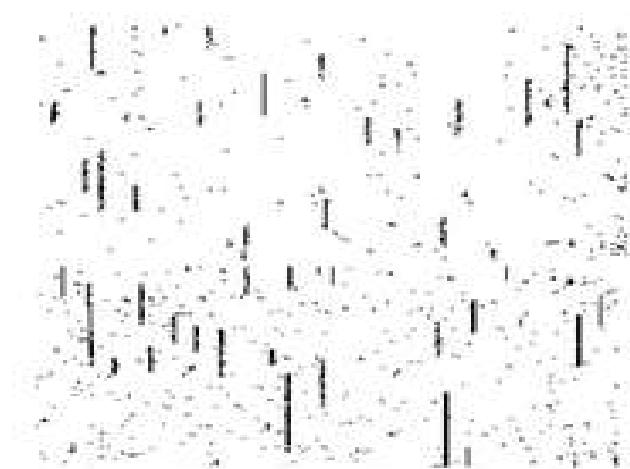
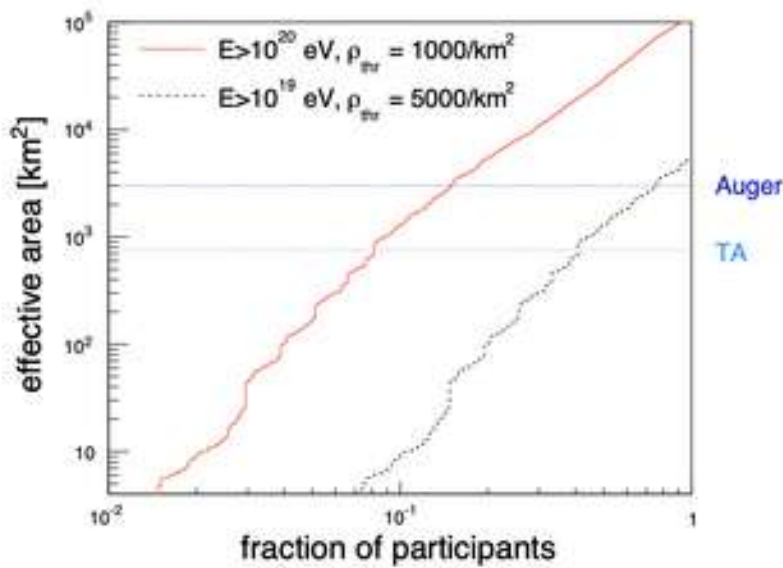


FIG. 5: Composite image of activated pixels in data collected from phones exposed to a muon beam. The phones were arranged such that the muon beam was incident on the side of the sensor, giving visible tracks where muons pass through several pixels.



AMS

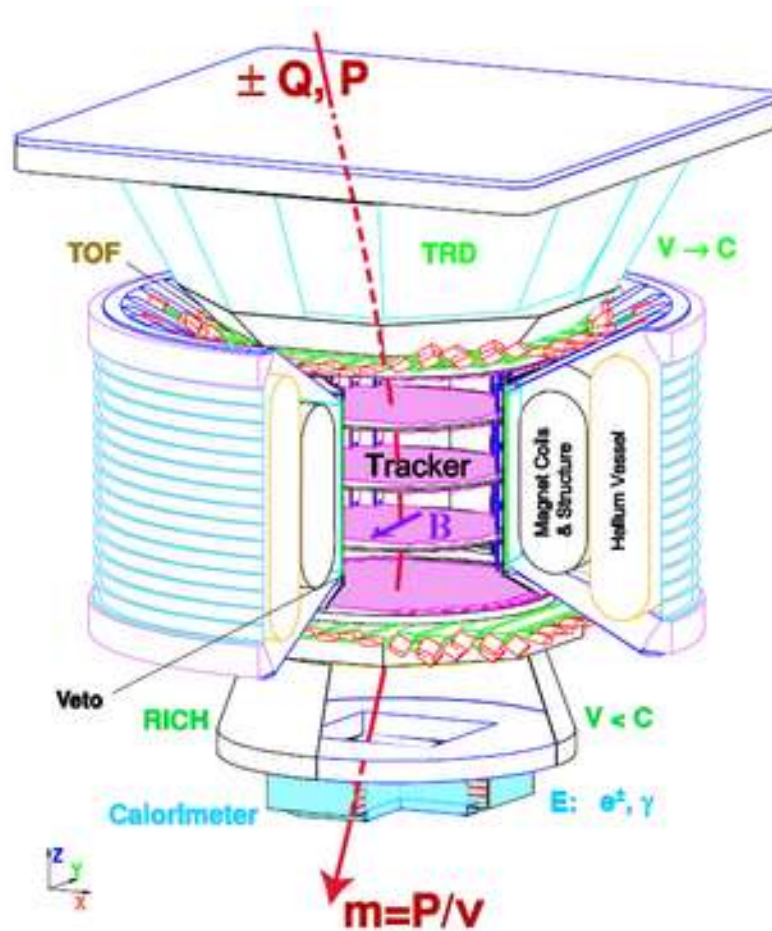
Alpha Magnetic Spectrometer

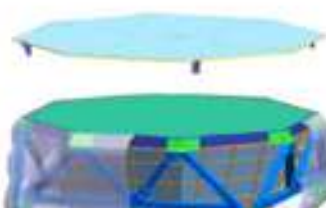
Try to find Antimatter in the primary cosmic rays.
Study cosmic ray composition etc. etc.



Will be installed on the space station.







Zenith Radiator



USS:

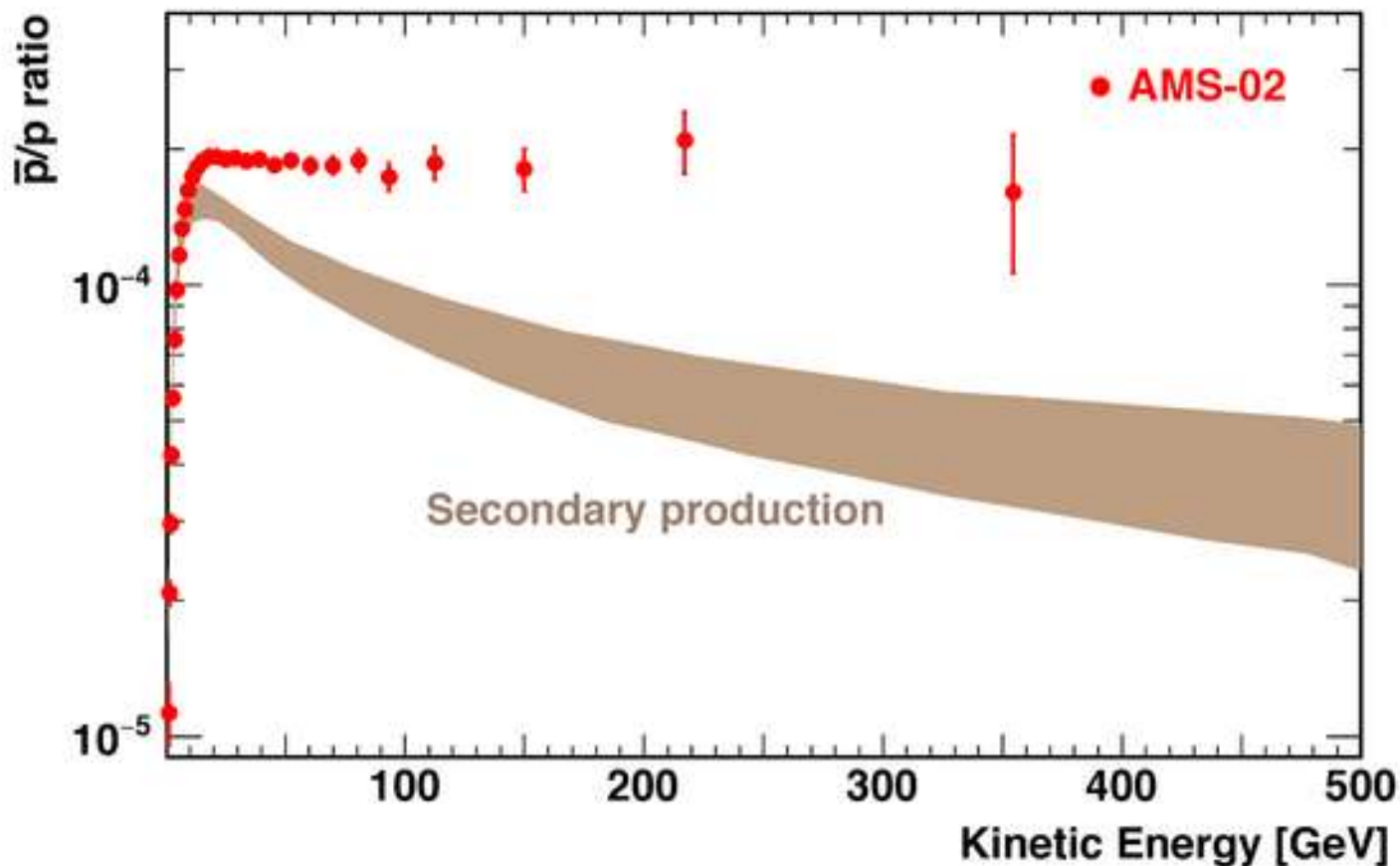
TRD:
Transition Radiation Detector

Figure 1. Antiproton to proton ratio measured by AMS. As seen, the measured ratio cannot be explained by existing models of secondary production.

PAS:
Payload Attach System

Vendredi 5/07 11h (IJCLAB)
Lundi 8/07 12h (CEA IRFU)
Visite Labo 14h (CEA IRFU)
Mercredi 10/07 11h (IAS)

DE LA RECHERCHE À L'INDUSTRIE



STAGE / QUESTIONS

[maxence.vandenbroucke
@cea.fr](mailto:maxence.vandenbroucke@cea.fr)
maxence@cern.ch



Mesurer l'infiniment petit et observer l'infiniment grand

Cours 1 : Généralités

- Introduction générale sur l'importance de la mesure
- Qu'est-ce qu'une expérience de physique subatomique ?
- Que veut-on observer à propos d'une particule?
- Architecture générale d'une expérience en physique subatomique

Cours 2 : Les détecteurs de particules

- Trajectographie :
 - Détecteurs Gazeux
 - Détecteurs au Silicium
- Calorimétrie
- Scintillation

Cours 3 : Exemple d'expériences

- Autour du Neutrino
- Nucléaire et Hadronique
- Rayons Cosmiques
- Antimatière

PLAN DES COURS

Cours 1 : Généralités

- Introduction générale sur l'importance de la mesure
- Qu'est-ce qu'une expérience de physique subatomique ?
- Que veut-on observer à propos d'une particule?
- Architecture générale d'une expérience en physique subatomique

Cours 2 : Les détecteurs de particules

- Trajectographie :
 - Détecteurs Gazeux
 - Détecteurs au Silicium
- Calorimétrie
- Scintillation

Cours 3 : Exemple d'expériences

- Autour du Neutrino
- Nucléaire et Hadronique
- Rayons Cosmiques
- Antimatière

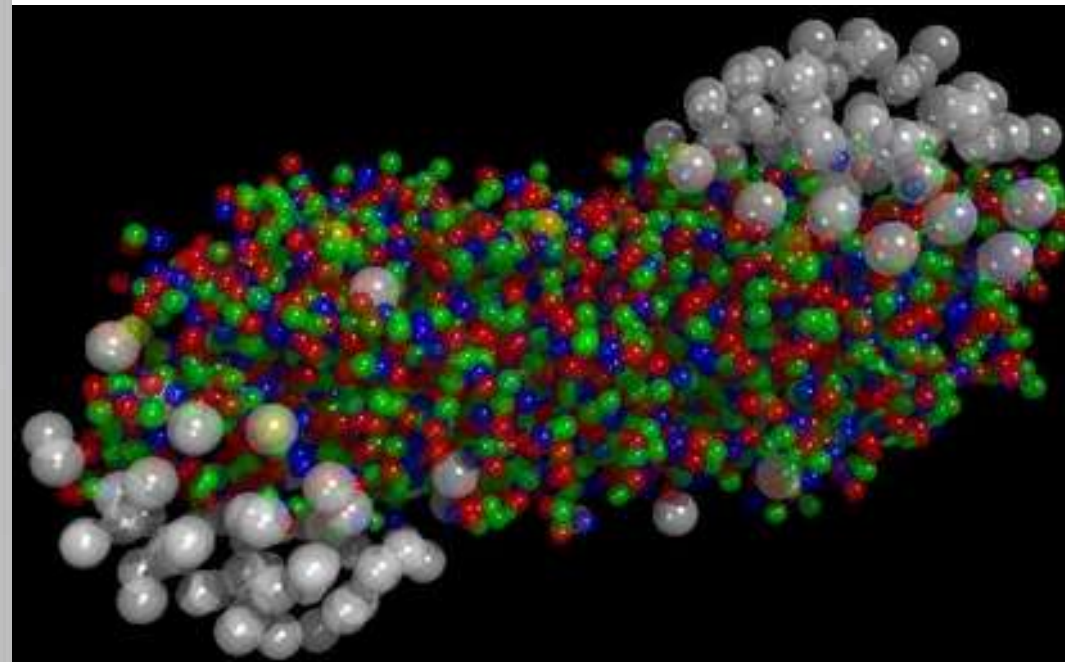
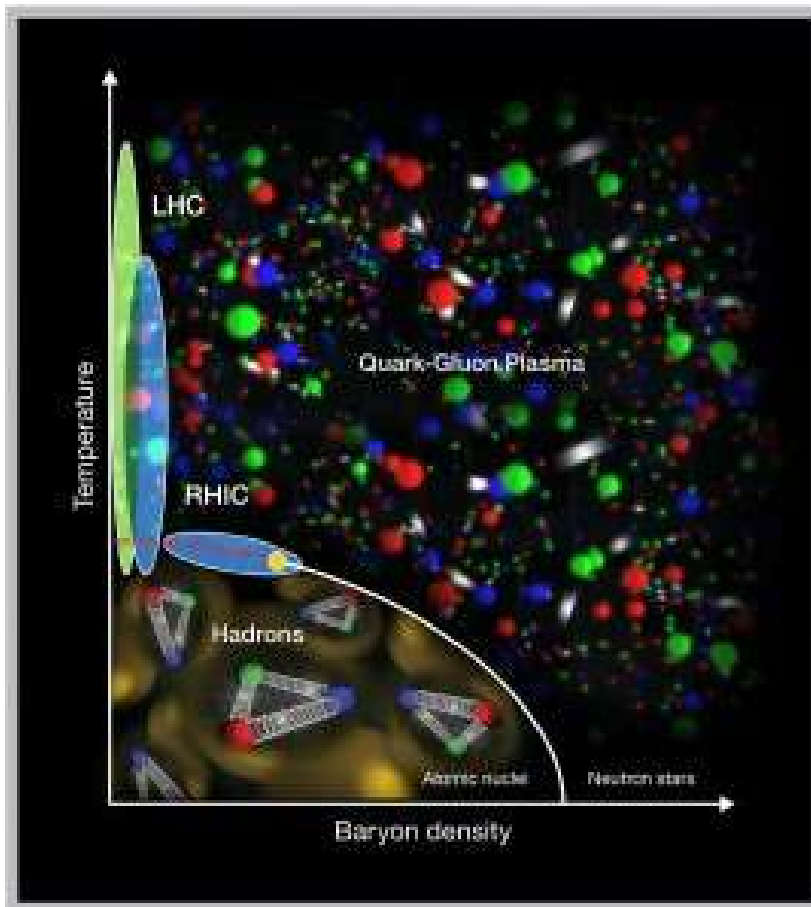
Basé sur les cours de Stefano Panebianco (CEA/IRFU) rencontre d'ete 2016

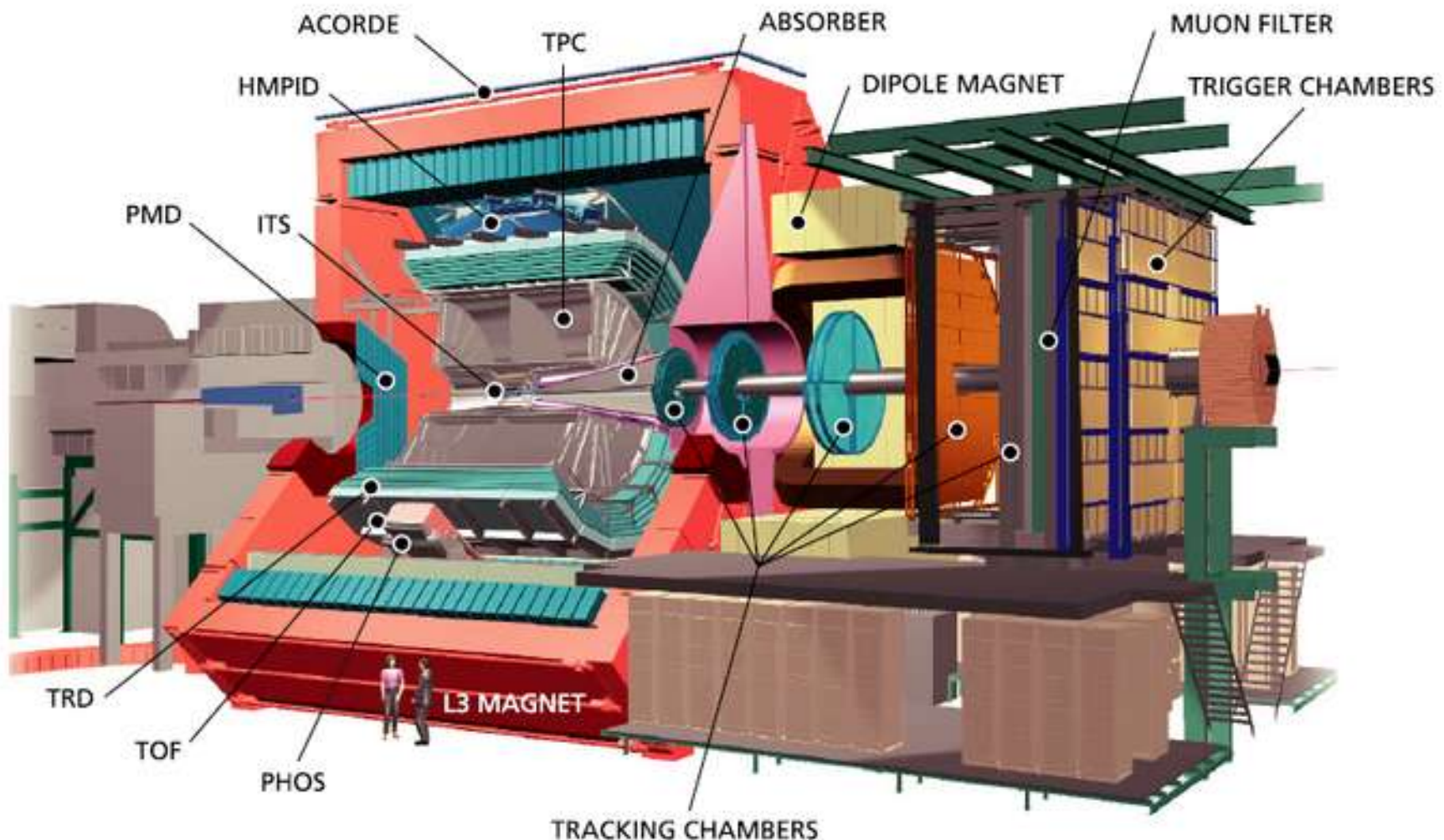
Le cours de Werner Riegler (CERN Summer Student Lecture Program 2009)

Particle Detectors , Second Edition, C. Grupen & B. Shwartz

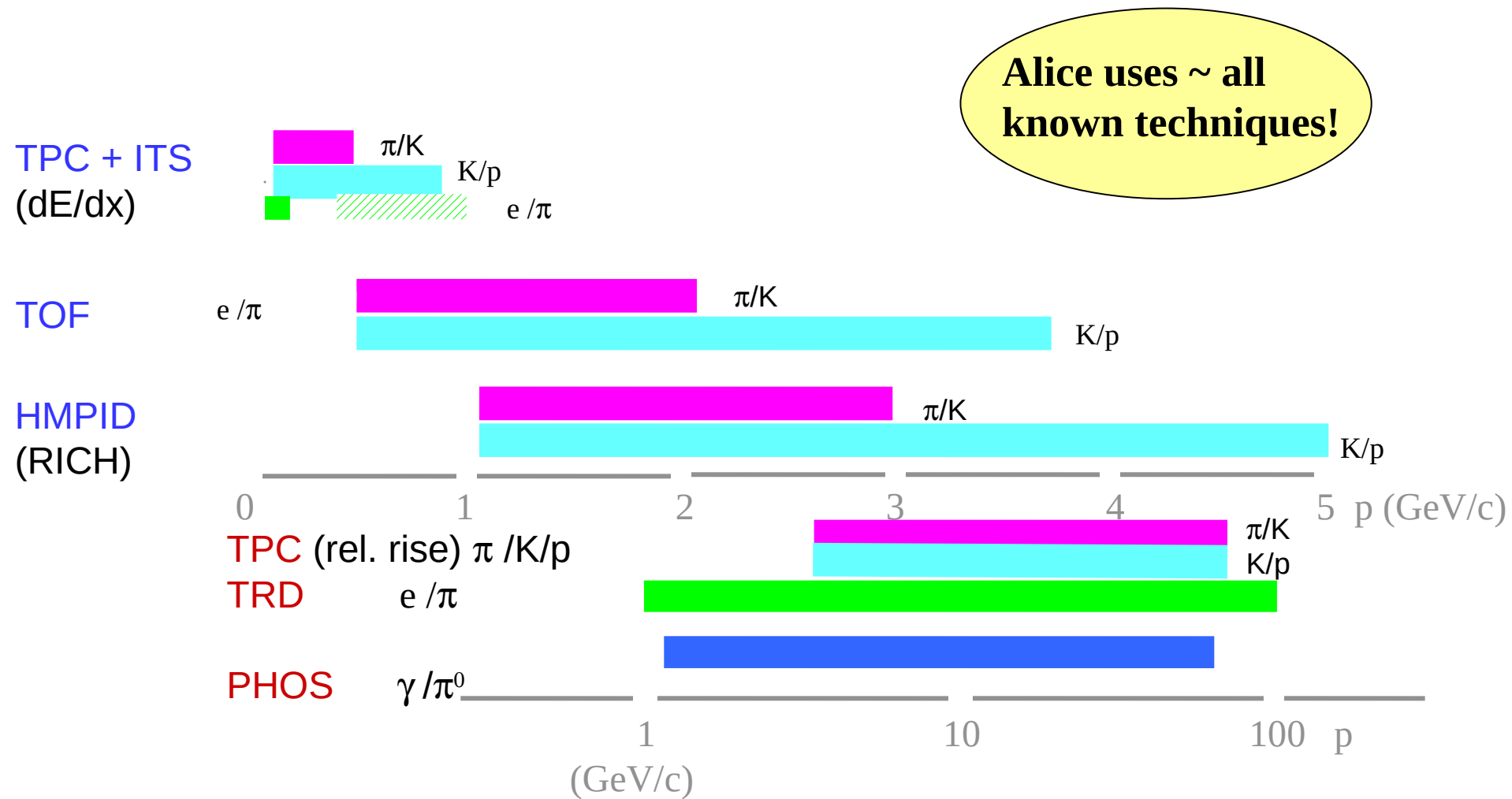
ALICE

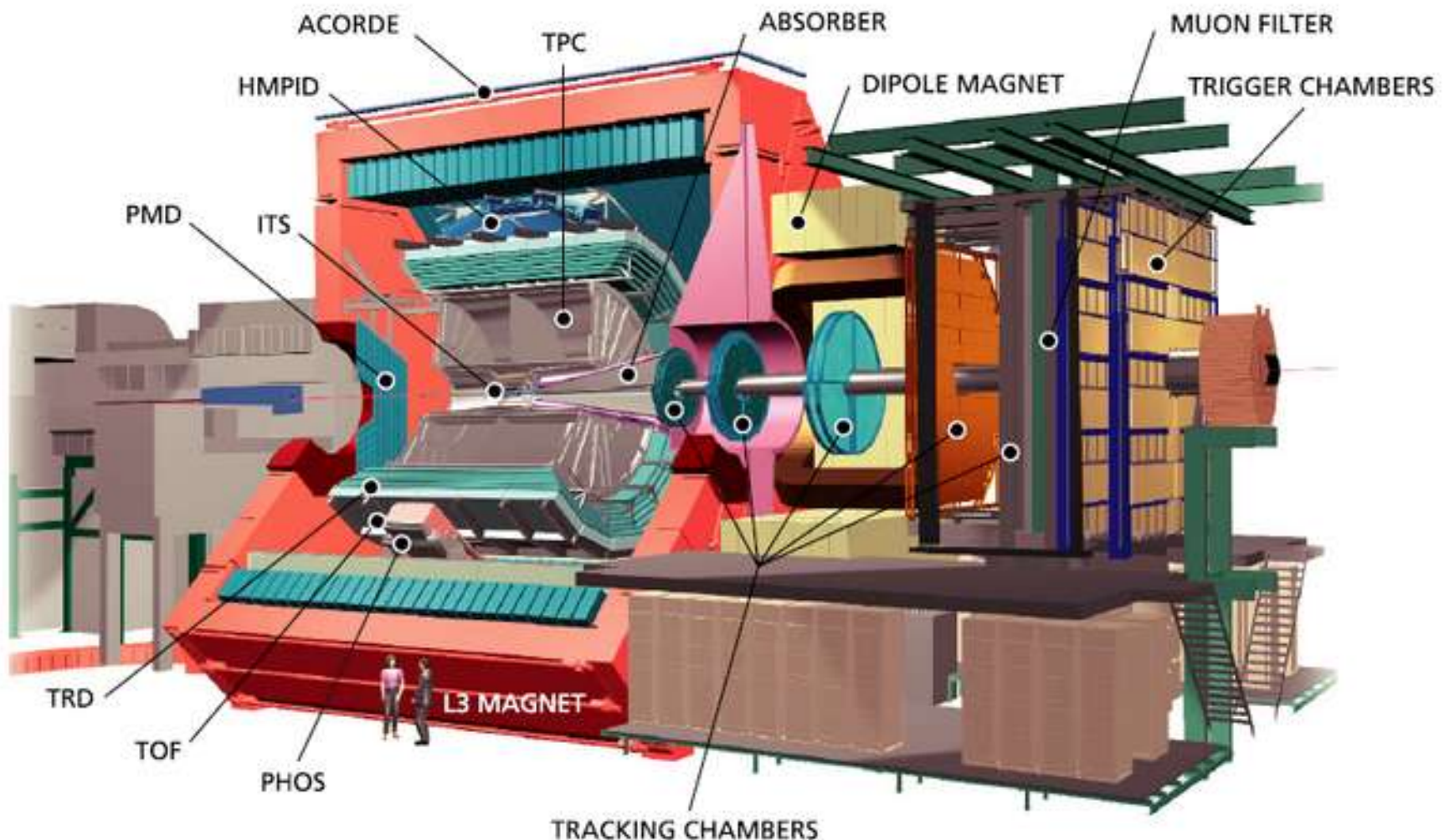
A heavy Ion Experiment at the LHC





ALICE Particle ID







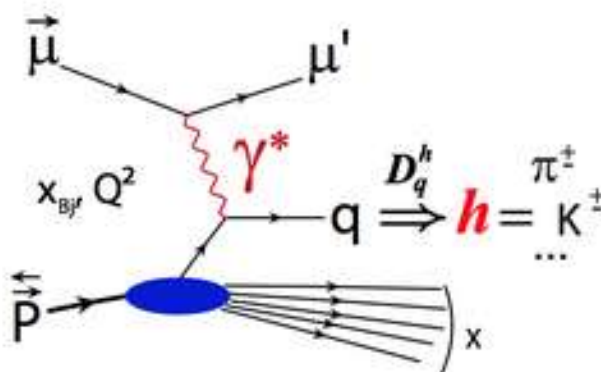
Différentes contributions

$$\frac{1}{2} = \underbrace{\frac{1}{2} (\Delta u + \Delta d + \Delta s)}_{\text{Spin des quarks}} + \underbrace{\Delta G}_{\text{Spin des gluons}} + \underbrace{L_g + L_q}_{\text{Moments orbitaux}}$$

Spin des quarks
 $\Delta \Sigma \sim 0.3$

Spin des gluons
 $|\Delta G| < 0.5$

Moments orbitaux
 $L_{q+g} = ??$

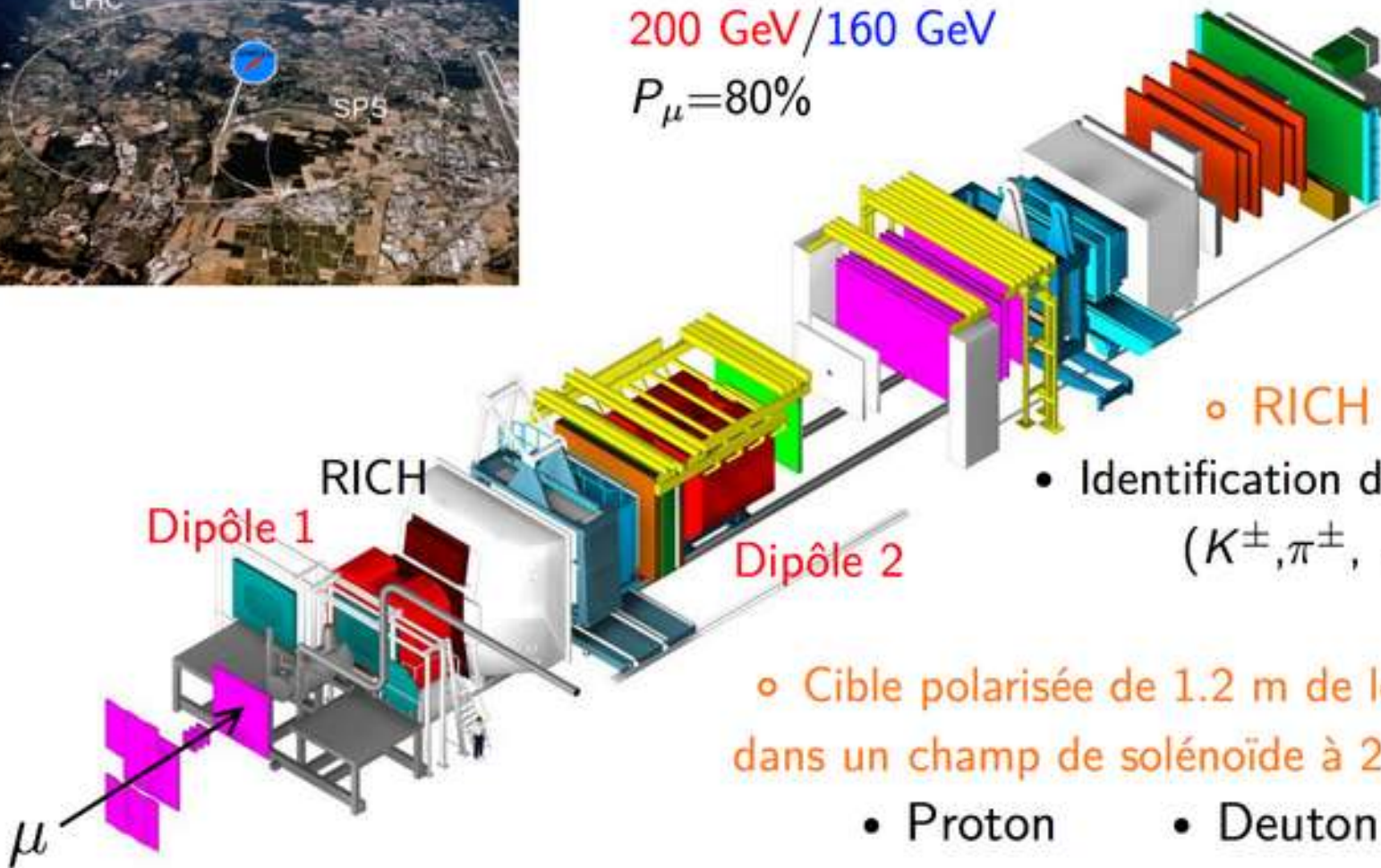


Section efficace DIS

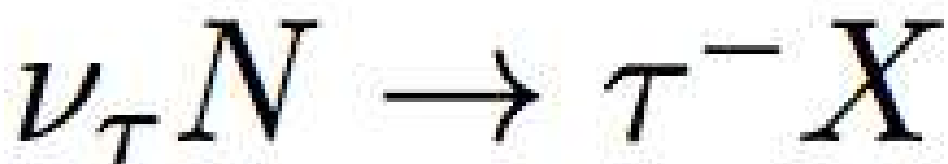
$$\frac{d^2 \sigma}{dx dQ^2} = \underbrace{c_1 F_1(x, Q^2) + c_2 F_2(x, Q^2)}_{\text{fonctions de structure non-polarisées}} + \underbrace{c_3^{s,S} g_1(x, Q^2) + c_4^{s,S} g_2(x, Q^2)}_{\text{fonctions de structure polarisées}}$$



- Faisceau polarisé de μ^+ du SPS
 $1 \cdot 10^8 / 2 \cdot 10^8 \mu$ par déversement de ~ 10 s
200 GeV / 160 GeV
 $P_\mu = 80\%$



- RICH :
 - Identification des hadrons (K^\pm, π^\pm, \dots)
- Cible polarisée de 1.2 m de long dans un champ de solénoïde à 2.5 T
 - Proton
 - Deuton



$$\tau^- \rightarrow \mu^- \nu_\mu \bar{\nu}_\tau \quad \text{with} \quad BR = 17.36 \pm 0.05\% \quad (1)$$

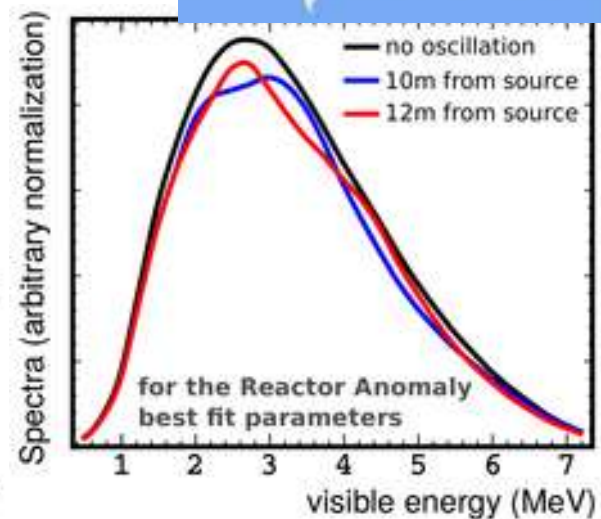
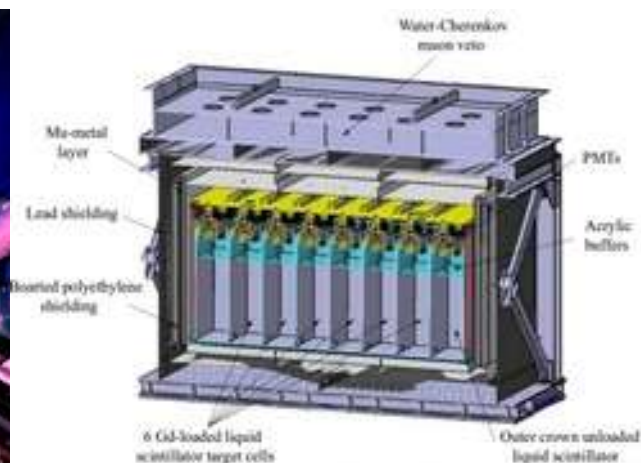
$$\tau^- \rightarrow e^- \nu_e \bar{\nu}_\tau \quad \text{with} \quad BR = 17.85 \pm 0.05\% \quad (2)$$

$$\tau^- \rightarrow h^-(n\pi^0) \bar{\nu}_\tau \quad \text{with} \quad BR = 49.52 \pm 0.07\% \quad (3)$$

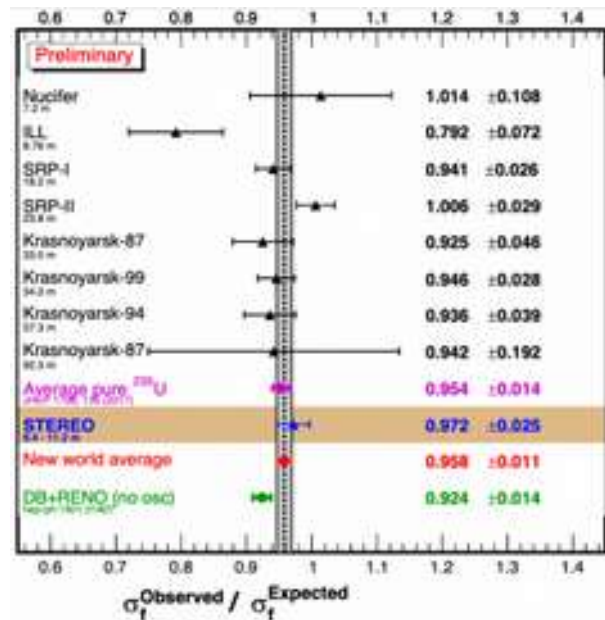
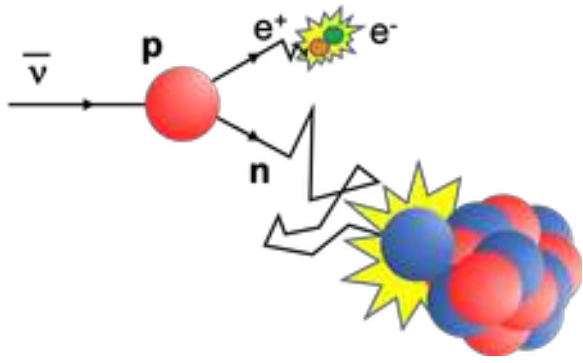
$$\tau^- \rightarrow 2h^- h^+(n\pi^0) \bar{\nu}_\tau \quad \text{with} \quad BR = 15.19 \pm 0.08\%. \quad (4)$$

<https://arxiv.org/pdf/1305.2513.pdf>

STEREO a ILL



The reactor antineutrino anomaly (RAA) is the observation that the neutrino flux measured in many experiments close to nuclear reactors is significantly (more than 6%) lower than one would expect by theory.





Production de paires électron-ion :

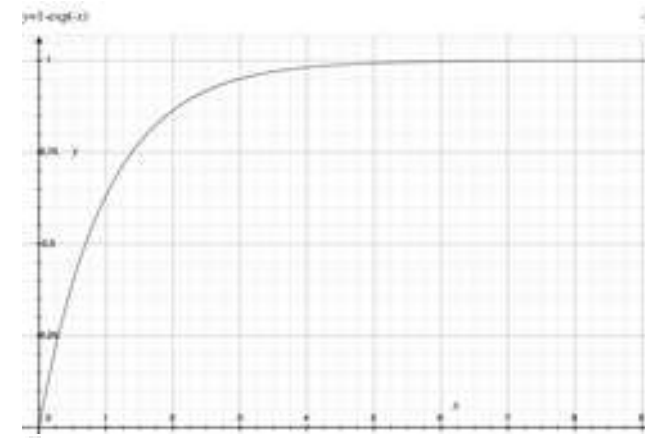
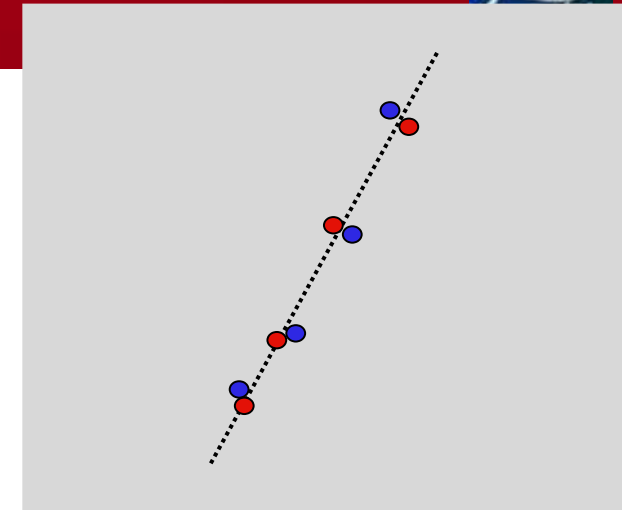
- Les interactions Coulombiennes entre le champ électrique de la particule et les atomes du milieu produisent des paires électron-ion.
- Les ionisations multiples suivent une statistique de Poisson:

$$P_k^n = \frac{n^k}{k!} e^{-n}$$

n : moyen
 k : mesuré

– Efficacité de détection:

– Mécanismes
d'ionisation :



$$\epsilon = 1 - P_0^n = 1 - e^{-n}$$

- Excitation: $X + p \rightarrow X^* + p$ puis $X^* \rightarrow$
- Ionisation: $X + p \rightarrow X^+ + p + e^-$
- *Effet Penning:* $Ne^+ + Ar \rightarrow Ne + Ar^+ + e^-$



- Les électrons primaires ionisent à nouveau le milieu et produisent localement de nouveaux groupes de paires électron-ion. Si l'électron secondaire a suffisamment d'énergie il peut produire une longue trace (électronδ).
- Nombre total de paires:

ΔE : perte d'énergie de la particule

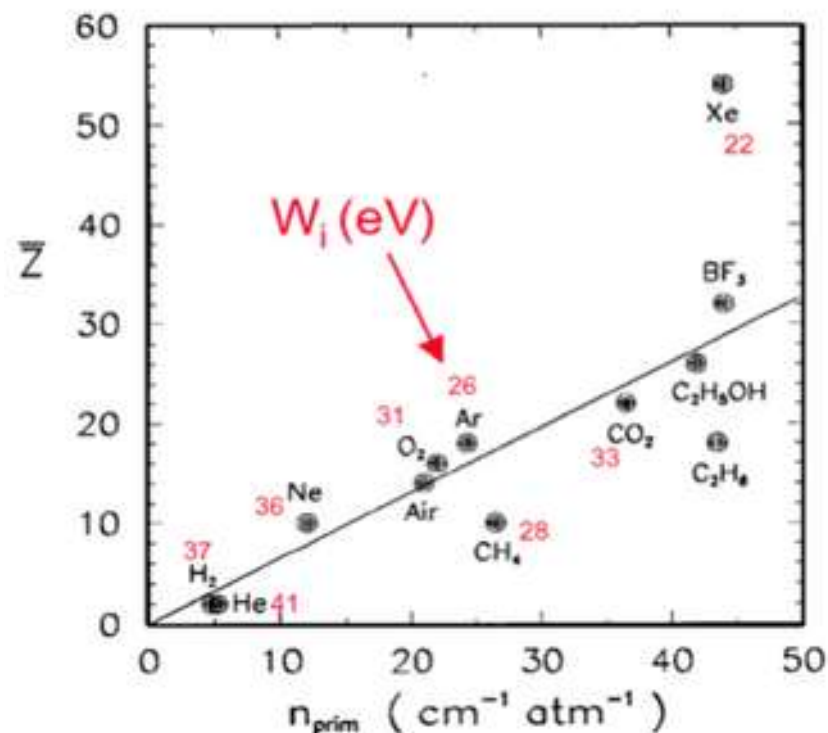
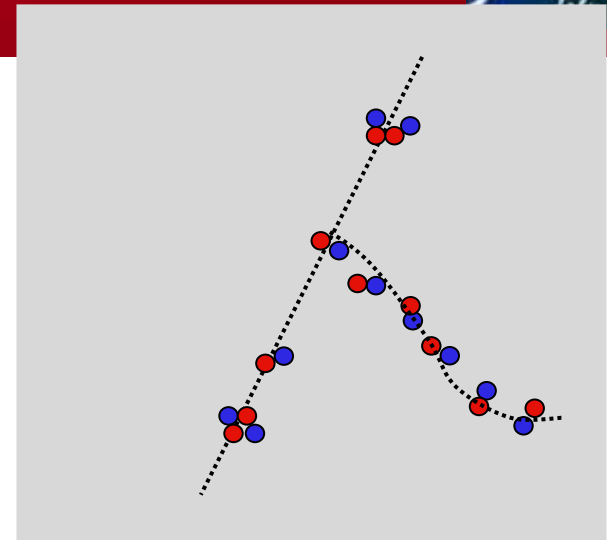
$$n_T = \frac{w_i \Delta E}{W_i}$$

énergie moyenne par paire

M.I.P. dans l'argon:

– $\Delta E = 2,65 \text{ keV/cm}$ $w_i = 25 \text{ eV}$

– $n_T \approx 106 \text{ paires électron-ion/cm}$

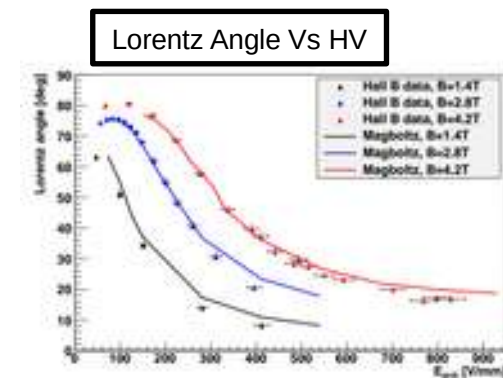
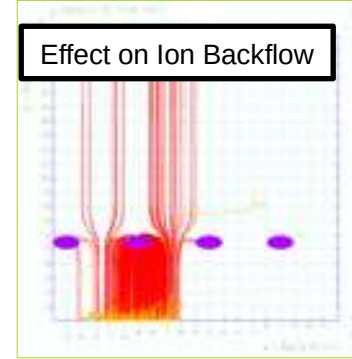
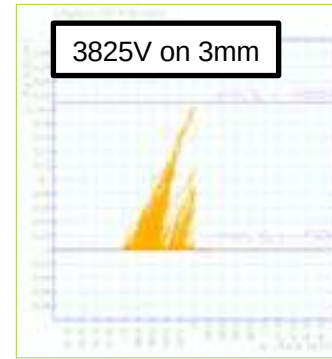
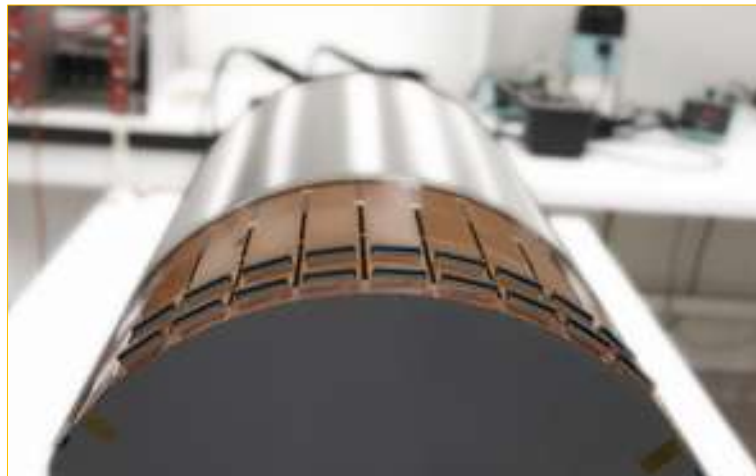


2007-12-10 08:19:01

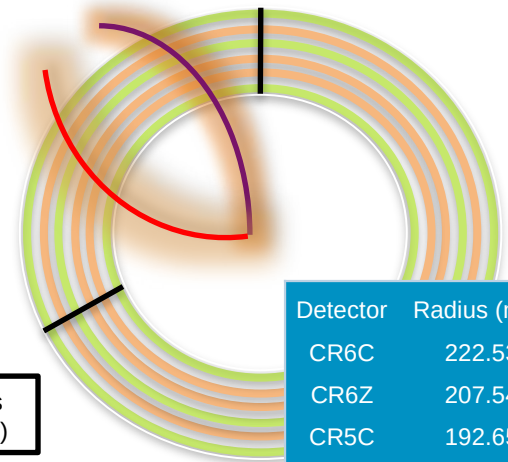


FIG. (II) 1.7: Photographie d'un individu bioluminescent prise par l'une des caméras installées sur la ligne d'instrumentation IL07 (lire le paragraphe (II) 3.1). L'échelle n'est pas précisément connue (elle dépend de la distance à la caméra).

CLAS12 - THE MICROMEGAS VERTEX TRA



=> Clas-note 2007-004: Simulations of Micromegas detectors for the CLAS12 experiment (S. Procureur)

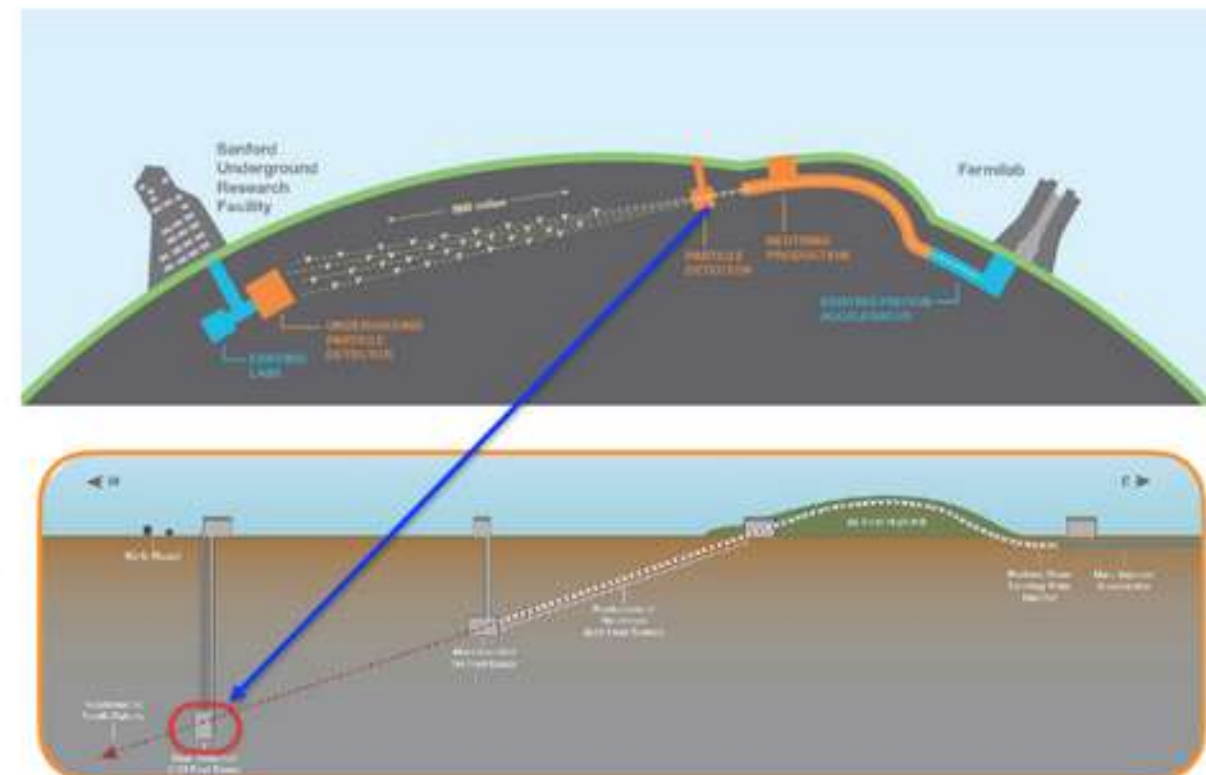
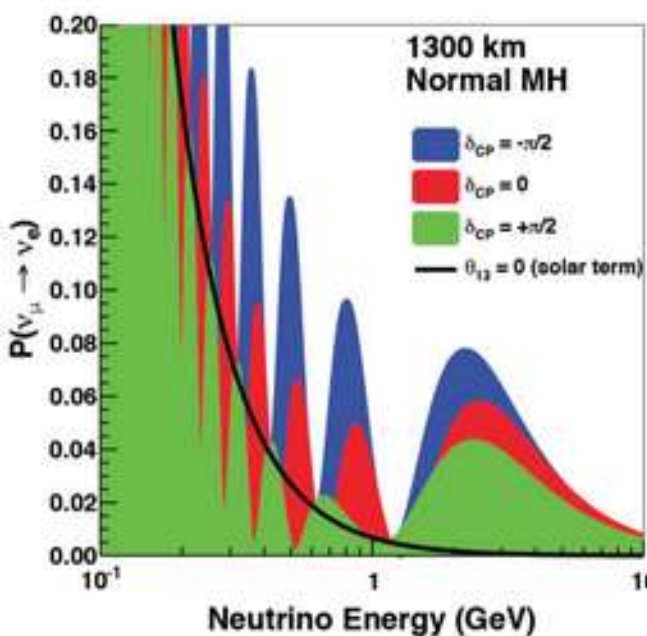


Detector	Radius (mm)
CR6C	222.53
CR6Z	207.54
CR5C	192.65
CR5Z	177.57
CR4Z	162.56
CR4C	147.57

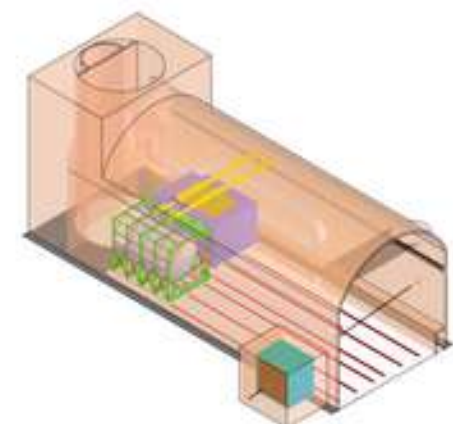
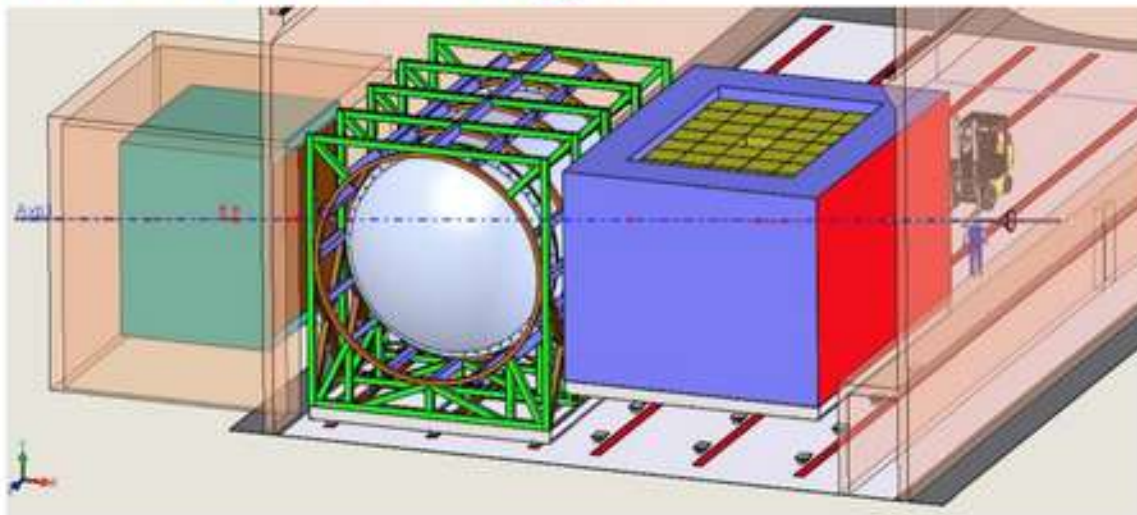
DUNE



- Observe ν_e appearance and ν_μ disappearance at long baseline in a wideband beam to precisely measure the neutrino oscillation parameters δ_{CP} , θ_{23} , θ_{13} , and Δm^2_{32} in a single experiment.

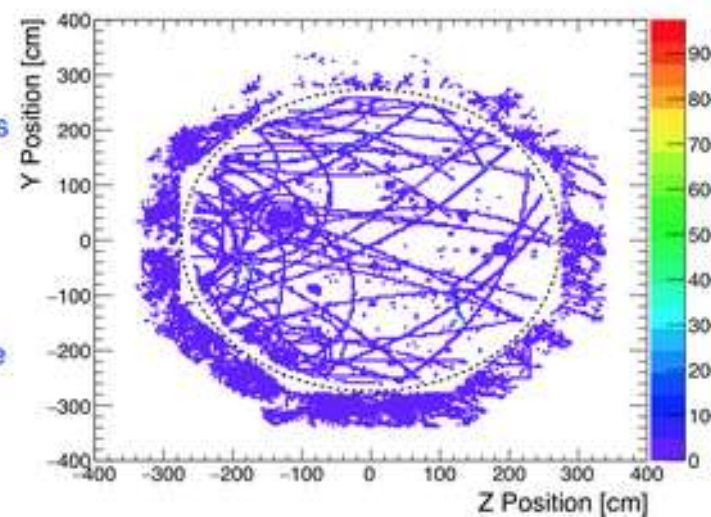


Reference Design



- 3 components (Right-to-left)
 - LAr TPC with pixelated readout (50t)
 - Multi-Purpose Detector - MPD
 - HPgTPC(1t) + ECAL + magnet
 - 3DST-S: Three-Dimensional Scintillator Track

Z-Y projection full spill & event



- Corresponds to full spill exposure
- Overlay of test event plus 60 events in the ECAL